

АКАДЕМИЯ НАУК СОЮЗА ССР

# ЖУРНАЛ ФИЗИЧЕСКОЙ ХИМИИ

ТОМ  
XXIX

9

ВЫПУСК

СЕНТЯБРЬ

1955

---

---

ИЗДАТЕЛЬСТВО АКАДЕМИИ НАУК СССР  
МОСКВА

# ЖУРНАЛ ФИЗИЧЕСКОЙ ХИМИИ

*Редакционная коллегия:*

В. Я. АНОСОВ, К. В. АСТАХОВ, А. И. БРОДСКИЙ, Г. К. БОРЕСКОВ,  
Я. И. ГЕРАСИМОВ, С. В. ГОРБАЧЕВ, Г. С. ЖДАНОВ, Н. А. ИЗГАРЫШЕВ,  
Л. А. НИКОЛАЕВ, Н. Н. СЕМЕНОВ, А. Н. ТЕРЕНИН, А. Н. ФРУМКИН,  
К. В. ЧМУТОВ

*Главный редактор* Я. И. ГЕРАСИМОВ

*Заместители главного редактора* С. В. ГОРБАЧЕВ, К. В. ЧМУТОВ

*Отв. секретарь* Л. А. НИКОЛАЕВ



## О СВЯЗИ МЕЖДУ ЭЛЕКТРОПРОВОДНОСТЬЮ И МИГРАЦИЕЙ ЭНЕРГИИ В БЕЛКОВЫХ И ДРУГИХ ОРГАНИЧЕСКИХ МОЛЕКУЛАХ

*Н. В. Риль*

Исследования, представленные автором в предыдущих статьях [1—3], имели конечной целью выяснение вопроса о возможности и механизме «миграции» энергии и зарядов в органических образованиях, в частности в белках.

Под «миграцией» энергии [4—7] мы понимаем те явления, когда энергия, сообщенная (возбуждением, ионизацией или химической реакцией) атому или комплексу атомов («центру») конденсированной фазы, переносится как целое, т. е. без растрачивания или диссипации, на другой, отдавленный атом (или центр), причем перенос происходит без посредства какой-нибудь радиации и без посредства обычной диффузии атомов.

Известны различные типы миграции энергии, глубоко отличающиеся друг от друга физической природой процесса. Приведем несколько примеров. Миграция энергии, происходящая при люминесцентных и фотохимических процессах в ионных кристаллах, основана на перемещении электронов и «электронных дефектов» («дырок») в энергетических зонах этих кристаллов [4—6]. Этот тип миграции энергии, связанный с бимолекулярным характером [6, 8—13] рекомбинации элементарных зарядов в кристалле, называют иногда «электронной» миграцией энергии [6]. Совершенно иную физическую природу имеют процессы миграции энергии, наблюдаемые в растворах люминесцирующих веществ (красителей) [7, 14—23], а также и в макромолекулах некоторых красителей, способных к полимеризации [5, 24—26]. Здесь передача энергии имеет характер резонанса между молекулой, отдающей энергию, и молекулой, воспринимающей энергию. Миграцию энергии в кристаллах полициклических углеводородов (антрацен—тетрацен и т. п.) [23, 27—30] также следует рассматривать как особую группу явлений; при их толковании предпочтительно пользуются понятием «экситон» [7, 31]. Имеются наблюдения [5, 6, 32—35], указывающие на возможность участия миграционных процессов в области биохимических явлений. Подход к биохимическим проблемам при помощи представления о миграции энергии сам по себе чрезвычайно привлекателен. Однако для достижения прогресса в этом направлении нельзя обойтись без широкого и глубокого экспериментального изучения вопроса. Задачу физика следует видеть здесь в первую очередь в нахождении новых экспериментально обоснованных фактов, на которые можно бы было опереться при дальнейшем рассмотрении проблемы.

Какие типы миграции энергии заслуживают внимания с точки зрения биохимических вопросов? Во-первых, имеются наблюдения, указывающие на возможность «резонансной» миграции энергии между молекулами некоторых красителей, участвующих в фотосинтезе [7, 36—39]. Во-вторых, существуют указания на возможность какого-то рода миграции энергии в белковой молекуле. С этим последним вопросом и связано исследование, излагаемое в данной статье.

Для объяснения некоторых особенностей действия энзимов, в частности цитохромов, участвующих в окислительно-восстановительной системе организмов, было выдвинуто предположение [32—35], что между отде-



$10^{-12} - 10^{-15}$ . Время жизни ионной пары весьма коротко; рекомбинация зарядов происходит по механизму мономолекулярной реакции.

Чтобы оценить, сколько раз в секунду нейтральная молекула переходит в состояние ионной пары (и обратно), надо знать энергию активации для образования ионной пары, а также «фактор частоты»  $z_1$  для этого процесса (см. [1—3]).

Нетрудно видеть, что энергия активации  $B^*$  для образования ионной пары может лишь незначительно превышать свободную энергию  $B$  ионной пары. Действительно, энергия активации  $B^{**}$  для обратного процесса, т. е. для рекомбинации катиона и аниона ионной пары, должна иметь очень малое значение (не больше, чем 0,1 eV), потому что мы имеем здесь дело с воссоединением двух противоположных зарядов. Так как  $B^* = B + B^{**}$ , то, следовательно, энергия активации  $B^*$  для образования ионной пары может превышать величину  $B$  в лучшем случае на 0,1 eV. Иными словами, энергия активации для образования ионной пары должна иметь тот же порядок, что и свободная энергия  $B$  ионной пары, и лишь незначительно превышать последнюю. Для нафталина, например, энергия активации  $B^*$  должна быть порядка 0,7—0,8 eV. Если считать, что «фактор частоты»  $z_1$  равен  $kT/h$ , то получается, что молекула нафталина (в кристалле) переходит при комнатной температуре  $(kT/h) \cdot 10^{-12} \approx \approx 100$  раз в секунду в состоянии ионной пары!

У других изучавшихся нами органических твердых веществ получились еще меньшие значения величины  $B$ , так что у них вероятность перехода молекулы в состояние ионной пары должна быть еще больше.

Обычно молекула, перешедшая в состояние ионной пары, быстро возвращается в свое первоначальное, нейтральное состояние; но если имеется какой-нибудь «акцептор» для электрона (или протона), покинувшего молекулу, то он не вернется к молекуле. Таким «акцептором», захватывающим заряд, покинувший молекулу, может служить, например, чужеродный ион, появившийся вблизи, или же ион, возникший под действием ионизирующего излучения. Экспериментально мы имитируем такой процесс «захвата» заряда, покинувшего молекулу, посредством полей высокой напряженности. Поле высокой напряженности является также «акцептором», препятствующим возвращению электрона (или протона) к покинутой им молекуле [2].

Таким образом, в присутствии «акцептора» (чужеродного иона, сильного внешнего поля) ионные пары уже не являются «короткоживущими», а переходят в состояние полной ионизации (или, по крайней мере, стабилизируются в состоянии ионной пары). Став стабильным ионом, молекула может, в свою очередь, действовать как «акцептор» по отношению к следующей соседней молекуле. Передаваясь таким образом от молекулы к молекуле, заряд может перемещаться на большие расстояния.

Итак, мы видим, что в конденсированных фазах органических веществ, полимеризатах и макромолекулярных системах существует механизм, передающий элементарные заряды на большие расстояния. Эта передача происходит не за счет малого смещения очень многих заряженных частиц (т. е. не наподобие обычной диэлектрической поляризации), а за счет большого смещения сравнительно небольшого числа последовательно расположенных заряженных частиц. Смещение заряда происходит по определенному «каналу», т. е. наподобие «пробоя». Это и есть те «пробои» белковых и других макромолекул, о которых мы говорили выше.

Наличие этого рода миграции заряда и энергии обусловлено термическим движением. Поэтому скорость этого вида миграции гораздо ниже скорости «электронной» миграции энергии в ионных кристаллах, не говоря уже, разумеется, о скорости «резонансной» миграции энергии. По порядку скорость передачи энергии в рассматриваемом случае соответствует примерно тысяче межатомных расстояний в секунду. Такая небольшая скорость получается, однако, только для тех высокоизолирую-



щих неполярных веществ, о которых мы говорили до сих пор; для белковых молекул следует считать вероятной гораздо большую скорость (см. ниже).

Передача заряда и энергии рассматриваемого здесь типа обусловлена не только тепловым движением, но и действием сильных полей в непосредственной близости ионов, т. е. «пробойным» характером смещения зарядов.

Итак, миграция энергии и элементарных зарядов в органических макромолекулах и твердых фазах оказывается прямым следствием электрофизических свойств таких веществ и в принципе больше не представляет собой проблемы.

Возможно, что и явление «обратимых пробоев», описанное в одной из предыдущих статей [2], связано с эффектами рассматриваемого рода. Правда, механизм этого типа пробоев может быть объяснен и на основании различных других существующих теорий пробоя. Но можно предложить на рассмотрение и следующий механизм. Может быть, что «обратимые пробоев» связаны с образованием цепочек из взаимно стабилизирующих друг друга ионных пар. Такая цепочка или целый пучок таких цепочек может взять начало на какой-нибудь точке электрода, имеющей особо высокую напряженность поля (пылинка, царапина и т. п.). Если ионная пара находится в очень сильном поле, то она имеет значительную вероятность либо распасться на «свободные ионы» [2], либо стабилизироваться под действием поля и ориентироваться в направлении поля. Есть основание ожидать, что в достаточно сильном поле «фактор частоты»  $\omega_2$  рекомбинации ионов ионной пары уменьшается, т. е. равновесная концентрация ионных пар увеличивается (ионные пары становятся менее короткоживущими). Кроме того, в полях порядка  $10^6$ — $10^7$  В/см уже должно иметь место снижение энергии образования ионной пары  $B$ , что тоже приводит к увеличению равновесной концентрации ионных пар. И свободный ион, и стабилизированная ионная пара должны, разумеется, производить стабилизирующее действие на соседние ионные пары (ср. аналогичный эффект у льда [3]). Нетрудно убедиться, что ассоциация и взаимная стабилизация ионных пар должны привести к образованию дипольных цепочек. Если образовалась цепочка, проходящая от одного электрода до другого, то это эквивалентно переходу элементарного заряда с одного электрода на другой. Достаточно образоваться  $10^9$  таких цепочек на  $1 \text{ см}^2$ , чтобы (при наших экспериментальных условиях) произошел «скачок» или «обратимый пробой», и разность потенциалов на электродах спала на 100 В. Вследствие этого снижения напряженности поля цепочки опять распадаются и пробой прекращается.

Может быть, обоснованное здесь представление о «короткоживущих ионных парах» поможет интерпретировать еще одно явление, наблюдаемое в области биохимии, а именно: преимущественное взаимное притяжение тождественных макромолекул, в частности белковых молекул, в растворе [43]. Процесс образования и исчезновения «ионных пар» имеет, несмотря на свой статистический характер, некоторую среднюю или наиболее вероятную частоту. Если рассматривать большую макромолекулу, то в ней может образовываться множество различных ионных пар, каждая из которых имеет свою характерную «частоту». Вся макромолекула в целом имеет, следовательно, некоторый «спектр» частот всех возможных в ней ионных пар и их комбинаций. Если к данной макромолекуле приблизилась другая тождественная макромолекула, то можно представить себе, что ионные пары одной макромолекулы «входят в такт» с ионными парами другой молекулы. Мы видели выше, что ионные пары действуют друг на друга стабилизирующе; поэтому можно представить себе, что аналогичные ионные пары (или цепочки из ионных пар) в двух соседних макромолекулах образуются и рекомбинируют, если не синхронно, то, по крайней мере, с некоторым приближением к синхронности, а если это так, то между двумя тождественными макромолекулами должны возникать большие силы притяжения.

Особый интерес для нашей цели имеет приведенное в предыдущей статье представление об образовании во льду цепочек поляризованных молекул, по которым протон может перемещаться с большой скоростью без затраты значительной энергии активации [3]. Уже на основании поведения органических изоляторов мы пришли к заключению об образовании «каналов», по которым происходит передача заряда на большие расстояния. Но цепочки из ориентированных водородных мостиков имеют и по своей хи-



мической структуре близкое отношение к тем образованиям и процессам, которые могут иметь место у белка.

Проход протона по цепочке, состоящей из однозначно поляризованных водородных мостиков, — это процесс, имеющий очень большое сходство с теми процессами миграции заряда и энергии, которые могут быть приняты и у белка.

### ЭКСПЕРИМЕНТАЛЬНАЯ ЧАСТЬ

В качестве примера белкового вещества мы выбрали для наших опытов желатину. Применялись тщательно очищенная диализом желатина и фабричная листовая желатина фирмы Агфа, применяемая для оптических фильтров. Изучалась зависимость электропроводности от температуры и от напряженности поля при различных содержаниях воды в желатине.

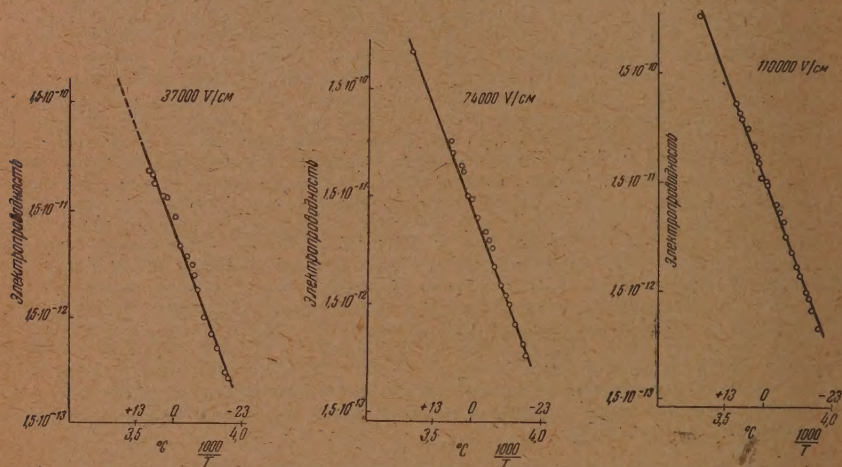


Рис. 2. Температурная зависимость электропроводности очищенной диализом желатины с содержанием воды 0,6 г-моль на 100 г сухого протеина при различной напряженности поля

Максимальное содержание воды составляло 0,6 г-моль  $\text{H}_2\text{O}$  на 100 г сухого протеина. Все наши опыты проводились при относительно большой напряженности поля (от нескольких десятков до нескольких сот тысяч  $\text{V/cm}$ ).

Результаты приведены на рис. 2—5. Из этих результатов видно, во-первых, что в желатине, содержащей мало воды, отчетливо выражен эффект Поуля (возрастание электропроводности при большой напряженности поля). Этот эффект начинает становиться заметным уже при напряженности поля в 40 000—50 000  $\text{V/cm}$ . Во-вторых, у исследованных образцов желатины с малым содержанием воды температурная зависимость проводимости выражается (в температурном диапазоне от  $-10^\circ$  до  $+20^\circ \text{C}$ ) экспоненциальной формулой:

$$\kappa = \kappa_0 e^{-B/kT}, \quad (1)$$

причем константа  $B$  оказывается равной 21 ккал/моль, т. е. практически не отличается от константы  $B$ , определяющей температурную зависимость электропроводности льда. В-третьих, значение константы  $B$  оказывается не зависимым от напряженности поля (в пределах 6000—110 000  $\text{V/cm}$  \*).

\* Приведем вкратце некоторые результаты наблюдений по проводимости и фотопроводимости той же желатины после многодневного обезвоживания в высоком вакууме. Расположение электродов и направление облучения соответствовали в принципе тому, которое показано на рис. 3 в одной из предыдущих статей [1]. Но в данном



Сравним сначала эти результаты с результатами Кинга и Мэдлея [44], также измерявших электропроводность желатины (и других протеинов) при различных содержаниях воды. Их опыты проводились в несколько других условиях, чем наши. Во-первых, они работали в области меньшей напряженности поля. Соответственно этому в их опытах не наблюдался эффект Поуля. Кроме того, они проводили свои измерения при более высоких температурах ( $>20^\circ\text{C}$ ). При этих условиях температурный коэффициент проводимости значительно менялся в зависимости от содержания воды. С повышением содержания воды температурный коэффициент значительно снижался, в то время как в наших опытах не обнаружено изменения температурного коэффициента проводимости при увеличении содержания воды почти от нуля до 0,6 г-моль на 100 г протеина. Опыты

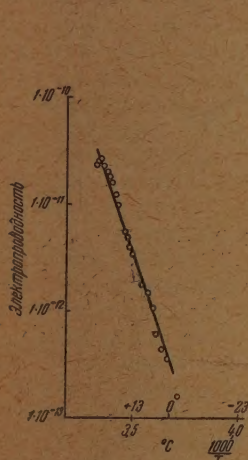


Рис. 3

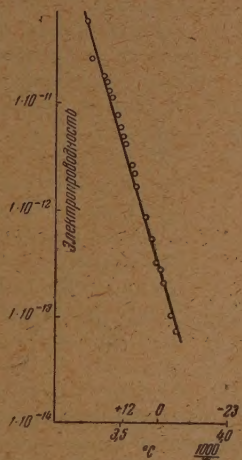


Рис. 4

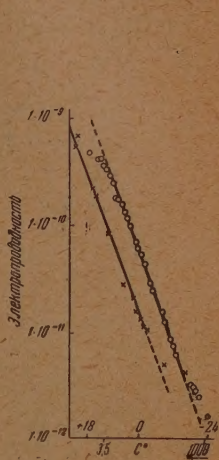


Рис. 5

Рис. 3. Температурная зависимость электропроводности очищенной диализом желатины с содержанием воды ниже 0,04 г-моль на 100 г сухого протеина при напряженности поля 110 000 В/см

Рис. 4. Температурная зависимость электропроводности желатиновой фольги фирмы Агфа (для светочувствительных фильтров) с содержанием воды 0,3 г-моль на 100 г сухого протеина при напряженности поля 37 000 В/см

Рис. 5. Температурная зависимость электропроводности желатиновой фольги фирмы Агфа с содержанием воды 0,37 и 0,4 г-моль на 100 г сухого протеина при напряженности поля 15 000 В/см

Кинга — Мэдлея дают, например, при содержании воды в 0,1 г-моль на 100 г заметно больший температурный коэффициент, чем тот, который наблюдался у нас, а при содержании воды в 2 г-моль на 100 г — гораздо меньший. На основании экспериментального материала, которым мы рас-

счете вся установка находилась в вакууме ( $10^{-5}$  мм рт. ст.). До начала опыта этот вакуум поддерживался в течение 8 дней. Результаты получились следующие — темновая электропроводность  $\sim 8 \cdot 10^{-10}$  (при напряженности поля 50 000 В/см). Как видно, совершенно обезвоженная желатина является весьма хорошим изолятором. При облучении ультрафиолетовой линией 366 мμ (лампой марки Осрам HgQS 300 на расстоянии 15 см) получается усиление тока почти в 20 раз. Сила фототока оказывается почти не зависящей от направления поля, несмотря на то, что ультрафиолет значительно поглощался слоем желатины, т. е. облучение вблизи сетчатого электрода было значительно сильнее, чем вблизи массивного электрода. В этом отношении желатина отличается от других органических изоляторов. При облучении линией 253,7 мμ (ртутно-кварцевая лампа низкого давления с фильтром Шотта UG5 на расстоянии 10 см) фототок превышал в 50 раз темновой ток. Фотопроводимость почти не изменялась при охлаждении до  $-78^\circ\text{C}$ . Во всех случаях наблюдалась «высоковольтная поляризация».



полагаем, следует принять, что эти различия связаны с тем, что в наших опытах применялись относительно низкие температуры и поля высокой напряженности. При температурах выше  $20^{\circ}\text{C}$  мы наблюдали отклонения от формулы (1), как видно из рис. 5. В общем, имеющиеся до сих пор данные дают основание полагать, что при больших содержаниях воды ( $>1$  г-моль на 100 г протеина), температурах выше  $20^{\circ}\text{C}$  и малой напряженности поля механизм электропроводности желатины имеет другой характер, чем при высокой напряженности поля, низкой температуре и относительно малом содержании воды. При этих последних условиях механизм проводимости желатины имеет, повидимому, сходство с механизмом проводимости льда. Во всяком случае, величина  $B$  при этих условиях совпадает с величиной  $B$  для льда:

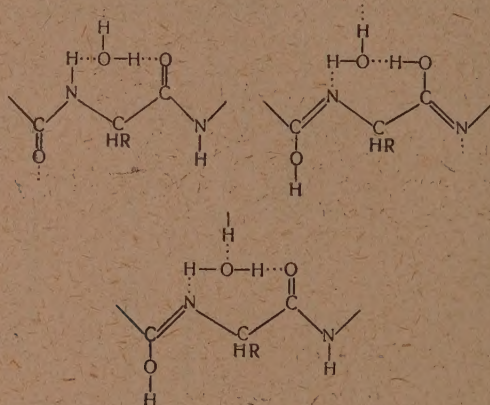


Рис. 6. Схема возможной связи между молекулой воды и полипептидной цепью посредством «водородных мостиков» (вариант I: молекула воды «замыкает» CO-группу с соседней NH-группой)

Мы считаем преждевременным пытаться дать окончательную и детальную картину механизма проводимости желатины с малым содержанием воды. Но некоторые особенности этого механизма можно отметить уже теперь. Во-первых, опыты Кинга—Мэддея на желатине (и других протеинах) с не слишком малым содержанием воды непосредственно показали, что электропроводность имеет здесь протонный характер. Так как и по наблюдениям Кинга—Мэддея и по нашим наблюдениям проводимость желатины обусловлена главным образом содержанием воды, то и при более низких содержаниях воды механизм проводимости должен быть преимущественно протонным. Во-вторых, имеются основания конкретизировать роль воды в рассматриваемых нами случаях. Образцы желатины, с которыми мы имели дело, содержат от нуля до одной молекулы воды на молекулу аминокислоты. При таком содержании воды мы имеем дело не со свободной водой, а с водой, структурно связанной с протеином [45—48]. Молекулы воды являются здесь «иммобилизованными». Кроме того, результаты прежних исследований о характере участия воды в строении белка указывают на то, что молекулы воды связываются с полярными группами CO и NH [46, 47, 49, 50], причем эта связь осуществляется посредством «водородных мостиков». Сходство между льдом и водосодержащим протеином заключается, следовательно, не только в наличии иммобилизованных молекул воды в обоих случаях, но и в характере химической связи, закрепляющей молекулы воды и протоны на их местах. (Такой же характер внедрения молекул воды принимается и у полиамидов, о чем говорит и ограниченная набухаемость этих веществ, и влияние воды на их электрические свойства [49].) Поэтому неудивительно, что при не слишком высоких тем-



пературах мы находим параллелизм между температурной зависимостью проводимости водусодержащего протеина и температурной зависимостью проводимости льда.

Можно представить себе различные виды связи молекулы  $H_2O$  с группами CO и NH. Молекула  $H_2O$  может «замыкать» две соседние группы CO и NH, расположенные в одной и той же полипептидной цепи (рис. 6). Таким образом получается «замыкание» CO-, NH-групп иммобилизованными молекулами воды вдоль полипептидной цепи. Но можно представить себе, что молекула воды располагается между CO-группой одной полипептидной цепи и NH-группой другой полипептидной цепи (рис. 7). В таком случае молекулы  $H_2O$  образуют мостики поперек полипептидных цепей. Можно полагать, что в водусодержащем протеине существуют оба этих вида внедрения воды. Как бы то ни было, нативные глобулярные белки содержат примерно по две-три молекулы воды на каждую молекулу аминокислоты. Поэтому при рассмотрении «электропроводности» белковой молекулы, т. е. ее способности к миграции зарядов и энергии, следует рассматривать не структурные схемы безводного белка, которого в живой природе не существует, а схемы, учитывающие наличие в нативных белках структурно связанной воды.

Даже если не придавать особого значения совпадению величины  $B$  для льда с той же величиной для водусодержащей желатины, то все же нет сомнения, что у льда и у водусодержащей нативной белковой молекулы имеются некоторые общие черты, существенные для интересующего нас вопроса.

Сделанный в предыдущей статье [3] вывод об образовании цепочек поляризованных молекул  $H_2O$  (или поляризованных водородных мостиков) можно перенести и на водусодержащую молекулу нативного белка. По тем же причинам и в белковой молекуле должны возникать цепочки из поляризованных водородных мостиков, если имеется либо внешнее электрическое поле достаточной напряженности, либо элементарный заряд, возникший вследствие облучения или каких-нибудь химических процессов. При наличии цепочки из ориентированных водородных мостиков переход протона по цепочке сквозь всю белковую молекулу может происходить с большой скоростью и без затраты существенной энергии активации. Значительная энергия активации требуется, однако, для образования самой цепочки. Если совпадение величин для льда и для водусодержащей желатины не является случайным, то это означает, что для ориентации протона в водусодержащей белковой молекуле требуется та же энергия активации, что и во льду. Такой вывод представляется во всех отношениях весьма правдоподобным.

Чтобы уяснить себе значение нашего вывода о механизме протонной миграции зарядов и энергии в белковой молекуле, необходимо указать еще на следующее. Можно встать на точку зрения, что способность белковой молекулы проводить заряды не имеет отношения к миграции энергии в том смысле, в котором мы подразумеваем это понятие. Проводником электричества является и водная фаза, окружающая белковую молекулу в живой ткани; можно задать вопрос, почему «проводимости» белковой молекулы приписывается какая-то особая роль, несмотря на то, что водная фаза вокруг белковой молекулы имеет тоже не меньшую электропровод-

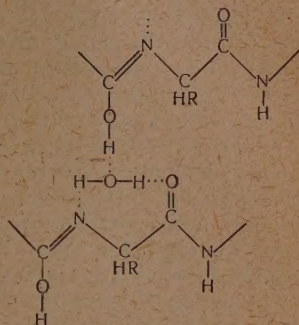


Рис. 7. Схема возможной связи между молекулой воды и полипептидной цепью посредством «водородных мостиков» (вариант II: молекула воды «замыкает» CO-группу с NH-группой, находящейся в другом участке полипептидной цепи)



ность. Ответ на такое возражение заключается в следующем. Суть дела заключается не в проводимости как таковой, а в ее механизме. При обычной проводимости водной фазы не происходит никаких процессов, которые можно бы было назвать миграцией энергии. Порции мигрирующей здесь энергии имеют порядок  $kT$ . Энергия электрического поля распределяется по многим частицам и степеням свободы, превращается в тепло и деградируется. Здесь происходит только миграция зарядов, но миграции энергии здесь не происходит. Если в водной фазе возник ион, то затраченная энергия передается (без посредства обыкновенной диффузии) лишь на незначительные расстояния, а в большем отдалении от иона его действие снижается с квадратом расстояния. Совсем другую картину мы имеем, если передача заряда и энергии происходит по механизму, который, согласно нашим результатам, следует принять для миграции протона по цепочке поляризованных молекул во льду и в водусодержащем белке. Здесь ионизация передается на значительные расстояния без деградации энергии. Мы уже неоднократно применяли выражение «передача заряда по определенным каналам» или «пробойный тип передачи заряда». Выражение «пробой» подчеркивает, что энергия передается при такого рода процессах без постепенного рассеивания в пространстве, а переходит как целое по определенной трассе до какого-нибудь акцептора, воспринимающего энергию. Передача заряда является, как видно, необходимым, но не достаточным условием для миграции энергии этого типа.

Получаемая картина передачи энергии и заряда в белке имеет ряд преимуществ по сравнению с прежними предположениями (рис. 1). Во-первых, безводного белка не существует в живой природе, так что схема, изображенная на рис. 1, не может полностью соответствовать действительности. Во-вторых, эта схема, не учитывающая наличия воды в белковой молекуле, сталкивается и с некоторыми трудностями в применении к вопросу о миграции энергии. Согласно этой схеме [42] процесс передачи заряда и энергии должен быть однократным. Для того чтобы все протоны переключились на прежнее положение и процесс мог повториться, необходимо, чтобы тот же заряд прошел в обратном направлении. Такое следствие является неудовлетворительным, так как оно представляет препятствие при объяснении энзимных процессов при помощи миграции энергии. Было бы непонятно, почему энзимное действие данной энзимной молекулы может многократно повторяться. Это затруднение отпадает, если учесть наличие в белковой молекуле иммобилизованных молекул воды и вспомнить выводы, полученные в отношении льда. Как указывалось в предыдущей статье [3], по прохождении протона через цепочку ориентированных молекул цепочка дезориентируется и «распадается»; восстанавливается первоначальное состояние, и весь процесс может начаться заново. Из абсолютных значений проводимости белковых веществ с содержанием воды, соответствующим содержанию воды в нативных белковых молекулах, можно подсчитать, что такой процесс может повторяться в одной и той же белковой молекуле очень много раз в секунду. Для более точных подсчетов скорости регенерации этого процесса следовало бы иметь более конкретные данные о структуре нативных белковых молекул и точные сведения о расположении в них молекул воды. Для цели данной работы достаточно, что на основании уже имеющихся данных о характере внедрения воды в белковой молекуле и на основании собственных наблюдений на модельных веществах мы получаем представление о физической сущности миграции энергии в белке.

### ВЫВОДЫ

1. При температурах не выше  $+25^{\circ}\text{C}$  и при высокой напряженности поля (выше  $50\,000\text{ V/cm}$ ) температурная зависимость электропроводности желатины с малым содержанием воды (от 0 до 0,6 г-мол.  $\text{H}_2\text{O}$  на 100 г



сухого белка) выражается формулой  $\kappa = \kappa_0 e^{-B/kT}$ . При указанных условиях получается постоянство величины  $B$ , причем абсолютное значение этой величины оказывается тем же, что и для льда (21 ккал/моль). Можно полагать, что это совпадение не случайно, что оно основано на наличии в белке структурно связанной воды и что природа подвижности протонов в белке имеет общие черты с подвижностью протонов во льду.

2. При напряженности поля выше 50 000 В/см у желатины вышеуказанного типа наблюдается эффект Поуля.

3. Обычно молекула, перешедшая термически в состояние «ионной пары», быстро возвращается в первоначальное, нейтральное состояние. Но если присутствует какой-нибудь акцептор для заряда (электрона или протона), отщипнувшегося от молекулы, то заряд не вернется на свое прежнее место. Таким акцептором, захватывающим заряд, может служить, например, посторонний ион, появившийся вблизи данной молекулы или возникший под действием излучения или химической реакции. Экспериментально можно имитировать такой захват заряда, отщепленного термически от молекулы, посредством полей высокой напряженности. Внешнее поле высокой напряженности эквивалентно акцептору, препятствующему возвращению электрона (или протона) к покинутой им молекуле.

В присутствии акцептора (постороннего иона или сильного внешнего поля) ионные пары могут стабилизироваться или переходить в состояние «свободных» ионов. Став стабильным ионом или диполем, молекула сама становится акцептором заряда по отношению к следующей, соседней молекуле. Таким образом смещение заряда может передаваться от молекулы к молекуле на большие расстояния.

4. В конденсированных фазах органических веществ, в полимеризатах и в макромолекулах возможен механизм передачи ионизации на большие расстояния. Эта передача происходит не за счет малого смещения множества элементарных зарядов (т. е. не наподобие обычной диэлектрической поляризации), а за счет большого смещения относительно немногих последовательно расположенных элементарных зарядов. Смещение зарядов происходит по определенным каналам, как в случае «пробоя».

У льда эти процессы и конфигурации представляются в конкретной форме, в виде цепочек («ассоциатов») из стабилизирующих друг друга, однозначно поляризованных молекул  $H_2O$ . По таким цепочкам протон перемещается без существенной затраты энергии активации. Наличие параллелизма между электропроводностью льда и электропроводностью водосодержащей желатины указывает на то, что и в нативном белке, содержащем структурно связанные, иммобилизованные молекулы  $H_2O$ , передача заряда и энергии происходит по механизму, подобному передаче протонов во льду. При передаче заряда по такому механизму энергия не рассеивается в пространство, а мигрирует по определенному пути к определенной точке.

Поступила  
17.I.1955

#### ЛИТЕРАТУРА

1. Н. В. Риль, Журн. физ. химии, 29, 959, 1955.
2. Н. В. Риль, Журн. физ. химии, 29, 1152, 1955.
3. Н. В. Риль, Журн. физ. химии, 29, 1372, 1955.
4. N. Riehl, Ann. d. Phys. (5), 29, 636, 1937.
5. N. Riehl, Naturwiss., 29, 601, 1940.
6. Н. Риль, Усп. физ. наук, 35, 186, 1948.
7. А. Н. Теренин, Усп. физ. наук, 43, 347, 1951.
8. Д. И. Блохинцев, ДАН, 2, 76, 1934.
9. Ф. Ф. Антонов-Романовский, ДАН, 2, 2, 1935.
10. В. Л. Левшин, ДАН, 2, 108, 1935; 17, 95, 1937.
11. N. Riehl, M. Schö n, Zs. f. Phys., 114, 682, 1939.
12. Н. Риль, Люминесценция, ОГИЗ, Гостехиздат, 1946; N. Riehl, Lumineszenz, 1941.



13. В. Л. Левшин, Фотолуминесценция жидких и твердых тел, М., Гостехтеоретиздат, 1951.
14. С. И. Вавилов, ЖЭТФ, 13, 13, 1943; ДАН, 42, 334, 1944.
15. J. Perrin, C. R., 154, 1097, 1927.
16. А. Н. Севченко, ДАН, 42, 349, 1944.
17. М. Д. Галанин, ДАН, 57, 883, 1947.
18. Ф. Ф. Теофилов и Б. Я. Свешников, ЖЭТФ, 10, 1272, 1940.
19. С. И. Вавилов, М. Д. Галанин, Ф. М. Пекерман, Изв. АН СССР, сер. физ., 13, 18, 1949.
20. С. И. Вавилов и М. Д. Галанин, ДАН, 47, 811, 1949.
21. F. Perrin, Ann. d. phys., 12, 69, 1929; Ann. de chimie phys., 17, 283, 1932.
22. Th. Förster, Naturwiss., 33, 166, 1946.
23. Th. Förster, Fluoreszens org. Verbindungen; Göttingen, 1951.
24. G. Scheibe, L. Kandler, Naturwiss., 26, 412, 1938.
25. G. Scheibe, Angew. Chem., 52, 631, 1939.
26. G. Scheibe, A. Schöntag, F. Katheder, Naturwiss., 27, 499, 1939.
27. A. Winterstein, K. Schön, Naturwiss., 22, 237, 1934.
28. F. Weigert, Trans. Farad. Soc., 36, 1033, 1940.
29. E. J. Bowen, Nature, 142, 1081, 1938.
30. E. J. Bowen, Mikiewicz, Nature, 159, 706, 1947; Proc. Phys. Soc., 62, 28, 1949.
31. Я. И. Френкель, Phys. Zs. d. Sow. Un., 9, 158, 1936.
32. A. Szent-György, Nature, 9, 157, 1941.
33. N. Riehl, Naturwiss., 31, 590, 1944.
34. N. Riehl, Trans. of the Chalmers University of Technology (Sweden, Göteborg), Nr. 29, 1944.
35. Н. В. Риль, Миграция энергии, Гостехиздат, 1948.
36. E. C. Wassink, J. A. H. Kersten, Enzymologia, 12, 3, 1946.
37. R. W. Norman, C. S. French, F. D. H. MacDowell, Plant Physiology, 23, 455, 1948.
38. W. Arnold, J. R. Oppenheimer, Journ. Gen. Physiology, 33, 423, 1950.
39. F. T. Naxo, L. R. Blinks, Journ. Gen. Physiology, 33, 389, 1950.
40. Th. Bücher, J. Kaspers, Naturwiss., 33, 93, 1946.
41. H. Theorell, Biochem., 25, 268, 73, 1934.
42. K. Wirtz, Zs. f. Naturforsch., 2b, 94, 1947; 2a, 264, 1947; 3b, 131, 1948; Zs. f. Elektrochem., 54, 47, 1950.
43. Th. Svedberg, K. O. Pedersen, Die Ultrazentrifuge, 1940, Leipzig, стр. 320.
44. G. King, J. Medley, Journ. Colloid Sci., 4, 1, 9, 1949.
45. N. Riehl, Hoppe-Seylers Ztschr. f. physiol. Chem., 281, 73, 1944.
46. Wo. Pauli, E. Valko, Kolloidchemie der Eiweißkörper, Leipzig, 1933, стр. 157.
47. А. Г. Пасынский и Р. С. Черняк, Труды Всесоюзной конференции по коллоидной химии, Изд-во АН УССР, Киев, 1952, стр. 5.
48. И. Н. Путилова, Труды Всесоюзной конференции по коллоидной химии, Изд-во АН СССР, Киев, 1952, стр. 16.
49. W. O. Baker, Advancing Fronts in Chemistry, I, High Polymers, 1945.
50. A. M. Bushwell, W. H. Redebusch, M. F. Roy, Journ. Amer. Chem. Soc., 60, 2444, 1938.



## ВЛИЯНИЕ ТЕМПЕРАТУРЫ НА СПЕКТРЫ ПОГЛОЩЕНИЯ РАСТВОРОВ ЭЛЕКТРОЛИТОВ

*С. В. Горбачев и П. А. Загорец*

Спектральными и фотохимическими исследованиями спектров поглощения растворов электролитов было установлено, что полосы поглощения гидратированных ионов связаны с определенным процессом фотохимического окисления или восстановления иона, осуществляемым за счет переноса электрона от иона к молекуле воды гидратной оболочки или, наоборот, от молекулы воды к иону. Энергия этого процесса определяется в первую очередь энергией гидратации иона или разницей энергий гидратаций иона в двухвалентных состояниях [1—3].

Такое толкование спектров поглощения гидратированных ионов получило свое экспериментальное подтверждение на примере спектров поглощения ионов  $J^-$ ,  $Br^-$ ,  $Cl^-$  [4],  $Fe^{2+}$  [5—6],  $Fe^{3+}$ ,  $Cu^{2+}$  [7—9],  $Cr^{2+}$  [10]. Можно предположить, что ультрафиолетовые полосы поглощения катионов  $Ag^+$ ,  $Tl^+$ ,  $Hg^{2+}$ ,  $Zn^{2+}$ ,  $Cd^{2+}$  и др. также связаны с процессами электронного переноса внутри аквакомплекса.

Если, в соответствии с изложенными представлениями, энергия поглощенного кванта определяется энергией гидратации, то при повышении температуры можно ожидать смещения полосы поглощения в сторону длинных волн вследствие ослабления энергии связи в системе ион—гидратная оболочка. Действительно, такой эффект качественно был обнаружен в работах [11] и [12] и истолкован с точки зрения гидратной теории растворов Д. И. Менделеева. Появившиеся после этого работы [13—18] немногочисленны и ограничиваются качественной стороной явления. Было изучено влияние температуры на спектры поглощения ионов  $Cu^{2+}$  [15],  $Ni^{2+}$  [14],  $Co^{2+}$  [12, 16],  $Cr^{3+}$  [16] в видимой области спектра и ионов  $Co^{2+}$ ,  $Ni^{2+}$  [13],  $J^-$ ,  $Br^-$ ,  $Cl^-$  [17],  $NO_3^-$  [18],  $CrO_4^{2-}$  [12] в ультрафиолетовой области спектра.

В настоящей работе было изучено влияние температуры на спектры поглощения в ультрафиолетовой области спектра ионов  $Ag^+$ ,  $Tl^+$ ,  $Cu^{2+}$ ,  $Hg^{2+}$ ,  $Fe^{3+}$ ,  $J^-$ ,  $CrO_4^{2-}$ .

Спектры поглощения снимались на спектрографе Хильгера. Источником света служила водородная лампа конструкции Остроумова. Марки почернений наносились при помощи вращающегося сектора. Кювета с исследуемым раствором нагревалась проточной водой до необходимой температуры в специально сконструированном термостате. Температура поддерживалась с точностью  $\pm 0,5^\circ$ . Спектры снимались при температурах 20, 40, 60 и  $80^\circ$ . Спектрограммы фотометрировались на микрофотометре МФ-2. Для фотографирования спектров были использованы спектральные фотопластинки типа II и III НИКФИ.

Исследованию подвергались только хлорнокислые соли соответствующих катионов, очищавшиеся многократной перекристаллизацией из трижды перегнанной воды.  $KJ$  получен многократной перекристаллизацией из воды и высаживанием оптически чистым спиртом.  $K_2CrO_4$  получен шестикратной перекристаллизацией продажной соли марки «ч. д. а.».

В работах [14], [17, 18] было показано, что максимумы ультрафиолетовых полос поглощения растворов электролитов не претерпевают суще-



ственного изменения с увеличением температуры. Наибольшее смещение наблюдается для длинноволновой границы поглощения. Поэтому исследование влияния температуры на полосы поглощения гидратированных ионов в ряде случаев ограничивалось средней и нижней частью кривой.

Было установлено, что с повышением температуры полосы равномерно сдвигаются в сторону длинных волн, т. е. величины смещений полос поглощения для интервалов температур 20—40°, 40—60° и 60—80° при одном и том же значении коэффициента поглощения  $\epsilon$  практически одинаковы.

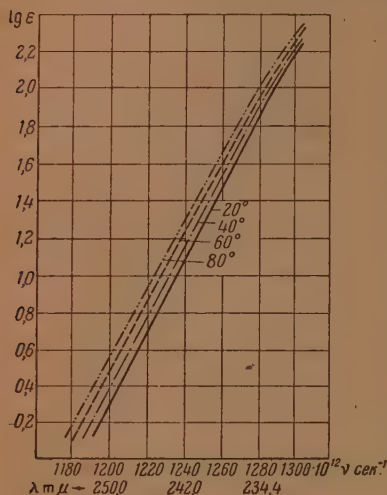


Рис. 1. Влияние температуры на спектр поглощения гидратированного иона  $\text{Ag}^+$

Поэтому смещение полосы ( $\Delta\nu$  сек.<sup>-1</sup>) на 60° определялось по кривым поглощения как усредненная сумма смещений  $\Delta\nu$  в каждом интервале температур. Величины смещения полос поглощения определялись также на микрофотометре МФ-2 по точкам равного почернения. Для одной и той же области длин волн оба метода давали вполне согласованные результаты.

На основании опытных данных строились кривые,  $\lg \epsilon = f(\nu)$  для температур 20, 40, 60 и 80°. Экстраполяцией до  $\lg \epsilon = 0$  определены длинноволновые границы полос поглощения гидратированных ионов, смещение этих полос на 60° и рассчитаны температурные коэффициенты сдвига полос поглощения  $\Delta E / \Delta T$  (отнесенные к  $\lg \epsilon = 0$ ).

На рис. 1 представлены полосы поглощения гидратированного иона  $\text{Ag}^+$  при температурах 20, 40, 60 и 80°. Полученная кривая поглощения при 20° хорошо согласуется с данными работ [19], [20]. Длинноволновая граница полосы

поглощения, определенная экстраполяцией по кривой поглощения для 20° до  $\lg \epsilon = 0$ , равна  $39\,450 \text{ см}^{-1}$  ( $253,4 \text{ мμ}$ ). При нагревании до 80° эта граница смещается на  $450 \text{ см}^{-1}$ . Температурный коэффициент смещения  $\Delta E / \Delta T = 21,40 \text{ кал/г-мол} \cdot \text{град}$ .

Полосы поглощения гидратированного иона  $\text{Ti}^{3+}$  (рис. 2) получены при спектрофотометрическом изучении растворов  $\text{TiClO}_4$  в интервале концентраций  $0,15323\text{—}0,00015323 \text{ г-ион/1000 г}$ . Отклонений от закона Бэра в исследованном интервале концентраций не обнаружено. Кривая поглощения при 20° полностью согласуется с соответствующей кривой, полученной в работе [21] при комнатной температуре. Длинноволновая граница поглощения равна  $39\,150 \text{ см}^{-1}$  ( $255,4 \text{ мμ}$ ). Сдвиг полосы на 60° составляет  $390 \text{ см}^{-1}$ . Температурный коэффициент смещения полосы  $\Delta E / \Delta T = 18,5 \text{ кал/г-мол} \cdot \text{град}$ . Как видно из приведенного рис. 2, наибольшее смещение претерпевает длинноволновая граница полосы поглощения. Кривые поглощения для 20, 40, 60 и 80° по мере приближения к максимуму сближаются и в максимуме практически сливаются.

Спектры поглощения гидратированного иона  $\text{Cu}^{2+}$  (рис. 3) получены фотографиярованием спектров растворов  $\text{Cu}(\text{ClO}_4)_2$  в интервале концентраций  $0,0985\text{—}0,0048 \text{ г-ион/1000 г}$ . Растворы подкислялись хлорной кислотой, концентрация которой составляла от 0,1 до  $0,001 \text{ г-мол/1000 г}$ . Полученная для 20° кривая поглощения согласуется с данными работ [7, 9, 22]. Длинноволновая граница поглощения равна  $37\,550 \text{ см}^{-1}$  ( $266,3 \text{ мμ}$ ). Повышение температуры на 60° смещает эту границу на  $1300 \text{ см}^{-1}$ . Температурный коэффициент смещения длинноволновой границы поглощения  $\Delta E / \Delta T = 61,8 \text{ кал/г-мол} \cdot \text{град}$ .



Растворы  $\text{Hg}(\text{ClO}_4)_2$  исследовались в концентрациях 0,334 и 0,167 г-ион/1000 г с содержанием  $\text{HClO}_4$  0,1 г-мол/1000 г. Закон Бэра для растворов  $\text{Hg}(\text{ClO}_4)_2$  не соблюдается. Положение полосы поглощения заметно зависит от концентрации раствора, что было уже ранее обнаружено [21]; наблюдаемое смещение полос поглощения при изменении концентрации было отнесено за счет изменения степени диссоциации хлорнокислой ртути. В наших опытах установлено, что разбавление раствора  $\text{Hg}(\text{ClO}_4)_2$  в два раза смещает длинноволновой край полосы поглощения на  $80 \text{ см}^{-1}$  в сторону более длинных волн. При частоте  $1200 \cdot 10^{12} \text{ сек}^{-1}$  кривые поглощения для растворов обеих концентраций практически сливаются. Длинноволновая граница полосы поглощения раствора  $\text{Hg}(\text{ClO}_4)_2$

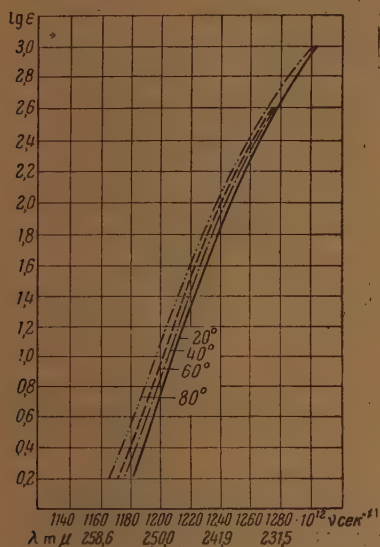


Рис. 2. Влияние температуры на спектр поглощения гидратированного иона  $\text{Tl}^+$

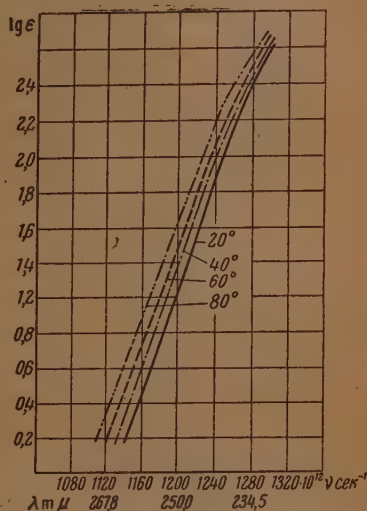


Рис. 3. Влияние температуры на спектр поглощения гидратированного иона  $\text{Cu}^{2+}$

концентрации 0,0337 г-ион/1000 г равна  $268 \text{ мμ}$  (рис. 4). При нагревании на  $60^\circ$  смещение края полосы составляет  $1030 \text{ см}^{-1}$ . Температурный коэффициент  $\Delta E / \Delta T = 49,2 \text{ кал/г-мол} \cdot \text{град}$ .

Отмеченная выше особенность растворов  $\text{Hg}(\text{ClO}_4)_2$  заставляет предположить, что на собственное поглощение гидратированного иона  $\text{Hg}^{2+}$  накладывается эффект изменения диссоциации  $\text{Hg}(\text{ClO}_4)_2$  с ростом температуры. Поэтому приведенный температурный коэффициент смещения края полосы поглощения гидратированного иона  $\text{Hg}^{2+}$  следует рассматривать как приближенную величину.

Особенностью всех солей трехвалентного железа является их резко выраженная способность к гидролизу. Поэтому для исследования спектров поглощения применялись растворы, содержащие значительные количества хлорной кислоты. Кривые поглощения гидратированного иона  $\text{Fe}^{3+}$  (рис. 5) получены фотографированием спектров растворов  $\text{Fe}(\text{ClO}_4)_3$  концентраций от 0,2346 до 0,0001173 г-ион/1000 г. Концентрация  $\text{HClO}_4$  в растворах изменялась от 1,32 до 0,57 г-мол/1000 г. Полученная кривая поглощения гидратированного иона  $\text{Fe}^{3+}$  при  $20^\circ$  находится в хорошем согласии с данными работы [8]. Начиная с  $337 \text{ мμ}$ , обнаруживается заметное отклонение кривой поглощения в сторону длинных волн. При температуре  $80^\circ$  это отклонение проявляется уже при  $326 \text{ мμ}$ , и длинно-

волновая граница поглощения резко смещается в сторону меньших частот. Детальное спектрометрическое исследование растворов солей трехвалентного железа показало, что при повышенных концентрациях растворов даже при наличии значительных количеств кислоты имеет

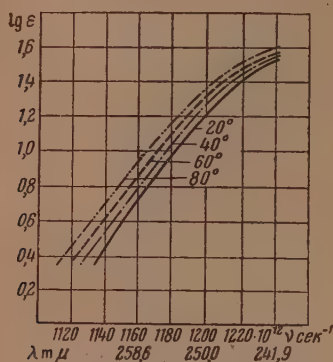


Рис. 4. Влияние температуры на спектр поглощения гидратированного иона  $\text{Hg}^{2+}$

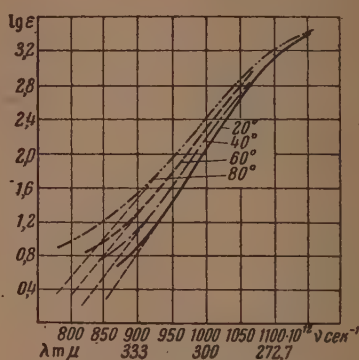


Рис. 5. Влияние температуры на спектр поглощения гидратированного иона  $\text{Fe}^{3+}$

место гидролиз, сопровождающийся образованием ионов  $\text{Fe}(\text{OH})^{2+}$  и  $\text{Fe}(\text{OH})_2^+$ , полосы поглощения которых находятся в видимой области спектра.

Повышение температуры благоприятствует процессу гидролиза, что проявляется в более резком изгибе кривых поглощения в сторону длинных волн при температуре 40, 60 и 80°.

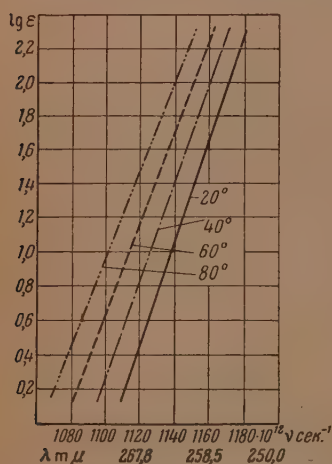


Рис. 6. Влияние температуры на спектр поглощения гидратированного иона  $\text{J}^-$

Программы показало, что максимум очень слабо (4–6 Å) смещается в красную сторону спектра.

Влияние температуры на спектр поглощения гидратированного иона  $\text{J}^-$  было изучено в работе [17]. Наши измерения подтверждают данные, полученные в упомянутой работе. С целью получения количественных данных, относящихся к краю полосы, были сняты спектры поглощения

Поэтому длинноволновая граница спектра и температурный коэффициент смещения полосы определялись по линиям, экстраполированным от прямолинейных участков кривых поглощения до  $\lg \epsilon = 0$  (пунктирные линии на рис. 5). Определенная таким образом граница полосы равна  $27450 \text{ см}^{-1}$  ( $364,5 \text{ мк}$ ). Смещение спектра поглощения при нагревании на  $60^\circ$  составляет  $2240 \text{ см}^{-1}$ , а температурный коэффициент  $\Delta E/\Delta T = 106,6 \text{ кал/г-мол} \cdot \text{град}$ . Установленное для других ионов закономерное сближение кривых поглощения при температурах 20, 40, 60 и  $80^\circ$  по мере приближения к максимуму нагляднее всего проявляется на примере спектра поглощения гидратированного иона  $\text{Fe}^{3+}$ . На спектрограмме, относящейся к области максимума, визуально нельзя обнаружить никаких изменений спектров с возрастанием температуры. Лишь тщательное фотометрирование этой спек-



растворов  $KJ$  (в концентрациях от 0,09382 до 0,002566 г-ион/1000 г), охватывающие среднюю и нижнюю части полосы поглощения (рис. 6). Экстраполяцией до  $\lg \varepsilon = 0$  было определено положение длинноволновой границы поглощения  $36800 \text{ см}^{-1}$  ( $271,7 \text{ м}\mu$ ). Соответствующая величина, по данным работы [20], равна  $272 \text{ м}\mu$ . Смещение этой границы в сторону длинных волн при повышении температуры на  $80^\circ$  составляет  $1285 \text{ см}^{-1}$ . В работе [17] это смещение в интервале температур  $17-75^\circ$  равно  $1250 \text{ см}^{-1}$ . Температурный коэффициент  $\Delta E / \Delta T$  равен  $61,1 \text{ кал/г-мол}\cdot\text{град}$ .

В работе [12] было показано, что изменение температуры практически не оказывает никакого влияния на спектр поглощения иона  $\text{CrO}_4^{2-}$ . Проведенные нами тщательные измерения показали, что при повышении температуры обе полосы поглощения  $\text{CrO}_4^{2-}$  очень слабо расширяются в направлении более длинных волн (рис. 7). Для  $300 \text{ м}\mu$  это смещение не превышает  $6 \text{ \AA}$ . Несколько больше сдвигается длинноволновая ветвь первой полосы ( $\lambda_{\text{макс}} = 369,5 \text{ м}\mu$ ). Для  $4000 \text{ м}\mu$  это смещение равно  $25-30^\circ \text{ \AA}$ . Оба максимума положения и интенсивности не меняют. Кривая поглощения иона  $\text{CrO}_4^{2-}$ , представленная на рис. 7, вычерчена на основании измерения при  $20^\circ$ . Кресточками нанесены данные, относящиеся к  $80^\circ$ .

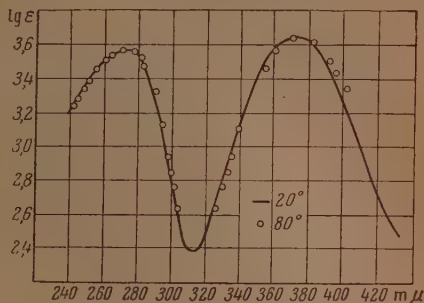


Рис. 7. Влияние температуры на спектр поглощения гидратированного иона  $\text{CrO}_4^{2-}$

## ВЫВОДЫ

1. Изучено влияние температуры на спектры поглощения гидратированных ионов  $\text{Ag}^+$ ,  $\text{Tl}^+$ ,  $\text{Cu}^{2+}$ ,  $\text{Hg}^{2+}$ ,  $\text{Fe}^{3+}$ ,  $\text{CrO}_4^{2-}$ ,  $\text{J}^-$ .
2. Установлено закономерное смещение полос поглощения ионов в сторону более длинных волн при повышении температуры. Исключением является полоса поглощения  $\text{CrO}_4^{2-}$ . Получены количественные данные, характеризующие это смещение. Рассчитаны термические коэффициенты смещения полос поглощения гидратированных ионов.

Химико-технологический институт  
им. Д. И. Менделеева  
Москва

Поступила  
21.XII.1954

## ЛИТЕРАТУРА

1. А. Н. Тёренин, Фотохимия красителей, Изд-во АН СССР, М.—Л., 1947.
2. J. Franck, F. Haber, Sitz.-ber. Preuss. Akad. Wiss., 13, 250, 1931.
3. A. Farkas, L. Farkas, Trans. Farad. Soc., 34, 1113, 1938.
4. К. В. Бутков, ЖЭТФ, 1, 139, 1931, Журн. физ. химии, 3, 310, 1932.
5. J. Weiss, Nature, 134, 794, 1935.
6. R. Potterill, O. Walker, J. Weiss, Proc. Roy. Soc., 156, 561, 1936.
7. Б. Я. Даин, Изв. АН СССР, сер. физ., 12, 513, 1948.
8. Б. Я. Даин и А. А. Качан, ДАН, 61, 471, 1948.
9. М. С. Ашкинази и Е. П. Костриков, Журн. физ. химии, 23, 1449, 1949.
10. Б. Я. Даин, Б. Ф. Куца, Э. Л. Либерзон, Журн. физ. химии, 17, 226, 1943.
11. H. Jones, W. Strong, A study of the absorption spectra solution of certain salts, etc., Washington, 1910.
12. A. Hantsch, Zs. phys. Chem., 72, 362, 1910.
13. S. Datta, M. Debb, Phil. Mag., 23, 1005, 1937.

14. M. R. Trehin, C. R., 216, 558, 1943, Ann. Phys., 20, 372, 1945.
  15. А. А. Запьяко и А. А. Сатуновский, Журн. физ. химии, 13, 1509, 1939.
  16. B. Ghosh, Journ. Ind. Chem. Soc., 22, 21, 1945.
  17. G. Scheibe, Zs. Elektrochem., 34, 497, 1928; 35, 701, 1929.
  18. J. Darmois, C. R., 223, 616, 663, 1946.
  19. U. Volbert, Zs. phys. Chem., A149, 382, 1930.
  20. H. Fromherz, W. Menschick, Zs. phys. Chem., B3, 1, 1929.
  21. H. Fromherz, Kun Hou-Lih, Zs. phys. Chem., A153, 821, 1931; A167, 103, 1933.
  22. E. Dohelmann, H. Fromherz, Zs. phys. Chem., A171, 353, 1934.
-



## СПЕКТРЫ ПОГЛОЩЕНИЯ ЛЕЙКО-ОСНОВАНИЙ КРАСИТЕЛЕЙ В КИСЛЫХ РАСТВОРАХ И В ТВЕРДОМ СОСТОЯНИИ

### III. ЛЕЙКО-ОСНОВАНИЯ ТРИФЕНИЛМЕТАНОВЫХ КРАСИТЕЛЕЙ

*А. Т. Вартанян*

В предыдущих сообщениях [1, 2] нами было показано, что в отсутствие окислителей некоторые оксазиновые и тиазиновые красители в твердом состоянии переходят в лейко-форму при взаимодействии с газообразным сероводородом.

Было целесообразно распространить метод непосредственного получения лейко-оснований в твердом состоянии на красители других классов. В данном сообщении мы приводим результаты исследования влияния сероводорода на твердые пленки трифенилметановых красителей. Были испытаны парафуксин, малахитовый зеленый и кристаллический фиолетовый.

В отличие от лейко-оснований тиазиновых и оксазиновых красителей лейко-основания упомянутых трифенилметановых красителей в твердом состоянии длительное время не изменяются на воздухе, и поэтому мы имели возможность сравнить спектры поглощения бесцветных продуктов, образующихся при взаимодействии сероводорода с твердыми пленками красителей, со спектрами поглощения лейко-оснований, полученных обычным синтезом. Мы располагали лейко-основаниями парафуксина и малахитового зеленого фирмы Агфа.

Методика получения твердых пленок лейко-оснований, пригодных для спектрофотометрирования, детально была описана в нашем первом сообщении [1]. Так как трифенилметановые красители образуют прозрачные и совершенно равномерные пленки, то для получения твердых пленок лейко-оснований исследованных красителей можно было пользоваться непосредственным восстановлением красителей на пластинках без последующей возгонки. В данной работе были испытаны как осажденные возгонкой, так и непосредственно восстановленные на кварцевых пластинках пленки лейко-оснований. Восстановление кристаллического фиолетового и малахитового зеленого производилось при 100° С, а парафуксина при 150° С.

На рис. 1—3 приведены спектры поглощения спиртовых растворов бесцветных соединений, образующихся при действии газообразного сероводорода на твердые пленки парафуксина, малахитового зеленого и кристаллического фиолетового. На рис. 1, 2 приведены также спектральные кривые поглощения спиртовых растворов лейко-оснований парафуксина и малахитового зеленого фирмы Агфа. Они совпадают с кривыми поглощения бесцветных соединений, образовавшихся из красителей при действии сероводорода. Полученные нами результаты совпадают также с результатами В. В. Перекалина, М. В. Савостьяновой и Р. И. Морозовой [3], специально синтезировавших и подвергавших тщательной очистке лейко-основания малахитового зеленого и кристаллического фиолетового. Из сказанного следует, что бесцветные соединения, образующиеся в результате взаимодействия пленок исследованных трифенилметановых красителей в твердом состоянии с газообразным сероводородом, представляют собой лейко-основания соответствующих красителей. Следовательно, кри-

вые поглощения твердых пленок полученных бесцветных соединений представляют собой кривые поглощения лейко-оснований в твердом состоянии.

Эти кривые показаны на рис. 4. По сравнению со спектрами поглощения спиртовых растворов спектры твердых пленок слегка смещены в сторону длинных волн. Для малахитового зеленого и кристаллического фиолетового этот сдвиг достигает  $900\text{--}1000\text{ см}^{-1}$ . Слабо выраженная колебательная структура, наблюдающаяся в коротковолновой полосе поглощения спиртового раствора, отсутствует в спектре лейко-основания твердой пленки.

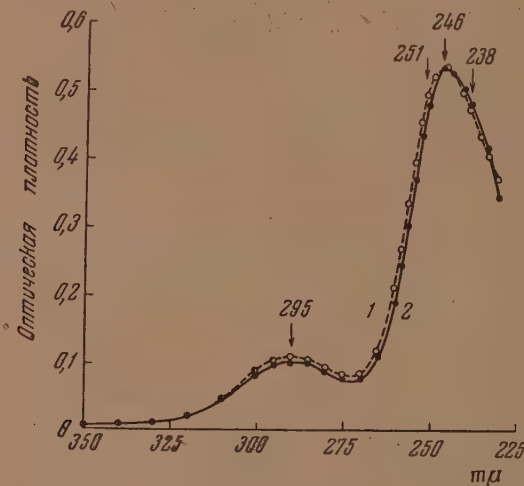


Рис. 1. 1 — спектральная кривая поглощения спиртового раствора лейко-основания парафуксина, полученного восстановлением красителя газообразным сероводородом; 2 — спектральная кривая поглощения спиртового раствора лейко-основания парафуксина фирмы Agfa

Считаем необходимым остановиться на вопросе о происхождении двух областей поглощения у лейко-оснований. Известно, что у ди- и трифенилметана, а также их гидроксильных производных, а именно ди- и трифенилкарбинола, наблюдается одна область поглощения, расположенная при  $240\text{--}280\text{ мμ}$  и имеющая резко выраженную колебательную структуру [3]. Между тем у лейко-оснований трифенилметановых красителей, полученных введением диметиламиногрупп в трифенилметан, наблюдаются две области поглощения, максимумы которых расположены при  $260$  и  $300\text{ мμ}$ . Существует точка зрения, согласно которой при введении в трифенилметан диметиламиногруппы полоса поглощения в области  $240\text{--}280\text{ мμ}$  сохраняется, и появляется новая более слабая полоса с максимумом при  $300\text{ мμ}$  [3]. Нам представляется, что полоса поглощения в области  $300\text{ мμ}$  не является новой, а представляет собой полосу поглощения трифенилметана, смещенную в сторону длинных волн вследствие введения диметиламиногрупп. Если говорить о новой полосе, то таковой является полоса с максимумом при  $260\text{ мμ}$ , поскольку она обусловлена присутствием диметиламиногрупп. Действительно, спектр поглощения аминов расположен в короткой ультрафиолетовой области [4]. Спектр поглощения ароматических аминов, в частности анилина, состоит из двух областей поглощения соответственно двум частям молекулы — фенильной и аминогруппе. Поглощение, обусловленное фенильной группой, наблюдается в области  $270\text{--}300\text{ мμ}$ , а поглощение, обу-



словленное аминогруппой,— в области короче 240 м $\mu$ . Интенсивность коротковолновой полосы в несколько раз превосходит интенсивность длинноволновой полосы [5]. Заметим, что в коротковолновой области поглощения паров анилина наблюдается колебательная структура, состоящая из трех серий полос [6—8]. По мере метилирования анилина

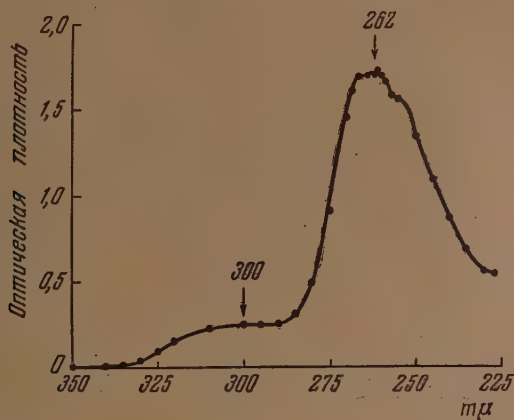


Рис. 2. Спектральная кривая поглощения спиртового раствора лейко-основания малахитового зеленого фирмы Агфа; точки соответствуют спектру поглощения спиртового раствора лейко-основания малахитового зеленого, полученного восстановлением красителя газообразным сероводородом

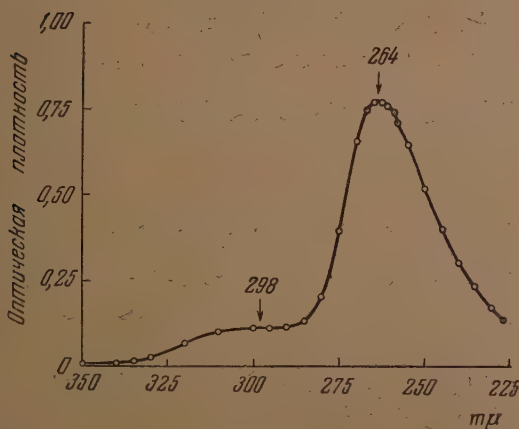


Рис. 3. Спектральная кривая поглощения спиртового раствора лейко-основания кристаллического фиолетового, полученного восстановлением красителя газообразным сероводородом

как длинноволновая, так и коротковолновая области поглощения смещаются в сторону длинных волн. Ниже в таблице приведены положения максимумов поглощения бензола, анилина, монометиланилина и диметиланилина в спиртовом растворе [9].

Из этой таблицы видно, что по мере метилирования анилина полосы поглощения смещаются в сторону длинных волн и уже у диметиланилина

Вещество	Максимумы поглощения в $m\mu$	
Бензол	Ряд максимумов в области 230—270	—
Анилин	285	230
Монометиланилин	296	240
Диметиланилин	298	250

достигают положений, наблюдаемых у лейко-оснований трифенилметановых красителей. Следовательно, полоса поглощения последних при 300  $m\mu$  отнюдь не новая, а является полосой поглощения фенильных групп, смещенной введением диметиламиногрупп. Полоса поглощения в области

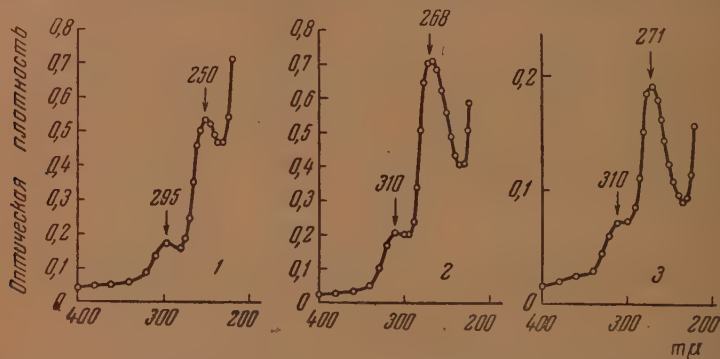


Рис. 4. 1 — спектральная кривая поглощения лейко-основания парафуксина в твердом состоянии; 2 — то же для лейко-основания малахитового зеленого; 3 — то же для лейко-основания кристаллического фиолетового

260  $m\mu$ , несмотря на наличие колебательной структуры и близкое расположение к полосе поглощения трифенилметана, является полосой, обусловленной наличием диметиламиногрупп. Слабо выраженная колебательная структура, наблюдаемая в коротковолновых полосах поглощения спиртовых растворов лейко-оснований трифенилметановых красителей, является отражением структуры полос поглощения аминогрупп.

Выше было сказано, что твердые пленки лейко-оснований трифенилметановых красителей в темноте не изменяются. На свету они приобретают окраску исходного красителя. На рис. 5 (кривая 2) приведена спектральная кривая поглощения спиртового раствора окрашенного продукта, образовавшегося из лейко-основания кристаллического фиолетового в твердом состоянии при длительном освещении дневным светом. Мы видим, что в общих чертах она воспроизводит кривую поглощения спиртового раствора кристаллического фиолетового (рис. 5, кривая 1), хотя наблюдаются некоторые отклонения. Эти отклонения следующие. Во-первых, максимумы полос поглощения кривых несколько смещены относительно друг друга; во-вторых, относительные высоты максимумов двух кривых различные; в-третьих, в ультрафиолетовой области кривая 2 расположена значительно выше, чем кривая 1. Аналогичные результаты были получены для парафуксина и малахитового зеленого.

Несмотря на указанные отклонения очевидно, что фотохимическое окисление лейко-оснований трифенилметановых красителей сопровождается регенерацией соответствующего красителя. Напомним, что для тиазиновых и оксазиновых красителей наблюдается полное совпадение кривых поглощения водных растворов регенерированного в темноте красителя



и растворов самого красителя [1]. Тот факт, что для трифенилметановых красителей не наблюдается такого совпадения, объясняется тем, что в этом случае регенерация красителя происходит при освещении. Но, как известно, трифенилметановые красители в твердом состоянии при освещении солнечным светом на воздухе выцветают, переходя в соответствующие кетоны [10]. Например, при освещении малахитового зеленого (оксалата) был выделен парадиметиламинобензофенон, а при освещении кристаллического фиолетового — кетон Михлера. Очевидно, что в условиях наших

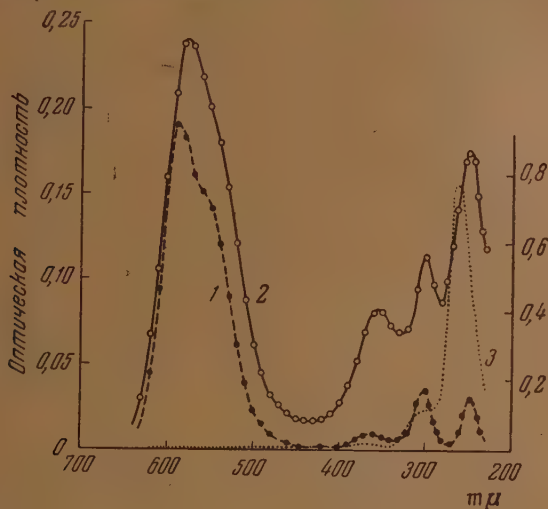


Рис. 5. Спектральные кривые поглощения: 1 — спиртовой раствор кристаллического фиолетового (левая шкала ординат); 2 — спиртовой раствор окрашенного соединения, образовавшегося из лейко-основания кристаллического фиолетового в твердом состоянии после освещения дневным светом в течение 20 час. (левая шкала ординат); 3 — спиртовой раствор лейко-основания кристаллического фиолетового (правая шкала ординат)

опытов с твердыми пленками лейко-оснований одновременно с регенерацией происходит выцветание регенерированного красителя, и в пленках, приобретших окраску при освещении солнечным светом, должны присутствовать, по крайней мере, три соединения: лейко-основание, регенерированный краситель и продукт фотохимического выцветания последнего. Наложение спектральных кривых поглощения этих соединений приводит к наблюдаемой на опыте кривой 2 (рис. 5.) Ниже будет показано, что при фотохимической регенерации красителя в твердой пленке лейко-основания действительно имеет место фотохимическое выцветание с образованием соединения, тождественного с соединением, образующимся при фотохимическом выцветании твердой пленки красителя.

На рис. 6—8 показано для исследованных нами трифенилметановых красителей изменение спектра поглощения твердых пленок лейко-оснований по мере регенерации красителя при освещении дневным светом на воздухе. Из рисунков видно, что по мере регенерации красителя коротковолновая полоса поглощения лейко-основания постепенно исчезает, и вместо нее появляются полосы поглощения, принадлежащие красителю. Положение полосы поглощения с максимумом 310 мμ смещается незначительно. Поэтому нам кажется маловероятным предположение Льюиса и Бигельейзена [11] о принадлежности полосы с максимумом 300 мμ (кристаллический фиолетовый) к так называемой X-полосе второго

порядка, поскольку эта полоса содержится уже в спектре лейко-основания. В ультрафиолетовой области спектр поглощения твердой пленки красителя весьма близок к спектру раствора [12].

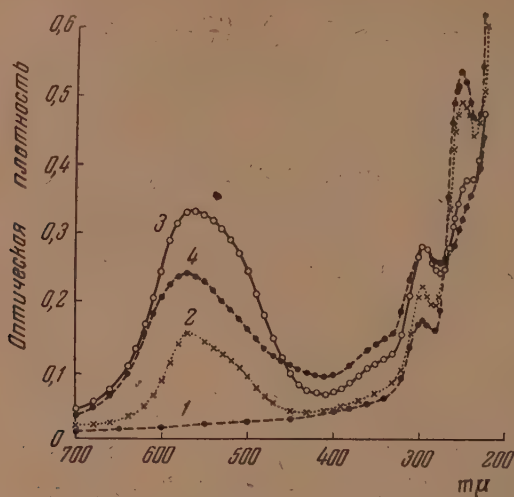


Рис. 6. Спектры поглощения смеси лейко-основания регенерированного на свету парафуксина в твердом состоянии: 1 — сразу после извлечения слоя лейко-основания из вакуума на воздух; 2 — после 20-час. освещения дневным светом; 3 — после 80-час. освещения; 4 — после 200-час. освещения

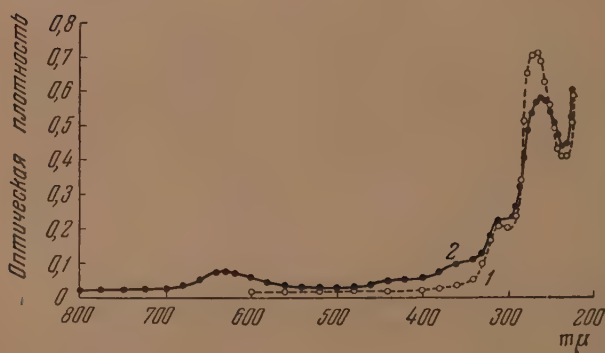


Рис. 7. Спектр поглощения смеси лейко-основания и регенерированного на свету малахитового зеленого в твердом состоянии: 1 — сразу после извлечения слоя лейко-основания из вакуума на воздух; 2 — после 10-час. освещения дневным светом

В видимой области спектр поглощения пленки, содержащей регенерированный краситель, близок к спектру соответствующего красителя. Для этой области получить кривую, подобную кривой поглощения твердой пленки, не удастся, так как наряду с регенерацией происходит фотохимическое выцветание красителя. Действительно, в видимой области спектра пленка, освещавшаяся в течение 200 час. (рис. 6, кривая 4), более



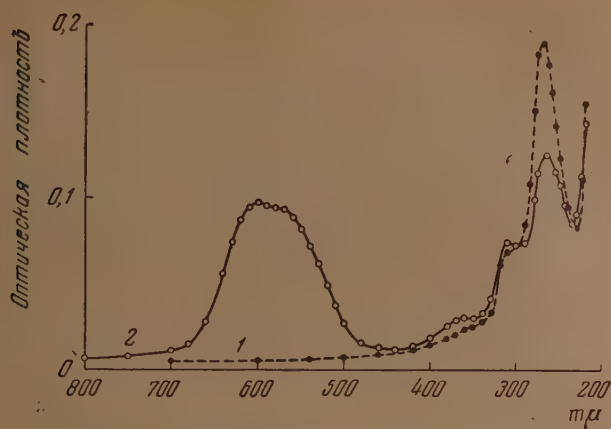


Рис. 8. Спектр поглощения смеси лейко-основания и регенерированного кристаллического фиолетового в твердом состоянии: 1 — сразу после извлечения слоя лейко-основания из вакуума на воздух; 2 — после 10-час. освещения на дневном свету

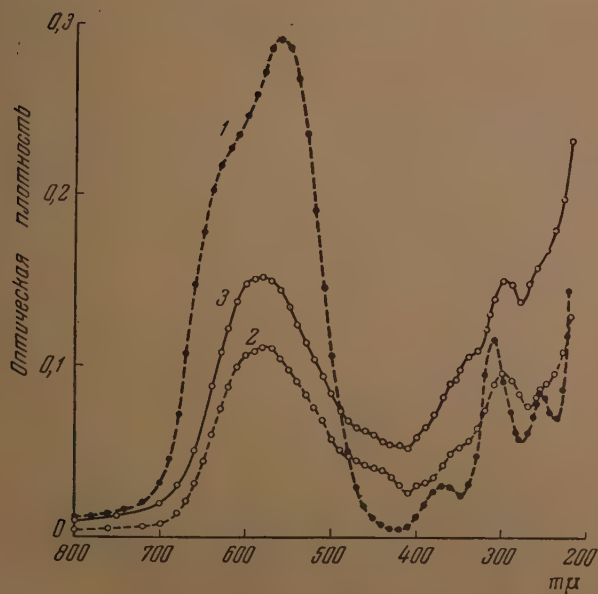


Рис. 9. Спектры поглощения: 1 — твердая пленка кристаллического фиолетового; 2 — та же пленка после пятидневного освещения дневным светом; 3 — пленка лейко-основания после пятидневного освещения дневным светом

прозрачна, нежели та же пленка, освещавшаяся в течение 80 час. По мере выцветания регенерированного красителя наблюдается постоянное возрастание поглощения в области короче 400 м $\mu$ , обусловленное поглощением продуктов выцветания. Для продукта выцветания парафуксина и малахитового зеленого характерна полоса с максимумом при 358 м $\mu$ , для кристаллического фиолетового — при 450 м $\mu$  и непрерывное поглощение во всей ультрафиолетовой области, возрастающее в сторону коротких длин волн.

Из рис. 9 видно, что кривая поглощения пленки кристаллического фиолетового, в течение 5 дней освещавшейся дневным светом (кривая 2), совпадает с кривой поглощения пленки лейко-основания, также освещавшейся в течение 5 дней (кривая 3).

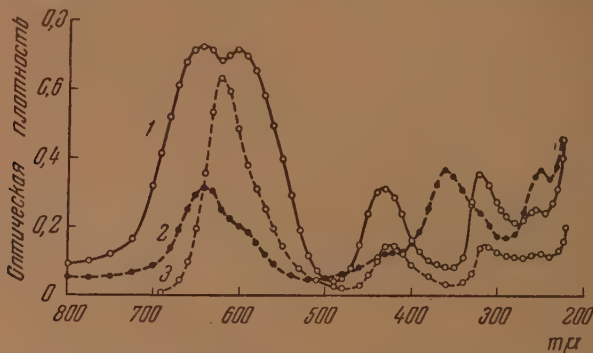


Рис. 10. Спектры поглощения: 1 — водный раствор малахитового зеленого; 2 — твердая пленка малахитового зеленого; 3 — твердая пленка малахитового зеленого после 6-час. освещения дневным светом.

На рис. 10 отчетливо видно появление новой полосы поглощения при 358 м $\mu$ , принадлежащей продукту выцветания малахитового зеленого.

Как видно из рис. 7, несмотря на значительное изменение лейко-основания малахитового зеленого, поглощение в видимой области спектра незначительное. Это объясняется очень малой светостойкостью малахитового зеленого. Действительно, на рис. 10 кривая 2 принадлежит твердой пленке малахитового зеленого, а кривая 3 — той же пленке, но подвергнутой освещению дневным светом всего лишь в течение 6 час. Мы видим, что за такое короткое время пленка успевает в значительной мере выцвести. Высокий максимум при 358 м $\mu$  на кривой 3 рис. 10 и на кривой 2 рис. 7 свидетельствует о значительном накоплении в пленке продукта выцветания.

По мере накопления продукта выцветания состояние красителя (степень агрегации) в твердой пленке приближается к состоянию в растворе. Поэтому в видимой области спектра кривая поглощения частично выцветшей пленки красителя отлична от кривой поглощения невыцветшей твердой пленки и ближе к кривой поглощения раствора. В этом легко убедиться, если сопоставить кривые, приведенные на рис. 10. Аналогичное изменение спектров поглощения твердых пленок красителей наблюдали Б. Я. Даин и И. И. Дилунг [13]. Однако, по их мнению, такое изменение спектра вызвано окислением ассоциатов «краситель — вода», поскольку последние рассматриваются ими как носители поглощения в коротковолновых побочных полосах. На основании изложенного выше нам кажется, что при объяснении изменения спектральной кривой, связанного с выцветанием, следует учесть также изменение состояния красителя в пленке.

В заключение заметим, что разработанный метод получения лейко-основания в твердом состоянии путем восстановления красителей газообразным сероводородом, обладая рядом преимуществ, не может рассмат-



риваться в качестве универсального. Для ряда красителей восстановление приходится вести при таких температурах, при которых может иметь место сублимация красителя или его распад.

### ВЫВОДЫ

1. Разработанный для оксазиновых и тиазиновых красителей метод получения лейко-оснований в твердом состоянии применен для получения в твердом состоянии лейко-оснований ряда трифенилметановых красителей.

2. Получены спектры поглощения твердых пленок лейко-оснований парафуксина, малахитового зеленого и кристаллического фиолетового. Спектральные кривые поглощения лейко-оснований трифенилметановых красителей в твердом состоянии подобны кривым поглощения спиртовых растворов, но максимумы сдвинуты в сторону длинных волн примерно на 10 мμ.

Сильно размытая колебательная структура, наблюдающаяся в коротковолновой полосе поглощения спиртовых растворов лейко-оснований малахитового зеленого и кристаллического фиолетового, едва замечается в спектрах поглощения твердых пленок.

3. На основании сопоставления спектров поглощения бензола, анилина, монометилапилина и диметиланилина сделан вывод, что длинноволновая полоса поглощения лейко-оснований трифенилметановых красителей с максимумом при 300 мμ является полосой трифенилметана, смещенной введением диметиламиногрупп, а коротковолновая полоса с максимумом при 260 мμ — полосой, обусловленной наличием диметиламиногрупп.

4. Твердые пленки лейко-оснований трифенилметановых красителей при экспозиции на солнечном свете на воздухе окрашиваются вследствие регенерации соответствующего красителя. Однако пленки лейко-оснований полностью не переходят в краситель, так как наряду с регенерацией красителя имеет место фотохимическое выцветание регенерированного красителя.

5. Для спектров поглощения продуктов фотохимического выцветания парафуксина и малахитового зеленого характерно наличие полосы с максимумом при 358 мμ, а для продукта выцветания кристаллического фиолетового — при 45 мμ. Кроме того, для продуктов выцветания характерно непрерывное поглощение во всей ультрафиолетовой области спектра.

Поступила  
25.XII.1954

### ЛИТЕРАТУРА

1. А. Т. Вартамян, Журн. физ. химии, 29, 1304, 1955.
2. А. Т. Вартамян, Журн. физ. химии, 29, 1447, 1955.
3. В. В. Перекалин, М. В. Савостьянова, Р. И. Морозова, Изв. АН СССР, сер. физич., 14, 527, 1950.
4. C. Herzberg, R. Kölsch, Zs. f. Elektrochem., 39, 572, 1933.
5. F. W. Klingstedt, Zs. f. phys. Chem. B1, 74, 1928.
6. Н. Прилежаева, Р. Чубаров, Acta Phys. chim. URSS, 1, 777, 1935.
7. А. Т. Вартамян, Диссертация, ЛГУ, 1939.
8. S. Kato, F. Someno, Sci. Papers Inst. Phys. and Chem. Research Tokyo, 33, 209, 1937.
9. H. Ley, H. Specker, Ber., 72, 192, 1939.
10. K. Iwamoto, Bull. Chem. Soc. Japan, 10, 420, 1935.
11. G. N. Lewis, J. Bigeleisen, Journ. Amer. Chem. Soc., 65, 2107, 1943.
12. А. Т. Вартамян, Журн. техн. физ., 20, 847, 1950.
13. И. И. Дилунг Б. Я. Данин, ДАН, 95, 1001, 1954.

КОЭФФИЦИЕНТ ДИФФУЗИИ НЕКОТОРЫХ ВЕЩЕСТВ В СМЕСИ  
ГЛИЦЕРИН—ВОДА

В. А. Маринин

Если допустить, как это сделал Эйнштейн [1], что молекулы растворенного вещества приближенно имеют сферическую форму и велики по сравнению с молекулами растворителя, то коэффициент диффузии может быть рассчитан по известной формуле:

$$D = \frac{kT}{6\pi r\eta}, \quad (1)$$

где  $\eta$  — вязкость растворителя и  $r$  — радиус частиц растворенного вещества.

Это уравнение можно переписать в виде

$$\frac{D\eta}{T} = \frac{k}{6\pi r}. \quad (2)$$

Таким образом, согласно уравнению (2), величина  $D\eta/T$  не зависит ни от каких постоянных, характеризующих данное вещество, кроме размера диффундирующих молекул. Определяя опытным путем величины, входящие в левую часть уравнения (2), можно вычислить размеры диффундирующих молекул. Размеры молекул, определенные по формуле (2), из измерений коэффициента диффузии, вязкости растворителя и температуры, оказываются меньше, чем вычисленные из данных о плотности [2]. Имеющийся в литературе материал по измерениям коэффициента диффузии в жидкостях с вязкостью растворителя от 0,6 до 1,3 сантипуаз частично представлен в статье [3]. Как указывается в работе [3], для малых диффундирующих молекул произведение  $D\eta$  при постоянной температуре не остается величиной постоянной, а меняется внутри определенных границ в зависимости от размеров молекул растворителя.

Каковы будут границы применимости уравнения (2) к частицам молекулярных размеров, когда вязкость растворителя превышает вязкость обычных жидкостей в сотни и тысячи раз? Насколько нам известно, в литературе этот вопрос пока не имеет должного освещения и, кроме того, представляет сам по себе большой интерес с точки зрения расширения наших знаний о механизме диффузии в жидкостях.

Нами были поставлены опыты по изучению коэффициента диффузии ряда веществ, различного молекулярного веса, в зависимости от вязкости растворителя. В качестве растворителя бралась смесь глицерина с водой. Вязкость этой смеси можно было менять при комнатной температуре примерно в 1000 раз. Произведены измерения коэффициента диффузии воды, метилового спирта, ацетамида, сахара и танина. Опыты проводились при температуре 21° С. Концентрация растворенного вещества бралась в г/см<sup>3</sup> от 0,2 до 0,8%.

Коэффициент диффузии определялся поляризационно-оптическим методом [4]. Опыты проводились на установке, ранее применявшейся в работе [5]. Ординаты экспериментальных кривых измерялись координатометром через 0,1 мм. По величине максимальной ординаты и площади находилась величина  $K'$ , которая связана с коэффициентом диффузии и с временем соотношением  $K' = 1/4Dt$ . Из графика  $1/K'$  как функция времени вычислялась величина  $D$ . Вязкость растворителя определялась при помощи обычного вискозиметра Оствальда, погруженного в водяную баню, температура которой поддерживалась 21° С.



Таблица 1

## Коэффициент диффузии некоторых веществ в смеси глицерин—вода

Вес. % глицерина в смеси	Вязкость смеси в пуазах	Концентрация вещества в % (г/см <sup>3</sup> )	Коэффициент диффузии $D \cdot 10^5$ см <sup>2</sup> /сек.	$\frac{D\eta}{T} \cdot 10^{10}$ см <sup>2</sup> ·пуаз сек.·град.
Вода				
55,5	0,07	0,56	$370 \pm 10$	8,8
64,0	0,14	0,56	$260 \pm 10$	12,4
69,5	0,21	0,28	$225 \pm 8$	16,1
76,0	0,40	0,47	$150 \pm 4$	20,4
79,0	0,54	0,34	$130 \pm 4$	23,9
85,0	1,06	0,28	$78 \pm 3$	28,1
89,5	2,16	0,35	$49 \pm 2$	33,5
92,4	3,30	0,47	$31,3 \pm 0,6$	35,2
96,2	6,73	0,28	$18,5 \pm 0,6$	42,4
99,0	11,50	0,18	$13,5 \pm 0,4$	52,8
Метиловый спирт				
85,0	1,06	0,23	$45 \pm 2$	16,2
89,5	2,16	0,23	$22,5 \pm 0,8$	16,5
92,4	3,30	0,23	$16,5 \pm 0,5$	18,5
95,8	6,14	0,23	$9,5 \pm 0,4$	19,9
99,0	11,50	0,23	$6,4 \pm 0,3$	25,0
Ацетамид				
86,7	1,33	0,60	$16,8 \pm 0,5$	7,60
92,4	3,30	0,80	$7,8 \pm 0,2$	8,76
96,2	6,73	0,80	$4,4 \pm 0,1$	10,1
99,0	11,50	0,50	$3,0 \pm 0,1$	11,7
Сахар				
0,0	0,01	0,15	$450 \pm 10$	1,53
53,5	0,07	0,40	$69 \pm 2$	1,64
67,5	0,18	0,40	$33,8 \pm 0,8$	2,07
69,5	0,21	0,43	$32,0 \pm 0,8$	2,28
79,5	0,56	0,29	$12,8 \pm 0,5$	2,44
85,0	1,06	0,33	$6,8 \pm 0,3$	2,46
89,5	2,16	0,40	$3,6 \pm 0,2$	2,64
92,4	3,30	0,40	$2,5 \pm 0,1$	2,80
96,2	6,73	0,20	$1,35 \pm 0,05$	3,09
99,0	11,50	0,20	$0,96 \pm 0,02$	3,75
Танин				
0,0	0,01	0,15	$240 \pm 6$	0,82
53,5	0,07	0,07	$38 \pm 1$	0,91
69,5	0,21	0,10	$16,0 \pm 0,4$	1,15
79,5	0,56	0,13	$6,3 \pm 0,2$	1,20
85,0	1,06	0,13	$3,6 \pm 0,1$	1,30
89,5	2,16	0,18	$1,80 \pm 0,05$	1,32
92,4	3,30	0,20	$1,25 \pm 0,06$	1,40
96,2	6,73	0,20	$0,70 \pm 0,03$	1,60

В табл. 4 приведены экспериментальные значения коэффициента диффузии, вязкости растворителя и вычисленные на основании этих данных величины  $D\eta/T$ . Из таблицы видно, что для всех исследуемых веществ  $D\eta/T$  не остается величиной постоянной, как этого требует соотношение Стокса — Эйнштейна, а с увеличением вязкости растворителя заметно возрастает. Так, например, с увеличением вязкости растворителя от 0,07 до 6,73 пуаз величина  $D\eta/T$  для воды, сахара и танина возрастает соответственно в 4,82, 1,88 и 1,76 раза.

На рис. 1 и 2 показана зависимость  $D\eta/T = f(\eta)$ , где по оси ординат отложена величина  $D\eta/T$ , а по оси абсцисс вязкость растворителя. Как видно из рисунков, зависимость  $D\eta/T = f(\eta)$ , при вязкости растворителя больше 0,5—2 пуаз, выражается семейством прямых. Величина

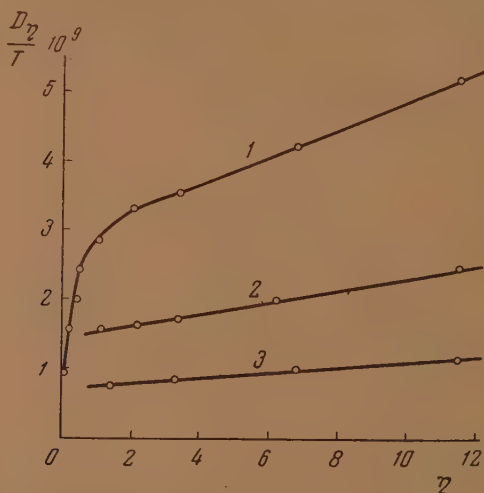


Рис. 1. Зависимость  $D\eta/T$  от вязкости растворителя: 1 — воды, 2 — метилового спирта, 3 — ацетиамид

начальных ординат и наклон этих прямых уменьшаются с увеличением размера диффундирующих молекул. Более сложная зависимость  $D\eta/T = f(\eta)$  наблюдается в растворителе, вязкость которого меньше 0,5—2 пуаз. Таким образом, на основании опытных данных зависимость  $D\eta/T = f(\eta)$  при вязкости растворителя больше 0,5—2 пуаз может быть представлена уравнением вида:

$$D\eta/T = A + B\eta, \quad (3)$$

где коэффициент  $B$  равен тангенсу угла наклона прямой к оси абсцисс, коэффициент  $A$  — начальная ордината, определяемая путем экстраполяции прямой до пересечения с осью ординат, и  $\eta$  — вязкость растворителя. Значения коэффициентов  $A$  и  $B$ , вычисленных из графиков на рис. 1 и 2, собраны в табл. 2. В той же таблице даны радиусы молекул, исследуемых веществ, вычисленные из атомных объемов, приведенных в работе [3].

Изменение коэффициента  $A$  в зависимости от радиуса диффундирующих молекул представлено на рис. 3. Сплошная кривая рис. 3, где по оси абсцисс отложено значение  $r$ , по оси ординат — величина коэффициента  $A$ , указывает на сложную зависимость  $A = f(r)$ . Очевидно, функцию  $f(r)$  можно представить в виде многочлена  $n$ -й степени по отношению к  $r$  и, вычислив постоянные коэффициенты, входящие в многочлен, найти эмпирическую формулу, описывающую данную зависимость. Поскольку опыты



Таблица 2

Величина коэффициентов  $A$  и  $B$  в формуле  $D\eta/T = A + B\eta$  для различных веществ

Вещество	$A \cdot 10^{10}$ см <sup>2</sup> ·пуаз сек·град.	$B \cdot 10^{10}$ см <sup>2</sup> сек·град.	Размер молекул $r \cdot 10^8$ , см
Вода . . . . .	29,0	2,05	1,96
Метиловый спирт . . . . .	14,5	0,90	2,47
Ацетамид . . . . .	7,0	0,40	3,06
Сахар . . . . .	2,3	0,12	5,88
Таннин . . . . .	1,2	0,06	9,00

проводились с небольшим числом веществ, и величина  $r$  была определена недостаточно точно, мы ограничились построением на том же рис. 3 ряда графиков (пунктирные кривые), относящихся к гиперболическим функциям вида  $y = 1/x^n$ , для различных положительных значений  $n$ .

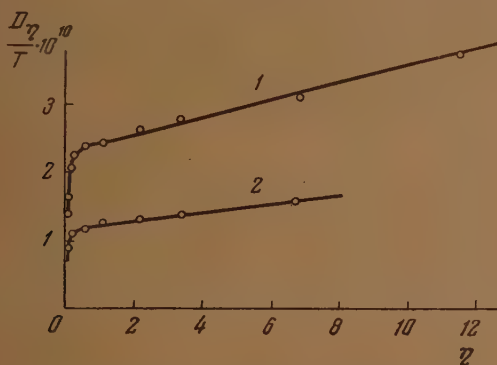


Рис. 2. Зависимость  $D\eta/T$  от вязкости растворителя: 1 — сахара, 2 — таннина

Кривая 1 описывается гиперболическим уравнением  $y = 1/x^n$ , где  $n = 1$ , и кривые 2 и 3 описываются тем же уравнением, но с показателями степени  $n = 2$  и 3.

Как видно из рис. 3, при малых значениях  $r$  экспериментальная кривая хорошо совпадает с теоретической кривой 3 и по мере увеличения  $r$  проходит последовательно область, в которой близко совпадает с кривой 2, и при дальнейшем увеличении  $r$  стремится к кривой  $y = 1/x$ . Пользуясь графиком (рис. 3), можно указать области, в которых коэффициент  $A$  меняется обратно пропорционально кубу, квадрату и первой степени радиуса диффундирующих молекул.

Следует заметить, что с увеличением размера диффундирующих молекул коэффициент  $B$  уменьшается немного быстрее, чем коэффициент  $A$ . В случае если вязкость растворителя не превышает нескольких пуаз, то величина  $D\eta/T$  определяется главным образом первым членом правой части уравнения (3).

Интересно сравнить экспериментальные значения коэффициента диффузии  $D_0$  с вычисленными теоретически  $D_T$ .

Зависимость  $D_0/D_T$  как функция размера диффундирующих молекул, при вязкости растворителя в 2 пуаз, показана на рис. 4. Кривая рис. 4

дает некоторое количественное представление о величине расхождения между экспериментальными значениями коэффициента диффузии и вычисленными по формуле (1).

Выражаю благодарность проф. В. Н. Цветкову за проявленный интерес к работе и ценные консультации.

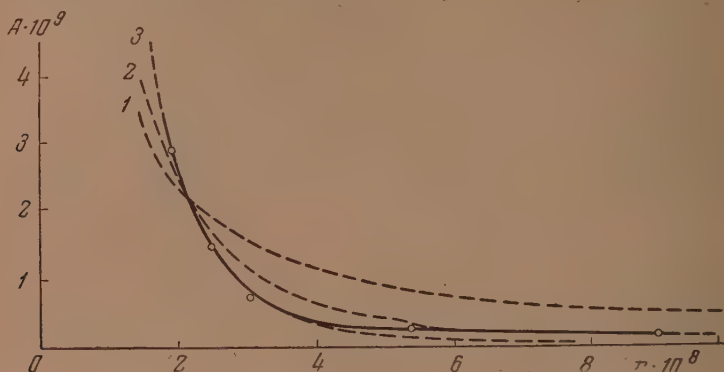


Рис. 3. Зависимость коэффициента  $A$  от радиуса диффундирующих молекул и гиперболические функции вида  $y = 1/x^n$  с показателем степени  $n = 1, 2, 3$ . Кривые: сплошная — экспериментальная, пунктирные — нумерация соответствует показателю степени  $n$

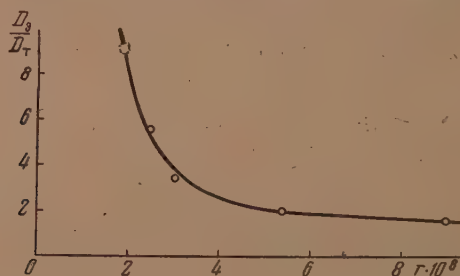


Рис. 4. Зависимость  $D_g/D_T$  от размера диффундирующих молекул при вязкости растворителя в 2 пуаза

### ВЫВОДЫ

1. Измерены коэффициенты диффузии ряда веществ различного молекулярного веса в смеси глицерин — вода. Показано, что для всех исследуемых веществ величина  $D\eta/T$  с увеличением вязкости растворителя (процентного содержания глицерина в смеси) значительно возрастает.

2. В смеси глицерин — вода, вязкость которой превышает 0,5—2 пуаза, сохраняется линейная зависимость между величиной  $D\eta/T$  и вязкостью растворителя для всех исследуемых веществ.

3. Показано, что с увеличением размеров диффундирующих молекул формула (3) переходит в обычное уравнение Стокса — Эйнштейна.

Ленинградский государственный университет  
им. А. А. Жданова

Поступила  
8. I. 1955

### ЛИТЕРАТУРА

1. A. Einstein, Zs. f. Elektrochem., 14, 235, 1908.
2. Ж. Дюкло, Диффузия в жидкостях, ГОНТИ, 1939.
3. C. R. Wilke, Chem. Eng. Progr., 45, 218, 1949.
4. В. Н. Цветков, ЖЭТФ, 21, 701, 1951.
5. В. А. Маринин, Журн. физ. химии, 27, 1823, 1953.



## КИНЕТИКА И ХИМИЗМ ВЗАИМОДЕЙСТВИЯ ЭФИРА С ДВУОКИСЬЮ АЗОТА В ГАЗОВОЙ ФАЗЕ

*Э. А. Блюмберг, В. Л. Пикаева и Н. М. Эмануэль*

В химии широко используются процессы окисления связанным кислородом — органическими перекисями, перекисью водорода, сильными неорганическими окислителями. Однако несмотря на широкую распространенность этих реакций и их практическую важность, вопросы кинетики и химизма соответствующих процессов изучены совершенно недостаточно. Особенно это относится к реакциям окисления органическими перекисями, перекисью водорода, а также двуокисью азота.

Лишь в последние годы вопросу окисления двуокисью азота в литературе начинает уделяться некоторое внимание. Взаимодействие формальдегида с двуокисью азота в газовой фазе изучалось в работе [1]. В продуктах медленной реакции авторами были обнаружены  $\text{CO}$ ,  $\text{H}_2\text{O}$ ,  $\text{NO}$ ,  $\text{CO}_2$ .

В работе [2] по ингибированию газовой реакции окисления уксусного альдегида двуокисью азота имеются также данные, касающиеся взаимодействия  $\text{CH}_3\text{CHO}$  с  $\text{NO}_2$  в отсутствие кислорода. Основным продуктом реакции является уксусная кислота.

В реакции ацетиленов с  $\text{NO}_2$  продуктами взаимодействия являются: глиоксаль,  $\text{CO}$ ,  $\text{CO}_2$ , причем  $\text{CO}$  и  $\text{CO}_2$  образуются за счет дальнейшего взаимодействия глиоксали с  $\text{NO}_2$  [3, 4]. Во всех этих случаях скорость реакции описывается кинетическим уравнением реакции второго порядка.

Взаимодействие  $\text{NO}_2$  и  $\text{N}_2\text{O}_4$  со спиртами изучалось несколькими авторами [5, 7]. Основным продуктом реакции как в газовой, так и в жидкой фазе являются нитриты. Скорость реакции пропорциональна второй степени концентрации  $\text{NO}_2$  и первой степени концентрации спирта. Третий порядок реакции установлен также при окислении этилена [8] и пропилена [9] двуокисью азота.

В ряде работ имеются также данные о конечных продуктах взаимодействия некоторых эфиров с двуокисью азота. Кинетические характеристики в этих работах отсутствуют. Так, в работе [10] изучались продукты взаимодействия ряда ароматических и алифатических эфиров с  $\text{N}_2\text{O}_4$  в жидкой фазе. Предполагается, что замещение в ядре происходит через посредство промежуточных соединений, реагирующих сразу же после их возникновения. В случае алифатических эфиров отмечается очень бурная реакция, иногда приводящая даже к взрыву. При взаимодействии дибутилового эфира с  $\text{N}_2\text{O}_4$  из продуктов реакции было выделено промежуточное нитросоединение, которое специально не идентифицировалось.

В продуктах реакции взаимодействия диизопропилового эфира с избытком  $\text{N}_2\text{O}_4$  была обнаружена ацетилнитролуксусная кислота, в качестве промежуточного соединения предполагается ацетон. При окислении диэтилового эфира установлено образование уксусного альдегида.

С. В. Васильев и Г. Д. Вовченко [11] изучали продукты присоединения  $\text{NO}_2$  к этиловому эфиру коричной кислоты.

В литературе совершенно отсутствуют данные по кинетике взаимодействия  $\text{NO}_2$  с диэтиловым эфиром, а все сведения о химизме взаимодействия исчерпываются уже цитированной работой [10], в которой было доказано образование уксусного альдегида.

Настоящая работа посвящена изучению кинетики и химизма медленного взаимодействия эфира с двуокисью азота в газовой фазе.

Химическое взаимодействие эфира с двуокисью азота изучалось на стеклянной вакуумной установке статического типа (рис. 4). Реакция сопровождается заметным изменением давления. Для контроля за ходом процесса по изменению давления в схеме установки имеется мембранный манометр 3. Ход реакции можно контролировать также по расходу  $\text{NO}_2$ , который сопровождается уменьшением поглощения света реагирующей смесью в видимой части спектра. Это уменьшение поглощения удобно регистрировать при помощи фотоэлемента (фотоэлектрический метод).

Реакционный сосуд 1 был выполнен в виде цилиндра с двумя плоскопараллельными оптическими пластинами из молибденового стекла. Фотоэлектрическая схема представляет собой схему мостика, двумя плечами которого являются магазины сопротивлений 6 от 0 до 100 000  $\Omega$ , а двумя другими плечами — селеновые фотоэлементы (СФ-10) 5. Для предохранения фотоэлементов от нагревания их электрической печью 12 перед ними были поставлены теплоизоляционные стекла.

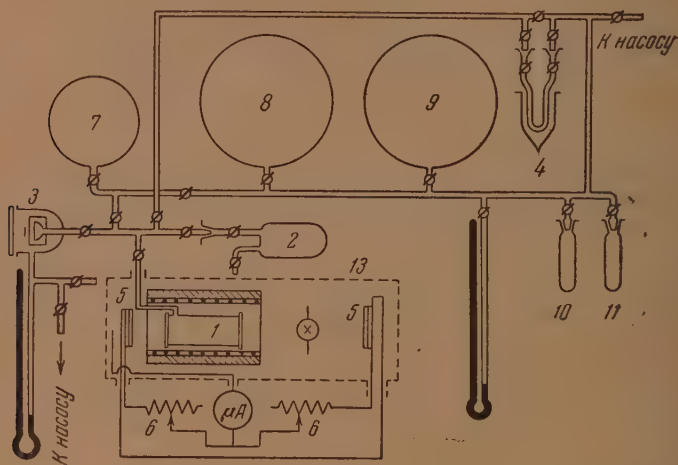


Рис. 1. Схема экспериментальной установки. 1 — реакционный сосуд; 2 — сосуд для отбора пробы газа; 3 — мембранный манометр; 4 — ловушка для замораживания конденсирующихся продуктов; 5 — селеновые фотоэлементы СФ-10; 6 — магазины сопротивлений; 7 — колба для перепуска газов в реакционный сосуд; 8, 9 — колбы для хранения газов; 10, 11 — пробирки для хранения жидких веществ, 12 — электрическая печь, 13 — камера для затемнения

Источником света служила электрическая лампочка мощностью 12W. Фотоэлементы, лампочка и реакционный сосуд помещались для затемнения в камеру 13.

Концентрация  $\text{NO}_2$  определяется путем измерения разности силы тока, возникающих в фотоэлементах под влиянием света, проходящего через реагирующую смесь, и света, непосредственно поступающего на элемент, с использованием градуировки сосуда по  $\text{NO}_2$ .

Таким образом мы непосредственно получали кинетические кривые расходования  $\text{NO}_2$  в процессе взаимодействия. Наряду с контролем реакции по убыли  $\text{NO}_2$  производился также полный кинетический анализ продуктов взаимодействия по ходу процесса. Для отбора пробы в определенный момент времени реакционный сосуд 1 соединялся сначала с сосудом 2, в который переходила примерно половина реагирующей смеси. Эта часть реагирующей смеси использовалась для определения  $\text{NO}_2$ ,  $\text{CO}$ ,  $\text{CO}_2$  и непрореагировавшего эфира. Смесь, оставшаяся в реакционном сосуде, прокачивалась через ловушку 4, погруженную в жидкий воздух.

В настоящей работе установлено, что окисление эфира двуокисью азота приводит к образованию большого числа соединений, которые были идентифицированы при помощи специально разработанной методики, включающей химический, полиграфический и спектроскопический методы анализа. Действительно, как нам удалось показать, продуктами реакции являются уксусная кислота, ацетальдегид, этилнитрат, этилнитрит,  $\text{NO}_2$ ,  $\text{CO}$ ,  $\text{CO}_2$ .

Качественный анализ конденсирующихся продуктов реакции позволяет сделать вывод, что единственной образующейся в реакции кислотой является уксусная. Уксусный альдегид был идентифицирован полиграфически. Количество альдегида, определенное по высоте полиграфической волны при  $-1.8\text{V}$ , совпадает с суммар-



ным содержанием карбонильных соединений, определенным химически по реакции с гидроксиламином.

Водный раствор конденсирующихся продуктов реакции был подвергнут спектроскопическому анализу на спектрофотометре СФ-4. Был получен характерный спектр поглощения (рис. 2, кривая 2) в области длин волн 300—400 мμ. Поскольку ни  $\text{CH}_3\text{COOH}$ , ни  $\text{CH}_3\text{CHO}$  в этой области длин света не поглощают, мы предположили образование в качестве одного из продуктов реакции этилнитрита  $\text{C}_2\text{H}_5\text{ONO}$ , который, как известно, обладает характерным спектром поглощения в области 300—400 мμ. Действительно, спектр синтезированного нами этилнитрита (рис. 2, кривая 1) полностью совпадает со спектром водного раствора продуктов реакции (кривая 2), что однозначно доказывает образование этилнитрита при взаимодействии диэтилового эфира с  $\text{NO}_2$ .

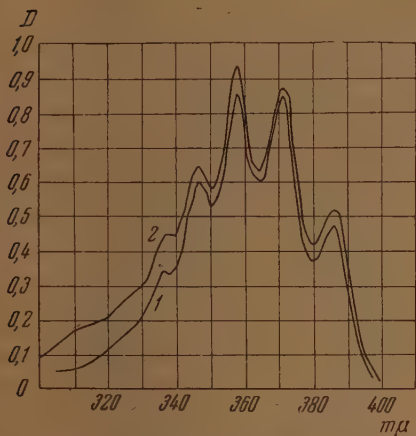


Рис. 2. Спектры поглощения синтезированного и полученного в реакции взаимодействия эфира и  $\text{NO}_2$  этилнитрита. 1 — водный раствор синтезированного  $\text{C}_2\text{H}_5\text{ONO}$ ; 2 — водный раствор продуктов реакции

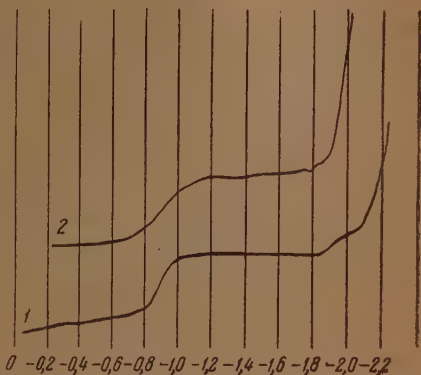


Рис. 3. Полярограмма раствора продуктов реакции в 0,1N LiOH. В продуктах реакции содержатся: 1)  $\text{C}_2\text{H}_5\text{ONO}_2$ ,  $\text{CH}_3\text{CHO}$ ; 2)  $\text{C}_2\text{H}_5\text{ONO}_2$ ,  $\text{C}_2\text{H}_5\text{ONO}$  и  $\text{CH}_3\text{CHO}$  (из-за присутствия  $\text{C}_2\text{H}_5\text{ONO}$  волна восстановления  $\text{CH}_3\text{CHO}$  сливается с волной восстановления ионов  $\text{Li}$ )

Этилнитрит может также быть определен химически и полярографически. Как было показано нами [12], этилнитрит в водных щелочных растворах восстанавливается на ртутном капельном катоде с потенциалом полуволны—0,95V. Действительно, на полярограммах продуктов реакции при этом потенциале (рис. 3) наблюдается четкая волна восстанавливающегося вещества. Однако сравнение высоты этой волны с градуировкой по  $\text{C}_2\text{H}_5\text{ONO}$  приводит к таким большим количествам этилнитрита, которые не соответствуют данным химического и спектроскопического анализа.

Это обстоятельство связано, как мы установили, с тем, что в продуктах реакции кроме этилнитрита присутствует этилнитрат, полярографическая волна которого сливается с волной этилнитрита. Следует заметить, что эта волна не может быть отнесена за счет перекисей, потому что в присутствии  $\text{NO}$ , образующейся в реакции в значительных количествах, перекиси полностью разрушаются. Она не может быть также отнесена за счет моонитросоединений [13], которые в щелочной среде не восстанавливаются.

В том случае когда в результате реакции образуется одновременно этилнитрит и этилнитрат (рис. 3, кривая 2), этилнитрат определяется по разности между определенным полярографически суммарным содержанием обоих эфиров (высота волны—0,95V) и количеством  $\text{C}_2\text{H}_5\text{ONO}$ , определенным в отдельной пробе.

В газовых продуктах реакции определялись эфир  $\text{NO}$ ,  $\text{CO}$  и  $\text{CO}_2$ . Анализ проводился на газоанализаторе типа ВТИ, выполненном в значительно уменьшенных размерах. В качестве поглотителя для эфира нами использовался этиловый спирт, для  $\text{NO}$  — насыщенный раствор  $\text{NaCl}$ , содержащий ~5%  $\text{H}_2\text{O}_2$ . Окись углерода  $\text{CO}$  поглощалась, как обычно, аммиачным раствором полухлористой меди,  $\text{CO}_2$ —40%-ным раствором  $\text{KOH}$ . Непрореагировавший  $\text{NO}_2$  отделялся при отборе пробы, количество его определялось описанным выше фотоэлектрическим методом.

Предварительные опыты с искусственными смесями  $\text{NO}_2$ , эфира,  $\text{NO}$ ,  $\text{CO}$  и  $\text{CO}_2$  показали, что количество каждого компонента в отдельности может быть определено таким методом с точностью порядка 10% от взятого количества. Масс-спектрометриче-

ский анализ газовой части продуктов реакции показал, что никаких других газов (например, углеводов) при взаимодействии эфира с  $\text{NO}_2$  не образуется.

Исходные вещества. Двухокись азота (равновесная смесь  $2\text{NO}_2 \rightleftharpoons \text{N}_2\text{O}_4$ ) была получена при взаимодействии  $\text{NO}$  с кислородом. В условиях наших опытов ( $180^\circ \text{C}$ ,  $p_{\text{NO}_2}$  до 100 мм) мы имеем дело практически с мономерной двухокисью азота. Равновесием  $2\text{NO}_2 \rightleftharpoons 2\text{NO} + \text{O}_2$  также можно пренебречь, так как степень диссоциации  $\text{NO}_2$  при  $180^\circ$  равна приблизительно 5%.

Эфир применялся паркозный, свежеперегнанный. Чистота эфира проверялась полярграфически.

На рис. 4 приведены кинетические кривые расходования двухокиси азота, снятые при  $180^\circ$  при различных начальных концентрациях эфира и  $\text{NO}_2$ . Эти кинетические кривые по своему внешнему виду напоминают

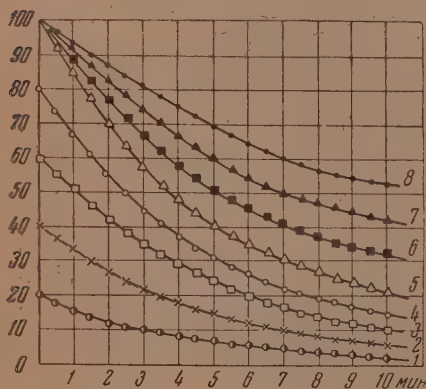


Рис. 4

Рис. 4. Кинетические кривые расходования  $\text{NO}_2$  при различных начальных концентрациях эфира и двухокиси азота в мм рт. ст.,  $T=180^\circ \text{C}$ . 1—20 мм  $\text{NO}_2 + 100$  мм  $\text{C}_4\text{H}_{10}\text{O}$ ; 2—40 мм  $\text{NO}_2 + 100$  мм  $\text{C}_4\text{H}_{10}\text{O}$ ; 3—60 мм  $\text{NO}_2 + 100$  мм  $\text{C}_4\text{H}_{10}\text{O}$ ; 4—80 мм  $\text{NO}_2 + 100$  мм  $\text{C}_4\text{H}_{10}\text{O}$ ; 5—100 мм  $\text{NO}_2 + 100$  мм  $\text{C}_4\text{H}_{10}\text{O}$ ; 6—100 мм  $\text{NO}_2 + 80$  мм  $\text{C}_4\text{H}_{10}\text{O}$ ; 7—100 мм  $\text{NO}_2 + 58$  мм  $\text{C}_4\text{H}_{10}\text{O}$ ; 8—100 мм  $\text{NO}_2 + 40$  мм  $\text{C}_4\text{H}_{10}\text{O}$ .

Рис. 5. Зависимость

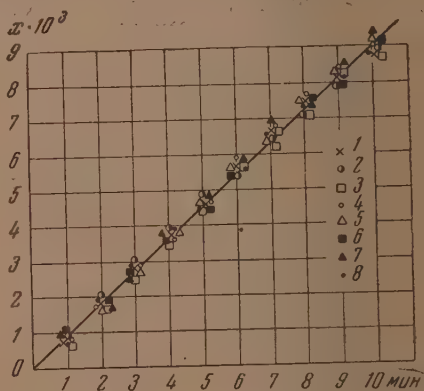


Рис. 5

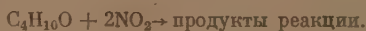
$$x = \frac{2 \ln \frac{(C_4H_{10}O)_0}{(NO_2)_0} \cdot \frac{(NO_2)_0}{2(C_4H_{10}O)_0 - (NO_2)_0 - (NO_2)}}{2(C_4H_{10}O)_0 - (NO_2)_0}$$

от времени при  $T = 180^\circ \text{C}$  и различных начальных концентрациях эфира и  $\text{NO}_2$  (обозначения те же, что и на рис. 4).

кривые реакций простых типов. Поскольку в реакции участвуют два компонента, наиболее просто предположить, что кинетика реакции описывается уравнением второго порядка:

$$\frac{d(NO_2)}{dt} = -(NO_2)(C_4H_{10}O). \quad (1)$$

Что касается стехиометрического уравнения реакции, то оно может быть выведено путем прямых химических анализов реагирующей смеси, из которых следует, что на одну молекулу эфира расходуются две молекулы двухокиси азота. Поэтому уравнение реакции должно иметь вид:



Из этого уравнения следует соотношение

$$(NO_2)_0 - (NO_2) = 2 [(C_4H_{10}O)_0 - (C_4H_{10}O)]. \quad (2)$$

Тогда выражение для скорости реакции может быть записано в следующем виде:

$$\frac{d(\text{NO}_2)}{dt} = -\frac{k}{2} (\text{NO}_2) [2 (\text{C}_4\text{H}_{10}\text{O})_0 - (\text{NO}_2)_0 + (\text{NO}_2)] \quad (3)$$

Интегрируя это выражение, получим

$$\frac{1}{2 (\text{C}_4\text{H}_{10}\text{O})_0 - (\text{NO}_2)_0} \ln \frac{(\text{NO}_2)}{2 (\text{C}_4\text{H}_{10}\text{O})_0 - (\text{NO}_2)_0 + (\text{NO}_2)} = -\frac{kt}{2} + C \quad (4)$$

Для определения постоянной интегрирования  $C$  введем начальные условия: при  $t = 0$ ,  $(\text{NO}_2) = (\text{NO}_2)_0$ .

Тогда

$$C = \frac{1}{2 (\text{C}_4\text{H}_{10}\text{O})_0 - (\text{NO}_2)_0} \ln \frac{(\text{NO}_2)_0}{2 (\text{C}_4\text{H}_{10}\text{O})_0 - (\text{NO}_2)_0}$$

Окончательно получаем

$$\frac{2 \ln \frac{2 (\text{C}_4\text{H}_{10}\text{O})_0}{(\text{NO}_2)_0} \frac{(\text{NO}_2)}{2 (\text{C}_4\text{H}_{10}\text{O})_0 - (\text{NO}_2)_0 + (\text{NO}_2)}}{2 (\text{C}_4\text{H}_{10}\text{O})_0 - (\text{NO}_2)_0} = -kt \quad (5)$$

Рассматривая полученное выражение, видим, что в случае бимолекулярной реакции мы должны для разных начальных составов смеси получить прямую линию в координатах:

$$\left[ t; x = \frac{2 \ln \frac{2 (\text{C}_4\text{H}_{10}\text{O})_0}{(\text{NO}_2)_0} \frac{(\text{NO}_2)}{2 (\text{C}_4\text{H}_{10}\text{O})_0 - (\text{NO}_2)_0 + (\text{NO}_2)}}{2 (\text{C}_4\text{H}_{10}\text{O})_0 - (\text{NO}_2)_0} \right]$$

На рис. 5 кинетические кривые рис. 4 представлены в координатах  $t, x$ . Как видно, все экспериментальные данные, полученные при разных соотношениях между эфиром и  $\text{NO}_2$  в исходной смеси, хорошо ложатся на прямую линию. Тем самым получено убедительное доказательство применимости кинетического уравнения второго порядка для описания кинетики взаимодействия эфира и  $\text{NO}_2$ . Из наклона прямой рис. 5 непосредственно находится величина константы скорости для данной температуры  $k_{180} = 9 \cdot 10^{-4} \text{ мм}^{-1} \text{ мин}^{-1}$ . Точно так же могут быть обработаны кинетические кривые расходования  $\text{NO}_2$ , полученные при других температурах (рис. 6). Все эти кинетические кривые в координатах  $t, x$  также дают прямые линии.

Из наклона этих прямых находятся значения констант скоростей реакций для соответствующих температур. Эти значения сведены в табл. 1.

Таблица 1

Т°, С	170	180	190	206	223
$k \cdot 10^4 \text{ мм}^{-1} \text{ мин}^{-1} \dots$	5,15	9	14,2	28,2	55

На рис. 6 кроме кинетических кривых дана также зависимость  $\lg k$  от  $1/T$ , из которой вычислена энергия активации реакции, равная 22 ккал/моль.

В работе были также изучены кинетика и состав продуктов реакции для эквимолекулярной смеси эфира и двуокиси азота при начальном давлении 200 мм рт. ст.



Поскольку, как мы обнаружили, реакция сопровождается заметным изменением давления, были сняты кинетические кривые реакции по изменению давления. Эти кривые для разных температур представлены на рис. 7. Видно, что при температурах выше примерно  $100^\circ$  наблюдается закономерно изменяющийся со временем рост давления, а при более низких температурах — падение давления.

Как будет показано ниже, эти изменения давления находятся в хорошем соответствии с изменением состава реагирующей смеси по ходу реакции.

Кинетические кривые исходных веществ и продуктов реакции, полученные в сосуде из молибденового стекла, обработанном концентрированной серной кислотой и затем промытом дистиллированной водой, при  $T = 180^\circ$  для эквимолекулярной смеси эфира и  $\text{NO}_2$  при общем начальном давлении, равном 200 мм рт. ст., представлены на рис. 8. Из рисунка видно, что уксусная кислота и ацетальдегид образуются в количествах до 40 мм рт. ст. В этих опытах практически отсутствуют этилнитрат и этилнитрит. О том, что это действительно так и что нами учтены все продукты реакции, свидетельствует совпадение (в пределах ошибки опыта) баланса продуктов реакции по углероду, азоту, водороду и кислороду (табл. 2).

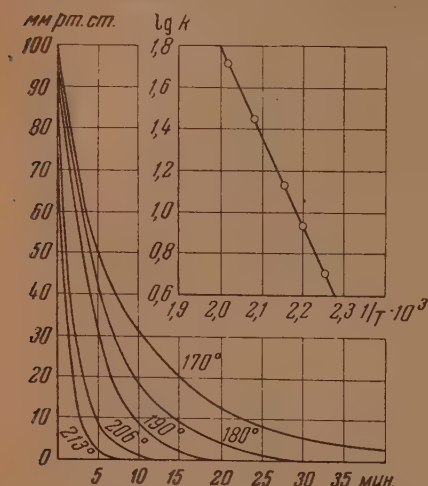


Рис. 6. Кинетические кривые расходования  $\text{NO}_2$  при различных температурах. Состав исходной смеси: 100 мм эфира + +100 мм  $\text{NO}_2$ . В координатах  $1/T - \lg k$  дана температурная зависимость скорости реакции ( $E = 22$  ккал/моль)

Интересно также отметить, что изменение суммы парциальных упругостей всех веществ, присутствующих в реагирующей смеси, совпадает с изменением давления в ходе реакции (рис. 8, кривая 6). Однако такое состояние поверхности реакционного сосуда оказывается неустойчивым. После проведения серии опытов и особенно после работы с добавками  $\text{NO}$  выходы  $\text{CH}_3\text{CHO}$  и  $\text{CH}_3\text{COOH}$  несколько падают, и в составе продуктов реакции появляются значительные количества этилнитрата и этилнитрита. Повторная обработка внутренней поверхности реакционного сосуда концентрированной серной кислотой позволяет снова повысить выходы альдегида и кислоты при практически полном исчезновении нитрита и нитрата из продуктов реакции.

Кинетические кривые, снятые после серии опытов, в том числе и с добавками  $\text{NO}$ , приведены на рис. 9. В соответствии со сказанным выше, мы видим, что в реакции образуются ацетальдегид, уксусная кислота,  $\text{NO}$ , этилнитрат, этилнитрит,  $\text{CO}$ ,  $\text{CO}_2$ . Несмотря на изменение состава продуктов реакции, стехиометрическое уравнение остается прежним. Кинетика расходования  $\text{NO}_2$  при этом не меняется. Баланс продуктов реакции сходится удовлетворительно (табл. 3).

Кинетические кривые образования этилнитрата при разных температурах

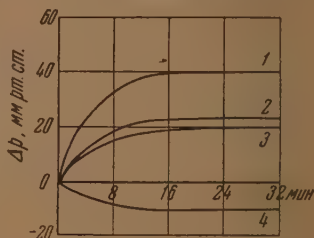


Рис. 7. Кинетические кривые изменения давления при взаимодействии эфира с  $\text{NO}_2$  при различных температурах (состав исходной смеси 100 мм эфира + 100 мм  $\text{NO}_2$ ). 1— $180^\circ$ , 2— $150^\circ$ , 3— $120^\circ$ , 4— $16^\circ$  С.

Таблица 2

Баланс продуктов реакции при 180°C (в мм рт. ст.).

Смесь 100 мм эфира + 100 мм NO<sub>2</sub>

Время в минутах	Состав продуктов реакции					Сумма продукт.	Р измеренное	Баланс			
	C <sub>2</sub> H <sub>5</sub> O	CH <sub>3</sub> CHO	CH <sub>3</sub> COOH	NO <sub>2</sub>	NO			N	C	O	H
0	100	—	—	100	—	—	—	100	400	300	1000
1	92	10	15	75	31	213	210	106	393	313	1020
3	78	22	20	42	41	220	221	83	396	283	948
5	69	35	33	29	60	296	228	89	412	298	962
9	65	38	35	16	75	232	236	91	406	280	942
10	60	39	34	19	82	235	237	101	386	287	852
15	59	39	45	13	80	236	240	93	404	294	926
15	61	41	42	6	85	235	240	91	410	281	942
22	56	42	40	0	92	240	240	92	388	270	888
30	58	40	42	0	95	241	240	95	396	277	908

Таблица 3

Баланс продуктов реакции при 180°C (в мм рт. ст.).

Смесь 100 мм эфира + 100 мм NO<sub>2</sub>(В продуктах реакции присутствуют C<sub>2</sub>H<sub>5</sub>ONO и C<sub>2</sub>H<sub>5</sub>ONO<sub>2</sub>)

Время в минутах	Состав продуктов реакции									Баланс			
	NO <sub>2</sub>	C <sub>2</sub> H <sub>5</sub> O	NO	C <sub>2</sub> H <sub>5</sub> ONO <sub>2</sub>	C <sub>2</sub> H <sub>5</sub> ONO	CH <sub>3</sub> COOH	CH <sub>3</sub> CHO	CO <sub>2</sub>	CO	C	H	O	N
0	100	100	—	—	—	—	—	—	—	400	1000	300	100
5	50	75	33	4	14	14	18	3	—	403	978	297	101
10	29	64	46	6	20	20	25	4	5	407	950	305	101
15	18	60	54	8	24	22	29	6	7	417	944	315	104
20	12	56	58	9	25	23	30	8	9	415	952	317	104
25	7	54	60	9	26	23	30	9	10	411	927	312	102
30	4	52	61	8	26	24	30	9	10	407	926	310	101

турах, взятые из серии опытов, в которых этот продукт получался в больших количествах, приведены на рис. 10. При изменении масштаба осей координат они хорошо преобразуются в одну кривую. При этом вводятся величины  $\lambda_1 = x/x_s$  и  $\lambda_2 = t/t_s$ , где  $x$  и  $x_s$  — количество этилнитрата, образовавшегося за одно и то же время в двух сравниваемых опытах,  $t$  и  $t_s$  — время, за которое образуется одно и то же количество этилнитрата в тех же опытах. Эти коэффициенты постоянны для каждой пары сравниваемых кривых и являются функциями температуры, что позволяет их использовать для определения энергии активации реакции. Примем в качестве стандартной кинетическую кривую образования этилнитрата при 180°C (рис. 10, кривая 3). Коэффициенты преобразования кривых равны:

по оси  $x$ 

$$\lambda_{1,5} = 1,0; \lambda_{1,1} = 1,41; \lambda_{1,2} = 1,6;$$

по оси времени

$$\lambda_{2,5} = 1,0; \lambda_{2,1} = 0,63; \lambda_{2,2} = 0,32.$$

Таким образом имеем следующий ряд значений для константы скорости реакции ( $k = \lambda_1/\lambda_2$ )

$$k_1 = 1,0; k_2 = 2,24; k_3 = 5,01.$$

Строя график зависимости  $\lg k$  от  $1/T$  (рис. 10, прямая 4), находим величину энергии активации для реакции образования этилнитрата, равную 9,5 ккал/моль.

Обращает на себя внимание малая энергия активации образования этилнитрата по сравнению с энергией активации суммарного процесса, равной 22 ккал/моль. Это обстоятельство лишний раз указывает на то, что процесс образования этил-

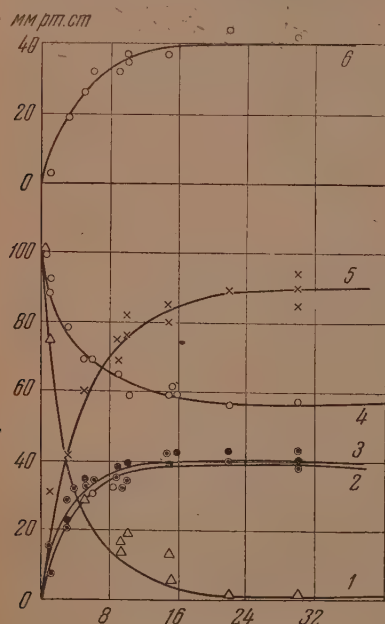


Рис. 8. Кинетические кривые исходных и конечных продуктов взаимодействия эфира с  $\text{NO}_2$  при  $180^\circ\text{C}$  по данным химического анализа (состав исходной смеси 100 мм эфира + 100 мм  $\text{NO}_2$ ). 1 —  $\text{NO}_2$ ; 2 — уксусная кислота; 3 — ацетальдегид; 4 — эфир; 5 —  $\text{NO}$ ; 6 — этилнитрит (точки соответствуют суммарному давлению компонентов смеси)

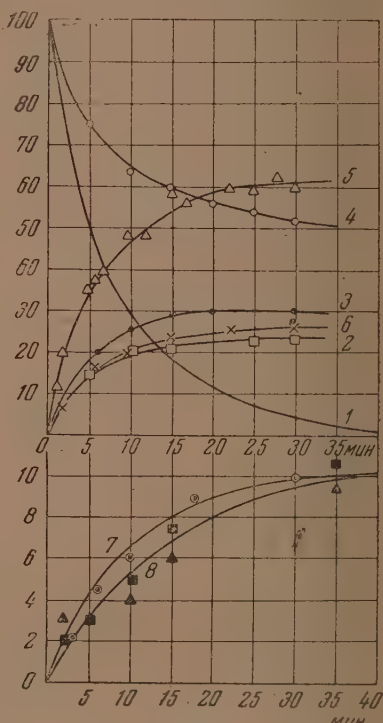


Рис. 9. Кинетические кривые исходных и конечных продуктов реакции взаимодействия эфира (100 мм) и  $\text{NO}_2$  (100 мм) при  $180^\circ\text{C}$  по данным фотоэлектрического, химического и полярграфического анализа (случай, когда образуются этилнитрат и этилнитрит). 1 —  $\text{NO}_2$ ; 2 — уксусная кислота; 3 — ацетальдегид; 4 — эфир; 5 —  $\text{NO}$ ; 6 — этилнитрит; 7 — этилнитрат; 8 —  $\text{CO}(\Delta)$ ,  $\text{CO}_2(\blacksquare)$

нитрата существенным образом связан с поверхностью реакционного сосуда. Как известно, энергии активации газовых контактных реакций бывают существенно меньшими по сравнению с энергиями активации реакций, протекающих в объеме.

Известно, что эфир легко образует комплексные соединения с кислотами и металлическими солями [14, 15]. Образование комплексов с  $\text{NO}_2$  постулируется несколькими авторами [1—3, 16], рассматривающими механизм окисления двуокисью азота, однако непосредственных доказательств образования этих комплексов нигде не приводится. Изучение комплексобразования в настоящей работе представляет интерес в связи с



возможностью включения комплекса в механизм реакции, и этот вопрос будет исследоваться нами в дальнейшем.

Для доказательства образования комплексов в наших условиях были проделаны следующие опыты: в сосуде при температуре  $100^\circ$  готовилась эквимолекулярная смесь эфира и  $\text{NO}_2$ , смесь быстро охлаждалась до  $+2^\circ$ , измерялось давление и смесь снова быстро нагревалась до температуры  $100^\circ$ . Результаты этих опытов представлены в табл. 4.

Как видно из этих данных, при охлаждении смеси [эфир +  $(2\text{NO}_2 \rightleftharpoons \text{N}_2\text{O}_4)$ ] всегда получается давление, много меньшее того, которое следовало бы получить только при охлаждении не конденсирующегося газа (см. опыты со смесями эфир + воздух и воздух +  $(2\text{NO}_2 \rightleftharpoons \text{N}_2\text{O}_4)$ ). При возврате к  $100^\circ$  снова получается исходное давление.

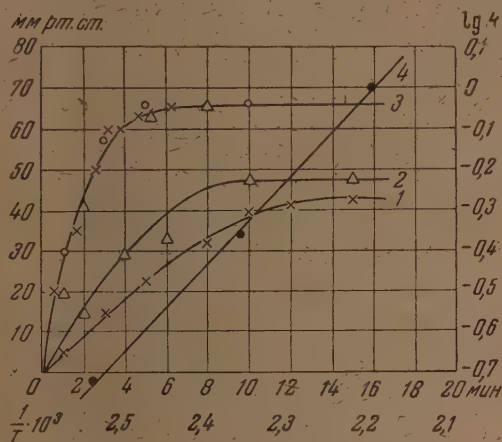


Рис. 10

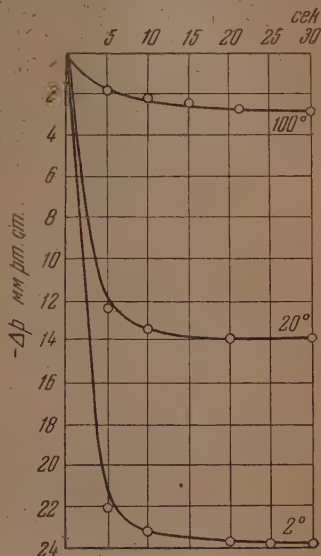


Рис. 11

Рис. 10. Кинетические кривые образования этилнитрата при взаимодействии эфира (100 мм) с  $\text{NO}_2$  (100 мм) при разных температурах. 1 —  $120^\circ$ ; 2 —  $150^\circ$ ; 3 —  $180^\circ \text{C}$ ; 4 — температурная зависимость константы скорости образования этилнитрата ( $E = 9,5 \text{ ккал/моль}$ )

Рис. 11. Кинетические кривые образования комплексов эфира с  $\text{NO}_2$  при разных температурах. Состав исходной смеси 100 мм эфира + 100 мм  $\text{NO}_2$

Так как мы работали при давлениях эфира и  $\text{NO}_2$ , значительно меньших, чем их упругости пара при данной температуре, то это явление не связано с простой конденсацией исходных паров.

Падение давления не может также объясняться димеризацией молекул  $\text{NO}_2$ , так как ассоциация их учтена при расчете ожидаемого давления (см. табл. 4). Таким образом мы имеем здесь дело с образованием комплексов эфира с  $\text{NO}_2$ . С повышением температуры комплексообразование уменьшается.

На рис. 11 представлены кинетические кривые образования комплексов, снятые по падению давления смеси. Как видно из рисунка, комплексообразование заканчивается через 5—10 сек. после смешения газов; следовательно, изменением давления за счет реакции, протекающей значительно медленнее, при изучении комплексообразования можно пренебречь.

Следует подчеркнуть, что кинетическая кривая падения давления при  $16^\circ$  (рис. 7, кривая 4) обязана не только процессу комплексообразования, но также и химической реакции, которая приводит к росту давления.

Таблица 4

Образование комплексов эфира с  $2\text{NO}_2 \rightleftharpoons \text{N}_2\text{O}_4$  (в мм рт. ст.)

Состав	$P_{\text{общ}}$	$T, ^\circ\text{C}$	$p$ при $2^\circ\text{C}$		$\Delta p$	$p$ возврата	$T, ^\circ\text{C}$ возврата
			рассчит.	наблюд.			
Эфир + воздух	200	100	148	147,1	0,9	198	100
	195	100	146	146	—	196	100
	196	100	146,5	146	0,5	197	100
Воздух + + $(2\text{NO}_2 \rightleftharpoons \text{N}_2\text{O}_4)$	195	20	169,4	168	1,4	195	20
	190	20	165,6	165	0,6	190	20
Эфир + + $(2\text{NO}_2 \rightleftharpoons \text{N}_2\text{O}_4)$	295	100	202	165	37	289	100
	289	100	197,3	161	36,3	292	100
	196	100	146,2	104,2	42,0	198	100
	187,6	100	127,6	100	27,6	184,9	100

Поскольку при реакции эфира с  $\text{NO}_2$  образуются значительные количества  $\text{NO}$ , следовало изучить действие добавок  $\text{NO}$  на ход реакции. С этой целью мы изучили кинетику взаимодействия эквимолекулярных смесей эфира с  $\text{NO}_2$ , в которых с самого начала присутствует  $\text{NO}$ , а также действие добавок  $\text{NO}$  в уже реагирующую смесь при разных степенях превращения. Эти опыты показали, что по мере увеличения количества  $\text{NO}$ , добавленного в исходную смесь, выход  $\text{CH}_3\text{COOH}$  и  $\text{CH}_3\text{CHO}$  снижается. Добавки  $\text{NO}$  больше 50 мм рт. ст. дополнительного влияния на реакцию не оказывают.

Кинетические кривые образования конечных продуктов и расхода исходных веществ при взаимодействии эфира с  $\text{NO}_2$  в присутствии  $\text{NO}$  в обработанном серной кислотой сосуде при  $180^\circ$  даны на рис. 12.

Из этих данных отчетливо видно подавляющее действие  $\text{NO}$  на реакцию образования альдегида и кислоты. В присутствии  $\text{NO}$  среди продуктов реакции появляются большие количества  $\text{CO}_2$  и  $\text{CO}$ , которые практически отсутствовали в неингибированной реакции.

В тех условиях, когда кроме альдегида и кислоты в результате реакции образуются заметные количества этилнитрата и этилнитрита, добав-

Рис. 12. Кинетические кривые исходных и конечных продуктов реакции эфира с  $\text{NO}_2$  в присутствии  $\text{NO}$  по данным химического анализа;  $t = 180^\circ\text{C}$ ; начальные давления: эфира — 100 мм,  $\text{NO}_2$  — 100 мм,  $\text{NO}$  — 50 мм. 1 —  $\text{NO}_2$ ; 2 — уксусная кислота; 3 — ацетальдегид; 4 —  $\text{CO}_2$ ; 5 —  $\text{NO}$

ки  $\text{NO}$  попрежнему снижают количества альдегида и кислоты, увеличивают выход  $\text{C}_2\text{H}_5\text{ONO}$  и снижают выход этилнитрата (рис. 13). Скорость расходования  $\text{NO}_2$  остается такой же, как и в опытах без добавки  $\text{NO}$ .

В последнее время в работах одного из нас и сотрудников [17, 18] широко используется прием изучения действия различных добавок на ту

или иную химическую реакцию, вводимых не только в исходную (в момент  $t = 0$ ), но также и в уже реагирующую смесь. Такой прием существенно расширяет возможности действия добавок на сложные по механизму процессы и приводит к выявлению новых закономерностей в кинетике и механизме изучаемых реакций.

В частности, при изучении действия добавок, способных подавлять реакцию, введенных в начальный момент и в уже развивающуюся реакцию, было обращено внимание на тот факт, что добавки в этих случаях действуют по-разному.

В некоторых случаях такого рода удалось показать особую роль начального периода реакции в общем ходе химического превращения. Было показано, что достаточные добавки ингибиторов, вводимые при  $t = 0$ ,

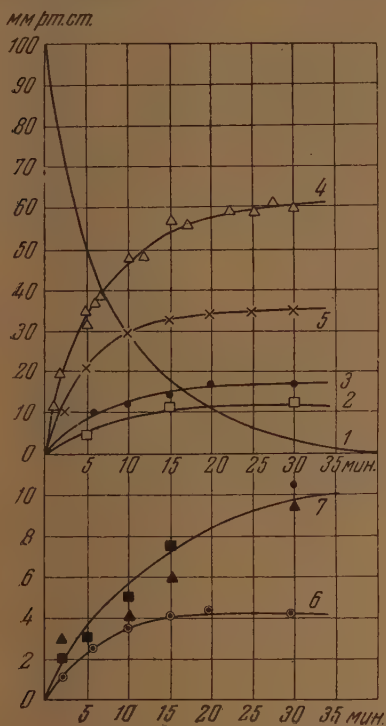


Рис. 13

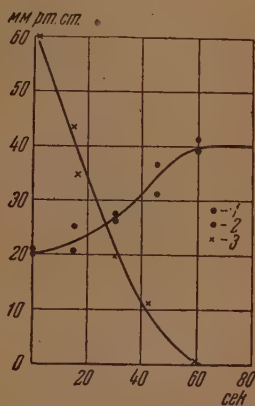


Рис. 14

Рис. 13. Кинетические кривые исходных и конечных продуктов взаимодействия эфира и  $\text{NO}_2$  при добавке 50 мм рт. ст.  $\text{NO}$  ( $t = 180^\circ$ ) по данным фотоэлектрического, химического и полярографического анализа (случай, когда в реакции образуются этилнитрат и этилнитрит). 1 —  $\text{NO}_2$ ; 2 — уксусная кислота; 3 — ацетальдегид; 4 —  $\text{NO}$ ; 5 — этилнитрат; 6 — этилнитрит; 7 —  $\text{CO}$  ( $\blacktriangle$ ),  $\text{CO}_2$  ( $\blacksquare$ ).

Рис. 14. Доказательство особой роли начального периода при взаимодействии эфира и  $\text{NO}_2$ . По горизонтальной оси отложено время введения 50 мм рт. ст.  $\text{NO}$  в реагирующую смесь; по вертикальной оси отложены парциальные упругости компонент в конце реакции. 1 — ацетальдегид; 2 — уксусная кислота; 3 —  $\text{CO}_2$ .

подавляют реакцию, а введенные в уже развившуюся реакцию практически не оказывают никакого действия на реакцию. В данном случае аналогичный эффект также выступает довольно отчетливо. Опыты проводились следующим образом: через разные промежутки времени от начала реакции (0, 15, 30, 45 и 60 сек.) в реакционный сосуд быстрым поворотом крана вплескивалось 50 мм рт. ст.  $\text{NO}$  (при  $P_{\text{общ}} = 200$  мм), и через 10 мин. с момента впуска исходной смеси продукты реакции отбирались на анализ (рис. 14).

При добавке  $\text{NO}$  в момент  $t = 0$ , как уже говорилось, получается минимальное количество альдегида и кислоты, равное 20 мм рт. ст., и максималь-



ное в этих условиях количество  $\text{CO}_2$ , равное 60 мм. При добавке через 1 мин.  $\text{NO}$  не оказывает никакого влияния на реакцию: образуется 40 мм альдегида и кислоты — столько же, сколько и в отсутствие  $\text{NO}$ .

Интересно, что зависимость выхода альдегида и кислоты от времени, в течение которого протекает реакция, до добавки  $\text{NO}$  описывается S-образной кривой (кривые 1, 2 рис. 14).

Вопрос о природе такого действия добавок, подавляющих реакцию, в данном случае требует еще специального рассмотрения. Еще не ясно, является ли данная реакция простой, сложной — молекулярной, радикальной или цепной. Поэтому интерпретация результатов по действию ингибиторов еще не может быть однозначной.

Исследуя добавки этилнитрата в количестве 30 мм рт. ст., вводимые в исходную смесь, мы обнаружили, что никакого действия на реакцию он не оказывает.

Добавки этилнитрата также не оказывают на реакцию никакого действия.

### ВЫВОДЫ

В работе впервые изучены кинетика и химизм медленного взаимодействия эфира с двуокисью азота.

1. Идентифицированы продукты реакции: этилнитрат, этилнитрит, уксусная кислота, ацетальдегид,  $\text{NO}$ ,  $\text{CO}$ ,  $\text{CO}_2$ . Для этой цели была разработана методика определения исходных и конечных продуктов реакции в сложной смеси продуктов взаимодействия, использующая методы спектрального, полярографического и химического анализов.

2. При помощи фотоэлектрического метода получены кинетические кривые расходования  $\text{NO}_2$ , хорошо описываемые уравнением бимолекулярной реакции:

$$\frac{d(\text{NO}_2)}{dt} = -k(\text{C}_4\text{H}_{10}\text{O})(\text{NO}_2)$$

или

$$\frac{2 \ln \frac{2(\text{C}_4\text{H}_{10}\text{O})_0}{(\text{NO}_2)_0} \frac{(\text{NO}_2)}{2(\text{C}_4\text{H}_{10}\text{O})_0 - (\text{NO}_2)_0 + (\text{NO}_2)}}{2(\text{C}_4\text{H}_{10}\text{O})_0 - (\text{NO}_2)_0} = kt.$$

По кинетическим кривым определены константы скорости реакции при различных температурах и найдена энергия активации, равная 22 ккал/моль.

3. Изучена кинетика расходования начальных и образования конечных продуктов взаимодействия эфира с  $\text{NO}_2$  по данным фотоэлектрического, полярографического и химического анализов при температурах 120, 150, 180, 200° С.

4. Исследовано влияние добавок конечных продуктов реакции. Показано подавляющее реакцию действие добавок  $\text{NO}$  и отсутствие какого-либо действия добавок этилнитрата и этилнитрита.

Установлено, что добавка  $\text{NO}$  в уже реагирующую смесь, спустя 1 мин. после начала реакции, не оказывает на ее ход никакого влияния.

5. Установлена зависимость количественного состава продуктов реакции от состояния поверхности реакционного сосуда.

6. Обнаружено образование комплексов эфира с  $\text{NO}_2$  по падению давления при температурах 2; 20 и 100° С.

## ЛИТЕРАТУРА

1. F. H. Pollard, R. H. Wyatt, Trans. Farad. Soc., 45, 760, 1949.
  2. C. A. McDowell, J. H. Thomas, Journ. Chem. Soc., 1463, 1950.
  3. J. H. Thomas, Trans. Farad. Soc., 48, 1142, 1952.
  4. J. H. Thomas, Trans. Farad. Soc., 49, 630, 1953.
  5. A. D. Joffe, P. Gray, Journ. Chem. Soc., 1412, 1951.
  6. A. M. Fairlie, J. J. Carberry, J. C. Treacy, Journ. Amer. Chem. Soc., 75, 3786, 1953.
  7. R. E. Nightingale, G. R. Cowan, B. L. Crawford, Journ. Chem. Phys., 21, 1398, 1953.
  8. T. L. Cottrell, T. E. Graham, Journ. Chem. Soc., 556, 1953.
  9. T. L. Cottrell, T. E. Graham, Journ. Chem. Soc., 3644, 1954.
  10. L. Horner, F. Hubenet, Ber., 85, 804, 1952.
  11. С. В. Васильев, Г. Д. Вовченко, Журн. общ. химии, 20, 1, 1950.
  12. Э. А. Блюмберг, В. Л. Пикаева, Журн. анал. химии, 10, 310, 1955.
  13. S. Ebbing, Journ. Amer. Chem. Soc., 72, 3241, 1950.
  14. А. Е. Чичибабин, Основные начала органической химии, Госхимиздат, М.—Л., 1953, стр. 214.
  15. D. McIntosh, Journ. Amer. Chem. Soc., 27, 1014, 1905.
  16. A. D. Walsh, Fuel, 33, 242, 1954.
  17. Н. М. Эмануэль, Журн. физ. химии, 14, 863, 1940.
  18. З. К. Майзус, Н. М. Эмануэль, ДАН, 87, 437, 1952.
-

## САМОДИФФУЗИЯ И ГИДРАТАЦИЯ ИОНОВ В ВОДНЫХ РАСТВОРАХ

О. Я. Самойлов

Связь так называемых кинетических свойств жидкостей с трансляционным движением их частиц (активированными скачками из одного положения равновесия в структуре жидкости в соседнее) подробно рассмотрена Виртцем [1]. Случай движения ионов в водных растворах электролитов специально рассмотрен Полиссаром [2]. В настоящей статье рассматривается связь трансляционного движения ионов и молекул воды в водных растворах электролитов с той составляющей общего эффекта гидратации ионов, которая обусловлена взаимодействием ионов с ближайшими к ним молекулами воды раствора. Эта составляющая может быть названа «ближней» гидратацией. Именно от нее главным образом зависят кинетические свойства растворов (вязкость, подвижность ионов, диффузия и самодиффузия и др.).

Влияние ионов на трансляционное движение ближайших к ним молекул воды раствора приводит к тому, что среднее время пребывания молекул воды во временных положениях равновесия вблизи ионов ( $\tau_i$ ) отличается от соответствующего времени ( $\tau$ ) для молекул воды, окруженных только молекулами воды. Величина отношения  $\tau_i/\tau$  характеризует ближнюю гидратацию ионов. Отношение  $\tau_i/\tau$  зависит главным образом от того, насколько ион изменяет величину потенциального барьера, окружающего положения равновесия молекул воды. Вообще говоря, в зависимости от величины энергии взаимодействия иона с ближайшими к нему молекулами воды раствора (взаимодействующими также, что весьма существенно, с другими молекулами воды, образующими раствор) отношение  $\tau_i/\tau$  может принимать любые положительные значения вплоть до бесконечности, что соответствовало бы прочному связыванию ионом ближайших к нему молекул воды раствора. Однако оказалось, для что многих ионов величины  $\tau_i/\tau$  невелики. Кроме того, для ряда ионов  $\tau_i/\tau < 1$  (отрицательная гидратация) [3].

Было показано, что ион гидратирован в смысле ближней гидратации тем сильнее (отношение  $\tau_i/\tau$  для него тем больше), чем больше величина температурного коэффициента его подвижности  $\frac{1}{U_i} \frac{dU_i}{dT}$  ( $U_i$  — подвижность иона,  $T$  — абсолютная температура). Значения  $\frac{1}{U_i} \frac{dU_i}{dT}$  для некоторых одноатомных ионов, относящиеся к 21,5°, приведены в табл. 1 [4,5]. Величины кристаллохимических радиусов ионов  $r_c$  приведены в ангстремах (по Гольдшмиду).

Обращает на себя внимание то, что значение  $\frac{1}{U_i} \frac{dU_i}{dT}$  для  $Mg^{2+}$  равно или во всяком случае близко к значению  $\frac{1}{U_i} \frac{dU_i}{dT}$  для  $Ca^{2+}$  и даже меньше соответствующего значений для  $Li^+$ . Это обстоятельство казалось бы не вяжется с величиной кристаллохимического радиуса и зарядом иона  $Mg^{2+}$ . Сравнительно небольшая величина  $\frac{1}{U_i} \frac{dU_i}{dT}$  для  $Ca^{2+}$  объясняется, конечно,



Таблица 1

Температурные коэффициенты подвижностей некоторых одноатомных ионов при 21,5°

Ион	Li <sup>+</sup>	Na <sup>+</sup>	K <sup>+</sup>	Cs <sup>+</sup>	Cl <sup>-</sup>	Br <sup>-</sup>	I <sup>-</sup>	Mg <sup>++</sup>	Ca <sup>++</sup>
$\frac{1}{U_i} \frac{dU_i}{dT} \cdot 100$ . . . . .	2,65	2,44	2,17	2,12	2,16	2,15	2,13	2,54	2,54
$r_c$ . . . . .	0,78	0,98	1,33	1,65	1,81	1,96	2,20	0,78	1,06

большой величиной кристаллохимического радиуса этого иона ( $r_{Ca^{++}} > r_{Li^{+}}$ ). Следует отметить, что установление зависимости  $\tau_i/\tau_c$  от величины  $\frac{1}{U_i} \frac{dU_i}{dT}$  в работе [3] еще до некоторой степени связано с применением к движению ионов в растворах гидродинамической модели. Между тем возможность такого применения весьма сомнительна [2]. В настоящей работе ближняя гидратация ионов в растворах рассматривается без какого-либо использования гидродинамической модели. Движение ионов и молекул воды в водных растворах рассматривается только на основе представления об активированных скачках частиц из одного временного положения равновесия в соседнее. При этом учитываются скачки как отдельных частиц, так и ячеек как целого [6].

#### ОБМЕН МОЛЕКУЛ ВОДЫ, СОСТАВЛЯЮЩИХ БЛИЖАЙШЕЕ ОКРУЖЕНИЕ ИОНА В РАСТВОРЕ

Уже отмечалось, что действие ионов на трансляционное движение ближайших молекул воды раствора состоит прежде всего в изменении величины потенциального барьера, окружающего временные положения равновесия молекул воды в структуре раствора [3]. Рассмотрим это изменение несколько подробнее.

Выход молекулы воды из ближайшего окружения иона состоит в том, что молекула совершает активированный скачок из временного положения равновесия вблизи иона (это положение равновесия назовем *A*) в соседнее по отношению к *A* положение равновесия в структуре раствора (*B*). Положение равновесия *A* находится от иона приблизительно на расстоянии  $R = r_c + r_w$ , где  $r_c$  и  $r_w$  — кристаллохимические радиусы иона и молекулы воды. Из сходства структур разбавленных водных растворов электролитов со структурой воды [7,8] следует, что *B* находится от иона примерно на расстоянии  $R + 1,6\text{\AA}$  ( $1,6\text{\AA}$  — разность между абсциссами второго и первого максимумов на кривой радиального распределения для воды [9]). Ясно, что вершина потенциального барьера, разделяющего положения равновесия *A* и *B*, удалена от иона на расстояние примерно  $R + 0,8\text{\AA}$ . Значения этих расстояний, конечно, весьма приближенны. Для более точного их определения следовало бы использовать не кристаллохимические радиусы иона и молекулы воды, а размеры, свойственные этим частицам в водном растворе. Кроме того, были бы необходимы более точные сведения о структуре растворов. Вопрос о радиусах ионов в растворах рассмотрен в работе А. Ф. Капустинского С. И. Дракина и Б. М. Якушевского [10]. Этими авторами определена система радиусов ионов в водных растворах. Отмечается связь вопроса о радиусах ионов с вопросом о структуре раствора.

Пусть  $u$  — энергия взаимодействия молекулы воды с ионом,  $u_1$  — значение  $u$ , соответствующее положению равновесия  $A$  (расстояние  $R$ ), и  $u_2$  — вершине потенциального барьера, разделяющего  $A$  и  $B$  (расстояние  $R+0,8\text{\AA}$ ). Вероятность выхода молекулы воды из ближайшего окружения иона содержит экспоненциальный множитель  $e^{-\Delta u/kT}$ , где  $\Delta u = u_2 - u_1$  ( $e^{-\Delta u/kT}$  — средняя доля молекул, обладающих энергией, большей, чем  $\Delta u$ ). Можно указать соответствующие величины для случая выхода молекулы воды из ближайшего окружения другой молекулы (а не иона). Если энергию взаимодействия молекул воды обозначить  $w$ , то вероятность выхода молекулы воды из ближайшего окружения другой молекулы содержит экспоненциальный множитель  $e^{-\Delta w/kT}$ ,  $\Delta w = w_2 - w_1$ . Величина  $\tau_i/\tau$  зависит главным образом от величины  $e^{-(\Delta u - \Delta w)/kT}$ . Разность  $\Delta u - \Delta w$  и есть изменение ионом потенциального барьера, окружающего временные положения равновесия молекул воды.

Трудность расчета  $\tau_i/\tau$  в основном связана с тем, что неизвестны величины  $u(r)$  и  $w(r)$ . Даже оценка величины  $u(r)$  по формуле ион-дипольного взаимодействия невозможна. Более точный учет распределения электрических зарядов в молекуле воды (например, четыре полюса, расположенные по вершинам тетраэдра) также не приводит к правильным результатам. Такого рода подсчеты могут привести только к слишком завышенным значениям, так как для малых расстояний (ближайшие соседи) большую роль играют экранирование зарядов и силы отталкивания. Именно эти силы оказываются особенно существенными для кинетических свойств жидкостей [11]. Одна из первых попыток расчета величины  $u$  содержится в работе К. П. Мищенко и А. М. Сухотина [12]. Трудности, встречающиеся на этом пути, весьма велики. Задача сильно осложняется еще тем, что необходимо учитывать ориентацию молекул воды, взаимодействие с остальными молекулами и структуру раствора.

Между тем для суждения о величинах  $\tau_i/\tau$  для отдельных ионов могут быть использованы экспериментальные результаты по самодиффузии в воде и водных растворах электролитов. При этом, понятно, существенны энергии активации самодиффузии. Особый интерес представляла бы измеренная коэффициентов самодиффузии молекулы воды в растворах электролитов и соответствующие энергии активации\*. Имеющиеся измерения коэффициентов самодиффузии приводят к заключению, что отношение  $\tau_i/\tau$  для многих ионов невелико, а в ряде случаев даже меньше единицы (это будет ясно из следующего раздела, в котором определены величины  $\Delta E$ ). Время же  $\tau$  при  $25^\circ$  приблизительно равно  $1,7 \cdot 10^{-9}$  сек. [14]. Таким образом, обмен молекул воды, составляющих ближайшее окружение ионов в растворе, происходит весьма часто. Большой интерес в этой связи представляют результаты исследования состояния ряда комплексных соединений (например,  $K_2[PtX_4]$ , где  $X = Cl, Br, I, CN$ ) в водных растворах, выполненного с применением радиоактивных индикаторов А. А. Гринбергом совместно с Ф. М. Филиповым и Л. Е. Никольской [15]. На основе этих работ А. А. Гринберг приходит к выводу, что в исследованных комплексах координированные анионы все время обмениваются с идентичными группами из раствора, так что можно говорить только «о каком-то промежутке времени, в течение которого данная группа остается в связи с центральным ионом комплекса» [15]. А. Ф. Капустинский в работе, посвя-

\* В недавно опубликованной работе [13] приводятся результаты измерения коэффициентов самодиффузии воды в растворах электролитов. Обнаружено, что в ряде случаев эти коэффициенты значительно больше, чем коэффициент самодиффузии для чистой воды. Экспериментальные результаты работы [13] вполне согласуются с представлением об отрицательной гидратации ряда ионов [3,5]. Следует отметить, что соответствующие работы в статье [13] не упоминаются.

щенной теории темлоемкостей ионов в водных растворах [16], принимает, что тепловое движение ионов в растворе сопровождается постоянной сменой ближайших к ионам молекул воды. Наконец, в связи с рассмотрением вопроса о частоте обмена молекул воды, составляющих ближайшее окружение иона в водном растворе, нельзя не привести замечательные слова Д. И. Менделеева. В 1887 г. Д. И. Менделеев писал о соединениях растворенного вещества с растворителем, образующихся в растворах: «При обыкновенной температуре эти соединения происходят при ней и разрушаются. Частицы растворителя, в этот момент находящиеся в соединении, в следующий момент могут делаться свободными, чтобы опять вступить в согласное движение с частицами растворенного» [17].

### ТЕМПЕРАТУРНЫЕ КОЭФФИЦИЕНТЫ ПОДВИЖНОСТЕЙ ИОНОВ И ГИДРАТАЦИЯ

Полиссаром впервые было показано, что движение ионов в водных растворах электролитов следует рассматривать как активированные скачки из одной ячейки в другую (скачки из одного временного положения равновесия в структуре раствора в соседнее). Была также показана невозможность применения к движению ионов в растворах гидродинамической модели. Направленные потоки частиц в растворах, например поток ионов в направлении внешнего электрического поля, являются результатом малого, но направленного, возмущения, скачкообразного броуновского движения частиц раствора. Это возмущение приводит к тому, что среднее число скачков частиц в некотором направлении больше, чем в остальных. Очевидно, что такой же характер (активированные скачки) имеет и тепловое движение молекул воды раствора.

Уже отмечалось, что при рассмотрении движения частиц жидкости следует наряду с активированными скачками отдельных частиц учитывать движение ячеек как целого [6]. В случае движения ионов в водных растворах ячейка представляет собой ион вместе с ближайшими к нему молекулами воды (сольватной оболочкой). Так как упорядоченность расположения молекул в воде выражена весьма значительно (кривая радиального распределения), и так как в разбавленных водных растворах электролитов в основном сохраняется структура воды [7, 8], то движение ячеек как целого в таких растворах, так же как и движение отдельных частиц, представляет собой активированные скачки. Понятно, что учет наряду со скачками отдельных ионов активированных скачков ионов вместе с сольватной оболочкой оказывается весьма полезным при изучении движения ионов в растворах. В самом деле, в растворах возможны как те, так и другие скачки, и при рассмотрении движения ионов возникает вопрос, совершает ли ион скачки один или вместе с сольватной оболочкой. Учитывая скачки обоих родов, можно затем по экспериментальным данным оценить их относительную роль в движении ионов.

В соответствии с показанным ранее [6], при учете скачков двух родов для коэффициента самодиффузии ионов в растворах получается выражение:

$$D_i = A_1 e^{-E_1/RT} + A_2 e^{-E_2/RT} \quad (1)$$

где  $E_1$  — энергия активации скачка отдельного иона,  $E_2$  — энергия активации скачка иона вместе с сольватной оболочкой,  $A_1$  и  $A_2$  — коэффициенты. В воде энергия активации скачков отдельной молекулы и ячейки как целого приблизительно одинакова [6], и коэффициент самодиффузии воды

$$D = A_1^0 e^{-E/RT} + A_2^0 e^{-E/RT} = A^0 e^{-E/RT} \quad (2)$$



Приближенно можно принять  $E_2 = E$ , т. е. принять, что перемещение в воде ячейки как целого требует такой же энергии активации, как и перемещение иона вместе с сольватной оболочкой в разбавленном растворе. Возможность такого допущения вытекает из того факта, что ионы в разбавленных растворах окружены ближайшими молекулами воды примерно так же, как молекулы воды в воде [7,8]. Здесь следует отметить, что электронейтральные частицы, являющиеся непосредственными соседями иона, оказывают весьма сильное экранирующее действие на его поле. Это видно хотя бы из того, как сказывается наличие почти электронейтральных кислородов в ионе  $\text{UO}_2^{++}$  на характер окружения этого иона в разбавленных водных растворах молекулами воды (можно сравнить окружение этого иона с окружением, например, иона  $\text{Ba}^{++}$ ) [18,7].

Введем обозначение  $E_1 - E = \Delta E$ . Величина  $\Delta E$  является энергетической характеристикой ближней гидратации иона. Эта величина представляет собой рассматривавшееся ранее изменение ионом потенциального барьера, окружающего положения равновесия молекул воды [3]. Соотношение (1) для коэффициента самодиффузии иона в растворе напишется теперь

$$D_i = A_1 e^{-(E+\Delta E)/RT} + A_2 e^{-E/RT}. \quad (3)$$

Можно показать [19], что и при учете скачков ионов вместе с сольватной оболочкой остается справедливым уравнение Нернста, связывающее коэффициент диффузии с подвижностью иона  $U_i$ :

$$U_i = \frac{fF}{kT} D_i,$$

где  $f$  — сила, действующая на ион в электрическом поле при градиенте  $1\text{В/см}$ ,  $F$  — число Фарадея и  $k$  — константа Больцмана. Это уравнение можно записать в форме:

$$U_i \frac{1}{D_i} T = \text{const},$$

и, следовательно,

$$\frac{1}{D_i} \frac{dD_i}{dT} + \frac{1}{T} = \frac{1}{D_i} \frac{dD_i}{dT}. \quad (4)$$

Из выражения (3) легко найти, что

$$\frac{1}{D_i} \frac{dD_i}{dT} = \frac{E}{RT^2} + \frac{\Delta E}{RT^2} \frac{1}{1 + (A_2/A_1) e^{\Delta E/RT}},$$

и, принимая во внимание (2),

$$\frac{1}{D_i} \frac{dD_i}{dT} = \frac{1}{D} \frac{dD}{dT} + \frac{\Delta E}{RT^2} \frac{1}{1 + \alpha e^{\Delta E/RT}}, \quad (5)$$

где  $\alpha = A_2/A_1$ . Отметим, что  $\alpha > 0$ , так как и  $A_1$  и  $A_2$  — величины существенно положительные. Подставляя (5) в (4), имеем

$$\frac{1}{U_i} \frac{dU_i}{dT} + \frac{1}{T} - \frac{1}{D} \frac{dD}{dT} = \frac{\Delta E}{RT^2} \frac{1}{1 + \alpha e^{\Delta E/RT}}. \quad (6)$$

Величины  $\frac{1}{U_i} \frac{dU_i}{dT}$ , относящиеся к  $21,5^\circ$ , приведены в табл. 1. Значение  $\frac{1}{D} \frac{dD}{dT}$  при  $21,5^\circ$  можно вычислить по экспериментальным результатам исследования самодиффузии в воде с применением в качестве индикатора

$\text{H}_2\text{O}^{18}$  [20]. По этим данным  $\lg D$  в области от 1 до  $55^\circ$  линейно зависит от  $\frac{1}{T}$ .

$$\frac{1}{D} \frac{dD}{dT} = -2,30 \frac{1}{T^2} \frac{d \lg D}{d(1/T)}.$$

Для нахождения  $\frac{d \lg D}{d(1/T)}$  (наклона прямой  $\lg D, 1/T$ ) данные работы [20] были обработаны по способу наименьших квадратов. При  $21,5^\circ$   $\frac{1}{D} \frac{dD}{dT} = 0,0265 \text{ град}^{-1}$ . Во второй строке табл. 2 приведены значения

$$\frac{1}{U_i} \frac{dU_i}{dT} + \frac{1}{T} - \frac{1}{D} \frac{dD}{dT} = \gamma_{\text{экср}}$$

для тех ионов, для которых в табл. 1 приведены значения  $\frac{1}{U_i} \frac{dU_i}{dT}$ .

Таблица 2

Значения  $\gamma_{\text{экср}}$  и  $\Delta E$  для некоторых одноатомных ионов ( $21,5^\circ$ )

Ионы	$\text{Li}^+$	$\text{Na}^+$	$\text{K}^+$	$\text{Cs}^+$	$\text{Cl}^-$	$\text{Br}^-$	$\text{I}^-$	$\text{Mg}^{2+}$	$\text{Ca}^{2+}$
$\gamma_{\text{экср}} \cdot 100$	0,34	0,13	-0,14	-0,19	-0,15	-0,16	-0,18	0,23	0,23
$\Delta E$ ккал/моль	0,73	0,25	-0,25	-0,33	-0,27	-0,29	-0,32	2,61	0,45

Видно, что ряду ионов свойственны отрицательные значения  $\gamma_{\text{экср}}$ . Знак правой части уравнения (6) определяется знаком  $\Delta E$ , так как дробь  $\frac{1}{1 + \alpha \exp(\Delta E/RT)}$  всегда положительна ( $\alpha > 0$ ). Поэтому отрицательное значение  $\gamma_{\text{экср}}$  для какого-либо иона указывает на то, что для этого иона  $\Delta E < 0$ . Таким образом, так же как и раньше, установлено, что ряд ионов обнаруживает «отрицательную гидратацию» [3]. Для таких ионов  $\tau_i/\tau < 1$ .

Величина коэффициента  $\alpha = A_2/A_1$  в уравнении (6) связана с относительной частотой активированных скачков ионов вместе с сольватной оболочкой и без нее. Вообще говоря, каждому иону свойственно свое значение  $\alpha$ . Однако можно приближенно принять  $\alpha$  для рассматриваемых ионов одинаковым (отметим, что значение  $\alpha$  определяется предэкспоненциальными множителями в выражении для частоты соответствующих скачков, так что различие в энергиях активации непосредственно не сказывается на значении  $\alpha$ ). Определим, как зависит правая часть уравнения (6) (величина  $\gamma$ ) при  $21,5^\circ$  ( $1/T = 0,0034 \text{ град}^{-1}$ ) от  $\frac{\Delta E}{RT} = x$  при разных значениях  $\alpha$ . На графике, представленном на рис. 1, по оси абсцисс отложены величины  $x$ , а по оси ординат — величины  $\gamma = 0,0034 \frac{1}{1 + \alpha e^x}$ . Прямая 1 и кривые 2—8 относятся к различным значениям  $\alpha$ . Случай  $\alpha = 0$  (прямая 1) отвечает скачкам отдельного иона при отсутствии скачков иона вместе с сольватной оболочкой. В этом случае уравнение (6) соответствует полученному ранее [5] уравнению

$$\frac{1}{U_i} \frac{dU_i}{dT} = -\frac{1}{T} \frac{d\eta}{dT} + \frac{\Delta E}{RT^2},$$

где  $\eta$  — вязкость воды. Однако экспериментальные значения температурных коэффициентов подвижностей ионов не согласуются с прямой 1 ( $\gamma_{Mg^{2+}} = \gamma_{Ca^{2+}}$ ).

При  $\alpha \neq 0$  кривые  $\gamma(x)$  проходят через максимум. Именно с этим обстоятельством и может быть связано равенство значений  $\gamma$  для  $Ca^{2+}$  и  $Mg^{2+}$  ( $x_{Ca^{2+}}$  и  $x_{Mg^{2+}}$  могут располагаться по разные стороны от максимума). Наличие максимума на кривой  $\gamma(x)$  указывает на то, что через максимум проходит зависимость  $\frac{1}{U_i} \frac{dU_i}{dT}$  от энергии активации скачка отдельного иона.

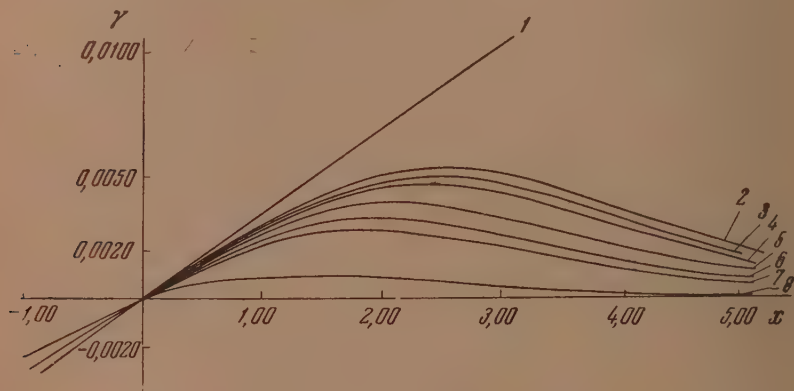


Рис. 1. Кривые  $\gamma(x)$  при различных значениях  $\alpha$ : 1—0,00; 2—0,05; 3—0,06; 4—0,07; 5—0,10; 6—0,15; 7—0,20; 8—1,00.

Величина  $\alpha$  не может быть больше 0,1, так как в этом случае значения правой части уравнения (6) на всем интервале  $x$  меньше значений  $\gamma_{\text{эксп}}$  (кривые 8, 7 и 6). Итак,  $0 < \alpha < 0,1$ .

Можно приблизительно установить значения  $\alpha$ , положив  $\frac{x_{Li^+}}{x_{Na^+}} = \frac{1}{2} \frac{x_{Mg^{2+}}}{x_{Ca^{2+}}}$  (такое предположение весьма правдоподобно, так как  $r_{Li^+} \approx r_{Mg^{2+}}$  и  $r_{Na^+} \approx r_{Ca^{2+}}$ , а заряд ионов  $Mg^{2+}$  и  $Ca^{2+}$  в два раза больше заряда  $Li^+$  и  $Na^+$ ). Тогда равенство значений  $\gamma$  для  $Mg^{2+}$  и  $Ca^{2+}$ , определяемых по кривой  $\gamma(x)$ , выполняется при  $\alpha = 0,0655$ . Положив  $\alpha = 0,0655$ , можно, используя кривую  $\gamma(x)$ , представленную на рис. 2, по экспериментальному значению  $\frac{1}{U_i} \frac{dU_i}{dT}$  для какого-либо иона найти соответствующую величину  $\Delta E$ . Найденные таким способом значения  $\Delta E$  для некоторых одноатомных ионов приведены в табл. 2. На рис. 3 значения  $\Delta E$  для однозарядных катионов представлены в зависимости от величины кристаллохимических радиусов. Граница между гидратирующимися и негидратирующимися однозарядными ионами ( $r = 1,11 \text{ \AA}$ ) хорошо согласуется с найденной ранее [21].

Зная  $\alpha$  и  $\Delta E$ , можно составить себе представление о том, какова роль в движении того или иного иона активированных скачков без сольватной оболочки и вместе с ней. Так, если  $S_1^2$  и  $S_2^2$  — средние квадраты смещений иона в растворе за время  $t$  (отрезок времени  $t \gg \tau$ ), обусловленных, соответственно, скачками отдельного иона и иона вместе с сольватной оболочкой, то, принимая  $\bar{l}_1 = \bar{l}_2$  ( $\bar{l}_1$  и  $\bar{l}_2$  — средние длины, на ко-



которые совершаются те и другие скачки) [6], легко показать, что

$$\frac{\bar{S}_2^2}{\bar{S}_1^2} = \frac{n_2}{n_1} = \alpha e^{\Delta E/RT},$$

$n_1$  и  $n_2$  — средние числа скачков за время  $t$ , соответственно, отдельного иона и иона вместе с сольватной оболочкой.

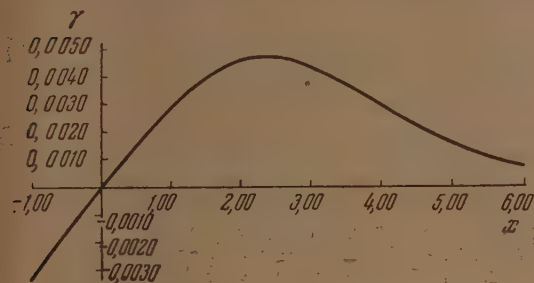


Рис. 2. Кривая  $\gamma(x)$  при  $\alpha = 0,0655$

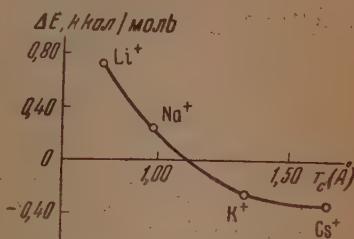


Рис. 3. Кривая  $\Delta E(r_c)$  для однозарядных катионов

С величиной  $\Delta E$  непосредственно связано среднее время  $\tau'_i$  пребывания иона в одном положении равновесия в структуре раствора (в одной ячейке):

$$\tau'_i = B e^{(E + \Delta E)/RT},$$

$\tau'_i$  — среднее время между двумя последовательными скачками иона без сольватной оболочки. Поскольку именно с такими скачками связан обмен ближайших к иону молекул воды, среднее время пребывания молекул воды в положениях равновесия вблизи ионов ( $\tau_i$ ) естественно принять равным  $\tau'_i$ . Однако вопрос о соотношении  $\tau'_i$  и  $\tau_i$  заслуживает специального рассмотрения.

## ВЫВОДЫ

1. Ближняя гидратация ионов в разбавленных водных растворах рассмотрена на основе представления об активированных скачках ионов и молекул воды раствора. Наряду со скачками отдельных ионов учитываются скачки ионов вместе с сольватной оболочкой. Получено уравнение, связывающее температурный коэффициент подвижности иона с энергией активации скачка отдельного иона (скачка иона без сольватной оболочки).

2. Обмен молекул воды, составляющих ближайшее окружение ионов в растворах, происходит с весьма большой частотой. Ряду ионов свойственна отрицательная гидратация. Граница между гидратирующимися и негидратирующимися однозарядными ионами хорошо согласуется с найденной ранее.

3. Учет активированных скачков ионов вместе с сольватной оболочкой показывает, что зависимость температурного коэффициента подвижности ионов от энергии активации скачка отдельного иона проходит

\* При этом должна быть введена поправка на различие молекулярного веса воды и атомного веса иона, которое приводит к различию частот колебаний этих частиц около временных положений равновесия в структуре раствора.

через максимум. С этим и связано сравнительно небольшое значение температурного коэффициента подвижности иона  $Mg^{2+}$ .

Академия наук СССР  
Институт общей и неорганической химии  
им. Н. С. Курнакова

Поступила  
10. III. 1955

#### ЛИТЕРАТУРА

1. K. Wirtz, Zs. Naturforschung, 3a, 672, 1948.
2. M. J. Polissar, Journ. Chem. Phys., 6, 833, 1938.
3. О. Я. Самойлов, Изв. АН СССР ОХН, № 2, 242, 1953.
4. E. Darmais, Journ. de phys., 2, 2, 1941.
5. О. Я. Самойлов, ДАН, 77, 633, 1951.
6. О. Я. Самойлов, ДАН, 101, 125, 1955.
7. О. Я. Самойлов, Изв. АН СССР ОХН, № 4, 627, 1952.
8. А. Ф. Рапустинский и О. Я. Самойлов, Журн. физ. химии, 26, 918, 1952.
9. S. Morgan, B. E. Warren, Journ. Chem. Phys., 6, 666, 1938.
10. А. Ф. Рапустинский, С. И. Дракин, Б. М. Якушевский, Журн. физ. химии, 27, 433, 1953.
11. L. F. Epstein, M. D. Powers, Journ. Phys. Chem., 57, 336, 1953.
12. К. П. Мищенко, А. М. Сухотин, Журн. физ. химии, 27, 26, 1953.
13. J. H. Wang, Journ. Phys. Chem., 58, 686, 1954.
14. О. Я. Самойлов, ДАН, 95, 587, 1954.
15. А. А. Гринберг, Введение в химию комплексных соединений, Госхимиздат, 1951, стр. 352.
16. А. Ф. Рапустинский, Журн. общ. химии, 12, 186, 1942.
17. Д. И. Менделеев, Исследование водных растворов по удельному весу, СПб, 1887, стр. XII; Избранные сочинения, Л., т. 3, 1934, стр. XI.
18. И. И. Липилина, О. Я. Самойлов, ДАН, 98, 99, 1954.
19. О. Я. Самойлов, Изв. АН СССР ОХН, № 3, 572, 1955.
20. J. H. Wang, C. V. Robinson, H. S. Edelman, Journ. Amer. Chem. Soc., 75, 466, 1953.
21. О. Я. Самойлов, ДАН, 91, 319, 1953.

## ТЕОРИЯ ДИНАМИКИ ИОННОГО ОБМЕНА

### 1. ДИНАМИКА И КИНЕТИКА ИОННОГО ОБМЕНА ПРИ РЕЖИМЕ ПАРАЛЛЕЛЬНОГО ПЕРЕНОСА

*О. М. Тодес и В. В. Рачинский*

Теория динамики сорбции является теоретической основой современной хроматографии. В разработке этой теории существуют два подхода. В одном из них процесс динамической сорбции веществ рассматривается как непрерывный, и в связи с этим соответствующие расчеты строятся на решении дифференциальных уравнений [1—13]. Другой подход основан на представлении о прерывистости процесса динамической сорбции, и в связи с этой физической предпосылкой для расчетов используются методы исчисления конечных разностей [14—21].

Методы решения дифференциальных уравнений баланса дают возможность провести теоретический анализ динамики сорбции на той стадии процесса, когда уже произошло насыщение самого верхнего слоя сорбционной колонки. Такая задача была, например, рассмотрена одним из нас совместно с Я. М. Биксоном [10—12] для случая динамики молекулярной сорбции. В данной работе будет показано, что аналогичный метод может быть применен и при решении задач динамики ионного обмена.

Одним из основных законов процесса ионообменной сорбции является закон эквивалентности, согласно которому участвующие в обмене ионы обмениваются в эквивалентных количествах. Рассмотрим выражение этого закона для динамических условий ионного обмена.

Пусть имеется колонка ионообменного сорбента, и в колонку поступает с постоянной скоростью раствор смеси ионов (рис. 1).

Введем следующие обозначения:  $x$  — расстояние от начала колонки в сантиметрах;  $j$  — число ионов-компонентов, участвующих в обмене;  $n_i$  — количество  $i$ -го иона в растворе на единицу длины сорбционной колонки в мг-экв/см;  $N_i$  — количество  $i$ -го иона в сорбенте на единицу длины сорбционной колонки в мг-экв/см;  $V$  — объем введенного в колонку раствора в миллилитрах;  $t$  — время в минутах;  $\dot{V} = V/t$  — скорость поступления раствора в колонку в мл/мин.;  $Q$  — среднее свободное сечение колонки в см<sup>2</sup>;  $u = \dot{V}/Q$  — линейная скорость потока раствора в колонке в см/мин.;  $N_0$  — линейная емкость поглощения сорбента в мг-экв/см.

Для каждого компонента соблюдается закон сохранения вещества. Если предположить, что никакие другие процессы, кроме сорбции и переноса массы потоком, не происходят, то соответствующая система уравнений баланса может быть представлена в следующем виде:

$$\frac{\partial n_i}{\partial t} + u \frac{\partial n_i}{\partial x} + \frac{\partial N_i}{\partial t} = 0, \quad 1 \leq i \leq j. \quad (1)$$



Рис. 1



Условие эквивалентности ионного обмена гласит:

$$\sum_{i=1}^j N_i = N_0. \quad (2)$$

Распределение ионов между сорбентом и раствором может быть рассчитано, если, кроме системы (1) и соотношения (2), известны уравнения кинетики ионного обмена:

$$\frac{\partial N_i}{\partial t} = f(n_1, n_2, \dots, n_j; N_1, N_2, \dots, N_j). \quad (3)$$

На эти уравнения в силу условия эквивалентности (2) наложено следующее ограничение:

$$\sum_{i=1}^j \frac{\partial N_i}{\partial t} = 0. \quad (4)$$

Суммируя систему (1) по всем  $i$  и принимая во внимание (4), получим

$$\frac{\partial}{\partial t} \left( \sum_{i=1}^j n_i \right) + u \frac{\partial}{\partial x} \left( \sum_{i=1}^j n_i \right) = 0. \quad (5)$$

Решая уравнение (5), получим следующее выражение для характеристики эквивалентности ионного обмена в динамических условиях:

$$\sum_{i=1}^j n_i = F(x - ut). \quad (6)$$

Физический смысл этого решения заключается в том, что при эквивалентном обмене ионов сумма их концентраций в движущейся жидкости остается неизменной в каждом бесконечно малом объеме жидкости, перемещающемся вместе с потоком с постоянной скоростью  $u$ .

Как известно [8], в условиях равновесной сорбции скорость движения точки заданной концентрации определяется следующим уравнением:

$$\left( \frac{\partial x}{\partial t} \right)_n = \frac{u}{1 + f'(n)}, \quad (7)$$

где  $f'(n)$  — первая производная от уравнения изотермы по концентрации, т. е.  $f'(n) = \frac{\partial}{\partial n} [f(n)]$ . Это уравнение показывает, что характер деформации фронта сорбируемого вещества будет зависеть от вида изотермы.

Рассмотрим уравнение изотермы ионного обмена для одновалентных ионов:

$$\frac{N_1}{N_2} = k_{12} \frac{n_1}{n_2}, \quad (8)$$

где  $k_{12}$  — константа обмена.

Принимая во внимание, что согласно условиям (2) и (6)

$$N_1 + N_2 = N_0, \quad n_1 + n_2 = n_0, \quad (9)$$

где  $n_0$  — суммарная концентрация обменивающихся ионов, получим уравнение изотермы ионного обмена в следующем виде:

$$N_2 = \frac{a n_2}{1 + b n_2}, \quad (10)$$

где  $a = N_0/k_{12}n_0$ ,  $b = (1 - k_{12})/k_{12}n_0$ .

Рассмотрим три частных случая (рис. 2):

1)  $k_{12} < 1$ . В этом случае будем иметь выпуклую изотерму ленгмюровского типа

$$N_2 = \frac{N_0 n_2}{k_{12} n_0 + (1 - k_{12}) n_2} \quad (11)$$

2)  $k_{12} = 1$ . При этом условии изотерма будет линейной

$$N_2 = (N_0 / n_0) n_2 \quad (12)$$

3)  $k_{12} > 1$ . В этом случае изотерма будет иметь вогнутую форму:

$$N_2 = \frac{N_0 n_2}{k_{12} n_0 - (k_{12} - 1) n_2} \quad (13)$$

В соответствии с (7) при  $k_{12} < 1$  должно происходить постепенное сжатие фронта. Однако вследствие действия кинетического фактора, стремящегося размыть фронт, на некоторой стадии процесса должна произойти стабилизация фронта, и его дальнейшее передвижение будет происходить с постоянной скоростью. При  $k_{12} = 1$  все точки фронта в равновесных условиях должны двигаться с одинаковой постоянной скоростью. Поэтому кинетический фактор будет беспрепятственно, хотя и сравнительно медленно ( $\sim \sqrt{t}$ , см. [9]), размывать фронт. При  $k_{12} > 1$  в равновесных условиях должно происходить, согласно (7), размывание фронта. Кинетический фактор, действующий в том же направлении, еще больше будет усугублять этот процесс размывания фронта.

Таким образом величина константы обмена оказывает решающее влияние на процесс динамики сорбции. Лишь при константах обмена, меньших единицы, можно ожидать образования стационарного фронта и наблюдения закона Н. А. Шилова о параллельном переносе фронта [22].

Рассмотрим вопрос о движении и форме стационарного фронта подробнее. Пусть имеется колонка ионообменного сорбента, насыщенного первым ионом ( $N_1 = N_0$ ), поры которой заполнены чистым растворителем (водой), и в колонку вводится раствор второго иона, способного вступать в обмен с ионом сорбента, причем константа обмена  $k_{12} < 1$ . Через некоторое время должно произойти насыщение верхнего слоя колонки сорбируемым ионом и стабилизация формы фронта этого иона. В дальнейшем фронт введенного в колонку иона будет перемещаться вдоль колонки с некоторой постоянной скоростью  $v$ . Будем искать эту скорость движения фронта. Для этого воспользуемся подстановкой:

$$\xi = x - vt, \quad (14)$$

при помощи которой уравнение баланса в частных производных (1) можно привести к обыкновенному дифференциальному уравнению:

$$(u - v) \frac{dn}{d\xi} - v \frac{dN}{d\xi} = 0. \quad (15)$$

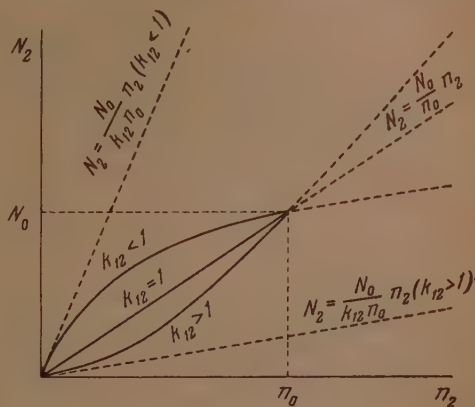


Рис. 2

Здесь индекс 2, нумерующий вытесняющий ион, опущен. Интегрируя (15), получим

$$(u - v)n - vN = \text{const.} \quad (16)$$

Естественно, что впереди фронта  $n = 0$  и  $N = 0$ , а сзади фронта в зоне насыщения сорбционной емкости сорбента  $n = n_0$  и  $N = N_0$ . Итак, на уравнение (16) накладываются два граничных условия:

1) При  $\xi \rightarrow +\infty$  (перед фронтом волны)  $n = 0$  и  $N = 0$ ; следовательно,  $\text{const} = 0$ , и в результате имеем

$$v = u \frac{n}{n + N}. \quad (17)$$

2) При  $\xi \rightarrow -\infty$  (сзади фронта волны)  $n = n_0$  и  $N = N_0$ ; следовательно,  $(u - v)n_0 = vN_0$ , откуда получаем

$$v = u \frac{n_0}{n_0 + N_0} < u. \quad (18)$$

Таким образом мы нашли искомую скорость движения фронта волны вытеснения. Из (18) видно, что эта скорость меньше скорости движения потока жидкости в колонке. Из (17) и (18) следует также, что внутри фронта распределение иона между сорбентом и раствором должно подчиняться условию:

$$n/N = n_0/N_0 = \text{const.} \quad (19)$$

Величина отношения  $n_0/N_0$  есть не что иное, как величина ионного отношения, введенная для характеристики динамики ионного обмена Е. Н. Гапоном и Т. Б. Гапон [17, 18]. В дальнейшем ионное отношение будем обозначать через  $h$ .

Условие (19) показывает, что кривые распределения иона в растворе и в сорбенте внутри стационарного фронта должны быть подобны.

Воспользовавшись введенными обозначениями, формулу скорости фронта (18) напомним в несколько ином виде:

$$\frac{x}{V} = \frac{1}{Q} \frac{h}{1 + h}. \quad (20)$$

Эта формула показывает, что скорость движения стационарного фронта, выражаемая отношением  $x/V$ , зависит только от двух величин — от площади свободного сечения колонки и величины ионного отношения.

Для определения ширины фронта сорбционной волны необходимо знать закон кинетики сорбции. Как указывается в литературе [9, 11, 12, 16, 23, 24], решающим фактором, определяющим кинетику сорбции, является процесс диффузии. Можно показать, что при диффузионной кинетике движущей силой кинетики сорбции будет разность между концентрацией иона в растворе и той его концентрацией, которая должна бы быть при данной концентрации иона в сорбенте в равновесных условиях. На этом основании будем предполагать, что закон кинетики ионного обмена может быть выражен следующим уравнением:

$$\frac{\partial N}{\partial t} = \beta (n_{\text{фр}} - n_{\text{равн}}), \quad (21)$$

где  $\beta$  — константа скорости диффузии,  $n_{\text{фр}} = (n_0/N_0)N$  [согласно условию (19)] и  $n_{\text{равн}} = \frac{kn_0N}{N_0 - (1-k)N}$  [согласно изотерме (11)]. Индекс 12 при константе обмена опущен.



Используя подстановку (14), уравнение кинетики (21) приведем к следующему виду:

$$\frac{dN}{d\xi} = - \frac{\beta(1-k)n_0}{vN_0} \frac{N(N_0-N)}{N_0-(1-k)N}. \quad (22)$$

Обозначив

$$\frac{vn_0}{\beta n_0(1-k)} = L \quad (23)$$

и вводя безразмерные переменные

$$\frac{\xi}{L} = \frac{x-vt}{L} = z; \quad \frac{N}{N_0} = \frac{n}{n_0} = \frac{n+N}{n_0+N_0} = y, \quad (24)$$

получим

$$\frac{dy}{dz} = - \frac{y(1-y)}{1-(1-k)y}. \quad (25)$$

Интегрирование этого уравнения дает следующий закон распределения иона во фронте:

$$\frac{y}{(1-y)^k} = e^{z-z_0} \quad (26)$$

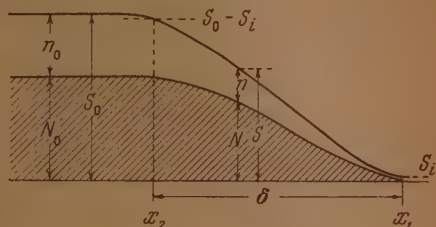


Рис. 3

Постоянная интегрирования  $z_0$  здесь несущественна, так как она просто привязывает начало отсчета движущейся системы координат в установившемся фронте к какой-то его точке с определенным значением  $y$ .

На основании (24) и (26) имеем

$$\begin{aligned} x - vt &= Lz = Lz_0 - L \ln \frac{y}{(1-y)^k} = \\ &= Lz_0 - L \ln \frac{\frac{n+N}{n_0+N_0}}{\left(1 - \frac{n+N}{n_0+N_0}\right)^k}. \end{aligned} \quad (27)$$

Будем обозначать:  $n+N=S$  и  $n_0+N_0=S_0$ . Определим ширину фронта  $\delta = x_1 - x_2$  как расстояние между точкой с суммарной концентрацией иона в растворе и в сорбенте  $S_i$ , являющейся пределом чувствительности метода определения концентрации, и суммарной концентрацией  $S_0 - S_i$  (рис. 3).

Тогда, как это легко вычислить,

$$\delta = \frac{vN_0(1+k)}{\beta n_0(1-k)} \ln \frac{S_0 - S_i}{S_i} \quad (28)$$

или, учитывая (18), окончательно получим

$$\delta = \frac{1+k}{1-k} \frac{1}{1+h} \frac{u}{\beta} \ln \frac{S_0 - S_i}{S_i} \quad (29)$$

Полученная формула (29), определяющая ширину стационарного фронта при  $k < 1$ , показывает зависимость ширины фронта от всех констант статики, кинетики и динамики сорбции: константы обмена, константы скорости сорбции, скорости потока, ионного отношения, а также от

чувствительности метода определения концентрации иона в сорбционной колонке.

Из этой формулы вытекают следующие следствия:

- 1) Чем больше скорость сорбции данного иона, тем более узкий фронт должен получиться: в пределе при  $\beta \rightarrow \infty$  соответственно  $\delta \rightarrow 0$ .
- 2) Действительно, образование стационарного фронта возможно только при  $k < 1$ , так как при  $k = 1$  получается  $\delta \rightarrow \infty$ .
- 3) Чем больше величина ионного отношения, тем меньше ширина фронта.
- 4) Ширина фронта при прочих равных условиях должна увеличиваться пропорционально скорости потока.
- 5) Так как  $\ln \frac{S_0 - S_i}{S_i}$  изменяется с изменением индицируемой концентрации медленно (логарифмически), то зависимость ширины фронта от точности измерения концентрации незначительна.

Представляет интерес сравнение полученных теоретических результатов с экспериментальными данными. Для этой цели мы используем новые результаты исследований динамики ионного обмена, выполненных одним из нас, с применением радиохроматографического метода [25—27].

Опыты проводились на колонках катионообменной смолы КУ-2.

Способ приготовления колонок заключался в следующем:

Предварительно за сутки до опыта брали навески 1—2 г воздушно-сухой смолы КУ-2 фракции 0,22—0,25 мм и всыпали их в пробирки. Каждую порцию смолы заливали 10 мл 1 N раствора электролита, содержащего тот катион, которым предполагалось произвести насыщение данной порции смолы. Так, например, для получения Н-обменной КУ-2 смолы заливалась 1 N раствором HCl. После взбалтывания содержимого пробирок, замоченные смолы оставлялись на сутки для насыщения и набухания. Через сутки набухшие смолы в суспендированном виде загружались в стеклянные трубки для хроматографии длиной 25 см и диаметром 5,5 мм.

Путем легкого и частого постукивания стеклянной палочкой получали достаточно равномерно уплотненный слой сорбента без пузырьков воздуха. Фильтрация жидкости происходила без отсасывания, а лишь под действием силы тяжести. Благодаря тому, что диаметр колонки был небольшой, жидкость довольно прочно удерживалась в порах колонки после окончания фильтрации, и осушения верхних слоев сорбента практически не происходило в течение примерно часа. Для полного насыщения колонки сорбента необходимым катионом через каждую колонку пропускали по 10 мл 1 N растворов соответствующих электролитов. Затем колонки промывали 20 мл воды для удаления из пор колонок растворов электролитов.

Далее для опытов готовили растворы хлористых солей, содержащих меченые радиоактивными изотопами катионы. Радиоактивный раствор вливали в каждую колонку отдельными порциями. После того как каждая порция раствора полностью вошла в колонку сорбента, при помощи счетной установки производили радиометрическое исследование распределения меченого катиона вдоль колонки.

Измерения производили на установке типа Б со счетной трубкой Б-2М. Пучок  $\beta$ - и  $\gamma$ -лучей, исходящий из отдельных участков колонки, надлежащим образом диафрагмировался при помощи свинцовой защиты. Измеряли среднюю активность каждого полусантиметрового слоя колонки. После наведения всех необходимых при радиометрических измерениях поправок, по полученным данным вычерчивали кривые распределения меченого иона вдоль колонки.

Заметим, что при данной постановке радиометрического исследования распределения меченого иона вдоль колонки на разных стадиях динамики сорбции мы получаем, так сказать, суммарные кривые распределения без выяснения того, какая часть иона сорбирована и какая часть находится в порах в растворе.

Однако, после того как опыт закончен, колонку можно промыть водой. После промывания колонки в ней останется ион только в сорбированном состоянии, а поры будут заполнены растворителем (водой). Если константа обмена  $k_{12} < 1$ , то при достаточном количестве влитого в колонку раствора в верхних ее слоях должно произойти насыщение сорбента новым ионом. Сравнивая содержание меченого иона до и после промывания, легко рассчитать величину ионного отношения [25—26]. Как это видно из теоретической части работы, величина ионного отношения является важной константой, характеризующей динамику ионного обмена.

Приводим данные одного из опытов исследования динамики обмена натрия на колонке Н-обменной КУ-2.

Для опыта был приготовлен раствор хлористого натрия с концентрацией 5 мг/мл. В качестве радиоактивного индикатора использовали изотоп  $\text{Na}^{24}$ . Раствор вливали в колонку отдельными порциями по 1 мл. Константа ионного обмена для системы  $\text{H}^+ \rightleftharpoons \text{Na}^+$  была определена в независимом опыте в статических условиях также с применением меченого натрия. Для рассматриваемой системы константа обмена оказалась равной 0,7. Средняя линейная скорость раствора над слоем сорбента определялась по движению мениска раствора. В данном опыте она была равна 2,5 см/мин. Была определена также величина ионного отношения. Для смолы КУ-2 при выбранной концентрации натрия эта величина оказалась равной 0,08.

Кривые распределения меченого натрия на разных стадиях ионного обмена в колонке Н-обменной КУ-2 представлены на рис. 4. Эти динамические кривые показывают, что действительно при  $k_{12} < 1$  на некоторой стадии процесса примерно начиная с  $V = 2$  мл образуется стационарный фронт, передвигающийся далее вдоль колонки параллельно самому себе.

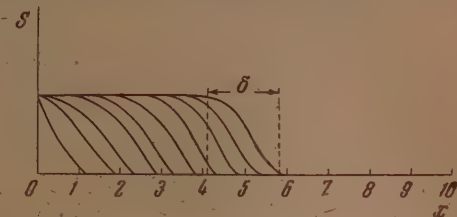


Рис. 4. Динамические кривые распределения меченого иона натрия в колонке Н-обменной КУ-2

На рис. 5 представлен график движения  $x = f(V)$  переднего края фронта иона меченого натрия в колонке Н-обменной КУ-2. Подсчитанная на основании этого графика скорость движения стационарного фронта равна  $\sim 0,5$  см/мл.

Скорость движения стационарного фронта может быть определена теоретическим путем по формуле (20). Для этого нужно знать величину ионного отношения и среднее свободное сечение колонки. Величина ионного отношения для данного опыта уже указывалась — она равна 0,08.

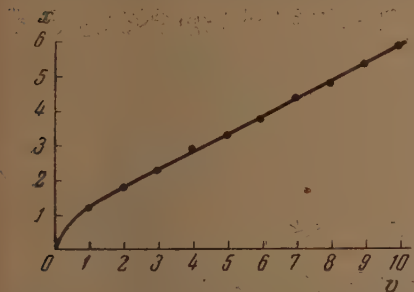


Рис. 5. График движения переднего края фронта меченого иона натрия в колонке Н-обменной КУ-2

Для определения свободного сечения колонки мы предположили, что для таких набухающих гидрофильных высокомолекулярных сорбентов, какими являются синтетические смолы, объем пор колонки, определяющий среднее свободное сечение фильтрации раствора, складывается не только из наличия пространств между зернами сорбента, но также из наличия внутренних пор зерен сорбента. Иначе говоря, раствор должен фильтроваться также и сквозь зерна сорбента. Исходя из этой предпосылки, объем пор колонки был определен как разность между полным объемом колонки сорбента и истинным объемом сорбента. Приводим полный расчет.

Вес сухого сорбента, взятого для опыта, равен 2 г. В набухшем состоянии сорбент в колонке занял объем 4,24 мл при высоте слоя в 18 см. Истинный удельный вес смолы КУ-2 равен 1,33 г/мл. Поэтому истинный объем взятой смолы равен  $2/1,33 = 1,5$  мл. Объем пор колонки равен  $4,24 - 1,50 = 2,74$  мл. Искомое свободное сечение колонки  $Q = 2,74/18 = 0,15$  см<sup>2</sup>.

Подсчитаем теперь скорость движения стационарного фронта по формуле (20)

$$\frac{x}{v} = \frac{1}{Q} \frac{h}{1+h} = \frac{0,08}{0,15(1+0,08)} = 0,49 \text{ см/мл.}$$



Таким образом можно считать, что наше предположение о механизме фильтрации раствора сквозь колонку синтетической ионообменной смолы оказалось правильным. При этом предположении получается полное совпадение теоретической и экспериментальной скорости движения стационарного фронта.

Большой интерес представляет экспериментальная оценка величины коэффициента скорости сорбции  $\beta$  и динамического коэффициента  $u/\beta$ . Для определения этих коэффициентов воспользуемся формулой (29). Необходимые для расчета данные таковы:  $k = 0,7$ ;  $h = 0,08$ ;  $u = 4,0$  см/мин;  $\delta = 1,7$  см;  $S_i/S_0 = 0,05$ . Сперва рассчитаем динамический коэффициент  $u/\beta$ . Имеем

$$\frac{u}{\beta} = \frac{1-k}{1+k} (1+h) \delta \frac{1}{\ln \frac{S_0 - S_i}{S_i}} = \frac{1-0,7}{1+0,7} (1+0,08) 1,7 \frac{1}{\ln 19} = 0,11 \text{ см.} \quad (30)$$

Теперь получим интересующую нас величину коэффициента скорости сорбции:

$$\beta = \frac{4,0}{0,11 \cdot 60} = 0,61 \text{ сек}^{-1}.$$

Аналогичный результат получился и в других опытах. Так, например, при исследовании динамики обмена меченого иона калия (применялся изотоп  $K^{42}$ ) на колонке Н-обменной КУ-2 были получены следующие исходные данные:  $k = 0,5$ ;  $h = 0,018$ ;  $u = 4,0$  см/мин;  $\delta = 1$  см;  $S_i/S_0 = 0,05$ . Подсчитанные по этим данным  $u/\beta$  и  $\beta$  получились равными 0,11 см и 0,61 сек<sup>-1</sup> соответственно. В опыте с меченым рубидием (применялся изотоп  $Rb^{86}$ ) исходные данные были таковы:  $k = 0,4$ ;  $h = 0,018$ ;  $u = 4,0$  см/мин;  $\delta = 0,7$  см;  $S_i/S_0 = 0,05$ . Получены следующие значения:  $u/\beta = 0,10$  см  $\beta = 0,67$  сек<sup>-1</sup>. Таким образом величина коэффициента скорости сорбции при ионном обмене на катионообменной смоле КУ-2 имеет порядок 0,6—0,7 сек<sup>-1</sup>. Представляет интерес обсудить полученное значение коэффициента скорости сорбции.

Приведем теоретическую оценку коэффициентов скорости внешней и внутренней диффузии ионов при сорбции в условиях наших опытов. Согласно Я. М. Биксону [12], коэффициент скорости внешней диффузии может быть приближенно оценен для диффузии в жидкостях в ламинарной области ( $Re \leq 10$ ) по следующей формуле:

$$\beta^* = 68,2 \cdot B \frac{\Delta}{\delta} \frac{D}{d^2}, \quad (31)$$

где  $B$  — множитель, зависящий от порозности колонки,  $\Delta$  — гравиметрический удельный вес,  $\delta$  — кажущийся удельный вес,  $D$  — коэффициент диффузии,  $d$  — диаметр частиц сорбента. Величина множителя  $B$  может быть определена по графику, приведенному в работе Я. М. Биксона [12]. Порозность колонки равна примерно 33%. Поэтому значение множителя  $B$ , определяемое по графику, равно примерно 0,3. Удельные веса  $\Delta = 0,47$  г/мл и  $\delta = 0,70$  г/мл. Коэффициент диффузии примем по порядку величины равным  $10^{-5}$  см<sup>2</sup>/сек. Если предположить, что процесс внешней диффузии совершается по направлению к внешней поверхности зерен смолы, то величина диаметра частиц сорбента должна быть равна среднему диаметру набухших зерен смолы. В наших опытах этот диаметр равен примерно 0,03 см.

Подставляя все принятые величины в формулу (31), получим

$$\beta^* = \frac{68,2 \cdot 0,3 \cdot 0,47 \cdot 10^{-5}}{0,7 \cdot 9 \cdot 10^{-4}} = 0,15 \text{ сек}^{-1}.$$

Для оценки константы скорости внутренней диффузии можно использовать соотношение, полученное М. М. Дубининым и К. В. Чмутовым [24] и видоизмененное Я. М. Биксоном [12]:

$$\beta^{**} = 2\pi^2 \frac{\rho - \delta}{\rho} \frac{D}{d^2}, \quad (32)$$

где  $\rho$  — истинный удельный вес,  $\delta$  — кажущийся удельный вес,  $D$  — коэффициент диффузии ионов в жидкости,  $d$  — диаметр зерен сорбента. Предположим, как это обычно делается, что процесс внутренней диффузии совершается от внешней поверхности зерна сорбента в глубь зерна. Тогда опять мы примем, что диаметр зерна  $d = 0,03$  см. Для других величин примем следующие значения:  $\rho = 1,33$  г/мл,  $\delta = 0,7$  г/мл;  $D = 10^{-5}$  см<sup>2</sup>/сек. Тогда получим

$$\beta^{**} = \frac{2 \cdot 3,14^2 (1,33 - 0,7) \cdot 10^{-5}}{1,33 \cdot 9 \cdot 10^{-4}} = 0,10 \text{ сек}^{-2}.$$

Определение константы скорости диффузии из сорбционных опытов приводит к определению некоторой эффективной константы скорости  $\beta$ , зависящей от констант скорости внешней и внутренней диффузии. Связь между этими константами выражается следующим соотношением:

$$\frac{1}{\beta} = \frac{1}{\beta^*} + \frac{1}{\beta^{**}}. \quad (33)$$

Согласно этой формуле этот эффективный коэффициент при соблюдении принятых предположений о механизме сорбционного процесса должен был бы быть равен

$$\beta = \frac{\beta^* \beta^{**}}{\beta^* + \beta^{**}} = \frac{0,15 \cdot 0,1}{0,15 + 0,1} = 0,06 \text{ сек}^{-1}.$$

Однако экспериментальное значение константы сорбции ( $0,6-0,7$  сек.<sup>-1</sup>) почти на порядок больше этой величины. Это указывает на то, что на ионообменных смолах имеет место несколько иной механизм кинетики сорбции, чем на таких пористых сорбентах, как, например, углях и силикагелях. Об этом говорят также указанные выше данные о величине среднего свободного сечения колонки. Остается предположить, что ионы вместе с фильтрующимися растворителем проходят в потоке сквозь зерна сорбента, и путь их диффузии из потока к месту сорбции значительно меньше диаметра зерна  $d$ , входящего в формулы (31) и (32).

Вполне возможно, что именно этот механизм сорбционного процесса, обусловленный спецификой структуры синтетических смол, обеспечивает такие высокие значения константы сорбции, которые мы получили в эксперименте.

### ВЫВОДЫ

1. На основе решения дифференциальных уравнений баланса дан теоретический анализ динамики и кинетики ионного обмена при константе обмена  $k_{12} < 1$ .
2. Показано, что при  $k_{12} < 1$  образуется стационарный фронт, скорость движения которого определяется формулой (20).
3. Дан вывод формулы ширины стационарного фронта при  $k_{12} < 1$  (29).
4. При помощи радиохроматографического метода проведена экспериментальная проверка теоретических результатов. Исследована динамика и кинетика сорбции ионов  $\text{Na}^+$ ,  $\text{K}^+$  и  $\text{Rb}^+$  на Н-обменной смоле КУ-2.
5. Дана экспериментальная оценка константы скорости сорбции ука-

занных ионов на смоле КУ-2. Константа скорости сорбции  $\beta$  имеет порядок 0,6—0,7 сек.<sup>-1</sup>.

6. На основе полученных экспериментальных данных сделано предположение о возможности фильтрации ионов вместе с потоком растворителя сквозь зерна набухающей смолы.

Сельскохозяйственная академия  
им. К. А. Тимирязева  
Москва

Поступила  
11.III. 1955

#### ЛИТЕРАТУРА

1. J. N. Wilson, Journ. Amer. Chem. Soc., 62, 1583, 1940.
2. D. De Vault, Journ. Amer. Chem. Soc., 65, 532, 1943.
3. J. Weiss, Journ. Chem. Soc., 145, 297, 1943.
4. A. C. Offord, J. Weiss, Nature, 155, 725, 1945.
5. E. Glücskauf, Proc. Roy. Soc., 156, 205, 1945.
6. I. E. Walter, Journ. Chem. Phys., 13, 229, 332, 1945.
7. E. Glücskauf, Proc. Roy. Soc., 186, 35, 1946.
8. «Хроматография», Сборник статей № 1, ИИЛ, 1949, см. статью Г. Томаса.
9. А. А. Жуховицкий, Я. Л. Забежинский, А. Н. Тихонов, Журн. физ. химии, 19, 253, 1945; 20, 1113, 1946; 23, 192, 1949.
10. О. М. Тодес, Журн. прикл. химии, 18, 591, 1945.
11. О. М. Тодес, Я. М. Биксон, ДАН, 75, 727, 1950.
12. Я. М. Биксон, Диссертация, М. Ин-т физ. химии, 1950.
13. С. Е. Бреслер, ДАН, 90, 205, 1953; 97, 699, 1954.
14. A. J. P. Martin, R. L. M. Syngé, Biochem. Journ., 35, 1358, 1941.
15. S. W. Mayer, E. R. Tompkins, Journ. Amer. Chem. Soc., 69, 2866, 1947.
16. «Ионный обмен», Сборник статей, ИИЛ, 1951, см. статью Дж. Шуберта.
17. Е. Н. Гапон, Т. Б. Гапон, Журн. прикл. химии, 21, 937, 1948.
18. Е. Н. Гапон, Т. Б. Гапон, Журн. физ. химии, 22, 859, 1948; 22, 979, 1948.
19. В. В. Рачинский, ДАН, 88, 701, 883, 1953.
20. В. В. Рачинский, Изв. ТСХА, 2(3), 193, 1953.
21. В. В. Рачинский, Журн. прикл. химии, 27, 831, 1954.
22. Н. А. Шилов, Л. К. Ленин, С. А. Вознесенский, Журн. Русск. хим. об-ва, 61, 1107, 1929.
23. «Хроматографический метод разделения ионов», Сборник статей, ИИЛ, 1949.
24. М. М. Дубинин, К. В. Чмутов, Физико-химические основы противогазового дела, Изд-во ВАХЗ, Москва, 1939.
25. Д. Д. Иваненко, В. В. Рачинский, Т. Б. Гапон и Е. Н. Гапон, ДАН, 60, 1189, 1948.
26. Е. Н. Гапон, Д. Д. Иваненко, В. В. Рачинский, ДАН, 95, 567, 1954.
27. В. В. Рачинский, Изв. ТСХА, 2(6), 219, 1954.



## СВОЙСТВА МЕТАЛЛИЧЕСКИХ РАСТВОРОВ

## V. О ВЛИЯНИИ ЦИНКА, АЛЮМИНИЯ, КАДМИЯ, МАРГАНЦА И ВИСМУТА НА СВОЙСТВА ЖИДКОГО И ТВЕРДОГО ОЛОВА

Н. Л. Покровский и М. Саидов

Уже сравнительно давно было высказано предположение [1, 2] о том, что должна существовать связь между поверхностными свойствами растворов на границе жидкость — пар и на границе жидкость — твердый кристалл. Впервые она была экспериментально установлена В. К. Семенченко и Л. П. Шихобаловой на солях [3]. Они выяснили, что активные примеси (неорганические соли, содержащие в качестве катиона натрий или калий), понижая поверхностное натяжение солевого расплава, оказывали заметное влияние на величину дисперсности при его кристаллизации. Для металлов подобные результаты были получены Н. Л. Покровским и Н. Д. Галаниной при исследовании системы олово — натрий [4]. Интересные результаты, с этой точки зрения, были получены В. И. Даниловым и Д. С. Каменецкой [5], которые, изучая влияние малых добавок калия на зарождение центров кристаллизации в переохлажденной ртути, вычислили поверхностное натяжение на границе жидкая — твердая ртуть; при этом было установлено, что оно резко падает с добавкой калия. Точно так же ведет себя калий, по нашим данным [6], на границе жидкая ртуть — вакуум (рис. 1).

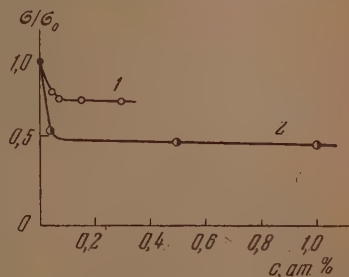


Рис. 1. 1 — Концентрационная зависимость ( $\sigma/\sigma_0$ ) жидкость — вакуум для ртути с добавками калия по данным Семенченко и Покровского, 2 — концентрационная зависимость ( $\sigma/\sigma_0$ ) кристалл — жидкость по данным Данилова и Каменецкой

Из представлений, развиваемых В. К. Семенченко [1, 2], следует, что такого рода связи должны существовать не только при переходе из жидкого состояния в твердое, но и при фазовых переходах, наблюдаемых в твердом состоянии. На этом основании была сделана попытка [7] установить такого рода связи на примере полиморфного превращения  $\beta\text{-Sn} \leftrightarrow \alpha\text{-Sn}$ , которое в сильной степени зависит от примесей. Из литературных данных, например, известно, что примеси Bi, Sb, Pb, Cd, Ag весьма эффективно замедляют этот процесс, а примеси Zn, Al, Mn, Co, Fe его ускоряют [8—12]. Согласно правилу обобщенных моментов В. К. Семенченко [2] действие примесей первой группы следует связать с их поверхностно-активными свойствами; они проявляются в том, что ниже критической температуры  $13,2^\circ$  эти примеси препятствуют образованию центров кристаллизации новой, более стабильной  $\alpha$ -фазы. Металлы же второй группы должны способствовать образованию центров кристаллизации  $\alpha$ -фазы и, таким образом, ускорять  $\beta \rightarrow \alpha$  переход.

Впервые экспериментальное подтверждение этого положения было получено в работе [7], посвященной исследованию поверхностных свойств

\* Однако до сих пор во многих руководствах [13, 14], опубликованных в самое последнее время, ошибочно указывается критическая температура  $\beta \rightarrow \alpha$  перехода  $18^\circ$ .

висмута и алюминия. Выяснилось, что висмут поверхностно-активен, а алюминий инактивен на жидком олове. Соответственно этим свойствам и проявляется, как было указано, их действие на  $\beta \rightarrow \alpha$  переход. В задачу настоящей работы входит дальнейшее изучение поверхностных свойств примесей (Zn, Cd, Mn), влияющих на полиморфное превращение  $\beta\text{-Sn} \rightarrow \alpha\text{-Sn}$ .

Для измерения поверхностного натяжения оловянных растворов нами был использован метод максимального давления в капле. При этом методе давление, необходимое для образования (в вакууме или газовой среде) металлических капель на горизонтальном срезе капилляра (направленного вверх), создается столбом металла, поверхностное натяжение которого исследуется. Для вычисления поверхностного натяжения пользуются формулой:

$$\sigma = 0,5Hr\rho g,$$

где  $\sigma$  — поверхностное натяжение,  $H$  — высота металлического столба, измеренная в момент отрыва капли с кончика капилляра,  $r$  — радиус капилляра,  $\rho$  — плотность жидкого металла,  $g$  — ускорение силы тяжести. То обстоятельство, что при вычислении  $\sigma$  необходимо учитывать плотность жидкого металла, представляет собой существенное затруднение. Особенно это касается тех случаев, когда изучается поверхностное натяжение металлических растворов в широкой области концентраций и температур. На справочную литературу в этом отношении рассчитывать не приходится, так как подобные данные в ней почти отсутствуют. Вычисление плотностей металлических растворов аналитическим путем в силу сложных зависимостей плотности от состава и температуры крайне ненадежно. Нам удалось преодолеть эту трудность, разработав конструкцию такого прибора, в котором, соблюдая определенную последовательность, можно было измерять и поверхностное натяжение, и плотность жидких металлов.

Рис. 2. Прибор\* для измерения поверхностного натяжения и плотности жидких металлов в вакууме

5·10<sup>-6</sup> мм рт. ст.), расплавленный металл, фильтруясь через капилляр, стекал в приемник А. В момент измерений в А над поверхностью жидкого металла создавалось при помощи водорода\* давление, достаточное для того, чтобы поднять в приборе исследуемый металл на определенную высоту. При этом жидкий металл полностью заполнял сначала нижнюю часть прибора; затем в известный момент поплавковый клапан В закрывал входное отверстие В, и тогда металл при своем дальнейшем подъеме заполнял трубку с капилляром К и манометрическую трубку С. Когда металл достигал кончика капилляра К, то на его срезе начинала образовываться капля металла, которая по достижении критического размера падала; именно в этот момент измерялась высота столба жидкого металла в С, что представляло собой в опыте наиболее ответственную операцию. Поправкой на капиллярную депрессию можно было пренебречь, так как диаметр С составлял не менее 25—30 мм. Расположение манометрической трубки С и капилляра К по одной вертикальной линии позволяло одному наблюдателю, с необходимой точностью, выполнять эти измерения. После того как была определена высота столба жидкого металла, приемник А соединялся с вакуумной установкой, давление выравнивалось, и весь металл полностью возвращался в А. Каждое определение поверхностного натяжения было средним из 5—7 таких отдельных измерений.

Скорость формирования капли была 8—10 мин., что исключало влияние времени на получаемые результаты и вместе с тем позволяло надежно измерять высоту столба жидкого металла в момент отрыва капли с кончика капилляра. Заметим, что в В, где происходило образование капель, и в манометрической трубке С во время опыта поддерживался вакуум порядка (1·10<sup>-5</sup>—5·10<sup>-6</sup> мм рт. ст.)

В нашем приборе можно было проводить также измерения плотности жидких металлов. Для этой цели прибор имел цилиндрическое расширение D, расположенное

\* Выбор газа зависит исключительно от исследуемого объекта, и водород в случае необходимости может быть заменен одним из инертных газов. В нашей работе применение водорода вполне оправдано, так как он не растворяется ни в твердом, ни в жидком олове вплоть до 800° [15].

по одной вертикальной оси над приемником *A*. Во время опыта, создавая в *A* при помощи водорода определенное давление, добивались, чтобы жидкий металл поднялся на высоту, соответствующую примерно середине цилиндрического расширения *D*; установившуюся разность уровней жидкого металла измеряли при помощи катетометра; давление водорода определяли по манометру, заполненному жидкостью с известной плотностью; из этих данных не представляло труда вычислить плотность исследуемого металла.

Точность методик и. Измерения высоты столбов жидкого металла (достигавших 50—60 мм) как при определении поверхностного натяжения, так и при определении плотности, производились при помощи катетометра с точностью  $\pm 0,05$  мм. Точность в определении плотности была 0,2%. Диаметры капилляров (0,5—0,6 мм), применяемых в приборах, измерялись под микроскопом с точностью 0,5%. Таким образом наибольшая ошибка в определении поверхностного натяжения была связана с измерениями диаметров капилляров. В опытах, когда пользовались приборами с различными капиллярами, точность наших измерений была около 1%; если опыты проводились в приборе с одним и тем же капилляром, то тогда ошибка не превышала 0,25%.

Приготовление металлических растворов олово — цинк, олово — кадмий, олово — марганец проводилось в вакууме ( $1 \cdot 10^{-4}$ — $5 \cdot 10^{-5}$  мм рт. ст.) в ампулах из стекла (рис. 3). Для получения металлических растворов с равномерной концентрацией они длительное время размещивались в ампулах, отпаянных под вакуумом; после этого ампула вместе с термостатом переворачивалась, и жидкий металл, фильтруясь через капилляр *K*, стекал в приемник *L*, который имел форму цилиндрической трубки с заданными размерами; таким образом, закристаллизовавшиеся образцы сплавов, используемых для опытов, представляли собой слитки цилиндрической формы необходимого размера.

Исходными материалами для получения сплавов служили электролитический марганец, цинк (монокристалл) и кадмий чистоты не менее 99,9%; о применявшемся олове будет сказано ниже.

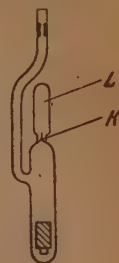


Рис. 3. Стеклянная ампула для приготовления металлических растворов в вакууме

Измерения поверхностного натяжения и плотности олова. Для опытов мы располагали обычным техническим оловом марки «02», содержавшим различные примеси (табл. 1). Однако олово не содержало тех примесей, действие которых на его поверхностное натяжение мы собирались изучать. Предварительные измерения поверхностного натяжения олова показали, что полученные результаты находятся в удовлетворительном согласии с нашими прежними данными [4, 7] и данными других авторов [16] (рис. 4). Тем не менее это нас не удовлетворило, и нами были приняты меры к очистке олова от примесей. Выбранная для этой цели методика [17] заключалась в длительном прогревании олова под вакуумом при  $1000^\circ$ . В результате, как показал химический анализ (табл. 1), сумма примесей, составлявшая для технического оло-

Таблица 1

Содержание примесей в техническом олове марки «02» до и после его прогревания при  $1000^\circ$  в течение 11 час.

Наименование примесей	Содержание примесей до прогревания олова, вес. %	Содержание примесей после прогревания олова, вес. %
Мышьяк . . . . .	0,02	0,005
Свинец . . . . .	0,25	0,0001
Висмут . . . . .	0,05	0,0003
Сурьма . . . . .	0,05	0,011
Сера . . . . .	0,02	менее 0,0005
Железо . . . . .	0,02	0,02
Медь . . . . .	0,03	0,03
Сумма примесей . . . . .	0,44 вес. %	0,0669 вес. %



ва 0,44%, уменьшилась более чем в шесть раз, составив всего лишь 0,0669%. Кроме химического анализа полнота удаления примесей из олова проводилась нами путем периодических измерений его поверхностного натяжения (рис. 4). Политерма показывает, что в результате прогревания олова его поверхностное натяжение значительно возросло и по истечении

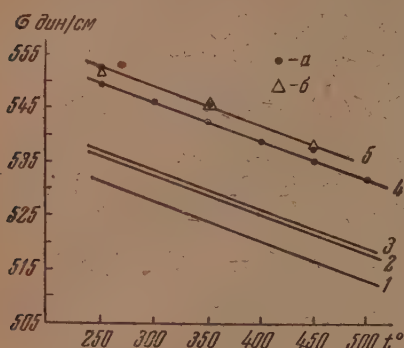


Рис. 4. Зависимость поверхностного натяжения олова от температуры по данным: 1 — Хогнеса; 2 — Покровского и Саидова; 3 — Покровского и Галаниной; 4, 5 — по нашим данным для олова, прогретого в вакууме при 1000°: а — в течение 11 час., б — 18 час.

$$\sigma = 549 - 0,072(t^\circ - 250^\circ),$$

которое вполне удовлетворительно в пределах указанной точности показывает зависимость поверхностного натяжения олова от температуры (см. табл. 2 и рис. 4).

Таблица 2

Значения поверхностного натяжения очищенного олова, измеренного в приборе с одним и тем же капилляром ( $r = 0,0278$  см)

Поверхностное натяжение олова в дин/см по данным отдельных опытов					
250°	300°	350°	400°	450°	500°
549,6	546	542,2	539,0	535,4	531,6
549,1	546,4	542,7	538,5	534,9	532,2
549,1	546,4	542,7	538,5	535,4	532,2
549,6	—	—	—	—	531,6
549,6	—	—	—	—	—
Среднее 549,5	546,3	542,5	538,6	535,2	531,9

Результаты измерения плотности жидкого олова представлены на рис. 4. Зависимость плотности от температуры вплоть до 550° линейна. Политерма 1 относится к техническому олову марки «02»; политерма 2 получена с тем же оловом, но очищенным нашим способом. Некоторое понижение плотности олова связано с удалением из него в первую очередь свинца и других металлических примесей. Обработка полученных данных

привела к уравнению:

$$\rho = 6,98 - 0,00074(t^\circ - 250^\circ),$$

которое вполне удовлетворительно, в пределах указанной точности передает зависимость плотности жидкого олова от температуры.

Измерения поверхностного натяжения и плотности системы олово—цинк были проведены на восьми сплавах с содержанием цинка от 1,68 до 22,13 ат. %

при температуре 250°. Полученные результаты представлены на рис. 6 и в табл. 3. По нашим данным цинк оказался инактивным на поверхности жидкого олова. Исключая самый начальный участок изотермы, поверхностное натяжение олова несколько растет по прямой с увеличением концентрации цинка. Как показал В. К. Семенов, такой характер влияния на поверхностное натяжение растворителя является типичным для инактивных примесей [3, 19].

Результаты измерения плотности системы олово — цинк в зависимости от состава представлены уравнением:

$$\rho = 6,98 - 0,0016 c_{Zn}.$$

Из рис. 6 видно, что экспериментальные точки хорошо совпадают с прямой, построенной по этому уравнению. Обнаруженное падение плотности вполне закономерно, так как плотность цинка в твердом состоянии меньше плотности твердого олова почти на 3%.

Таблица 3

Поверхностное натяжение и плотность сплавов: олово — цинк, олово — кадмий при 250°

Сплав	c ат. %	$\rho$ г/см <sup>3</sup>	$\sigma$ дин/см	$\Delta\sigma = \sigma - \sigma_0$ дин/см	Сплав	c ат. %	$\rho$ г/см <sup>3</sup>	$\sigma$ дин/см	$\Delta\sigma = \sigma - \sigma_0$ дин/см
Олово — цинк	Чистое олово	6,98	552,5	0	Олово — кадмий	Чистое олово	6,98	549,5	0
	1,68	6,98	554,2	+ 1,7		1,97	7,00	548,0	— 1,5
	5,17	6,98	556,0	+ 3,5		5,12	7,02	548,0	— 1,5
	13,68	6,96	558,5	+ 6		8,39	7,04	549,5	+ 0
	15,23	6,96	559,0	+ 6,5		11,77	7,08	551,1	+ 1,6
	16,77	6,96	559,5	+ 7		15,24	7,10	552,0	+ 2,5
	19,50	6,95	560,5	+ 8		18,50	7,13	552,7	+ 3,2
	22,13	6,94	561,5	+ 9		21,66	7,16	553,5	+ 4

Из данных по поверхностному натяжению для системы олово — цинк следует один, как нам кажется, интересный вывод, правда, не имеющий прямого отношения к изучаемому нами вопросу. Существует мнение, что для сплавов эвтектического состава на кривых  $\sigma = f(c)$  должна существовать особая точка [20] или минимум [21, 22]; для системы олово—цинк эвтектический состав соответствует концентрации цинка 15,23 ат. %. Тщательное изучение поверхностного натяжения сплавов этого состава не обнаружило каких-либо особых точек (рис. 6).

Измерения поверхностного натяжения и плотности системы олово — кадмий были проведены на семи сплавах с содержанием кадмия от 1,97 до 21,66 ат. % при 250°. Полученные результаты представлены на рис. 6 и в табл. 3. По нашим данным кадмий также является инактивным на поверхности жидкого олова. Правда, в начале изотермы (рис. 6) наблюдается небольшое падение поверхностного натяжения олова, а затем его регулярный рост с увеличением концентрации кадмия. Возможно, что

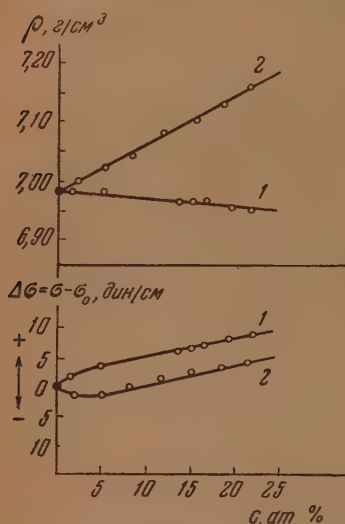


Рис. 6. Поверхностное натяжение и плотность растворов: 1 — олово — цинк и 2 — олово — кадмий в зависимости от состава при температуре 250°

кадмий при очень малых концентрациях обладает небольшой активностью на жидком олове. Во всяком случае этот вопрос остался до конца невыясненным. Плотность системы олово — кадмий в зависимости от состава меняется линейно, следуя уравнению:

$$\rho = 6,98 + 0,0085 c_{\text{Cd}}$$

Экспериментальные точки хорошо ложатся на прямую, построенную по этому уравнению (рис. 6), значительное увеличение плотности сплава объясняется тем, что плотность кадмия в твердом состоянии больше, чем у олова, на 19%.

Измерения поверхностного натяжения системы олово — марганец было затруднено тем, что сплавы с содержанием марганца более 5 ат. % имеют температуру плавления выше 500°; поэтому их исследование в приборах из стекла практически становится невозможным. Нами было изучено всего лишь четыре сплава с содержанием марганца от 1,05 до 4,53 ат. % при температурах 400, 450 и 500°.

В опытах с марганцем не было необходимости в измерениях плотности, так как ее значения для жидкого олова и растворов олово — марганец оказались в этой области концентраций практически совпадающими; поэтому при вычислении поверхностного натяжения растворов олово — марганец, мы пользовались соответствующими значениями плотности жидкого олова. Наши результаты для этой системы представлены в табл. 4 и на рис. 7. Оказывается, марганец также является инактивным на жидком олове. Правда, его влияние на поверхностное натяжение жидкого олова, по сравнению с цинком, значительно меньше.

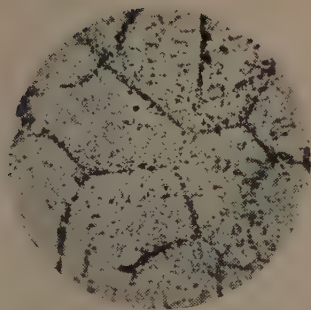
Таблица 4

Поверхностное натяжение  $\sigma$  в дин/см сплавов олово — марганец

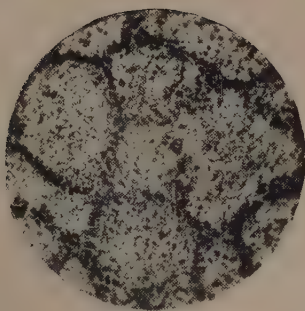
$t^\circ$	Чистое олово	Концентрация марганца, ат. %				$t^\circ$	Чистое олово	Концентрация марганца, ат. %			
		1,06	1,99	2,22	4,53			1,06	1,99	2,22	4,53
250	552,5	—	—	—	—	400	542,5	542,4	543,6	544	—
300	549,0	—	—	—	—	450	537,5	538,4	540,2	540,2	541,2
350	545	546	—	—	—	500	533,7	535,5	536,5	536,4	536,7

Из наших опытов следует, таким образом, что цинк и марганец являются инактивными примесями на поверхности жидкого олова. Именно с эти-

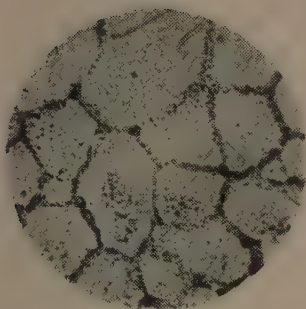




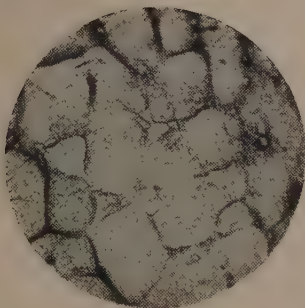
1



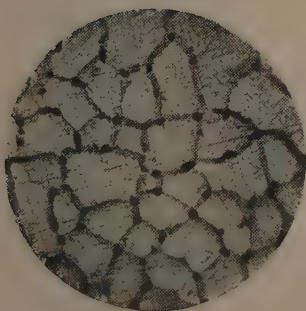
4



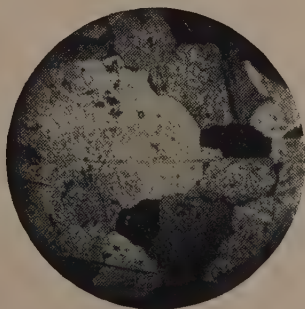
2



5



3



6

Рис. 8. 1 — олово (прогретое в вакууме); 2 — олово—висмут (0,12 ат. %); 3 — олово — висмут (0,46 ат. %); 4 — олово — алюминий (0,083 ат. %); 5 — олово — цинк (0,60 ат. %); 6 — олово—марганец (1,99 ат. %). Увеличение  $\times 22$



ми свойствами, как указывалось выше, следует связывать их ускоряющее действие на переход  $\beta\text{-Sn} \rightarrow \alpha\text{-Sn}$ , обнаруженное в исследованиях некоторых авторов [10, 11]. Что касается кадмия, то мы не пришли к определенным выводам в отношении его поверхностных свойств на жидком олове; вместе с тем имеются данные [11] о том, что он относится к примесям, задерживающим  $\beta \rightarrow \alpha$  переход. Известно, что образцы олова при  $-50^\circ$ , содержавшие 0,1 вес.% Al или 0,1 вес.% Zn, или 0,1 вес.% Mn, успевали в течение суток полностью перейти в  $\alpha$ -модификацию, тогда как в образцах олова с добавкой 1 вес.% Cd образование  $\alpha$ -модификации начиналось на 18-е сутки, а образцы олова, содержащие 1 вес.% Bi, не обнаруживали тенденции к  $\beta \rightarrow \alpha$  переходу по истечении 43 суток [10].

### ИЗУЧЕНИЕ ТВЕРДОЙ ФАЗЫ

Исследование микроструктуры и микротвердости было проведено на сплавах олово — цинк, олово — марганец, олово — алюминий и олово — висмут. Образцы для этих исследований готовились в вакууме [4] или механической полировкой при помощи специальной пасты [23].

Обращаясь к результатам металлографического анализа, укажем еще раз, что все исследованные нами примеси (кроме висмута) оказались инактивными на жидком олове. До настоящего времени изучалось [3, 4] влия-

ние поверхностно-активных примесей на структуру первичной кристаллизации. В этом отношении исследованная нами система олово — висмут является новым подтверждением предположения о том, что если примесь в жидком состоянии понижает поверхностное натяжение, то в твердом — повышает степень дисперсности. Из представленных микрофотографий (рис. 8, 1, 2, 3) видно, как увеличивается дисперсность олова с ростом в нем концентрации висмута.

Попытка установления связи между влиянием инактивных примесей на поверхностное натяжение и на структуру твердой фазы делается

впервые. Согласно представлениям В. К. Семенченко [2, 24], здесь не следует ожидать увеличения степени дисперсности. Результаты, полученные для системы олово — алюминий (рис. 8, 4), подтверждают это мнение. При исследовании микроструктуры сплавов олово — цинк (рис. 8, 5) обнаружено незначительное увеличение степени дисперсности, которое, возможно, связано с эвтектическими выделениями. Несколько иной результат получился для сплавов олово — марганец. На микрофотографиях (рис. 8, 6) ясно обнаруживается двухфазная система. Возможно, что наблюдаемое изменение структуры следует приписать отчетливо выраженной тенденции у марганца в этой области концентраций давать с оловом химические соединения [15].

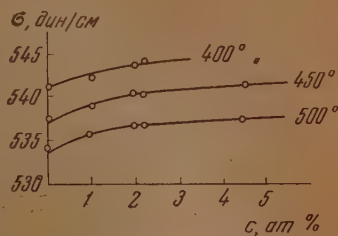


Рис. 7. Поверхностное натяжение растворов олово — марганец в зависимости от состава при температурах 400, 450 и 500°

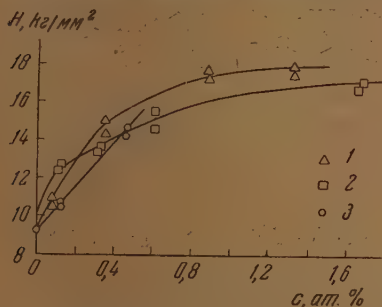


Рис. 9. Изменение микротвердости олова в зависимости от концентрации примесей: 1 — алюминия, 2 — цинка и 3 — висмута



Результаты измерения микротвердости, представленные на рис. 9, показывают, что примеси, как повышавшие поверхностное натяжение олова (алюминий, цинк), так и понижавшие его (висмут), примерно в равной степени увеличивают микротвердость олова. Такой результат не является, как нам кажется, неожиданным, так как микротвердость является объемным свойством отдельных кристаллов, если их поверхность не была искажена какими-либо деформациями. Кстати сказать, наш способ [4] приготовления образцов для исследования микротвердости исключал такого рода воздействия. Кроме наших данных, известна еще одна работа [25], в которой установлено, что калий и натрий, обладавшие активностью на жидком висмуте, повышали его микротвердость. Во всяком случае, располагая небольшим числом исследованных систем, нам трудно сделать какие-либо определенные выводы.

### ВЫВОДЫ

1. Разработана конструкция стеклянного прибора для измерения в вакууме поверхностного натяжения и плотности жидких металлов.

2. Измерено в интервале температур (250—550°) поверхностное натяжение и плотность технического олова марки «02», очищенного от примесей прогреванием в вакууме при 1000°.

3. Измерено поверхностное натяжение жидких металлических растворов олово — цинк (1,68—22,13 ат. %), олово — кадмий (1,97—21,66 ат. %) при температуре 250°; олово — марганец (1,05—4,53 ат. %) при температурах 400, 450 и 500°. Кроме того, определены при температуре 250° плотность металлических растворов: олово — цинк (1,58—22,13 ат. %) и олово — кадмий (1,97—21,66 ат. %). Установлено, что цинк и марганец являются инактивными на жидком олове, т. е. примесями, повышающими его поверхностное натяжение.

4. Подтверждена точка зрения В. К. Семенченко о том, что наблюдаемое в ряде исследований тормозящее действие цинка и марганца на переход:  $\beta\text{-Sn} \leftrightarrow \alpha\text{-Sn}$  связано с их инактивными свойствами.

5. Металлографический анализ оловянных сплавов показал, что инактивные примеси (цинк, алюминий) существенно не влияют на степень дисперсности структуры первичной кристаллизации; наоборот, активные примеси (висмут) ее увеличивают.

Московский государственный университет  
им. М. В. Ломоносова

Поступила  
8.III.1955

### ЛИТЕРАТУРА

1. В. К. Семенченко, Журн. физ. химии, 6, 285, 1932.
2. В. К. Семенченко, Модифицирование чугуна, сборник I, ответ. ред. Е. А. Чудаков, Изд-во АН СССР, М.—Л., 1942.
3. В. К. Семенченко, Л. П. Шихобалова, Журн. физ. химии, 21, 613, 707, 1387, 1947.
4. Н. Л. Покровский, Н. Д. Галанина, Журн. физ. химии, 23, 224, 1949.
5. В. И. Данилов, Д. С. Каменецакая, ДАН, 68, 677, 1949.
6. В. К. Семенченко, Б. П. Бернинг, Н. Л. Покровский, Журн. физ. химии, 8, 364, 1936.
7. В. К. Семенченко, Н. Л. Покровский, В. Б. Лазарев, ДАН, 89, 102, 1953.
8. G. Tammann, Zs. f. Metallkunde, 24, 1954, 1932.
9. W. D. Forgeng, Metals a. Alloys, 6, 87, 1935.
10. E. Cohen a. A. Lieshout, Proc. Acad. Sci. Amsterdam, 39, 352, 1174, 1936.
11. E. Cohen a. A. Lieshout, Zs. f. phys. Chem. A177, 331, 1936.
12. E. Cohen a. W. Cohen de Meester, Proc. Acad. Sci. Amsterdam, 41, 462, 1938.
13. Термические константы неорганических веществ под ред. А. Ф. Капустинского, Изд-во АН СССР, М.—Л., 1949, стр. 127.
14. Б. Ф. Ормонт, Структура неорганических веществ, Гостехиздат, М.—Л., 1950, стр. 26, 328.

15. М. Хансен, Структура бинарных сплавов, Металлургиздат, М.—Л., 1941.
  16. J. Hogness, Journ. Amer. Chem. Soc., 43, 1621, 1921.
  17. Price, Nature, 169, 792, 1952.
  18. Coffmann, Papp, Ind. Eng. Chem., 49, 1308, 1927.
  19. В. К. Семенченко, Коллоидн. журн., 9, 125, 1945.
  20. I. Matsuyama, Sci. Rep. Tohoku Univ., 16, 555, 1927.
  21. Ю. А. Клячко, Л. Л. Кунин, ДАН, 64, 85, 1949.
  22. Л. Л. Кунин, Диссертация, М., ИОНХ АН СССР, 1951.
  23. Metall, 17/18, 523, 1952.
  24. В. К. Семенченко, Цветные металлы, 6, 92, 1936.
  25. И. П. Алтынов, ДАН, 93, 845, 1953.
-

## ВЫЧИСЛЕНИЕ ВЕЛИЧИНЫ ПОВЕРХНОСТИ ПО ДАННЫМ АДСОРБЦИИ ПАРОВ

М. И. Темкин

В ряде случаев важной характеристикой вещества является величина его удельной поверхности, т. е. поверхности, приходящейся на единицу массы. В особенности большое значение имеют определения удельной поверхности гетерогенных катализаторов.

В последние годы получили широкое распространение методы определения удельной поверхности по измерениям физической адсорбции паров. Для вычисления величины поверхности из результатов таких измерений чаще всего применяют уравнение изотермы адсорбции паров, предложенное Брунауэром, Эмметом и Теллером [1]:

$$v = \frac{v_m c p}{(p_0 - p) \left[ 1 + (c - 1) \frac{p}{p_0} \right]} \quad (1)$$

В этом уравнении  $v$  — количество адсорбированного пара (измеряемое его объемом в газообразном состоянии при нормальных условиях),  $v_m$  — значение  $v$ , отвечающее образованию мономолекулярного слоя,  $p$  — давление пара в равновесии с адсорбированным слоем,  $p_0$  — давление насыщенного пара при температуре, к которой относится изотерма,  $c$  — постоянная.

Уравнение (1) позволяет из опытных данных вычислить величину  $v_m$ , пропорциональную поверхности адсорбента. Коэффициент пропорциональности определяется толщиной мономолекулярного слоя. Так, например, принимают, что 1 см<sup>3</sup> (нормальные условия) азота, адсорбированный мономолекулярным слоем, занимает площадь 4,6 см<sup>2</sup> при —183°С и 4,4 см<sup>2</sup> при —195,8°С. Эти величины вычислены на основе предположения, что упаковка молекул на поверхности отвечает их упаковке в жидком состоянии.

Теоретический вывод уравнения (1), данный его авторами, доступен критике. Однако, поскольку это уравнение, в определенном интервале давлений, удовлетворительно передает опытные данные, оно может быть успешно использовано для вычисления величины поверхностей.

Задачу нахождения величины  $v_m$  из опытных данных обычно решают, следуя авторам уравнения (1), следующим образом. Уравнение (1) может быть представлено в форме:

$$\frac{p}{v(p_0 - p)} = \frac{1}{v_m c} + \frac{c - 1}{v_m c} \frac{p}{p_0} \quad (2)$$

Поэтому в области применимости уравнения (1) зависимость  $p/v(p_0 - p)$  от  $p/p_0$  выражается графически прямой линией. Эта прямая отсекает на оси ординат отрезок, равный  $1/v_m c$ , а ее угловой коэффициент равен  $(c - 1)/v_m c$ . Имея эти две величины, можно определить  $v_m$  и  $c$ .

Описанный способ расчета отнимает много времени — требуется вычислить величины  $p/v(p_0 - p)$  и  $p/p_0$  для различных точек изотермы, построить график и т. д. Поэтому при систематических измерениях удельной поверхности ряда образцов он неудобен.



В лаборатории химической кинетики Физико-химического института им. Л. Я. Карпова при определении удельной поверхности катализаторов по измерениям низкотемпературной адсорбции азота применяется другой, значительно более удобный и быстрый способ расчета.

Он основан на следующих соображениях. Алгебраическое преобразование уравнения (1) дает

$$v_m = v \left( 1 - \frac{p}{p_0} \right) \left( 1 + \frac{(p_0/p) - 1}{c} \right). \quad (3)$$

Согласно опытным данным по адсорбции азота, уравнение (1) применимо при относительных давлениях  $p/p_0$  от 0,05 до 0,35 ([1] стр. 216, 220). Постоянная  $c$  значительно больше единицы, так, при  $-183^\circ \text{C}$  (температура кипения  $\text{O}_2$ ) она близка к 110, а при  $-195,8^\circ \text{C}$  (температура кипения  $\text{N}_2$ ) — близка к 240.

Таким образом даже при наибольшем значении  $p/p_0$ , лежащем в области применимости изотермы (1), т. е. при  $p/p_0 = 20$ , и при  $-183^\circ \text{C}$  величина  $\frac{(p_0/p) - 1}{c}$  близка к 0,17, т. е. невелика по сравнению с единицей; при других условиях она еще значительно меньше. Отсюда следует, что для определения  $v_m$  не требуется точного знания  $c$ . Ошибка в величине  $c$  на 10% при самых неблагоприятных условиях, т. е. при  $\frac{(p_0/p) - 1}{c} = 0,17$ , привела бы к ошибке в величине  $v_m$ , а следовательно, в величине поверхности, лишь на 1,5%, что лежит за пределами точности метода.

Опыт показывает, что величина  $c$  очень мало изменяется от адсорбента к адсорбенту. Для 12 адсорбентов, включая столь разнообразные, как железный катализатор, медный катализатор, силикагель, окись хрома, были получены почти совпадающие значения величины  $E_1 - E_L$ , связанной с  $c$  уравнением:

$$c = e^{(E_1 - E_L)/RT}, \quad (4)$$

а именно  $840 \pm 70$  кал/моль ([1], стр. 217). Поэтому для цели определения поверхности можно считать постоянной  $c$  не зависящей от природы адсорбента и вычислять ее по уравнению (4) из приведенного значения  $E_1 - E_L$ . Тогда при помощи уравнения (3) непосредственно находим  $v_m$  по опытной величине  $v$ . Дальнейшее упрощение вычислений достигается за счет того, что, поскольку величины  $p_0$  и  $c$  зависят только от температуры, значения отношения  $v/v_m$  для данной температуры и различных величин  $p$  могут быть рассчитаны заранее и сведены в таблицу\*.

Приводим такие таблицы для наиболее употребительных температур, вычисленные, принимая  $E_1 - E_L = 840$  кал/моль (табл. 1 и 2). В заголовке таблиц приведены значения  $p$ , ограничивающие область приложимости изотермы (1). Содержащиеся в таблицах значения  $p$  и  $v/v_m$ , выходящие за пределы этой области, служат для интерполяции; они заключены в скобки.

Таблица 1

Адсорбция азота при  $-195,8^\circ \text{C}$  (темп. кип.  $\text{N}_2$ ),  $p_0 = 760$  мм;  $c = 240$ ;  $0,05 \cdot 760 = 38$  мм;  $0,35 \cdot 760 = 266$  мм

$p$	$v/v_m$	$p$	$v/v_m$
(30)	(0,94)	150	1,22
40	0,98	200	1,34
50	1,01	250	1,48
100	1,12	(300)	(1,64)

\* Зависимость  $v/v_m$  от  $p$  близка к линейной, что облегчает интерполяцию. Поэтому целесообразно табулировать  $v/v_m$ , а не  $v_m/v$ .

Таблица 2

Адсорбция азота при  $-182,97^{\circ}\text{C}$  (темп. кип.  $\text{O}_2$ ),  
 $p_0 = 2760$  мм;  $c = 110$ ;  $0,05 \cdot 2760 = 138$  мм;  $0,35 \cdot 2760 =$   
 $= 966$  мм

$p$	$v/v_m$	$p$	$v/v_m$
(100)	(0,83)	450	1,14
150	0,91	500	1,17
200	0,95	550	1,21
250	1,01	600	1,24
300	1,04	650	1,27
350	1,08	700	1,30
400	1,11	750	1,34

Приложимость к опытным данным изотермы (1) и принятого значения  $c$  устанавливается по постоянству величины  $v_m$ , вычисленной из нескольких значений  $v$ , относящихся к различным  $p$ .

Опыт измерения поверхностей различных катализаторов в лаборатории химической кинетики показывает, что такое постоянство  $v_m$  действительно имеет место. Величины поверхности, определенные из измерений при различных температурах, также находятся в согласии. Примером могут служить результаты, полученные при измерении поверхности образца катализатора, применяемого в промышленном процессе (табл. 3). Расчет произведен по табл. 1 и 2. Методика измерений была аналогична описанной Эмметтом [2].

Таблица 3

#### Измерения поверхности катализатора по адсорбции азота

При температуре кипения $\text{O}_2$			При температуре кипения $\text{N}_2$		
$p$	$v$ на 1 г	$v_m$ на 1 г	$p$	$v$ на 1 г	$v_m$ на 1 г
171,0	0,68	0,71	130,9	0,85	0,72
255,2	0,71	0,70	189,2	0,96	0,73
347,8	0,76	0,70	247,8	1,12	0,75
413,1	0,79	0,70			
Среднее . . . . . 0,70			Среднее . . . . . 0,73		
Удельн. пов. $0,70 \times 4,6 = 3,2$ м <sup>2</sup> /г			Удельн. пов. $0,73 \times 4,4 = 3,2$ м <sup>2</sup> /г		

#### ВЫВОДЫ

Предложен простой способ вычисления поверхности по измерениям адсорбции паров.

Он использует изотерму адсорбции Брунауэра, Эмметта и Теллера и опытный факт практической независимости от природы адсорбента отношения количества пара, адсорбирующегося при данных условиях, к количеству, отвечающему мономолекулярному слою (в области применимости указанной изотермы).

Способ испытан при определениях поверхности катализаторов по низкотемпературной адсорбции азота.

Физико-химический институт  
им. Л. Я. Карпова  
Москва

Поступила  
15.III.1955

#### ЛИТЕРАТУРА

1. С. Брунауер, Адсорбция газов и паров, т. I. ГИИЛ, М., 1948.
  2. Р. Н. Е m m e t t, Advances in Colloid Science, edit. by E. Kraemer т. I, 1942, стр. 1.
-



## ТЕРМОДИНАМИЧЕСКИЕ СВОЙСТВА ЭЛЕКТРОЛИТОВ В НЕВОДНЫХ РАСТВОРАХ

II. ИССЛЕДОВАНИЕ РАСТВОРОВ NaBr, NaI и KBr в ЭТАНОЛЕ  
II NaI в НОРМАЛЬНОМ БУТАНОЛЕ И ИЗМЕНЕНИЕ ЭНЕРГИИ  
ИОНОВ ПРИ ПЕРЕМЕНЕ РАСТВОРИТЕЛЕЙ

*Н. А. Измайлов и Е. Ф. Иванова*

Были измерены э. д. с. цепей без переноса типа



при  $24,5 \pm 0,25^\circ\text{C}$  в широких пределах концентраций: от 0,000174 до 0,2122 моляльности NaBr в этаноле; от 0,000957 до 1,819 моляльности NaI в этаноле; от 0,000220 до 0,009656 моляльности KBr в этаноле и от 0,000509 до 1,190 моляльности NaI в нормальном бутаноле.

По изменению э. д. с. цепи с ростом концентрации соли оценивалось изменение свободной энергии ионов при постоянных давлении и температуре, т. е. изменение термодинамического потенциала с изменением концентрации. По разности нормальных потенциалов одной и той же цепи в воде и спирте оценивалось изменение свободной энергии ионов при переходе от раствора с нулевой ионной силой в неводном растворителе к раствору с нулевой ионной силой в воде.

Методы измерения э. д. с., приготовления и проверки электродов, очистки солей, приготовления растворов описаны в предыдущем сообщении [1].

Этанол очищался и сушился по методике, примененной для очистки и осушки метанола [1].

Для нормального бутанола такая методика оказалась непригодной. Была разработана специальная методика очистки нормального бутанола: 1 л бутанола взбалтывался 6 час. с 25 мл 3 *N* раствора серной кислоты. Затем спирт промывался водой. К промытому спирту прибавлялся прокаленный поташ для высаливания воды. Образовавшийся водный слой каждый раз отделяли. После прекращения высаливания воды спирт сушился над прокаленным поташом, отделялся от поташа и отгонялся. Собирался дистиллат в пределах  $117,6-117,8^\circ\text{C}$ .

$$d_4^{25} = 0,7848; \text{ т. кип. } = 78,1-78,2 \text{ для } \text{C}_2\text{H}_5\text{OH};$$

$$d_4^{25} = 0,8099; \text{ т. кип. } = 117,6-117,8 \text{ для } \text{C}_4\text{H}_9\text{OH}.$$

С целью получения усредненных значений э. д. с.  $\bar{E}$  к экспериментальным значениям была применена статистическая обработка, изложенная в работе Н. П. Комаря [2]. Результаты обработки приведены в табл. 1.

Для каждой цепи был определен нормальный потенциал цепи  $E_0$  двумя способами экстраполяции на нулевую концентрацию функций:

$$1) E' = E + 0,1183 \lg m \text{ в координатах } E' - \sqrt{m} \text{ и}$$

$$2) E'' = E + 0,1183 \lg m - A \cdot 0,1183 \sqrt{m} \text{ в координатах } E'' - m.$$

Зависимости  $E' - \sqrt{m}$  и  $E'' - m$  для изучаемых растворов солей представлены на рис. 1. При экстраполяции мы принимали во внима-

Таблица 1

Э. д. с. цепей  $\text{Me}(\text{Hg}_x | \text{MeG} | \text{AgG} - \text{Ag}$  в этаноле и нормальном бутаноле и статистическая обработка результатов (обозначения:  $m$  — моляльность;  $n$  — число измерений э.д.с.;  $\bar{E}$  — среднее значение э.д.с. в вольтах;  $\sigma^2$  — дисперсия или средний квадрат отклонений. э.д.с.;  $\sigma_{\bar{E}}$  — средняя квадратичная ошибка среднего значения э.д.с.;  $\varepsilon$  — точность измерений при доверительной вероятности  $\alpha = 0,95$ )

$m$	$n$	$\bar{E}$	$\sigma^2 \cdot 10^3$	$\sigma_{\bar{E}} \cdot 10^4$	$\varepsilon \cdot 10^3$
Na(Hg) $_x$   NaBr   AgBr—Ag в этаноле					
0,000174	7	1,9784	721	11,0	2,68
	10	1,9542	695	8,8	2,01
0,000836	11	1,9422	682	8,3	1,84
0,003351	19	1,8971	392	4,7	0,99
	9	1,8609	300	6,2	1,42
0,007519	6	1,8562	1044	14,5	3,72
0,01329	14	1,8385	353	5,2	1,12
0,03054	9	1,8068	120	3,8	0,87
0,08067	6	1,7718	152	5,4	1,38
0,2122	10	1,7352	360	6,3	1,43
0,2388*		1,7348			
Na(Hg) $_x$   NaI   AgI—Ag в этаноле					
0,000956	8	1,7618	457	8,1	1,91
0,001673	6	1,7425	484	9,9	2,53
0,004780	11	1,7148	174	4,2	0,93
0,007982	10	1,6936	364	6,4	1,45
0,01449	7	1,6739	117	4,4	1,07
0,02998	9	1,6436	88	3,3	0,76
0,06092	8	1,6117	76	3,3	0,70
0,1390	9	1,5696	333	6,5	1,40
0,1707	8	1,5578	296	6,5	1,54
0,4613	9	1,4893	327	6,4	1,47
0,7938	9	1,4541	188	5,1	1,17
1,162	5	1,4235	69	2,0	1,11
1,819	6	1,3780	98	4,5	1,15
3,223*		1,3155			
K(Hg) $_x$   KBr   AgBr—Ag в этаноле					
0,000220	9	1,9438	445	7,5	1,71
0,000616	8	1,9240	1039	12,2	2,90
0,001381	10	1,9151	640	8,5	1,92
0,002806	12	1,9083	345	5,7	1,27
0,004088	18	1,8966	337	4,5	0,94
0,009656	6	1,8776	70	3,7	0,96
Na(Hg) $_x$   NaH   AgI—Ag в нормальном бутаноле					
0,000509	9	1,6914	312	6,3	1,44
0,001397	10	1,6581	128	3,7	0,85
0,003859	9	1,6124	273	5,8	1,34
0,009346	9	1,5843	150	4,4	1,00
0,01744	9	1,5561	56	2,7	0,61
0,02748	10	1,5397	199	4,7	1,06
0,05331	5	1,5161	50	3,6	1,00
0,09128	9	1,4976	139	4,3	0,98
0,1849	9	1,4763	109	5,4	1,24
0,1373	9	1,4541	188	5,3	1,22
0,5465	9	1,4200	90	3,5	0,80
1,190	5	1,3564	134	5,3	1,28
1,44*					

\* Насыщенный раствор соли в спирте. Значение э.д.с. для этого раствора рассчитывалось по формуле  $E = E_0 - 0,1183 \lg(m\gamma^*)$  пас.

ние значения э. д. с. лишь в тех растворах, для которых условия измерения э. д. с. одинаковы, т. е. в тех растворах, для которых величины отношений дисперсий  $T = \sigma_1^2 / \sigma_2^2$  меньше пограничных показателей достоверности  $T_5$  (при доверительной вероятности  $\alpha = 0,95$ ) [2].

Оба метода экстраполяции дали совпадающие значения  $E_0$  для растворов всех солей, за исключением растворов КВг в этаноле. В последнем случае лишь два наиболее концентрированных раствора ( $m = 0,009656$  и  $m = 0,004088$ ) имеют  $T < T_5$ . Остальные растворы имеют  $T > T_5$ . Мы произвели экстраполяцию  $E' - \sqrt{m}$  для растворов КВг только через две точки, для которых  $T < T_5$  (верхняя кривая 1, рис. 1, в).

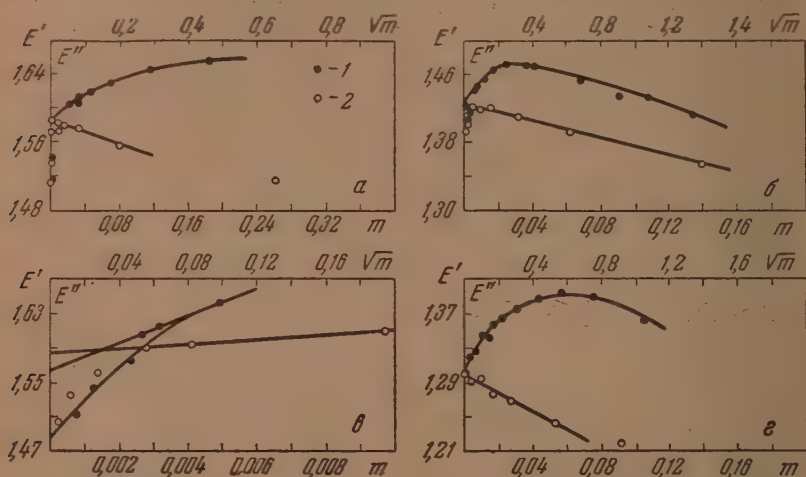


Рис. 1. Зависимость  $E' - \sqrt{m}$  и  $E'' - m$  для цепей типа  $\text{Me}(\text{Hg})_x | \text{MeG} | \text{AgG} - \text{Ag}$   
 а — NaBr в этаноле; б — NaJ в этаноле; в — КВг в этаноле; г — NaJ в нормальном  
 бутаноле. Обозначения: 1 —  $E' - \sqrt{m}$ ; 2 —  $E'' - m$

а также через все экспериментальные точки (нижняя кривая 1, рис. 1, в). Но как на графике  $E' - \sqrt{m}$ , так и на графике  $E'' - m$  (кривая 2, рис. 1, в) наблюдается такой разброс точек, что можно говорить лишь о приближенном значении  $E_0$  цепи. Разброс точек объясняется малой растворимостью КВг в этаноле, в связи с чем нам приходилось работать в области сравнительно малых концентраций, в которых велики ошибки, связанные с разложением амальгамы [1].

Значения нормальных потенциалов цепей  $E_0$  в воде, этаноле и бутаноле приведены в табл. 2.

Таблица 2

Нормальные потенциалы в воде, этаноле и нормальном бутаноле при 25°C

Цепь	Э.д.с. в вольтах		
	Вода	Этанол	н-Бутанол
$\text{K}(\text{Hg})_x   \text{KBr}   \text{AgBr} - \text{Ag}$	1,9350	от 1,5680 до 1,5820	
$\text{Na}(\text{Hg})_x   \text{NaBr}   \text{AgBr} - \text{Ag}$	1,9110	1,5860	
$\text{Na}(\text{Hg})_x   \text{NaJ}   \text{AgJ} - \text{Ag}$	1,6895	1,4230	1,3065



ПОДСЧЕТ  $\lg \gamma^*$ 

Расчет  $\lg \gamma^*$  производился по формуле

$$\lg \gamma^* = \frac{E_0 - E + 0,1183 \lg m}{0,1183}$$

Значения  $\lg \gamma^*$  для исследованных растворов солей приведены в табл. 3, за исключением величин  $\lg \gamma^*$  для KBr в этаноле, для которых расчет не был произведен вследствие отсутствия надежных данных по э. д. с. цепи из-за малой растворимости KBr в этаноле.

Таблица 3

Значение  $\lg \gamma^*$  солей при 25°C

m	Величины $\lg \gamma^*$			m	Величины $\lg \gamma^*$		
	NaBr в C <sub>2</sub> H <sub>5</sub> OH	NaJ в C <sub>2</sub> H <sub>5</sub> OH	NaJ в C <sub>4</sub> H <sub>9</sub> OH		NaBr в C <sub>2</sub> H <sub>5</sub> OH	NaJ в C <sub>2</sub> H <sub>5</sub> OH	NaJ в C <sub>4</sub> H <sub>9</sub> OH
0,01	-0,221	-0,258	-0,272	0,18	-0,568	-0,370	-0,718
0,02	-0,285	-0,317	-0,343	0,20	-0,572	-0,367	-0,731
0,04	-0,386	-0,363	-0,457	0,40		-0,280	-0,715
0,06	-0,445	-0,378	-0,528	0,60		-0,202	-0,593
0,08	-0,478	-0,385	-0,593	0,80		-0,132	-0,477
0,10	-0,503	-0,391	-0,620	1,00		-0,077	-0,362
0,12	-0,529	-0,387	-0,657	1,50		+0,054	
0,14	-0,537	-0,381	-0,680	2,00		+0,169	
0,16	-0,352	-0,376	-0,707	2,50		+0,282	

На рис. 2 приведена зависимость  $\lg \gamma^* - \sqrt{m}$  растворов NaBr и NaJ в этаноле и NaJ в н-бутаноле.

Тангенс угла наклона кривой  $\lg \gamma^* - \sqrt{m}$  для всех солей в пределах совпадает с теоретическим. Для растворов NaBr в этаноле значения  $\lg \gamma^*$  монотонно уменьшаются с ростом концентрации, а для растворов NaJ в этаноле и бутаноле кривая зависимости  $\lg \gamma^* - \sqrt{m}$  проходит через минимум. Минимум на кривых зависимости  $\lg \gamma^* - \sqrt{m}$  появляется для растворов почти всех электролитов в воде при достижении некоторой концентрации. Минимум на кривой  $\lg \gamma^* - \sqrt{m}$  для спиртовых растворов солей нами отмечен впервые. NaBr сравнительно плохо растворим в этаноле, NaJ хорошо растворим в этаноле и бутаноле.

Термодинамические свойства растворов NaJ в этаноле изучали Партингтон и Симпсон [3] путем измерения э. д. с. цепи  $\text{Ag} - \text{AgJ} | \text{NaJ} | \text{Na}(\text{Hg})_x | \text{NaJ} | \text{AgJ} - \text{Ag}$ . В табл. 4 приведены значения коэффициентов активности NaJ в этаноле по нашим данным и по данным упомянутых авторов. Мы выражали коэффициенты активности в моляльной шкале ( $\gamma^*$ ), Партингтон и Симпсон — в молярной шкале ( $\gamma$ ). Значения  $\gamma^*$  относятся к тем значениям моляльности, которые

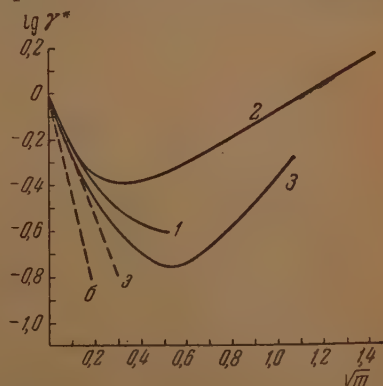


Рис. 2. Зависимость  $\lg \gamma^* - \sqrt{m}$  для растворов солей (1 — NaBr в этаноле; 2 — NaJ в этаноле; 3 — NaJ в нормальном бутаноле. Пунктирные прямые — предельный закон: а — этанол; б — бутанол)

соответствуют приведенным в табл. 4 значениям молярности. Значения  $\lg \gamma^* \text{NaJ}$ , полученные нами, достаточно хорошо совпадают с данными Партингтона и Симпсона, особенно для разбавленных растворов. Расхождение между значениями  $\lg \gamma^*$  по нашим данным и значениям  $\lg \gamma^*$  по

Таблица 4

Сравнение величин  $\lg \gamma^*$  и  $\lg \gamma^* \text{NaJ}$  в этаноле, определенных нами и другими авторами

Концентрация в молях соли на 1 л рас- твора	Коэфф. активности в этаноле	
	Данные Пар- тингтона $\lg \gamma^*$	Наши данные $\lg \gamma^*$
0,0001	-0,016	-0,020
0,0005	-0,035	-0,053
0,001	-0,050	-0,075
0,005	-0,106	-0,210
0,01	-0,143	-0,265
0,05	-0,259	-0,385
0,1	-0,322	-0,383

данным вышеупомянутых авторов в более концентрированных растворах возрастают. При этом следует учесть, что

$$\lg \gamma^* = \lg \gamma^* + \lg \left( \frac{d}{d_0} - \frac{cM_2}{1000} \right),$$

где  $M_2$  — молекулярный вес соли.

#### ПЕРВИЧНЫЙ ЭФФЕКТ СРЕДЫ

Величины нормальных потенциалов одной и той же цепи в воде  $E_0$  и в спирте  $E_0^*$  позволяют определить изменение свободной энергии ионов  $\Sigma \Delta Z$  при переносе из бесконечно разбавленного неводного раствора к бесконечно разбавленному водному раствору. Мерой этого эффекта является величина

$$\lg \gamma_0 = \frac{\Sigma \Delta Z_{\text{H}_2\text{O}} - \Sigma \Delta Z_{\text{M}}}{2,3 \nu kT}.$$

Значения  $\lg \gamma_0$  солей, рассчитанные по уравнению  $\lg \gamma_0 = (E_0 - E_0^*) / 0,1183$  (KBr, NaCl, NaBr и NaJ в метаноле [1], KBr, NaBr и NaJ в этаноле и NaJ в н-бутаноле), приведены в табл. 5.

Свободная энергия ионов в растворе является сложной функцией физических и химических свойств растворителя и растворенного вещества и изменяется с концентрацией электролита. Согласно теории Дебая и Гюккеля, полный потенциал, а следовательно, и свободная энергия иона в растворе состоят из двух слагаемых:  $\psi = \psi_1 + \psi_2$ . Первый член этого уравнения зависит только от природы растворителя и растворенного вещества и определяет так называемый первичный эффект среды  $\lg \gamma_0$ , второй член характеризует изменение взаимодействия иона с ионной атмосферой и является функцией концентрации электролита.

Рассмотрение зависимости свободной энергии ионов от концентрации электролита явится предметом следующего сообщения. В настоящем сообщении рассмотрим изменение свободной энергии ионов с изменением растворителя, т. е. первичный эффект среды  $\lg \gamma$ . Полученные значения  $\lg \gamma_0$  солей мы сравнили со значениями  $\lg \gamma_0$  тех же солей, рассчитанными из литературных данных по растворимости солей [4] по формуле [5]

Таблица 5

Значения  $\lg \gamma_0$  солей, полученные из различных независимых данных

Растворитель	Из $E_0$ и $E_0^*$ цепей		Из раство- римости	Среднее
	Me (Hg) <sub>x</sub>   MeГ   AgГ—Ag	Na   NaГ   Г <sub>2</sub> Pt		
KBr				
метаноле . . . . .	1,84	—	1,84	1,84
этанолe . . . . .	3,10— 2,98	—	3,17	3,14— 3,08
NaCl				
метаноле . . . . .	1,79	1,76	1,82	1,79
этанолe . . . . .	—	2,93	—	2,93
NaBr				
метаноле . . . . .	1,51	1,39	1,64	1,52
этанолe . . . . .	2,75	2,92	2,54	2,77
NaJ				
метаноле . . . . .	1,01	1,39	0,93	
этанолe . . . . .	2,25	2,43	1,43	
бутаноле . . . . .	3,24	—	2,33	

$$\gamma_0 = \lg \frac{(s\gamma_{\text{H}}^*)_{{\text{H}_2\text{O}}}}{(s\gamma_{\text{H}}^*)_{{\text{M}}}} \quad (s - \text{растворимость соли; } \gamma_{\text{H}}^* - \text{коэффициент активности})$$

в насыщенном растворе, определенный нами) и из нормальных потенциалов цепей без переноса типа Na | NaГ | Г<sub>2</sub>, Pt. Нормальные потенциалы таких цепей в воде, метаноле и этаноле мы вычислили по значениям нормальных потенциалов металлического натриевого и галогенных электродов, приведенных в обзоре В. А. Плесскова [6]. Результаты расчетов  $\lg \gamma_0$  солей приведены в табл. 5.

Расхождение между значениями  $\lg \gamma_0$ , рассчитанными по трем различным независимым данным, не превышает для растворов KBr 2 единицы  $\lg \gamma_0$ ; для NaCl 0,03 единицы; для NaBr 0,12—0,21 единицы. Для NaJ расхождения несколько большие — они доходят до 0,38 единицы  $\lg \gamma_0$  в метаноле, 0,79 в этаноле и 0,9 в бутаноле. Расхождения между  $\lg \gamma_0$ , полученными из различных независимых данных, не связаны с каким-либо способом определения  $\lg \gamma_0$ .

Отклонения значений  $\lg \gamma_0$ , полученных из данных по растворимости, значений  $\lg \gamma_0$ , полученных из  $E_0$  Me (Hg)<sub>x</sub> | MeГ | AgГ — Ag цепей, имеют примерно ту же величину, что и отклонения между значениями  $\gamma_0$ , полученными из Na | NaГ | Г<sub>2</sub>, Pt цепей и Me (Hg)<sub>x</sub> | MeГ | AgГ — Ag цепей. Принимая во внимание все сказанное, мы считаем возможным пользоваться в дальнейшем значениями  $\lg \gamma_0$ , которые являются среднearифметическими из всех значений  $\lg \gamma_0$  для всех солей за исключением NaJ (табл. 5).

Следует отметить, что  $\lg \gamma_0$  NaJ, полученные из данных по растворимости, имеют значения несколько меньшие, чем  $\lg \gamma_0$ , рассчитанные из данных  $E_0$  цепей. Возможно, это объясняется тем, что для подсчета  $\gamma_0$  из данных по растворимости мы пользовались значениями коэффициентов активности соли в насыщенных растворах. Последние получены экстраполяцией. Для растворов NaJ в воде нет данных по коэффициентам активности  $\gamma^*$  растворов, близких к насыщенным. Зависимость же



$\lg \gamma^* - \sqrt{m}$  и  $\gamma^* - m \text{ NaJ}$  в этой области концентрацией не линейна. Поэтому экстраполяция в этом случае менее надежна, чем в случае других солей, где известны коэффициенты активности растворов, близких к насыщенным, в воде и в других растворителях. Поэтому для растворов  $\text{NaJ}$  мы принимали во внимание главным образом значения  $\lg \gamma_0$ , полученные по данным  $E_0$  цепей без переноса, как более надежные.

Отложив значение нормальных потенциалов каждой исследуемой цепи в ряду спиртов от величины, обратной диэлектрической проницаемости растворителя, мы получили линейную зависимость  $E_0 - 1/D$ .

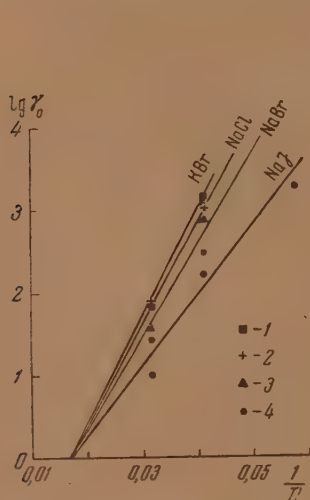


Рис. 3. Зависимость  $\lg \gamma_0 - 1/D$  в ряду спиртов (1—KBr; 2—NaCl; 3—NaBr; 4—NaJ)

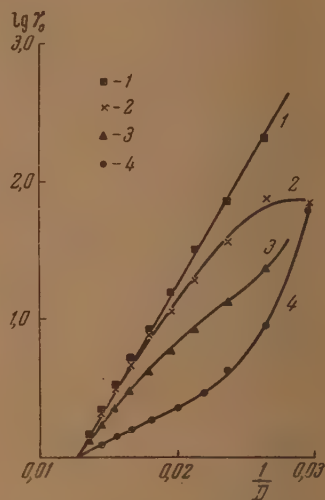


Рис. 4. Зависимость  $\lg \gamma_0 - 1/D$  в смесях метанола с водой (1—KCl; 2—NaCl; 3—LiCl; 4—HCl)

Линейный характер этой зависимости следует из уравнения, которое получил А. П. Бродский [7], считая, что изменение свободной энергии потенциалопределяющих ионов при перемене растворителя обязано лишь изменению диэлектрической проницаемости среды, а расстояние наименьшего сближения ионов при этом остается постоянным.

Из линейной зависимости нормального потенциала цепи в ряду спиртов от  $1/D$  следует, что и зависимость  $\lg \gamma_0 - 1/D$  также должна быть линейной. Действительно, построив график зависимости  $\lg \gamma_0$  исследуемых солей от  $1/D$  в различных спиртах (рис. 3), мы получили ряд прямых (для каждой соли своя прямая со своим углом наклона) выходящих из одной точки ( $1/D_{\text{H}_2\text{O}}$ ) в отличие от растворов кислот в спиртах, для которых зависимость  $\lg \gamma_0 - 1/D$  нелинейна [8, 9]. Отклонение от линейной зависимости  $\lg \gamma_0 - 1/D$  для растворов кислот объясняется образованием иона лиония  $\text{MH}^+$  (или гидроксония  $\text{H}_3\text{O}^+$ ), т. е. специфическим химическим взаимодействием протона  $\text{H}^+$  с первой молекулой растворителя. Для солей такое специфическое химическое взаимодействие либо отсутствует, либо проявляется очень слабо.

Интересно отметить, что, в отличие от растворов солей в чистых растворителях, для растворов солей в смешанных растворителях не наблюдается линейной зависимости  $\lg \gamma_0 - 1/D$ . На рис. 4 приведена зависимость  $\lg \gamma_0 - 1/D$  для растворов KCl, NaCl, LiCl и HCl в смесях метанола с водой (от 0 вес. % до 90 вес. % спирта) по данным Акерлофа [10]. Значение  $\lg \gamma_0 \text{ HCl}$  в чистом метаноле рассчитано одним и

авторов из нормальных потенциалов по литературным данным [11], [12], а значение  $\lg \gamma_0 \text{ NaCl}$  — по нашим данным [1].

Как видно из рис. 4, отклонение  $\lg \gamma_0 - 1/D$  от линейности очень большое у кислот и уменьшается при переходе к солям. В ряду 1—1-валентных солей с одинаковым анионом отклонение тем меньше, чем больше кристаллографический радиус и атомный вес иона металла, т. е. тем больше радиус катиона. Наименьшие отклонения от линейности в ряду исследованных Акерлофом [10] солей наблюдается для KCl. Значения  $\lg \gamma_0 \text{ NaCl}$  и HCl в 100% метаноле совпадают между собой.

Нам кажется, что отклонение зависимости  $\lg \gamma_0 - 1/D$  от линейности для растворов солей в смешанных растворителях можно объяснить возможностью избирательного взаимодействия ионов с молекулами смешанного растворителя.

Первичный эффект среды определяется разностью свободных химических энергий гидратации и сольватации ионов соли

$$\lg \gamma_0 = \frac{\Sigma \Delta Z_{\text{H}_2\text{O}} - \Sigma \Delta Z_{\text{M}}}{2,3 \nu k T}.$$

Попытки теоретического расчета производились Борном [13], Берналом и Фаулером [14], Мищенко [15] и др.

По современным представлениям [15] свободную химическую энергию сольватации иона можно представить в виде уравнения

$$\Delta Z = \frac{z^2 e^2}{2a} \left(1 - \frac{1}{D}\right) + \sum f \left(\frac{1}{a^n}, \mu\right); \quad (1)$$

где  $a$  — расстояние наименьшего сближения ионов,  $\mu$  — дипольный момент молекул растворителя;  $n$  — показатель степени  $2 \leq n \leq 6$ . Тогда

$$\lg \gamma_0 = \frac{z^2 e^2}{2,3 \cdot 2 \nu k T a} \left(\frac{1}{D_{\text{M}}} - \frac{1}{D_{\text{H}_2\text{O}}}\right) + \frac{\Sigma f_{\text{H}_2\text{O}} - \Sigma f_{\text{M}}}{2,3 \nu k T}. \quad (2)$$

Член  $\frac{z^2 e^2}{2,3 \cdot 2 \nu k T a} \left(\frac{1}{D_{\text{M}}} - \frac{1}{D_{\text{H}_2\text{O}}}\right)$  представляет собою изменение потенциальной энергии иона в связи с изменением диэлектрической проницаемости при переходе от воды к неводному растворителю. Второй член  $\frac{\Sigma f_{\text{H}_2\text{O}} - \Sigma f_{\text{M}}}{2,3 \nu k T}$  определяется различием во взаимодействии ионов с дипольными молекулами воды и неводного растворителя. Это взаимодействие определяется индивидуальным химическим характером иона и неводного растворителя.

Одним из авторов [16] на основании рассмотрения процессов, приводящих к диссоциации кислот в растворе, т. е. к образованию сольватированного иона лиония и сольватированного аниона, было выведено уравнение для  $\lg \gamma_0$  кислот:

$$\lg \gamma_0 = \frac{z^2 e^2}{2,3 \cdot 2 \nu k T a} \left(\frac{1}{D_{\text{M}}} - \frac{1}{D_{\text{H}_2\text{O}}}\right) + \frac{\Delta \Sigma A_{\text{сол}}}{2,3 \nu k T} + \frac{1}{2} \lg K_r + \frac{1}{2} \lg \frac{a_{\text{M}}^*}{a_{\text{H}_2\text{O}}}, \quad (3)$$

где  $K_r$  — константа равновесия  $\text{H}_3\text{O}^+ + \text{M} \rightleftharpoons \text{H}_2\text{O} + \text{HM}^+$ .

Для солей  $\frac{1}{2} \lg K_r + \frac{1}{2} \lg \frac{a_{\text{M}}^*}{a_{\text{H}_2\text{O}}} = 0$ , и уравнение (3) приобретает вид:

$$\lg \gamma_0 \text{ соли} = \frac{z^2 e^2}{2,3 \cdot 2 \nu k T a} \left(\frac{1}{D_{\text{M}}} - \frac{1}{D_{\text{H}_2\text{O}}}\right) + \frac{\Delta \Sigma A_{\text{сол}}}{2,3 \nu k T}. \quad (4)$$

Уравнение (4) тождественно с уравнением (2), если обозначить  $(\Sigma f_{\text{H}_2\text{O}} - \Sigma f_{\text{M}}) = \Delta \Sigma A_{\text{сол}}$ .

При рассмотрении зависимости  $\lg \gamma_0 - 1/D$  исследуемых солей в спиртах мы обратили внимание на то, что каждой соли соответствует своя прямая со своим углом наклона (рис. 3).

Различные углы наклона для различных солей могут быть объяснены как различием в значении расстояния наименьшего сближения ионов соли, так и различием в значении члена  $\Delta \Sigma A_{\text{сол}}$ .

Если принять, что  $\Delta \Sigma A_{\text{сол}} = 0$ , то можно записать выражение для  $\lg \gamma_0$  соли в виде

$$\lg \gamma_0 = \frac{z^2 e^2}{2,3 \cdot 2 \nu k T a} \left( \frac{2}{D_M} - \frac{1}{D_{\text{H}_2\text{O}}} \right).$$

Зная величины  $\lg \gamma_0$ , можно рассчитать значения

$$a = \frac{z^2 e^2}{2,3 \cdot 2 \nu k T \lg \gamma_0} \left( \frac{1}{D_M} - \frac{1}{D_{\text{H}_2\text{O}}} \right).$$

Такой расчет дает слишком низкие значения  $a$  ( $0,5-1 \text{ \AA}$ ), тогда как значения  $a$ , полученные из данных о подвижности ионов [17] и коэффициентов активности  $\gamma^*$ , лежат в пределах  $4-6 \text{ \AA}$  (табл. 6).

Таблица 6

Значение  $a$  для солей

Соль и растворитель	Метод		
	Из подвижности ионов 1	Из коэфф. активности солей $\gamma^*$ 2	Из зависимости $\lg \gamma_0 - 1/D$ 3
KBr			
Вода . . . . .	—	3,85[14]	—
Метанол . . . . .	5,51[15]	4,90	0,63
Этанол . . . . .	—	—	0,55—0,56
NaCl			
Вода . . . . .	4,51[14]	4,1[14]	—
Метанол . . . . .	6,18[15]	3,25	0,64
Этанол . . . . .	—	—	0,59
NaBr			
Вода . . . . .	—	4,2[14]	—
Метанол . . . . .	5,97[15]	4,25	0,76
Этанол . . . . .	6,66[15]	4,85	0,62
NaJ			
Вода . . . . .	—	4,2[14]	—
Метанол . . . . .	5,73[15]	17,50*	0,96
Этанол . . . . .	6,34[15]	5,50	0,76
н-Бутанол . . . . .	4,7 <sup>15</sup>	4,65	0,80

\* Для NaJ в метаноле принято во внимание значение, полученное лишь из электропроводности, так как графическая экстраполяция дала слишком большое, неправдоподобное значение  $a$ , которое мы не принимаем во внимание.

Следовательно, суммарное изменение свободной энергии ионов соли определяется не только изменением энергии в результате изменения диэлектрической проницаемости при переходе от неводного растворителя к воде, что количественно определяется выражением  $\frac{z^2 e^2}{2,3 \cdot 2 \nu k T a} \times$



$\times \left( \frac{1}{D_M} - \frac{1}{D_{H_2O}} \right)$ , но и изменением энергии при замене сольватной оболочки на гидратную, т. е. членом  $\Delta \Sigma A_{\text{сол}} / 2,3 \cdot \nu kT$ . Величина  $\lg \gamma_0$  солей должна описываться уравнением (4).

Из линейной зависимости  $\lg \gamma_0$  солей от  $1/D$  в ряду чистых растворителей одинаковой химической природы следует, что  $\Delta \Sigma A_{\text{сол}}$  также является линейной функцией от  $1/D$ , хотя из теоретического рассмотрения  $\lg \gamma_0$  как разности химических энергий гидратации и сольватации не следует, что  $\Delta \Sigma A_{\text{сол}} = \Delta f_{H_2O} - \Sigma f_M$  зависит от диэлектрической проницаемости среды.

### ВЫВОДЫ

1. Измерена э.д.с. цепей без переноса типа  $\text{Me}(\text{Hg})_x | \text{Me} | \text{AgJ} - \text{Ag}$  при  $24 \pm 0,25^\circ \text{C}$  ( $\text{KBr}$ ,  $\text{NaBr}$  и  $\text{NaJ}$  в этаноле и  $\text{NaJ}$  в нормальном бутаноле).

2. Для каждой исследованной цепи определены значения нормального потенциала  $E_0$  в соответствующем растворителе.

3. Из данных э.д.с. исследованных цепей получены значения  $\lg \gamma^*$  и  $\lg \gamma_0$  для каждой соли в соответствующих растворителях.

4. Установлено, что  $\lg \gamma_0$  солей в ряду чистых растворителей одинаковой химической природы является линейной функцией от  $1/D$  и описывается формулой

$$\lg \gamma_0 = \frac{z^2 e^2}{2,3 \cdot 2 \nu k T a} \left( \frac{1}{D_M} - \frac{1}{D_{H_2O}} \right) + \frac{\Delta \Sigma A_{\text{сол}}}{2,3 \cdot \nu k T}.$$

Харьковский государственный  
университет им. А. М. Горького

Поступила  
21. III. 1955

### ЛИТЕРАТУРА

1. Н. А. Измайлов, Е. Ф. Иванова, Журн. физ. химии, 29, 1422, 1955.
2. Н. П. Комарь, Журн. аналит. химии, 23, 647, 1949.
3. J. Partington, H. G. Simpson, Trans. Farad. Soc., 26, 625, 1930.
4. R. Larson, H. Hunt, Journ. Phys. Chem., 43, 417, 1939.
5. Н. А. Измайлов, И. В. Красовский, В. В. Александров, Е. И. Вайль, ДАН, 74, 91, 1948.
6. В. А. Плесков, Усп. химии, 16, 245, 1945.
7. А. И. Бродский, Дослід з термодинаміки та електрохімії розчинів. Тех. сідив, Харків — Дніпропетровськ, 1931.
8. Н. А. Измайлов, Журн. физ. химии, 23, 647, 1949.
9. Н. А. Измайлов, Влияние растворителей на силу кислот, Докторская диссертация, Госуниверситет, Харьков, 1948.
10. G. Åkerlöf, Journ. Amer. Chem. Soc., 52, 2353, 1930.
11. G. Nonhebel, H. Hartley, Phil. Mag., (6), 50, 729, 1925.
12. J. W. Woolcock, H. Hartley, Phil. Mag., (7)5, 1153, 1928.
13. Ван-Аркель, де-Бур, Химическая связь с электростатической точки зрения, ОНТИ, Химтеорет, Л., 1935, стр. 163.
14. Дж. Бернал, П. Фаулер, Усп. физ., 14, 586, 1934.
15. П. К. Мищенко, Л. М. Сухотин, Журн. физ. химии, 27, 26, 1953.
16. Н. А. Измайлов, Труды Ин-та химии ХГУ, 10, 5, 1952.
17. M. Cordier, Journ. chem. phys., 43, 93, 1946.

## ФОТОХИМИЧЕСКОЕ РАЗЛОЖЕНИЕ ОРГАНИЧЕСКИХ ГИДРОПЕРЕКИСЕЙ

А. В. Карякин, В. А. Никитин и А. Н. Сидоров

В литературе известно только одно исследование по фотохимическому разложению растворов гидроперекиси третичного бутила, которое было проведено в 1953 г. [1]. Однако имеется большое число работ по термическому и каталитическому разложению гидроперекисей. Считается, что первичным процессом при разложении гидроперекисей  $\text{ROOH}$  во всех случаях является образование радикалов  $\text{RO}\cdot$  и  $\cdot\text{OH}$ , которые в результате

последующих реакций с гидроперекисью и вновь образующимися радикалами дают конечные продукты реакции [2, 3].

Настоящее исследование было проведено на трех объектах: гидроперекиси изопропилбензола (кумола), алексоле и гипероле\*. Основное внимание было обращено на обнаружение радикалов, обладающих большей окисляющей способностью, чем кислород, и конечных продуктов фото-разложения, а также на возможность сенсбилизации фоторазложения.

Алексол и гипероль представляют собой смеси гидроперекисей, полученные из нафтеновой фракции бензина. Измерения инфракрасных спектров поглощения гипероля и алексола показали, что в структуру молекул этих веществ входят группы  $\text{COOH}$  и  $\text{C}=\text{O}$ , образующие между собой

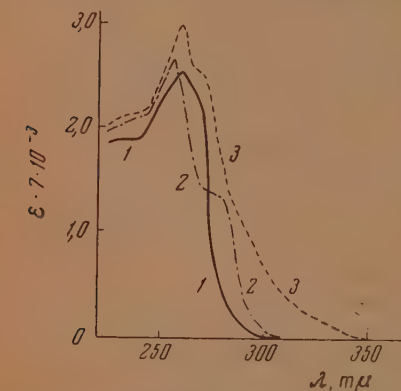


Рис. 1. Спектры поглощения жидких гидроперекисей: 1 — кумола, 2 — алексола и 3 — гипероля в ультрафиолетовой области

водородные связи  $\text{C}=\text{O}\cdots\text{H}-\text{O}-\text{O}-$ . Гипероль — более легко кипящая жидкость, чем алексол. Гидроперекись кумола кипит при  $33^\circ\text{C}$  (0,1 мм рт. ст.) и содержит 9,6% активного кислорода. На рис. 1 даны спектры поглощения этих гидроперекисей в слое толщиной 0,07 мм, измеренные на кварцевом спектрофотометре Бекмана. Гидроперекись кумола начинает поглощать с 300 мμ и имеет максимум поглощения 260 мμ. Алексол начинает поглощать с 340 мμ, далее наблюдается слабый максимум у 280 мμ и главный максимум поглощения у 255 мμ. Гипероль поглощает в более длинноволновой области — начиная у 360 мμ с двумя максимумами: слабым у 270 мμ и сильным от 260 мμ\*\*.

На рис. 2 дан спектр поглощения нагретых до  $150^\circ\text{C}$  паров гидроперекиси кумола, измеренный на установке Б. С. Непорелта [4]. Под дей-

\* Вещества были приготовлены в Теплотехническом институте. Мы выражаем глубокую благодарность проф. К. И. Иванову за предоставление образцов этих веществ.

\*\* Наличие двух максимумов поглощения в спектрах гипероля и алексола связано, по видимому, с тем, что эти соединения не являются индивидуальными веществами.

ствием суммарного света водородной лампы (применявшейся в качестве источника света) уже во время измерения спектра наблюдалось фотохимическое и термическое разложение паров гидроперекиси. При первом измерении была получена кривая 1 с максимумом поглощения у 275 мμ, спустя час при втором измерении была получена кривая 2 с несколькими

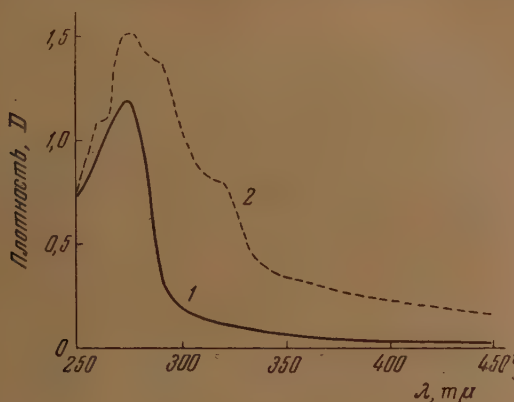


Рис. 2. Спектр поглощения паров гидроперекиси кумола. 1 — при температуре 89—150° С; 2 — продукт фото- и термораспада гидроперекиси при той же температуре

новыми максимумами поглощения, свидетельствующими об образовании продуктов фото- и термораспада гидроперекиси. По цвету газового разряда было установлено присутствие значительных количеств кислорода в этих продуктах.

#### ОБНАРУЖЕНИЕ РАДИКАЛОВ И СВОБОДНЫХ АТОМОВ ИНДИКАТОРАМИ ЦВЕТНОСТИ

При фотохимическом разложении паров гидроперекисей можно ожидать образования радикалов  $\cdot\text{OH}$ ,  $\text{RO}\cdot$ ,  $\cdot\text{O}_2\text{H}$ , обладающих большей окисляющей способностью, чем молекулярный кислород. Индикаторы, дающие избирательную цветную реакцию под действием этих радикалов, не известны. Существуют лишь чувствительные реакции на активный молекулярный кислород\* и на атомарный кислород, которые и были нами использованы. Первая такая реакция — цветная реакция бесцветного лейко-основания малахитового зеленого, которое в присутствии активной формы кислорода переходит в результате отдачи водорода в зеленый краситель [5]. Приготовление индикатора производилось путем адсорбции лейко-основания на силикагеле из подкисленного соляной кислотой водно-спиртового раствора в течение 10 час. После промывания и сушки адсорбат подвергался вакуумной тренировке при комнатной температуре.

С другой стороны, из опытов с атомными пучками кислорода известно, что желтая окись свинца ( $\text{PbO}$ ) под действием атомарного кислорода переходит в коричневую двуокись свинца ( $\text{PbO}_2$ ) [6]. Эта реакция была использована нами в качестве второй цветной индикаторной реакции, позволяющей обнаружить присутствие атомарного кислорода, в то время как первая реакция являлась индикатором активной формы кислорода.

\* Под активной формой кислорода имеется в виду  $\text{O}_2^{\cdot}$  (метастабильное состояние) или, предположительно, радикал  $\cdot\text{O}_2\text{H}$ .



Опыты по разложению гидроперекисей в парообразном состоянии производились нами в кварцевом сосуде с сухим коническим затвором, обеспечивающим хорошую герметизацию сосуда после проведения вакуумной тренировки [7]. В отгосток сосуда наливалась испытуемая гидроперекись, а на дно его насыпались индикаторы: адсорбат лейко-основания малахитового зеленого или порошок окиси свинца. Гидроперекись обезгаживалась многократным замораживанием жидким воздухом в вакууме. Для создания достаточной упругости паров гидроперекиси сосуд помещался в цилиндрическую электропечь, которая имела окна для освещения сосуда и наблюдения. Освещение паров гидроперекиси производилось полным светом ртутно-кварцевой лампы СВДШ-250, фокусируемым кварцевым конденсором и направляемым плоским зеркалом на сосуд сверху. Пучок света фокусировался через пары гидроперекиси на поверхность индикатора, создавая достаточную освещенность окиси свинца или адсорбата лейко-основания малахитового зеленого.

После освещения паров гидроперекиси кумола в течение 30 мин., при комнатной температуре, адсорбат лейко-основания принимал слабую зеленую окраску лишь в том месте, где он был освещен ультрафиолетовым светом. При повышении температуры паров гидроперекиси и индикатора до 80° С окраска последнего не усиливалась. При температуре 100—110° С, когда упругость паров гидроперекиси становится значительной, индикатор уже при освещении в течение 15 мин. принимал зеленую окраску на всей площади, причем более интенсивную в месте освещения. Освещение в тех же условиях только паров гидроперекиси в объеме, прилегающем к индикатору (прямой свет не падал на адсорбат), приводило к появлению равномерной зеленой окраски на всей поверхности адсорбата.

Аналогичные опыты были проведены с гиперолом и алексолом. В случае гипероля окрашивание индикатора наступало уже при комнатной температуре, а в случае алексоло — только при повышении температуры до 100° С.

В другой серии опытов был использован в качестве индикатора порошок окиси свинца. При освещении полным светом лампы СВДШ-250 паров гидроперекиси кумола, гипероля и алексоло в течение 15 мин. наблюдалось потемнение окиси свинца, но при температурах не ниже 50° С в случае гипероля и не ниже 140—150° С в случае алексоло и гидроперекиси кумола. (Заметим, что термическое разложение гидроперекиси кумола начинается при 165—170° С [8].) Проверка действующей области длин волн путем применения соответствующих светофильтров показала, что пары алексоло и гидроперекиси кумола разлагаются лишь светом короче 366 мμ, а пары гипероля — включая 366 мμ и короче.

Проверка поведения окиси свинца в парах нескольких органических соединений — толуола, бензойной кислоты и бензилового спирта (упругостью 30 мм рт. ст.) — показала, что при одновременном освещении поверхности индикатора и паров полным светом ртутной лампы потемнения либо не наблюдаются (толуол), либо оно во много раз слабее, чем при фоторазложении паров гидроперекисей.

Таким образом, при помощи указанных твердых индикаторов установлено, что пары гидроперекисей (при 50—150° С) под действием ультрафиолетового света (главным образом короче 366 мμ) разлагаются с образованием продуктов, обладающих большей окисляющей способностью, чем молекулярный кислород.

#### ОБНАРУЖЕНИЕ ПРОДУКТОВ ФОТОРАЗЛОЖЕНИЯ ЖИДКОЙ ГИДРОПЕРКИСИ КУМОЛА ПО ИНФРАКРАСНЫМ СПЕКТРАМ ПОГЛОЩЕНИЯ

Для обнаружения продуктов фоторазложения жидкой гидроперекиси кумола была применена методика инфракрасных спектров поглощения, систематически используемая в нашей лаборатории для анализа продуктов фотохимических реакций [9]. Фоторазложение гидроперекиси произ-

водилось в кювете, сделанной из двух сильвиновых окошек толщиной 3 мм и диаметром 30 мм, между которыми помещалась кольцевая станиолевая прокладка толщиной 0,02 мм; окошки зажимались металлической оправой с винтовой резьбой. Такие окошки практически прозрачны как в инфракрасной (до  $16\ \mu$ ), так и в ультрафиолетовой области спектра. Капля гидроперекиси помещалась между окошками и при сжимании их оправой равномерно растекалась, заполняя весь объем. Источниками ультрафиолетового света служили две ртутно-кварцевые лампы ПРК-4, имеющие более интенсивное излучение у 253,7 м $\mu$ , чем лампа СВДШ-250. Две идентичные кюветы с гидроперекисью помещались на расстоянии 500 мм от ламп, причем одна из кювет прикрывалась стеклянной пластинкой,

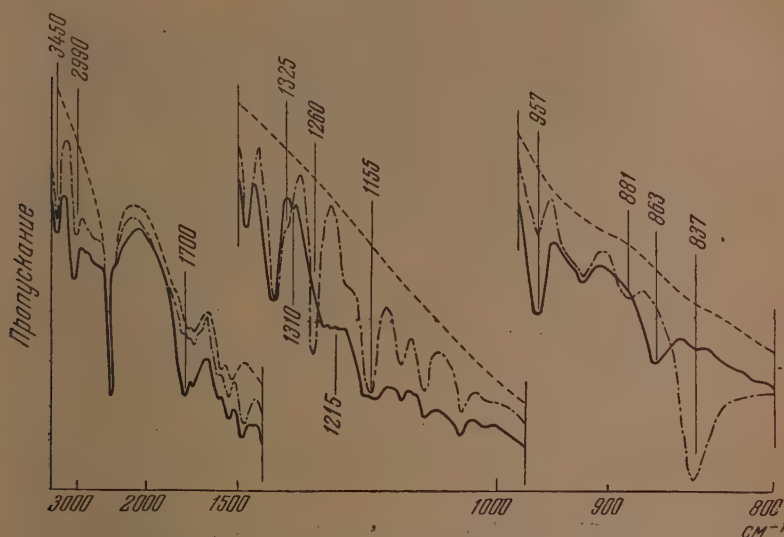


Рис. 3. Инфракрасные спектры гидроперекиси кумола (штрих-пунктир) и ее продукта фоторазложения (сплошная кривая)

поглощающей ультрафиолетовую радиацию короче 366 м $\mu$ . Во избежание нагревания кюветы обдувались воздухом комнатной температуры.

Через 1—2 мин. после начала освещения в кювете, не покрытой стеклянной пластинкой, начинали появляться пузырьки газа, количество которых при дальнейшем освещении быстро возрастало, и жидкость принимала желтоватый оттенок.

Спектральные измерения производились через 3, 10 и 40 мин. после начала освещения. Соответствующие кривые приведены на рис. 3—5. Сравнивая кривую поглощения продукта разложения гидроперекиси кумола (после 40 мин. освещения) с кривой поглощения диметилфенилкарбинола (сплошная и штрих-пунктирная линии на рис. 5), можно сделать вывод, что последний является основным продуктом распада гидроперекиси, так как его спектр почти не отличается от спектра продукта фоторазложения. Единственным существенным различием в спектрах является появление слабой полосы  $1700\ \text{см}^{-1}$  в спектре продукта фоторазложения, которая, очевидно, относится к валентному колебанию связи  $\text{C}=\text{O}$  карбонильной группы. Небольшая интенсивность этой полосы говорит о том, что концентрация соединений, имеющих в структуре группу  $\text{C}=\text{O}$ , невелика; они, повидимому, являются побочными продуктами фоторазложения. Сопоставление частот гидроперекиси кумола, его продукта фоторазложения и раствора диметилфенилкарбинола в четыреххлористом углероде дано в таблице.

Наблюдаемые частоты в  $\text{см}^{-1}$ 

Гидроперекись кумола (жидкость)		Продукт фоторазложения гидроперекиси		Диметилфенилкарбинол (раствор в $\text{CCl}_4$ )		Интерпретация
837	о. с.	—	—	—	—	$\text{C}-\text{O}-\text{O}-\text{H}$ деф.
—	—	863	ср.	863	ср.	$\text{C}-\text{O}-\text{H}$ деф.
881	сл.	—	—	—	—	$\text{O}-\text{O}$ вал.
913	сл.	911	сл.	911	сл.	
957	сл.	954	ср.	954	ср.	
1000	оч. сл.	1000	оч. сл.	1000	оч. сл.	
1030	ср.	1025	ср.	1025	ср.	
1070	ср.	1070	ср.	1070	ср.	
1105	ср.	1100	ср.	1100	ср.	
1155	о. с.	1155	о. с.	—	—	
—	—	1165	о. с.	1165	о. с.	$\text{C}-\text{O}$ вал.
—	—	1215	ср.	—	—	(побочный продукт)
1260	с.	1245	ср.	1250	с.	
1325	ср.	1310	ср.	1310	ср.	$\text{O}-\text{H}$ деф.
1350	с.	1360	с.	1360	с.	
1435	ср.	1435	ср.	1435	ср.	
—	—	1700	сл.	—	—	$\text{C}=\text{O}$ (побочный продукт)
2990	с.	2990	с.	2990	с.	$\text{O}-\text{H}$ вал.
3430	с.	3430	с.	3430	с.	$\text{C}-\text{H}$ вал.

Оценка интенсивностей полос дана в этой таблице в общепринятых обозначениях (о. с. — очень сильная, с. — сильная, ср. — средняя, сл. — слабая, оч. сл. — очень слабая).

На рис. 4 даны кривые поглощения гидроперекиси кумола, измеренные для чистой гидроперекиси (кривая 1), и после освещения гидроперекиси ультрафиолетовым светом в течение 3 мин. (кривая 2), 10 мин. (кривая 3) и 40 мин. (кривая 4). Отметим, что в кювете, прикрытой стеклянной пластинкой, никаких спектральных изменений замечено не было даже после 5-час. облучения. На этом рисунке отчетливо видны последовательные изменения интенсивностей полос поглощения. Уже через 10 мин. исчезает полоса  $881 \text{ см}^{-1}$ , соответствующая валентному колебанию связи  $\text{O}-\text{O}$ , и появляется новая полоса  $863 \text{ см}^{-1}$ . Одновременно уменьшается интенсивность полосы  $837 \text{ см}^{-1}$  (цепочки  $\text{C}-\text{O}-\text{O}-\text{H}$ ) и увеличивается интенсивность полосы  $957 \text{ см}^{-1}$ . После 40 мин. освещения обе характерные полосы гидроперекиси ( $837$  и  $881 \text{ см}^{-1}$ ) исчезают полностью. Полоса  $913 \text{ см}^{-1}$  при этом смещается до  $911 \text{ см}^{-1}$ . Таким образом спектральные изменения показывают, что ультрафиолетовый свет в наших условиях разлагает гидроперекись кумола с образованием главным образом диметилфенилкарбинола. Кроме того, выделяется газообразный продукт.

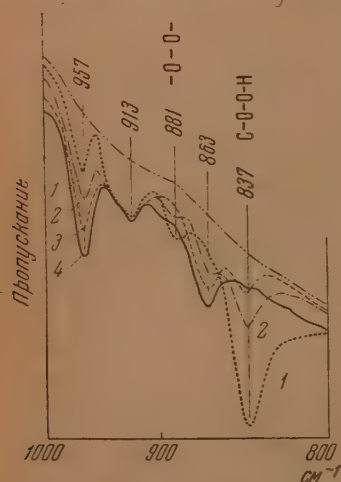


Рис. 4. Изменения в инфракрасном спектре гидроперекиси кумола при фоторазложении (1 — до освещения; 2, 3, 4 — после 3, 10 и 40 мин. освещения)

Согласно литературным данным [1—3, 10—12], первым этапом фотолитического термораспада гидроперекисей  $\text{ROOH}$  является разрыв связи  $\text{O}-\text{O}$ , энергия которой заметно меньше энергии связи  $\text{C}-\text{O}$  (для  $\text{O}-\text{O}$  40 ккал [3], для  $\text{C}-\text{O}$  90 ккал [3]\*). Образующиеся в результате распада радика-

\* По другим данным энергия связи  $\text{O}-\text{O}$  равна 66 ккал [2].

ды  $\text{RO}\cdot$  и  $\cdot\text{OH}$  вступают во взаимодействие с молекулами гидроперекиси. Например, для первых этапов термического распада паров гидроперекиси третичного бутила был предложен следующий механизм [12]:

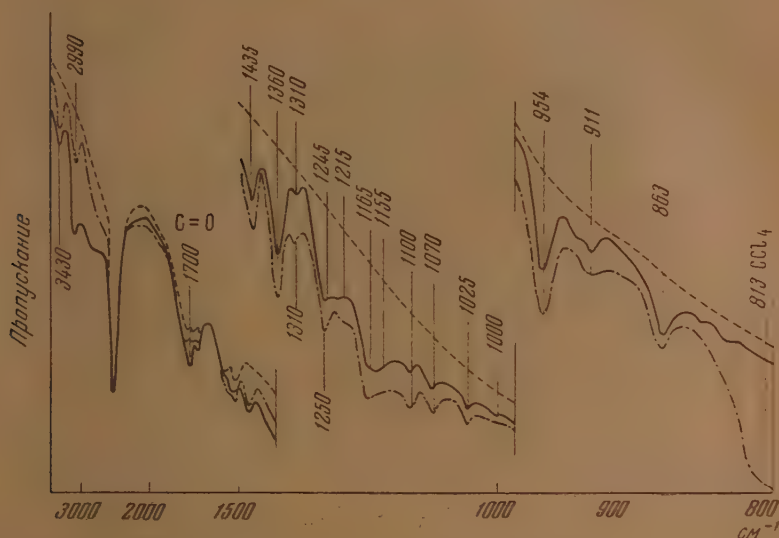
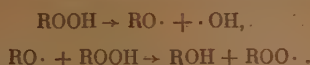


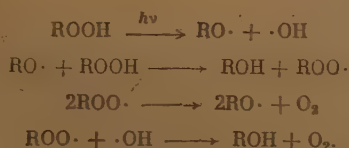
Рис. 5. Сравнение инфракрасных спектров продукта фоторазложения гидроперекиси кумола (сплошная кривая) и раствора диметилфенилкарбинола в четыреххлористом углероде (штрих-пунктир)

Для радикала  $\text{RO}\cdot$  в случае распада гидроперекиси кумола была предложена, кроме того, побочная реакция [10]:



Механизм фотохимического разложения был впервые предложен на основе анализа конечных продуктов распада гидроперекиси третичного бутила Мартином и Норришем [1]. Этот механизм включает следующие

основные этапы (через R обозначен радикал  $\text{CH}_3-\text{C}(\text{CH}_3)_2$ ):

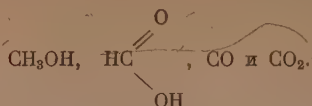


Конечными продуктами здесь являются спирт  $\text{ROH}$  и кислород. Кроме того, идут побочные реакции:



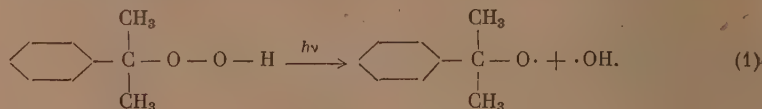


Радикал  $\cdot\text{CH}_3$ , взаимодействуя с  $\text{O}_2$ , дает конечные продукты

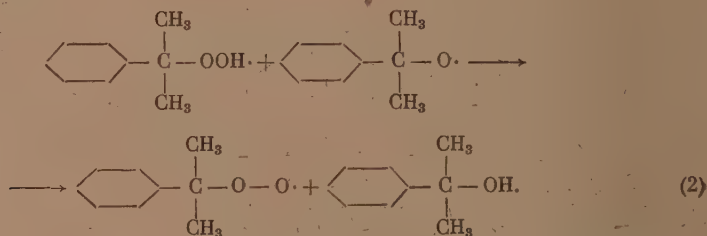


Основываясь на этих представлениях, мы можем в согласии с нашими данными предложить следующий механизм фотохимического разложения жидкой гидроперекиси кумола.

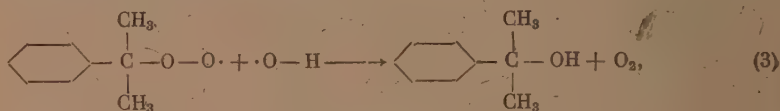
Квант ультрафиолетового света разрывает наиболее слабую связь  $-\text{O}-\text{O}-$  с образованием двух радикалов:



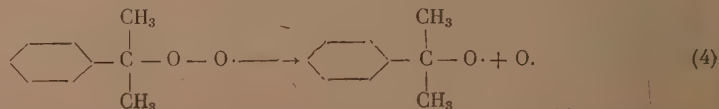
Образующиеся радикалы взаимодействуют с имеющимися в избытке молекулами гидроперекиси, давая основной продукт фотораспада — диметилфенилкарбинол:



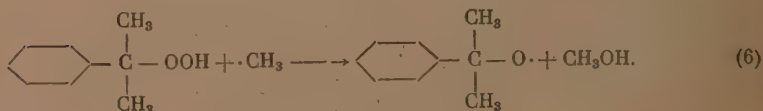
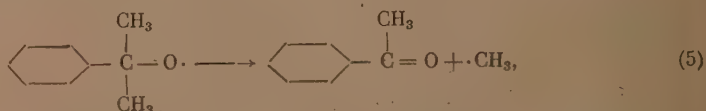
Новый радикал  $\text{R}-\text{O}^-\cdot\text{O}\cdot$  либо взаимодействует с радикалами  $\cdot\text{O}-\text{H}$  по схеме (в жидкой фазе):



либо выделяет атомарный кислород (в газовой фазе):



Возникшие на первом этапе радикалы  $\text{R}-\text{O}\cdot$ , кроме взаимодействия с молекулами гидроперекиси по (2), могут в небольшом количестве давать побочные продукты по схеме:



Таким образом, наши опыты показывают, что основным продуктом фоторазложения гидроперекиси кумола в наших условиях является диметилфенилкарбинол.

Две слабые полосы в спектре продукта фоторазложения гидроперекиси —  $1700\text{ см}^{-1}$  (группы  $\text{C}=\text{O}$ ) и  $1215\text{ см}^{-1}$  (группы  $\text{CH}_3$ ) — следует отнести за счет присутствия небольших количеств побочных продуктов.

### СЕНСИБИЛИЗИРОВАННОЕ ФОТОРАЗЛОЖЕНИЕ ЖИДКОЙ ГИДРОПЕРЕКИСИ КУМОЛА

В качестве сенсibilизаторов фоторазложения гидроперекиси кумола нами была применена желтая кровавая соль:  $\text{K}_4[\text{Fe}(\text{CN})_6]$ , которая вводится в гидроперекись в виде взвеси. Фоторазложение проводилось в кювете, описанной в предыдущем разделе. Источником света служила лампа накаливания 200 W (при силе тока 16 A) с двойным рефлектором, фокусирующим весь свет лампы на кювету. Инфракрасная часть излучения лампы поглощалась водяным фильтром толщиной 150 мм. Кювета, кроме того, охлаждалась током воздуха комнатной температуры. Наличие разложения гидроперекиси определялось по инфракрасным спектрам поглощения, как это было описано выше.

Через 1,0—1,5 часа после начала освещения взвеси желтой кровавой соли в гидроперекиси наблюдалось появление пузырьков газа и постепенное пожелтение жидкости. В инфракрасном спектре взвеси после 6 час. освещения наблюдаются изменения, показанные на рис. 6. Эти изменения аналогичны изменениям, наблюдавшимся при разложении гидроперекиси кумола ультрафиолетовым светом.

Инфракрасный спектр взвеси желтой кровавой соли в гидроперекиси отличается от спектра чистой гидроперекиси кумола только наличием первой сильной полосы

$2040\text{ см}^{-1}$ . Эта полоса принадлежит желтой кровавой соли, так как она присутствует и в спектре поглощения порошка этой соли.

Для проверки наличия сенсibilизации фоторазложения гидроперекиси кумола желтой кровавой солью были проделаны следующие опыты:

1. При тех же условиях производилось освещение кюветы с гидроперекисью без желтой кровавой соли. Никаких видимых и спектральных изменений в этом случае не наблюдалось.

2. Кювета с гидроперекисью и взвесью желтой кровавой соли лежала в темноте в течение 20 час. Никаких видимых и спектральных изменений также не было обнаружено.

На рис. 7 даны кривые пропускания для чистой гидроперекиси кумола, взвеси порошка желтой кровавой соли в гидроперекиси и насыщенного водного раствора желтой кровавой соли в видимой и ультрафиолетовой областях спектра. Поглощение взвеси в области длин волн, больших  $450\text{ м}\mu$ , практически равно нулю (кривая 2 в этой области дает 82% пропускания, повидимому, лишь из-за рассеяния света взвесью). Начиная с  $450\text{ м}\mu$ , поглощение быстро увеличивается в сторону коротких длин волн. Перегиб кривой 2 у  $350\text{ м}\mu$  обусловлен, вероятно, тем, что часть

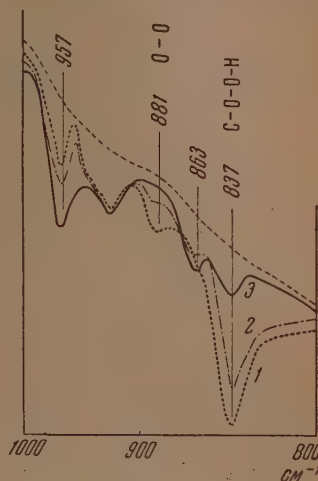


Рис. 6. Изменения в инфракрасном спектре гидроперекиси кумола при сенсibilизированном фоторазложении (1 — исходный спектр, 2, 3 — после 2 и 6 час. облучения)

света проходит через кювету, минуя взвешенные частицы желтой кровяной соли.

Для проверки того, что эффект сенсibilизации разложения гидроперекиси возможен лишь при освещении светом из области длин волн, поглощаемых желтой кровяной солью, был проведен следующий опыт. Две тождественные кюветы со взвесью желтой кровяной соли в гидроперекиси освещались видимым светом на установке, одна — через фильтр OG-5, выделяющий область 530—700 мμ, другая — через фильтр BG-25, выделяющий область 360—500 мμ.

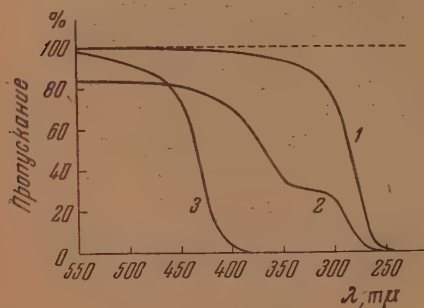


Рис. 7. Спектр поглощения в видимой и ультрафиолетовой областях: 1 — жидкая гидроперекись кумола (слой 0,02 мм); 2 — взвесь порошка желтой кровяной соли в гидроперекиси (слой 0,02 мм); 3 — насыщенный водный раствор желтой кровяной соли (слой 10 мм)

После шестичасовой экспозиции эффект разложения был обнаружен только во второй кювете по появлению полосы поглощения 863 см<sup>-1</sup> и уменьшению интенсивности полосы 881 см<sup>-1</sup>.

Попытка применить в качестве сенсibilизаторов фоторазложения гидроперекиси кумола сульфированный фталоцианин меди не привела к успеху, отрицательный результат был также получен с окисью цинка. Едва заметные признаки разложения гидроперекиси наблюдались при освещении взвесей в гидроперекиси порошков красной кровяной соли и гематина.

Изменения, наблюдаемые в инфракрасном спектре гидроперекиси

кумола при ее сенсibilизированном фоторазложении видимым светом в присутствии желтой кровяной соли, полностью совпадают с изменениями, наблюдавшимися в случае фоторазложения чистой гидроперекиси ультрафиолетовым светом (ср. рис. 4 и 6). Поэтому можно утверждать, что и в случае сенсibilизированного фоторазложения гидроперекиси кумола видимым светом образуется главным образом диметилфенилкарбинол, но механизм фоторазложения здесь иной; существенную роль здесь играют ионы железа [13].

В заключение выражаем глубокую благодарность акад. А. Н. Тернину, под руководством которого была выполнена данная работа.

## ВЫВОДЫ

1. В продуктах фотохимического разложения паров гидроперекиси кумола, алексола и гипероля при помощи цветных индикаторов обнаружены радикалы, обладающие большей окисляющей способностью, чем молекулярный кислород.

2. Методом инфракрасных спектров поглощения исследованы продукты фоторазложения жидкой гидроперекиси кумола при освещении ультрафиолетовым светом. Показано, что основным продуктом фоторазложения является диметилфенилкарбинол.

3. Осуществлена сенсibilизация фоторазложения жидкой гидроперекиси кумола к видимому свету желтой кровяной солью. В случае сенсibilизированного фоторазложения основным продуктом также является диметилфенилкарбинол, хотя механизм реакции отличен от механизма фоторазложения гидроперекиси без сенсibilизатора.

## ЛИТЕРАТУРА

1. S. T. Martin, R. G. W. Norrish, *Proc. Roy. Soc. (A)*, **220**, 322, 1953.
2. W. A. Waters, *Trans. Farad Soc.*, **62**, 184, 280, 1946.
3. J. H. Raley, F. F. Rust, W. E. Vangham, *Journ. Amer. Chem. Soc.*, **70**, 88, 1948; R. R. Brinton, D. H. Volman, *Journ. Chem. Phys.*, **20**, 25, 1952.
4. Б. С. Непорент, *ЖЭТФ*, **21**, 172, 1951.
5. H. Kautsky, *Ber.*, **64** 1610, 2053, 2446, 1931; **65**, 401, 1932; **66**, 1588, 1933; *Biochem. Zs.*, **291**, 271, 1937; *Trans. Farad. Soc.*, **35**, 216, 1939; P. Prinsheim, H. Vogel, *Naturwiss.*, **19**, 964, 1931.
6. R. G. Fraser, *Molecular rays*, Cambridge, 1931.
7. А. В. Карякин, А. Н. Теренин, *Изв. АН СССР, Сер. физ.*, **13**, 9, 1939; А. В. Карякин, *Журн. физ. химии*, **3**, 1332, 1345, 1949; А. В. Карякин, А. Н. Теренин, Я. И. Калениченко, *АН*, **67**, 305, 1949; А. В. Карякин, *Изв. АН СССР, сер. физ.*, **15**, 556, 1951; А. Н. Теренин, А. В. Карякин, *ЖЭТФ*, **21**, 107, 1951.
8. H. Nock, *S. Lang, Ber.*, **77**, 257, 1944.
9. А. В. Карякин и В. А. Никитин, *Журн. физ. химии*, **27**, 1856, 1953; *Изв. АН СССР, Сер. физ.*, **17**, 636, 1953.
10. G. H. Twigg, *Disc. Farad Soc.*, **14**, 240, 1953.
11. К. И. Иванов, Промежуточные продукты и промежуточные реакции автоокисления углеводов, Гостоптехиздат, 1949.
12. F. Seubold, F. F. Rust, W. E. Vaughan, *Journ. Amer. Chem. Soc.*, **73**, 18, 1951.
13. А. Н. Теренин, Сб. Совещание по кинетике химических реакций, Издво АН СССР, 1955.



## К ВОПРОСУ О ТЕПЛОЕМКОСТИ РАСТВОРОВ

В. П. Скрипов

Теплоемкость можно определить производной по температуре от соответствующей термодинамической функции:

$$C_V = \left( \frac{\partial U}{\partial T} \right)_V, \quad C_P = \left( \frac{\partial H}{\partial T} \right)_P,$$

$U$  — внутренняя энергия тела,  $H$  — энтальпия\*. Со статистической точки зрения  $U = \bar{E}$ ,  $H = \bar{E}^*$ , где  $E$  — энергия системы, зависящая от импульсов и координат всех молекул, а  $E^* = E + pV$  учитывает, кроме того, потенциальную энергию внешних сил давления. Следовательно,

$$C_V = \left( \frac{\partial \bar{E}}{\partial T} \right)_V, \quad C_P = \left( \frac{\partial \bar{E}^*}{\partial T} \right)_P.$$

Существует другое выражение для теплоемкости, впервые полученное Гиббсом [1] и не содержащее производной по температуре:

$$C_V = \frac{\bar{E}^2 - \bar{E}^2}{kT^2},$$

аналогично

$$C_P = \frac{\bar{E}^{*2} - \bar{E}^{*2}}{kT^2}.$$

Таким образом теплоемкость тела, помещенного в термостат, можно выразить через флуктуации энергии этого тела. Трактовка теплоемкости как индикатора флуктуаций энергии тела может оказаться плодотворной для целого ряда задач. Флуктуации энергии, в свою очередь, связаны с флуктуациями таких величин, как плотность, концентрация, намагниченность и т. д., в зависимости от природы системы.

Рассмотрим гомогенный раствор, состоящий из  $m$  компонентов. Выделим в нем элемент объема  $\Delta V$ , который при данной температуре содержит в среднем  $N_1^0$  молекул первого сорта,  $N_2^0$  молекул второго сорта и т. д. Из первого закона термодинамики в форме

$$dQ = \left( \frac{\partial U}{\partial T} \right)_{V, N_1, \dots, N_m} dT + \left[ \left( \frac{\partial U}{\partial V} \right)_{T, N_1, \dots, N_m} + p \right] dV + \sum_{i=1}^m \left( \frac{\partial U}{\partial N_i} \right)_{T, V, N_{j \neq i}} dN_i \quad (1)$$

получим следующее выражение для теплоемкости:

$$C_P = C_{P, N_1, \dots, N_m} + \sum_{i=1}^m \left[ \mu_i - T \left( \frac{\partial \mu_i}{\partial T} \right)_V \right] \left( \frac{dN_i}{dT} \right)_P \quad (2)$$

\* Если рассматривать  $U$  и  $H$  как потенциалы, т. е. функции  $U = U(S, V)$ ,  $H = H(S, p)$ , то  $C_V$  и  $C_P$  выражаются через вторые производные внутренней энергии и энтальпии по энтропии:

$$C_V = T / (\partial^2 U / \partial S^2)_V, \quad C_P = T / (\partial^2 H / \partial S^2)_P.$$

Здесь  $C_{p,N_1,\dots,N_m}$  — теплоемкость при постоянном давлении и при неизменных числах молекул всех видов,  $\mu_i$  — химический потенциал  $i$ -й компоненты в растворе\*. Воспользуемся теперь известной формулой Гиббса [1] для флуктуаций числа частиц в растворе

$$\overline{N_i^2} - \overline{N_i}^2 = kT \frac{\partial \overline{N_i}}{\partial \mu_i} \quad (3)$$

Замечая, что  $\frac{d\overline{N_i}}{dT} = \frac{\partial \overline{N_i}}{\partial \mu_i} \frac{d\mu_i}{dT}$  и используя (3), получим

$$\frac{d\overline{N_i}}{dT} = \frac{d\mu_i}{dT} \cdot \frac{\overline{N_i^2} - \overline{N_i}^2}{kT} \quad (4)$$

Тогда (2) примет вид

$$C_p = C_{p,N_1,\dots,N_m} + \sum_{i=1}^m \left[ \mu_i - T \left( \frac{\partial \mu_i}{\partial T} \right)_V \right] \left( \frac{\partial \mu_i}{\partial T} \right)_p \frac{\overline{N_i^2} - \overline{N_i}^2}{kT} \quad (5)$$

Сумма в выражении (5) представляет собой добавочную теплоемкость, связанную с флуктуациями концентрации в растворе. В дальнейшем нас будут интересовать двухкомпонентные растворы. О флуктуациях концентрации можно судить по интенсивности релеевского рассеяния света. Тогда (5) нужно относить к такому элементу объема  $\Delta V$ , который фигурирует в теории релеевского рассеяния света. Теплоемкость раствора получим суммированием (5) по всему объему, считая флуктуации в отдельных элементах независимыми.

Связь между теплоемкостью раствора и флуктуациями концентрации в нем наглядно проявляется в критической области расслаивания. Давно известно явление критической опалесценции в растворах. Оно обусловлено именно ростом флуктуаций концентрации, как показал еще Смолуховский [2]. С другой стороны, в последние годы экспериментально обнаружено существование острого максимума теплоемкости в критической точке расслаивания [3—6], предсказанное В. К. Семенченко [7] в 1947 г. В работе [6] подробно исследована система триэтиламин — вода с нижней критической температурой ( $t_{кр} = 19,30^\circ\text{C}$ ). Было обращено внимание на то, что возрастание теплоемкости происходит в значительной области температур и концентраций, окружающей критическую точку. По мере удаления от критической концентрации величина максимумов теплоемкости убывает, теряется их острота, сдвигается температура максимума. Оптические наблюдения Фридлендера [8] и Кришнына [9] позволяют сделать вывод о сходном изменении интенсивности рассеянного света, а следовательно, и флуктуаций концентрации в критической области. На рис. 1 и 2 приведены наши данные по теплоемкости растворов триэтиламина — вода в зависимости от концентрации. Верхняя кривая рис. 1 построена по максимальным значениям теплоемкости. Максимум этой кривой «максимум» соответствует критической концентрации (8,5 мол. % триэтиламина). Левая ветвь резко падает и имеет своим предельным значением теплоемкость чистой воды 18,0 кал/моль·град.; предельное значение правой ветви — теплоемкость чистого триэтиламина, равная, по нашему определению, 52,1 кал/моль·град. Несимметричный вид кривой объясняется малым молярным содержанием триэтиламина в смеси критического состава и большим различием в теплоемкостях компонент.

\* Здесь использованы соотношения

$$\left( \frac{\partial U}{\partial N_i} \right)_{T,V} = T \left( \frac{\partial S}{\partial N_i} \right)_{T,V} + \mu_i; \quad \left( \frac{\partial S}{\partial N_i} \right)_{T,V} = - \left( \frac{\partial \mu_i}{\partial T} \right)_{V,N_i}$$

Нижняя кривая на рис. 1 дает зависимость  $C_p$  от концентраций смесей, взятых за  $1^\circ$  до расслаивания со стороны однофазного состояния. Вблизи критической концентрации и в этом случае наблюдается характерная особенность хода кривой.

Рис. 2 дает представление об изменении теплоемкости во всем интервале концентраций при температуре на  $1^\circ$  ниже критической. Начальный участок этой кривой в пределах точности наших измерений совпадает с нижней кривой на рис. 1, так как температуры расслаивания здесь мало отличаются друг от друга. На рис. 2 для сравнения проведена штрихами

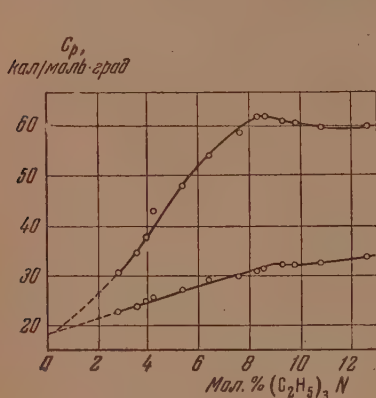


Рис. 1

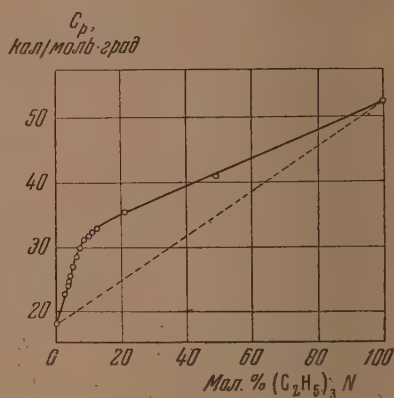


Рис. 2

Рис. 1. Максимальные значения теплоемкости растворов триэтиламин — вода в зависимости от концентрации и значения теплоемкости за  $1^\circ$  до расслаивания

Рис. 2. Теплоемкость системы триэтиламин — вода при  $18,3^\circ\text{C}$

аддитивная прямая, соответствующая ходу теплоемкости идеального раствора. Наибольшие отклонения экспериментальных значений от этой прямой наблюдаются вблизи критической концентрации. Аналогичную картину мы получили и для другой изученной системы нитробензол — гептан с верхней критической температурой ( $t_{\text{кр}} = 19,0^\circ\text{C}$ ). На рис. 3 дана кривая теплоемкости в зависимости от концентрации при температуре  $19,5^\circ$ . Критический состав этой системы точно не был определен, но он близок к 50 мол. %.

В рассмотренных случаях связь между теплоемкостью и флуктуациями концентрации является очевидной. Все наблюдаемые аномалии обусловлены приближением к критическому состоянию. Представляет интерес качественная проверка формулы (5) для обычных растворов двух полностью смешивающихся жидкостей. М. И. Шахпароновым и Н. Г. Шленкиной [10] проделана работа по изучению релеевского рассеяния света некоторыми растворами органических жидкостей. Авторы установили, что интенсивность рассеяния света для систем метиловый спирт — бензол, метиловый спирт — хлорбензол, метиловый спирт — четыреххлористый углерод и др. имеет значительный плавный максимум в средней части интервала концентраций. Это свидетельствует о развитии флуктуаций концентрации в указанных растворах. Согласно изложенной выше точке зрения такой эффект должен сопровождаться ростом теплоемкости. Для этого, согласно [5], необходимо выполнение условий

$$\left[ \mu_1 - T \left( \frac{\partial \mu_1}{\partial T} \right)_V \right] \left( \frac{\partial \mu_1}{\partial T} \right)_p > 0; \left[ \mu_2 - T \left( \frac{\partial \mu_2}{\partial T} \right)_V \right] \left( \frac{\partial \mu_2}{\partial T} \right)_p > 0$$

или хотя бы одного из них.

Калориметрические опыты дали ожидаемый результат. Здесь приводятся наши данные по теплоемкости систем метиловый спирт — бензол,



Таблица 1

Мол. % $\text{CH}_3\text{OH}$	$C_p$ $\frac{\text{кал}}{\text{моль} \cdot \text{град.}}$	$\Delta C_p / C_p^{\text{ид}}, \%$	$C_V$	$\Delta C_V / C_V^{\text{ид}}, \%$
0	31,9	0	22,0	0
8,5	32,5	5,2	23,0	6,5
16,2	32,6	9,0	23,0	9,5
34,5	30,3	10,1	22,8	15,0
51,8	27,8	9,9	21,6	15,0
68,5	25,0	7,8	19,8	12,0
80,0	22,8	5,1	18,4	8,2
91,5	20,6	2,0	—	—
100	19,1	0	15,8	0

Таблица 2

Мол. % $\text{CH}_3\text{OH}$	$C_p$ $\frac{\text{кал}}{\text{моль} \cdot \text{град.}}$	$\Delta C_p / C_p^{\text{ид}}, \%$	Мол. % $\text{CH}_3\text{OH}$	$C_p$ $\frac{\text{кал}}{\text{моль} \cdot \text{град.}}$	$\Delta C_p / C_p^{\text{ид}}, \%$
$\text{CH}_3\text{OH} - \text{C}_6\text{H}_5\text{Cl}$			$\text{CH}_3\text{OH} - \text{CCl}_4$		
0	35,8	0	0	31,1	0
13,0	35,2	4,8	19,0	30,9	6,9
29,1	34,0	9,7	41,0	28,5	8,8
49,8	29,9	9,1	51,0	27,2	8,8
67,5	26,0	6,1	68,5	24,6	7,4
100	19,1	0	85	21,7	3,8
			100	19,1	0

метилловый спирт — хлорбензол и метилловый спирт — четыреххлористый углерод, представленные в табл. 1 и 2. Теплоемкость измерялась при 20°C на применявшейся ранее установке [6]. Подъемы температуры в опытах составляли 0,12—0,14°. Все растворы были нам предоставлены Н. Г. Шленкиной и не отличались от тех, в которых изучалось рассеяние света. Характерной особенностью хода теплоемкости мы считаем отклонение от аддитивной прямой. Кривые теплоемкости для всех изученных систем имеют выпуклую форму, что позволяет говорить об относительном росте теплоемкости в средней части интервала концентраций. Мы вычислили всюду отношение  $\Delta C_p / C_p^{\text{ид}}$ , где  $\Delta C_p = C_p - C_p^{\text{ид}}$ ,  $C_p^{\text{ид}}$  — теплоемкость, найденная в предположении, что раствор является идеальным. На рис. 4 построены графики величин  $C_p$  и  $\Delta C_p$  в зависимости от концентрации для системы метилловый спирт — бензол. Для этой системы удалось рассчитать также теплоемкость при постоянном объеме, используя данные И. Г. Михайлова и А. А. Чисторазума [11] по плотности и адиабатической сжимаемости и данные Н. Г. Шленкиной

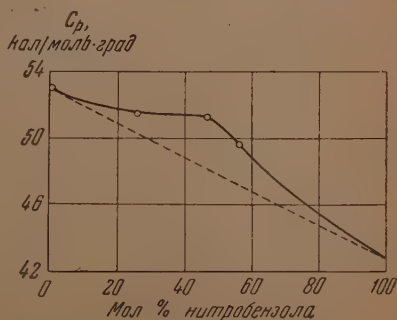


Рис. 3. Теплоемкость системы нитробензол—гептан при 19,5° С



по температурному коэффициенту объемного расширения. Из табл. 1 и рис. 4, 5 видно, что для  $C_V$  относительный рост теплоемкости выражен более ярко, чем для  $C_p$ .

Для сопоставления с данными по релеевскому рассеянию света на флуктуациях концентрации более подходит теплоемкость при постоянном объеме, чем теплоемкость при постоянном давлении. Дело в том, что  $C_{p,N_1,N_2}$  в (5) существенно зависит от флуктуаций плотности, которые не играют значительной роли в рассеянии света интересующими

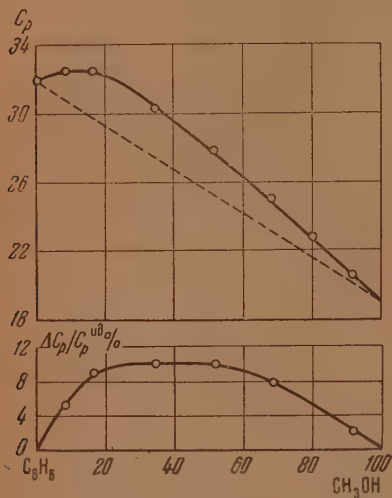


Рис. 4. Теплоемкость  $C_V$  и отступление от аддитивного хода теплоемкости для системы метиловый спирт—бензол

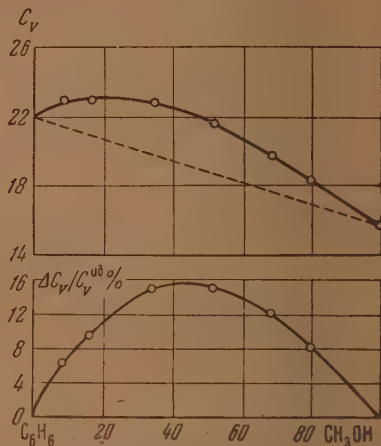


Рис. 5. Теплоемкость  $C_V$  и отступление от аддитивного хода теплоемкости для системы метиловый спирт—бензол

нас растворами, особенно при большом различии показателей преломления компонент раствора. Это видно из рис. 6, взятого из работы М. И. Шахпаронова и Н. Г. Шленкиной [10].

На рис. 6 построены графики для относительной интенсивности рассеяния света флуктуациями концентрации, флуктуациями анизотропии и флуктуациями плотности в системе метиловый спирт — бензол. За стандарт принималось рассеяние света четыреххлористым углеродом. Сравнение с этими данными наших результатов по теплоемкости (рис. 4, 5) показывает их качественное соответствие. Относительный рост теплоемкости  $C_V$  имеет такой же характер зависимости от концентрации, как интенсивность света, рассеянного на флуктуациях концентрации. Для  $C_p$  соответствие получается более грубое, в силу причины, на которую мы указали выше. Сравнение оптических и калориметрических данных для двух других систем  $\text{C}_6\text{H}_5\text{Cl} - \text{CH}_3\text{OH}$  и  $\text{CCl}_4 - \text{CH}_3\text{OH}$  также подтверждает наличие связи между теплоемкостью и флуктуациями концентрации в растворе.

В качестве еще одного объекта исследования мы выбрали систему бензол — четыреххлористый углерод, для которой не наблюдается аномалии концентрационного рассеяния света, а следовательно, не должно быть и аномалии теплоемкости.

Мы нашли в литературе [12] данные по теплоемкости этой системы и провели свои измерения теплоемкости. Как видно из рис. 7, зависимость теплоемкости от состава с достаточной точностью изображается прямой линией. Кружками обозначены наши результаты, треугольниками — данные из [12].

В заключение заметим, что флуктуации концентрации не являются, конечно, единственной формой проявления флуктуаций энергии в растворе; поэтому связь между теплоемкостью и флуктуациями concentra-

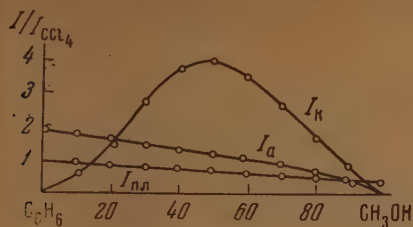


Рис. 6

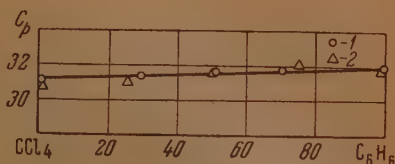


Рис. 7

Рис. 6. Интенсивность рассеяния света системой метиловый спирт — бензол.  $I_K$ ,  $I_{пл}$ ,  $I_a$  — интенсивности рассеяния на флуктуациях концентрации, плотности и анизотропии

Рис. 7. Теплоемкость системы бензол — четыреххлористый углерод; 1 — наши данные, 2 — данные Вильямса и Даниельса [12]

ции отражает лишь одну существенную сторону вопроса о теплоемкости растворов.

Благодарю проф. В. К. Семенченко за ценные советы и помощь в работе.

### ВЫВОДЫ

1. Указано на связь, существующую между теплоемкостью растворов и флуктуациями концентрации в них. Такая связь с очевидностью проявляется в критической области расслаивания, но не ограничивается только этой областью, а имеет более общий характер.

2. Измерена зависимость теплоемкости от концентрации для растворов различной природы. Проведено качественное сопоставление полученных результатов с наблюдениями релеевского рассеяния света.

Уральский политехнический институт  
им. С. М. Кирова  
Свердловск

Поступила  
24. I. 1955

### ЛИТЕРАТУРА

1. Дж. В. Гиббс, Основные принципы статистической механики, Гостехиздат, 1946.
2. M. Smoluchowsky, Ann. d. Phys., 25, 205, 1908.
3. В. К. Семенченко и В. П. Скрипов, Журн. физ. химии, 25, 362, 1951.
4. К. Г. Хомяков, В. А. Холлер и М. А. Некрашевич, Журн. физ. химии, 25, 1470, 1951.
5. G. Jura, D. Fraga, G. Maki, J. H. Hildebrand, Proc. Nation Acad. Sci., 39, 19, 1953.
6. В. П. Скрипов и В. К. Семенченко, Журн. физ. химии, 29, 174, 1955.
7. В. К. Семенченко, Журн. физ. химии, 21, 1461, 1947.
8. J. Friedländer, Zs. phys. Chem., 38, 385, 1901.
9. R. S. Krishnan, Proc. Ind. Acad. Sci., A1, 211, 915, 1935.
10. М. И. Шахпаров, Н. Г. Шленкина, ДАН, 96, 55, 1954; Журн. физ. химии, 28, 1922, 1954.
11. И. Г. Михайлов и А. А. Чисторазум, ДАН, 81, 779, 1951.
12. J. W. Williams, F. Daniels, Journ. Amer. Chem. Soc., 47, 1490, 1925.

## К ВОПРОСУ О ГИДРОЛИЗЕ СОЛЕЙ

В. В. Удовенко и Л. А. Введенская

Как известно, гидролиз солей сильных кислот и слабых оснований может быть выражен уравнением:



В этом случае в растворе появляется избыток ионов водорода. Соли же сильных оснований и слабых кислот дают в водных растворах избыток гидроксильных ионов. Так как количество гидролизовавшихся молекул соли равно количеству появляющихся в результате реакции ионов водорода или гидроксидов, то концентрацией последних можно воспользоваться для вычисления константы гидролиза.

Константа гидролиза соли сильной кислоты и слабого основания равна:

$$K_r = \frac{K_b}{K_o}, \quad (1)$$

или

$$K_r = \frac{\beta^2}{1 - \beta} c, \quad (2)$$

где  $K_b$  — константа ионного произведения воды,  $K_o$  — константа ионизации основания,  $\beta$  — степень гидролиза и  $c$  — концентрация соли.

Степень гидролиза может быть выражена как отношение числа гидролизовавшихся молекул соли к общему числу растворенных молекул:

$$\beta = \frac{[H^+]}{c}.$$

При помощи индикаторов концентрация ионов водорода может быть определена по уравнению [1]:

$$[H^+] = K_i \frac{\alpha}{1 - \alpha} = K_i \varphi,$$

где  $K_i$  — константа перехода индикатора,  $\alpha$  — доля общей концентрации индикатора, находящегося в кислотной форме,  $1 - \alpha$  — доля общей концентрации индикатора, находящегося в щелочной форме,  $\varphi$  — отношение кислотной формы индикатора к щелочной.

Отсюда

$$\beta = \frac{K_i \varphi}{c}. \quad (3)$$

Подставляя значения  $\beta$  из (3) в (2), получим:

$$K_r = \frac{K_i^2 \varphi^2}{c - K_i \varphi}. \quad (4)$$

Это уравнение позволяет вычислять константу гидролиза соли слабой одноосновной кислоты или основания, если известны константа перехода индикатора  $K_i$  и концентрация соли  $c$ . Уравнение (4) по виду аналогично тому, которое было получено В. И. Дуловой и Н. В. Востриловой [2] для вычисления констант ионизации кислот и оснований.

С целью экспериментальной проверки уравнения (4) нами были определены константы гидролиза некоторых солей в воде спектрофотомет-

рическим методом. Для этого использовались химически чистые соли: солянокислый гидроксилламин, азотистокислый калий, уксуснокислый калий и азотнокислый пиридин. Последний имел т. пл.  $117^{\circ}\text{C}$ . Растворы готовились на специально приготовленном бидистиллате.

Таблица 1

Соль	Константа ионизации кислоты или основания	Индикатор	Константа перехода индикатора	Концентрация соли	Константа гидролиза	
					найденная	вычисленная
Солянокислый гидроксилламин	$1,07 \cdot 10^{-8}$	Метилоранжевый	$2,84 \cdot 10^{-4}$	$8,9 \cdot 10^{-2}$	$9,07 \cdot 10^{-7}$	$9,42 \cdot 10^{-7}$
Азотнокислый пиридин . . . .	$2,04 \cdot 10^{-9}$	Метилоранжевый	$2,84 \cdot 10^{-4}$	$1,8 \cdot 10^{-2}$	$4,48 \cdot 10^{-8}$	$4,94 \cdot 10^{-8}$
Азотистокислый калий . . . . .	$4,00 \cdot 10^{-4}$	Бромкрезол-пурпурный	$3,98 \cdot 10^{-7}$	$6,0 \cdot 10^{-3}$	$2,64 \cdot 10^{-11}$	$2,52 \cdot 10^{-12}$
Уксуснокислый калий . . . . .	$1,70 \cdot 10^{-5}$	Бромкрезол-пурпурный	$3,98 \cdot 10^{-7}$	$2,9 \cdot 10^{-4}$	$5,46 \cdot 10^{-10}$	$5,93 \cdot 10^{-10}$

Результаты измерения приведены в табл. 1. В таблице даны также литературные данные констант ионизации кислот и оснований [3] и констант перехода индикаторов. Для расчета использовались концентрации солей, при которых  $\varphi = 1$ . В последней графе таблицы для сравнения приведены константы гидролиза, вычисленные по уравнению (1). Как видно из таблицы, найденные и вычисленные значения констант гидролиза изученных солей близки между собой.

В случае гидролиза кислых солей слабых двухосновных кислот [4] концентрация ионов водорода в растворе будет определяться уравнением:



Значение константы ионизации этой реакции представляет собой вторую константу ионизации данной кислоты. Следовательно, уравнение (4) может быть использовано также для нахождения вторых констант ионизации кислот и оснований.

Для вычисления вторых констант ионизации двухосновных кислот уже известными способами необходимо знать первую константу ионизации кислоты, концентрацию кислой соли и концентрацию водородных ионов [4].

Вычисление же по уравнению (4) требует знания констант перехода индикаторов, которые уже известны для большинства из них, и концентрации соли при данном значении  $\varphi$ . Для расчетов пользуются концентрацией соли при  $\varphi = 1$ .

Нами были определены спектрофотометрическим методом константы ионизации некоторых двух- и трехосновных кислот и двухкислотных оснований в водных растворах.

Для работы были взяты химически чистые кислые соли: солянокислый хинин, бифталат калия и виннокислый калий. Натриевые же соли лимонной и фосфорной кислот, различной степени замещения, получались путем прибавления к растворам химически чистых кислот соответствующего количества раствора химически чистой щелочи. Затем эти растворы доводились до нужной концентрации. Азотнокислый анабазин, как и раньше [5], готовился из химически чистой азотной кислоты и анабазина, полученного из технического анабазинсульфата предложенным нами методом [6] и подвергнутого дополнительной тщательной очистке.

Результаты измерения последующих констант диссоциации приведены в табл. 2. Величины констант перехода использованных индикаторов [3]



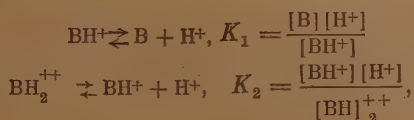
Таблица 2

Соль	Концентрация соли	Индикатор	Константа перехода индикатора		Константа ионизации кислоты (основания)						литературные данные		
			K	pK	K <sub>a</sub>	pK <sub>2</sub>	K <sub>3</sub>	pK <sub>3</sub>	pK <sub>2</sub>	pK <sub>3</sub>	pK <sub>2</sub>	pK <sub>3</sub>	pK <sub>3</sub>
Винокислый калий однозамещенный . . . . .	$7,2 \cdot 10^{-6}$	Метилкрасный	$2,00 \cdot 10^{-5}$	4,70	$5,6 \cdot 10^{-5}$	4,25	—	—	2,98	4,34	—	—	—
Бифталат калия . . . . .	$8,0 \cdot 10^{-5}$	Метилкрасный	$2,00 \cdot 10^{-5}$	4,70	$5,0 \cdot 10^{-6}$	5,30	—	—	2,89	5,41	—	—	—
Лимоннокислый натрий однозамещенный . . . . .	$2,3 \cdot 10^{-5}$	Метилкрасный	$2,00 \cdot 10^{-5}$	4,70	$1,8 \cdot 10^{-5}$	4,75	—	—	3,08	4,74	5,40	—	—
Лимоннокислый натрий двухзамещенный . . . . .	$1,1 \cdot 10^{-4}$	Метилкрасный	$2,00 \cdot 10^{-5}$	4,70	—	—	$3,6 \cdot 10^{-6}$	5,44	3,08	4,74	5,40	—	—
Фосфорнокислый натрий однозамещенный . . . . .	$1,4 \cdot 10^{-2}$	Ализарин красный	$3,20 \cdot 10^{-5}$	4,50	$7,3 \cdot 10^{-8}$	7,14	—	—	2,12	7,21	12,67	—	—
Фосфорнокислый натрий двухзамещенный . . . . .	$2,6 \cdot 10^{-4}$	Тропеслин 000	$1,00 \cdot 10^{-8}$	8,00	—	—	$3,8 \cdot 10^{-13}$	12,41	2,12	7,21	12,67	—	—
Солянокислый хинин однозамещенный . . . . .	$3,5 \cdot 10^{-4}$	Бромкрезолпулурный	$3,98 \cdot 10^{-7}$	6,40	$4,5 \cdot 10^{-10}$	9,35	—	—	6,66	9,48	—	—	—
Азотнокислый анабазин однозамещенный . . . . .	$2,2 \cdot 10^{-2}$	Бромкрезолпулурный	$3,98 \cdot 10^{-7}$	6,40	$7,2 \cdot 10^{-12}$	11,14	—	—	4,81	—	—	—	—

и констант ионизации хинина, о-фталевой, винной, лимонной и фосфорной кислот [2] взяты из литературы. Первая константа ионизации анабазина была определена нами совместно с В. И. Дуловой [7].

Как видно из табл. 2, найденные константы ионизации кислот и оснований хорошо согласуются с литературными данными.

В недавно опубликованной статье, посвященной анабазину [8], Линнел рассматривает константы ионизации анабазина как кислоты по уравнениям:



где анабазин как двухкислотное основание обозначен буквой В.

В своей статье автор приводит лишь значение  $K_2$ . Относительно же константы  $K_1$  он пишет, что ее значение примененным им методом определить нельзя и что, по его предположению, она должна быть близкой к значению константы пиперидина.

В настоящей статье, как и в предыдущей [7], нами приводятся значения констант ионизации анабазина как основания.

Если пересчитать значение константы ионизации пиперидина как кислоты на значение константы его как основания, то  $pK_1$  будет равен 2,9. Это значение Линнел принимает как величину  $pK_1$  для анабазина. Найденное же нами значение  $pK_1 = 4,81$  [7]. Отсюда следует, что предположение Линнела не оправдывается и анабазин является более слабым основанием, чем пиперидин.

Если таким же образом пересчитать данные работы [8] для второй константы ионизации анабазина как основания, то  $pK_2$  будет равен 10,79, а то время как экспериментально найденное нами значение  $pK_2 = 11,14$ .

Такое расхождение нужно объяснить тем обстоятельством, что Линнел работал с анабaziном, имевшим показатель преломления  $n_D^{25} = 1,5387$ . По нашим данным [6], анабазин с таким показателем преломления содержит около 11% лупинина, более сильного основания, чем анабазин. Присутствие в анабазине более сильного основания, лупинина, который всегда содержится в анабазине при недостаточно тщательной его очистке, и приводит к понижению значения  $pK_2$ .

Как показали В. И. Дулова и Н. В. Вострилова [4], предложенным нами методом можно находить значения констант перехода индикатора, при отсутствии данных о величине константы ионизации кислоты. Это дает большие возможности для нахождения констант перехода индикаторов в неводных средах. Знание же последних позволяет применять уравнение (4) для нахождения констант сольволиза солей и вторых констант ионизации кислот и оснований в неводных растворителях.

Нами были проведены определения констант сольволиза некоторых солей в ацетоне как растворителе. Измерения проводились с индикатором нейтральный красный, константа перехода которого в ацетоне равна  $K_i = 3,65 \cdot 10^{-6}$  [9]. В качестве солей были взяты  $\beta$ -нафталинсульфоновокислый триметиламин и солянокислый лупинин, которые показывают в ацетоновых растворах кислую реакцию.

Результаты измерений приведены в табл. 3. В этой таблице помещены взятые из литературы [2] значение константы ионизации триметиламина и найденные нами значения констант ионизации лупинина в воде и ацетоне, а также триметиламина в ацетоне как растворителе [7]. В таблице также приведены концентрации соли при  $\varphi = 1$  и константы сольволиза.

В случае однозамещенных солей двухкислотных оснований по формуле (4) можно найти их вторую константу ионизации в неводных раствори-

Таблица 3

Соль	Константа ионизации свободных оснований			Концентрация соли	Константа сольволиза
	вода <i>pK</i>	ацетон			
		<i>K</i>	<i>pK</i>		
$\beta$ -Нафталинсульфо- вокислый триметил- амин . . . . .	4,13	$4,39 \cdot 10^{-8}$	5,37	$3,70 \cdot 10^{-4}$	$3,60 \cdot 10^{-8}$
Солянокислый лупи- нин . . . . .	3,84	$3,06 \cdot 10^{-5}$	4,51	$3,80 \cdot 10^{-3}$	$3,50 \cdot 10^{-9}$

телях. Нами была определена вторая константа ионизации анабазина в ацетоне как растворителе в присутствии индикатора—нейтральный красный. Для этого надо знать величину константы перехода индикатора как основания. Используемое же нами ранее значение константы представляет собой константу перехода индикатора нейтральный красный как кислоты. Однако вычислить значение константы перехода индикатора как основания можно легко из константы его как кислоты по уравнению:

$$K_{io} = \frac{K_a}{K_{ик}},$$

если известна константа автопротолиза ацетона  $K_a$  [3]. Здесь  $K_{io}$  представляет собой константу перехода индикатора как основания, а  $K_{ик}$ — как кислоты. Константу автопротолиза ацетона можно легко найти из данных по сольволизу, приведенных в табл. 3, по уравнению:

$$K_c = \frac{K_a}{K_o}$$

где  $K_c$  — константа сольволиза, а  $K_o$  — константа ионизации основания.

Среднее значение  $K_a = 1,30 \cdot 10^{-13}$ . Отсюда значение константы перехода индикатора как основания в ацетоне будет:

$$K_{io} = \frac{1,30 \cdot 10^{-13}}{3,65 \cdot 10^{-8}} = 3,56 \cdot 10^{-8}.$$

Теперь можно рассчитать константу сольволиза однозамещенных солей анабазина, которая одновременно будет являться второй константой ионизации свободного анабазина в ацетоне.

В табл. 4 приведены расчеты второй константы ионизации трех однозамещенных солей анабазина с различными кислотами.

Таблица 4

Соль	Концентрация соли	Вторая константа ионизации анабазина	
		$K_2$	$pK_2$
Монохлоргидрат анабазина	$9,20 \cdot 10^{-4}$	$1,38 \cdot 10^{-12}$	11,86
Монобромгидрат анабазина	$8,05 \cdot 10^{-4}$	$1,46 \cdot 10^{-12}$	11,83
Моноидгидрат анабазина	$4,56 \cdot 10^{-4}$	$2,78 \cdot 10^{-12}$	11,56
		Среднее	11,75

В таблице даются концентрации соли в ацетоне при  $\varphi = 1$  и значения констант сольволиза солей, или второй константы ионизации анабазина, вычисленные по уравнению (4). Как видно из таблицы, значения второй константы ионизации анабазина, найденные по трем разным солям, хорошо согласуются между собой.

### ВЫВОДЫ

1. Показано, что по спектрофотометрическим данным можно вычислять константы гидролиза и сольволиза солей, используя для этого уравнение, при помощи которого находятся константы ионизации кислот и оснований.
2. Показана также применимость этого уравнения для вычисления оследующих констант ионизации многоосновных кислот и многокислотных оснований.
3. Найдено значение второй константы ионизации анабазина в воде и ацетоне.

Киевский политехнический  
институт

Поступила  
31.I.1955

### ЛИТЕРАТУРА

1. Ю. В. Карякин, Кислотно-основные индикаторы, Госхимиздат, М.—Л., 1951.
2. В. И. Дулова и Н. В. Вострилова, ДАН УзССР, 12, 14, 1948.
3. L.-В. II Erg. 1079; Ю. Ю. Лурье, Расчетные и справочные таблицы для химиков, Госхимиздат, 1947.
4. A. A. Neues. Zs. phys. Chem., 11, 495, 1893; И. М. Кольтгоф, Применение цветных индикаторов, Научное хим.-тех. изд., Л., 1929.
5. В. В. Удовенко и Л. А. Введенская, Журн. общ. химии, 19, 965, 1949.
6. В. В. Удовенко, О. И. Гранитова и Л. А. Введенская, Журн. общ. химии, сб. II, 1124, 1953.
7. В. В. Удовенко, Л. А. Введенская и В. И. Дулова, Журн. общ. химии, 23, 2060, 1953.
8. R. H. Lippell, Journ. Amer. Chem. Soc., 76, 1391, 1954.
9. В. И. Дулова, ДАН УзССР, 2, 19, 1952.



# ИЗУЧЕНИЕ ВЗАИМОДЕЙСТВИЯ ТЕТРАЭТОКСИСИЛАНА С ХЛОРНЫМ, БРОМНЫМ И ИОДНЫМ ОЛОВОМ

Ю. Н. Вольнов

Взаимодействие тетраэтоксисилана с галогенидами металлов почти не изучалось.

Указывалось на разложение тетраэтоксисилана при действии галогенидов алюминия и фосфора [1], Б. Н. Долгов и М. Г. Воронков [2] исследовали действие иодистого алюминия на гексаэтилсилоксан.

Целью настоящей работы являлось изучение систем, образуемых тетраэтоксисиланом с галогенидами олова, и разложения образующихся соединений.

Ввиду непрочности образующихся соединений при температуре выше 60° термический анализ систем тетраэтоксисилан—галогениды олова не

Таблица 1\*

Ион	Заряд Z	Радиус по Голдшмидту в Å	$\frac{Z}{r^2}$	$\alpha \cdot 10^{24}$
Si . . .	+4	0,39	26,3	—
Sn . . .	+4	0,74	7,8	—
J . . .	—1	2,20	0,21	6,05
Br . . .	—1	1,96	0,26	4,04
Cl . . .	—1	1,81	0,30	3,06
C <sub>2</sub> H <sub>5</sub> . .	+1	—	—	3,91 [4]
O . . .	—2	1,32	1,15	0,57 [4]

\* Поляризуемость C<sub>2</sub>H<sub>5</sub> рассчитана по данным атомных рефракций углерода и водорода; поляризуемость кислорода по данным рефракции гидроксильного кислорода.

в виде молекул, не образуют.

Интересно отметить, что разложение соединения (C<sub>2</sub>H<sub>5</sub>O)<sub>4</sub>Si·SnCl<sub>4</sub> при достижении температуры плавления идет самопроизвольно уже в отсут-

ствии нагрева, что, повидимому, указывает на положительный тепловой эффект реакции.

Для объяснения особенностей разложения вышеуказанного соединения интересно сопоставить поляризующее действие и поляризуемость ионов и групп атомов, входящих в его состав (табл.1) [4].

Так как возникновение донорно-акцепторной связи при образовании вышеуказанных соединений возможно за счет неразделенных электронных пар иона кислорода, то с увеличением поляризующего действия присоединенного иона прочность ее должна увеличиваться.

Очевидно, что реакция диспропорционирования, наблюдающаяся при действии на тетраэтоксисилан хлористого кремния [5], невозможна в случае действия SnCl<sub>4</sub> и AlCl<sub>3</sub> ввиду значительно большего поляризующего действия иона кремния по сравнению с ионами олова и алюминия, что и подтверждается опытом.

Направление разрушения соединений при нагревании определяется поляризуемостью составляющих его ионов. С возрастанием поляризуемости связь ионов галогенов с ионами олова уменьшается (обратный ряд прочности). Так как поляризуемость иона кислорода меньше, чем хлора, брома или иода, то при нагревании от ионов олова отщепляются ионы галогенов, а донорно-акцепторная связь иона кислорода переходит в валентную. Одновременно происходит отщепление  $C_2H_5$  от иона кислорода, что приводит к образованию хлористого этила. Реакция взаимодействия тетраэтоксисилана с хлорным оловом идет по схеме:



Отсутствие соединений тетраэтоксисилана с бромным и иодным оловом объясняется экранирующим эффектом ионов брома и иода [6]. Следует отметить, что нагревание смесей этих веществ не приводит к выделению бромистого или иодистого этила, как можно было бы ожидать по аналогии с действием хлорного олова, что, очевидно, связано с отсутствием в смеси продуктов присоединения исходных компонентов.

В работе применялись двукратно перегнанные хлорное и бромное олово. Иодное олово многократно перекристаллизовывалось из сухого бензола. Тетраэтоксисилан очищался пятикратной фракционированной перегонкой.

Для исследования систем тетраэтоксисилан — хлорное олово, тетраэтоксисилан — бромное олово и тетраэтоксисилан — иодное олово были рассчитаны навески компонентов систем и бензола так, чтобы определения понижения температур замерзания растворов производились при нескольких одинаковых моляльных концентрациях.

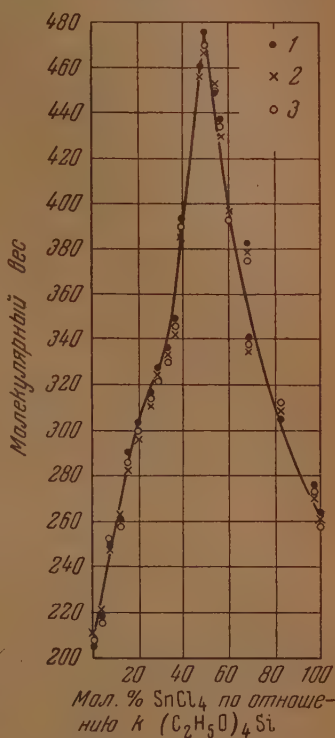
Определения производились в обычном криоскопе при помощи термометра Бекмана, но при этом сосуд криоскопа был изолирован от влаги воздуха.

Результаты опытов приведены на рисунке, из которого видно, что кривые молекулярный вес — соотношение числа молей  $SnCl_4$  к числу молей  $(C_2H_5O)_4Si$  имеют максимум при 50 мол. %  $SnCl_4$ , что соответствует составу соединения  $(C_2H_5O)_4Si \cdot SnCl_4$ .

Данные по криоскопическому изучению систем  $(C_2H_5O)_4Si-SnBr_4$  и  $(C_2H_5O)_4Si-SnI_4$  приведены в табл. 2.

Как видно из приведенных данных, нельзя сделать заключение об образовании устойчивых соединений  $SnBr_4$  и  $SnI_4$  с тетраэтоксисиланом. Эти соединения не обнаружены и при препаративном их получении. Пониженные молекулярные веса, найденные для  $SnI_4$ , вероятно, объясняют его диссоциацией на  $SnI_2$  и  $I_2$ .

Препаративное получение соединения  $(C_2H_5O)_4Si$  и  $SnCl_4$  заключалось в смешении компонентов при охлаждении, отделении образующихся кристаллов и продувки их сухим воздухом. Соединение  $(C_2H_5O)_4Si \cdot SnCl_4$  получено также сменением паров хлорного олова и тетраэтоксисилана, находящихся в отдельных пробирках. Соединение



1 — концентрация 0,1; 2 — концентрация 0,05; 3 — концентрация 0,025 M/1000 г

Таблица 2

Моляльная концент- рация	0,1	0,5	Моляльная кон- центрация	0,05	0,025
Мол. % $\text{SnBr}_4$ по отношению к $(\text{C}_2\text{H}_5\text{O})_4\text{Si}$	Найденн. молекул. вес	Найденн. молекул. вес	Мол. % $\text{SnJ}_4$ по отношению к $(\text{C}_2\text{H}_5\text{O})_4\text{Si}$	Найденн. молекул. вес	Найденн. молекул. вес
12,0	232	235	10,2	251	250
16,1	246	245	21,2	298	296
22,1	262	263	29,9	335	340
27,2	273	274	41,1	379	371
32,4	284	282	50,0	415	421
44,4	312	310	60,2	452	449
50,0	338	331	69,9	500	499
51,1	348	341	81,1	541	529
70,2	373	370	91,2	560	530
85,5	408	402			

кристаллизовалось на стенках колбы, в которой находились пробирки. Этим путем получено наиболее чистое вещество, что видно по его температуре плавления, наиболее высокой из всех образцов вещества, полученных различными способами.

Свойства и результаты анализа соединения  $(\text{C}_2\text{H}_5\text{O})_4\text{Si} \cdot \text{SnCl}_4$  сведен в табл. 3.

Таблица 3

Свойства	Кристаллизация из жидкой фазы	Кристалли- зация из паровой фазы
Температура плавления	69°	76°
» разложения	75—78°	76—78°
Найденный молекуляр- ный вес (бензол) . . .	460	471
Содержание Cl % . . .	29,89	30,31
» Si % . . .	6,13	5,95
Рассчитанная формула	$(\text{C}_2\text{H}_5\text{O})_4\text{Si} \cdot \text{SnCl}_4$	

Вещество растворимо в бензоле, толуоле, галогенпроизводных, эфирах и спиртах (алкоголиз). Бесцветные кристаллы гидролизуются влагой воздуха. Разложение соединения велось таким образом, что объем выделяющихся газов мог быть точно измерен. Идентификация хлористого этила производилась получением этиламина. Анализ твердого остатка производился весовым путем. Полученные результаты сведены в табл. 4.

Таблица 4

Температура разложения	Начало разложения 76° Конечная температура 200°
Газообразные продук- ты разложения	При разложении 0,2 соединения вы- делилось 28,3 мл (в перерасчете на нормальные условия). Рассчи- тано по реакции 38,2 мл Получен действием раствора аммиака солянокислый этиламин
Твердые продукты разложения	Содержание $\text{SiO}_2$ 28,41 » $\text{SnO}_2$ 71,60 Потери при прокаливании % 0,02

Как видно из данных таблицы, разложение соединения на хлористый этил и смесь окислов кремния и олова протекает количественно.

### ВЫВОДЫ

1. Криоскопическим методом изучены системы: тетраэтоксисилан — хлорное олово; тетраэтоксисилан — бромное олово; тетраэтоксисилан — иодное олово.
2. Обнаружено и выделено соединение хлорного олова с тетраэтоксисиланом.
3. Изучено термическое разложение выделенного соединения.

Технологический институт  
холодильной промышленности  
Ленинград

Поступила  
18.II.1955

### ЛИТЕРАТУРА

1. H. N. Stokes, Amer. Chem. Journ., 14, 438, 545, 1893.
2. М. Г. Воронков, Б. Н. Долгов, Н. А. Дмитрива, ДАН, 84, 959, 1952.
3. В. В. Удовенко, Журн. общ. химии, 11, 276, 1941.
4. В. Хюккель, Теоретические основы орган. химии, т. II, ОНТИ, Ленинград, 1936.
5. Ю. Н. Вольнов, Журн. общ. химии, 17, 1428, 1947.
6. А. А. Гринберг, Введение в химию комплексных соединений, Госхимиздат, 1951.



## АКТИВНОСТЬ ГЕТЕРОГЕННЫХ КАТАЛИЗАТОРОВ С ТОЧКИ ЗРЕНИЯ ТЕОРИИ АКТИВНЫХ АНСАМБЛЕЙ

### 1. МЕТАЛЛИЧЕСКИЕ КРИСТАЛЛЫ

О. М. Полторак

После издания Н. И. Кобозевым [1] теории активных ансамблей и широкого изучения на ее основе каталитических и физических свойств разведенных слоев стали ясно, что атомы и их небольшие группировки, адсорбированные на поверхности кристаллов, играют существенную роль в гетерогенном катализе. Этот взгляд, высказанный сначала при рассмотрении свойств катализаторов, полученных нанесением активного вещества на неактивный адсорбент (адсорбционные катализаторы), был впоследствии распространен на всю область гетерогенного катализа, так как оказалось, что при переходе от сильно разведенных (атомизированных) слоев активного вещества к концентрированным частично закристаллизованным слоям не меняются ни строение активных центров, ни их активность [2], ни энергия активации [3], ни кинетические законы протекания каталитического процесса [4].

С точки зрения теории активных ансамблей и в случае кристаллических катализаторов активность обусловлена находящейся на поверхности атомной фазой, а кристаллы играют роль ее носителя и фиксатора.

Однако, несмотря на многочисленные аргументы, полученные в подтверждение теории, вытекающей из гетерогенных катализаторов, как на основе каталитических измерений, так и путем изучения физических свойств катализаторов [5], которыми вполне отчетливо показано различие свойств (например, магнитной восприимчивости и др.) кристаллического и каталитического активного вещества, существует неправильное представление о том, что область применения теории активных ансамблей является только разведенными слоями адсорбционных катализаторов, а для кристаллических катализаторов атомная фаза всегда термодинамически и кинетически неустойчива и должна быстро переходить в кристаллическую.

Однако подобные соображения применимы только достаточно крупным и при этом идеальным, но не «реальным» кристаллам. Одной из основных особенностей последних является то, что целый ряд их свойств, называемых структурно-чувствительными (электропроводность ряда полупроводников, люминесценция кристаллоформов, каталитические свойства и др.), обусловлена дефектами решетки и не характерен для идеально построенных кристаллов тех же веществ.

Уже давно известный взгляд на дефекты решетки как на случайные нарушения условий построения кристаллов. В работах Вагнера и Шоттки и Френкеля [6] рассмотрен вопрос о равновесных ст. с. минимальных концентрациях объемных микродефектов решетки, связанных с нерегулярным расположением отдельных атомов или ионов, и показана термодинамическая обязательность присутствия «дефектов по Шоттки» и «дефектов по Френкелю» (рис. 1) в любых кристаллах при достаточно высоких температурах. Статистическим механизмом их осуществления является тепловое флуктуация энергии отдельных частей кристалла при достаточно высоких температурах (тепловой беспорядок).

В ряду таких дефектов атомная фаза на поверхности кристаллов можно рассматривать как новую тип дефектов поверхности решетки и назвать «дефектами по Кобозеву» (рис. 1).

В применении к адсорбции и катализу представление о подобных дефектах было также использовано Ф. Ф. Волькенштейном [7], однако без учета их числа на кристаллах различной структуры и без естественной связи с теорией активных ансамблей, основная идея которой состоит в утверждении каталитических свойств таких дефектов.

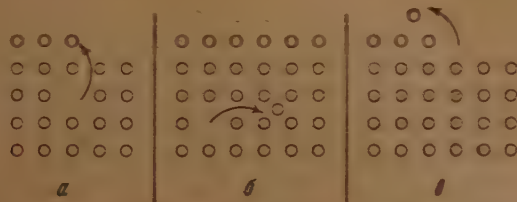


Рис. 4. Основные типы микродефектов в кристалле: а — дефекты по Шоттле; б — дефекты по Френкелю; в — каталитически активные дефекты по Кобозеву

В настоящей работе рассмотрена термодинамика каталитически активных «дефектов по Кобозеву».

Из общих соображений относительно неравновесных структур ясно, что термодинамическая оценка может дать только обязательную нижнюю границу возможных значений концентрации атомной фазы на поверхности реальных кристаллов. В действительности она может быть значительно выше. Однако эта трудность не является специфической трудностью термодинамики разбираемых дефектов, а неизбежно сопутствует всякому расчету равновесного числа дефектов реальных кристаллов, и с ней всегда встречаются при рассмотрении их различных структурно-чувствительных свойств.

## ОБ ОПРЕДЕЛЕНИИ АТОМНОЙ ФАЗЫ И ЕЕ РАВНОВЕСИЯ С КРИСТАЛЛИЧЕСКОЙ

Атомной фазой мы будем называть совокупность элементарных на поверхности кристаллов отдельных атомов и их небольших группировок, не являющихся структурными элементами кристаллографических сеток или решеток (или «вакуумность дефектов поверхности решетки по Кобозеву»). Основную атомную группировку мы будем называть ансамблем. Понятие фазы здесь используется не в смысле правила фаз, а аналогично термодинамическому понятию вещества при термодинамическом анализе адсорбционных явлений. Формальное термодинамическое рассмотрение позволяет приписать атомной фазе определенный химический потенциал, даже ниже.

Термодинамический анализ условий равновесия атомной и кристаллической фаз имеет много общих черт с теорией [8] возникновения зародышей новых фаз и их равновесия с пересыщенными растворами.

Основная особенность такого рассмотрения состоит в том, что рассматривается равновесие только наиболее активных элементов системы. Зародыши кристаллов находятся в равновесии с пересыщенным раствором, который неравновесен относительно макрокристаллов. Аналогично атомная фаза на поверхности может находиться в равновесии с мельчайшими кристалликами, но вместе с ними не быть равновесной относительно крупных кристаллов. По крайней мере гетерогенного равновесия атомная концентрация атомной фазы будет поддвигаться до тех пор, пока в системе существуют кристаллики данного (здесь — минимального) размера и будут. Это позволяет, не рассматривая гетерогенности кристаллической фазы, считать ее заданной условиями получения и определять концентрацию атомной фазы, исходя из условия ее равновесия с наиболее активными (мельчайшими) кристалликами, присутствие которых устанавливается на опыте. В этом относительно смысле, применяемом также в теории возникновения новых фаз, понятие равновесия будет использоваться в дальнейшем.

Однако понятия атомной фазы и зародыша не совпадают, так как первых — трехмерные зародыши, каждый в отдельности, являются термодинамически определенными индивидуумами с таким же и сбалансированным расположением атомов, как и для макрокристаллической фазы, а каталитически активные дефекты не всегда обладают такими свойствами и могут термодинамически рассматриваться только как совокупность

частиц, аналогично газам или растворам. По этой причине нельзя дать термодинамической теории одномерных зародышей, по можно рассматривать одноатомные ансамбли как особые дефекты поверхности решетки или как элементы особой «фазы», аналогичной поверхностным растворам. Эта фаза пересыщена относительно макрокристаллов и равновесна с микрокристаллами.

Так как равновесная концентрация атомной фазы зависит от размера и свойств кристаллов, то ниже будут рассмотрены условия ее сосуществования с идеальными и реальными кристалликами размером вплоть до 20 Å, присутствие которых (см. табл. 4) в реальных катализаторах доказано многочисленными рентгенографическими и электронографическими исследованиями [9, 10].

### РАВНОВЕСИЕ АТОМНОЙ ФАЗЫ С ИДЕАЛЬНЫМИ КРИСТАЛЛАМИ РАЗЛИЧНЫХ РАЗМЕРОВ

Пусть путем разрушения целого числа слоев решетки, т. е. без нарушения идеальности строения объемной решетки кристалла, на его поверхности образовалась атомная фаза. Определим ее равновесную концентрацию, соответствующую двумерной упругости пара кристаллической фазы. При постоянной температуре и объеме равновесная конфигурация кристалла в целом (вместе с атомной фазой) характеризуется минимумом свободной энергии относительно возможных изменений конфигурации системы.

Если  $\Delta F_{\text{ат}}$  — изменение свободной энергии при образовании атомной фазы, то ее равновесная концентрация может быть найдена из общего условия устойчивости структуры кристалла

$$\left( \frac{\partial \Delta F_{\text{ат}}}{\partial n_i} \right)_T = 0 \quad (1)$$

(где  $n_i$  — число молей атомной фазы на поверхности), которое можно записать в виде, оправдывающем отдельное термодинамическое рассмотрение атомной и кристаллической фазы:

$$\left( \frac{\partial \Delta F_{\text{ат}}}{\partial n_i} \right)_T = \Delta \left( \frac{\partial F}{\partial n_i} \right)_T = \mu_{\text{ат}} - \mu_{\text{кр}} = 0, \quad (2)$$

где  $\mu_{\text{ат}}$  — химический потенциал атомной фазы;  $\mu_{\text{кр}}$  — химический потенциал кристаллической фазы.

Так как

$$\Delta F = \Delta U - T \Delta S,$$

то поставленная задача сводится к определению изменений внутренней энергии и энтропии при атомизации кристалла.

Изменение энтропии может быть найдено следующим образом. При атомизации энтропия меняется в основном за счет увеличения числа различных состояний, доступных атомной фазе («перестановочная энтропия»), и за счет изменения частот колебаний при переходе из решетки на поверхность («колебательная энтропия»). Здесь мы с достаточным приближением не рассматриваем энтропии поступательного движения дефектов. Если поверхность кристалла содержит  $M$  атомов, на которых распределено  $m = n_1 N_0$  атомов аморфной фазы, то число способов размещения отдельных атомов атомной фазы

$$P_1 = \frac{M!}{(M-m)! m!},$$

где  $N_0$  — число Авогадро,  $n_1$  — число молей атомной фазы. При  $M \gg m \gg 1$ , т. е.  $\alpha \ll 1$ , соответствующем рассматриваемому случаю, применяя формулу Стирлинга, легко получить для «перестановочной энтропии»

$$\Delta S'_{\text{атомиз}(1)} = -\Delta S'_{\text{нонд}} = k \ln P_1 = k m_1 \ln \frac{M-m_1}{m_1} = n_1 R \ln \left( \frac{1}{\alpha_1} - 1 \right),$$

$$\Delta S'_{\text{атомиз}(1)} \approx n_1 R \ln \frac{1}{\alpha_1},$$

где  $\alpha_1 = m_1 / M$  — степень заполнения поверхности отдельными атомами.



При переходе атомов из решетки кристалла на его поверхность происходит изменение частот колебаний, что сопровождается изменением энтропии.

Для простейших решеток, построенных из отдельных атомов или ионов, спектр частот колебаний атомов решетки определяется законом Дебая

$$N(\nu) \Delta\nu = 9N \frac{\nu^2}{\nu_{\text{макс}}^3} \Delta\nu,$$

где  $\nu_{\text{макс}}$  — максимальная частота, определяющая характеристическую температуру Дебая

$$\theta = \frac{h\nu_{\text{макс}}}{k}.$$

Из статистической термодинамики известно [11], что в этом случае термодинамические функции кристаллов определяются частотой  $\nu_{\text{макс}}$ . С точки зрения анализа термодинамических свойств  $3N$  частот колебаний  $N$  атомов кристалла, распределенных по закону Дебая, эквивалентны одинаковым  $3N$  частотам  $\nu_{\text{макс}}$ :

$$S_{\text{пол. реш}} = 3Nk \left\{ \frac{4}{3} - \ln \frac{h\nu_{\text{макс}}}{kT} + \dots \right\}.$$

При переходе из решетки в атомную фазу некоторые частоты колебаний атомов в плоскости, параллельной грани кристалла, окажутся сильно уменьшенными, соответственно уменьшению коэффициента квазиупругой силы, из-за отсутствия ближайших соседей, тогда как колебания, перпендикулярные грани, заметно не отличаются по частоте от колебаний поверхностных атомов решетки кристалла в этом же направлении. Для полиатомных ансамблей колебания в плоскости, параллельной грани кристалла, будут соответствовать частотам крутильных и деформационных колебаний. При переходе  $m$  атомов из решетки в атомную фазу изменение энтропии в первом приближении:

$$\text{для одноатомных ансамблей } \Delta S''_{\text{атомиз (1)}} = mk \ln \left( \frac{\nu_{\text{макс}}}{\nu_1} \right)^2,$$

$$\text{для двухатомных ансамблей } \Delta S''_{\text{атомиз (2)}} = \frac{m}{2} k \ln \left( \frac{\nu_{\text{макс}}}{\nu_{\text{кр 2}}} \right),$$

где  $\nu_{\text{кр 2}}$  — частота крутильных колебаний двухатомного ансамбля на поверхности кристалла в плоскости, параллельной его грани;  $\nu_{\text{макс}}$  — характеристическая частота колебаний кристалла по Дебаю;  $\nu_1$  — частота (дважды вырожденная) колебаний отдельного атома в плоскости, параллельной грани кристалла. Здесь принято, что остальные частоты (валентных) колебаний ансамблей заметно не отличаются от частот колебаний атомов в решетке.

Общее изменение энтропии при атомизации  $n_1$  грамм-атомов из кристалла до одноатомных ансамблей на поверхности

$$\Delta S_{\text{атомиз (1)}} = \Delta S'_{\text{ат (1)}} + \Delta S''_{\text{ат (1)}} = n_1 R \ln \frac{1}{\alpha_1} + n_1 R \ln \left( \frac{\nu_{\text{макс}}}{\nu_1} \right)^2.$$

При образовании двухатомных ансамблей из  $m$  атомов на поверхности, содержащей  $M$  мест, они распределяются в виде  $m/2$  отдельных частичек

$$P_2 = \frac{M!}{(M-m)! \frac{m}{2}!}.$$

Отсюда, учитывая приведенное выше изменение колебательной энтропии, получим при малых значениях  $m/M$

$$\Delta S_{\text{атомиз (2)}} = k \ln P_2 + \frac{m}{2} k \ln \frac{\nu_{\text{макс}}}{\nu_{\text{кр 2}}} = \frac{n}{2} R \ln \frac{1}{\alpha_2} + \frac{n}{2} R \ln \frac{\nu_{\text{макс}}}{\nu_{\text{кр 2}}},$$

где  $\alpha_2 = \frac{m}{2M}$  — молярная доля двухатомных ансамблей на поверхности

Аналогично предыдущему для трехатомных ансамблей

$$P_3 = \frac{M!}{(M-m)! \frac{m}{3}!},$$

$$\Delta S_{\text{атомиз (3)}} = \frac{n}{3} R \ln \frac{1}{\alpha_3} + \frac{n}{3} R \ln \frac{\nu_{\text{макс}}}{\nu_{\text{кр 3}}}.$$



Здесь  $\nu_{кр 3}$  — частота крутильных колебаний трехатомного ансамбля относительно поверхности кристалла;  $\alpha_3 = m/3M$  — молярная доля трехатомных ансамблей на поверхности.

Выражения для  $P_2$  и  $P_3$  можно получить, рассматривая флуктуации распределения одноатомных ансамблей на поверхности. Учитывая вероятность того, что  $m/2$  атомов в областях, содержащих по два атома размером  $2M/m$ , займут места, смежные (для простого кубического кристалла — одно из четырех окружающих) другим произвольно расположенным  $m/2$  атомам, для  $P_2$  получим

$$P_2 = \frac{M!}{(M-m)! m!} \left(\frac{2m}{M}\right)^{m/2}.$$

Это выражение совпадает с приведенным выше при соблюдении нашего условия  $m \ll M$ .

Приведенный анализ показывает, что изменение энтропии при переходе  $n$  грамм-атомов катализатора на поверхность в виде одно-, двух- или трехатомных ансамблей равно

$$\Delta S_{\text{атомиз (1)}} = nR \ln \frac{1}{\alpha_1} + nR \ln B_1(\nu); \quad (4)$$

$$\Delta S_{\text{атомиз (2)}} = \frac{n}{2} R \ln \frac{1}{\alpha_2} + \frac{n}{2} R \ln B_2(\nu); \quad (5)$$

$$\Delta S_{\text{атомиз (3)}} = \frac{n}{3} R \ln \frac{1}{\alpha_3} + \frac{n}{3} R \ln B_3(\nu) \quad (6)$$

где  $\alpha_1 = m/M$ ,  $\alpha_2 = m/2M$ ,  $\alpha_3 = m/3M$  — молярные доли одно-, двух- и трехатомных ансамблей на поверхности кристалла.

Общая степень заполнения поверхности атомной фазой

$$\alpha = \alpha_1 + 2\alpha_2 + 3\alpha_3 + \dots$$

$B_1(\nu)$ ,  $B_2(\nu)$ ,  $B_3(\nu)$  — функции от частот колебаний атомов в решетке кристалла и в атомной фазе, равные

$$B_1(\nu) = \left(\frac{\nu_{\text{макс}}}{\nu_1}\right)^2, \quad B_2(\nu) = \left(\frac{\nu_{\text{макс}}}{\nu_{кр 2}}\right), \quad B_3(\nu) = \left(\frac{\nu_{\text{макс}}}{\nu_{кр 3}}\right)$$

(обозначения см. выше).

Приведенные формулы для энтропии атомизации достаточно точны только при малых степенях заполнения  $\alpha$ , когда можно проводить расчеты для ансамблей каждого типа отдельно, пренебрегая площадью, занятой другими ансамблями, по сравнению со всей свободной площадью на поверхности кристалла. Так как число каталитически активных дефектов на поверхности обычно не превосходит долей процента (см. ниже), то выведенные соотношения в этих условиях являются достаточно точными.

Изменение внутренней энергии  $\Delta U_{\text{ат}}$  при атомизации кристаллической фазы определяется теплотой сублимации  $\lambda'$  атомов с поверхности кристалла и энергией  $\varepsilon_i$  их присоединения на поверхность с образованием атомной фазы (рис. 2):

$$\Delta U_{\text{ат}} = -\Delta U_{\text{испл}} = n(\lambda' - \varepsilon_i),$$

где величины  $\lambda'$  и  $\varepsilon_i$  взяты с термодинамическими знаками, обратными термодинамическим. Отсюда, изменение свободной энергии атомизации

$$\Delta F_{\text{ат}} = \Delta U_{\text{ат}} - T\Delta S_{\text{ат}} = n(\lambda' - \varepsilon_i) - T\Delta S_{\text{ат}}.$$

Используя формулы (4), (5) и (6) для изменений энтропии при образовании ансамблей и условие равновесия (2), легко найти равновесные концентрации ансамблей.

для одноатомных

$$\left(\frac{\partial \Delta F_1}{\partial n}\right)_T = (\lambda_1 - \varepsilon_1) - RT \ln \frac{1}{\alpha_1} - RT \ln B_1 = 0$$

или

$$\alpha_1 = B_1 e^{-(\lambda' - \varepsilon_1)/RT}; \quad (7)$$

для двухатомных ансамблей

$$\left(\frac{\partial \Delta F_2}{\partial n}\right) = (\lambda' - \varepsilon_2) + RT \ln \alpha_2^{1/2} - RT \ln B_2^{1/2} = 0$$

или

$$\alpha_2^{1/2} = B_2^{1/2} e^{-(\lambda' - \varepsilon_2)/RT}; \quad (8)$$

для трехатомных ансамблей аналогично

$$\alpha_3^{1/3} = B_3^{1/3} e^{-(\lambda' - \varepsilon_3)/RT}; \quad (9)$$

здесь  $\varepsilon_1$  — энергия адсорбции 1 грамм-атома вещества в виде одноатомных ансамблей;  $\varepsilon_2$  — энергия адсорбции 1 грамм-атома вещества с образованием двухатомных ансамблей;  $\varepsilon_3$  — энергия адсорбции 1 грамм-атома вещества с образованием трехатомных ансамблей;  $\lambda'$  — теплота сублимации 1 грамм-атома из кристаллической фазы данного строения.

Величина  $\lambda'$  зависит от размеров кристаллов. По уравнению Гиббса—Томсона, применимому для кристалликов размером до 15–20 Å, для простой кристаллической формы

$$RT \ln \frac{p_r}{p_\infty} = \frac{2\sigma V}{r}, \quad (10)$$

где  $\sigma$  — поверхностная свободная энергия;  $p_r$  — упругость паров над кристаллом с радиусом вписанной сферы  $r$ ;  $p_\infty$  — упругость пара над

бесконечно большим кристаллом;  $V$  — молярный объем. Изменение упругости пара обусловлено понижением теплоты испарения с мелких кристаллов, что легко видеть из уравнения Клаузиуса — Клайперона, записанного в виде (предполагая, что пар — идеальный газ):

$$RT \ln \frac{p_r}{p_\infty} = -\Delta\lambda = \lambda - \lambda'. \quad (11)$$

Из статистических соображений было показано [12], что это уравнение сохраняется для зародышей самого небольшого размера, вплоть до 15–20 Å.

Из уравнений (10) и (11) следует, что понижение энергии сублимации определяется размером кристалла и его поверхностной свободной энергией

$$\Delta\lambda = \frac{2\sigma V}{r}. \quad (12)$$

Величины  $\varepsilon_i$  зависят от энергии связи между атомами и структуры кристалла (координационного числа решетки и характера упаковки граней), а также его поляризационных свойств. Рассмотрим сначала наиболее простой случай неполярного кристалла. При сублимации кри-

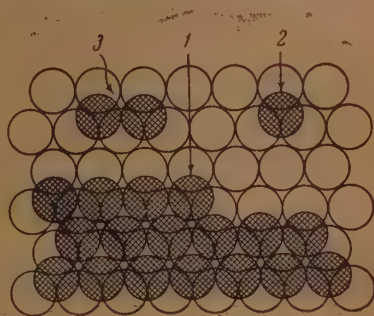


Рис. 2. Строение поверхности кристалла с плотнейшей упаковкой атомов (атомы верхнего слоя заштрихованы). 1 — атом с энергией отрыва  $\lambda$ ; 2 — одноатомный ансамбль; 3 — двухатомный ансамбль

стала с координационным числом  $\kappa$  и энергией связи между атомами  $\varphi$  на  $N$  атомов кристалла разрушается  $\frac{N}{2} \kappa$  новых связей, и затрачивается энергия  $\frac{N}{2} \kappa \varphi$  (а не  $N \kappa \varphi$ , так как каждая связь относится к паре атомов и не должна учитываться дважды). На один атом

$$\lambda = \frac{\kappa}{2} \varphi \quad \text{или} \quad \varphi = \frac{2\lambda}{\kappa}.$$

При модельном рассмотрении кристалла атом на середине определенным образом недостроенной грани кристалла (рис. 2) окружен как раз  $\kappa/2$  соседями, т. е. его отрыв сопровождается затратой  $\lambda$  на каждый атом, что широко используется в теории возникновения новых фаз [12].

Для металлов, кристаллизующихся, как правило, в гранецентрированной кубической (плотнейшей) или гексагональной решетках,  $\kappa = 12$  и в первом приближении

$$\lambda = 6\varphi; \quad \varphi = \frac{\lambda}{6}.$$

При адсорбции на грани с плотнейшей упаковкой атомов изолированный на поверхности атом окружен тремя соседями (рис. 2), а на тетрагональных гранях — четырьмя соседями. Однако для металлов такой простой подсчет по числу разрывающихся и образующихся связей дает завышенные значения энергии образования дефекта [13], так как в действительности эта энергия уменьшается за счет энергии поляризации решетки. Поэтому перевод атома из середины недостроенной грани металла на поверхность плотно упакованной грани меньше, чем

$$(6-3) \varphi = \frac{\lambda}{2},$$

а для перехода на тетрагональную грань меньше

$$(6-4) \varphi = \frac{\lambda}{3}.$$

В настоящее время нет приемлемого способа расчета энергии поляризации металлических кристаллов, в связи с чем мы вынуждены в общем виде ввести пока неопределенный коэффициент  $f_1$ , учитывающий эффект поляризации и характер упаковки грани. Тогда вместо точного выражения для энергии перехода из середины недостроенной грани на поверхность кристалла

$$\lambda - \varepsilon_1 = \frac{\lambda}{2f_1} - \pi,$$

где  $\pi$  — функция, учитывающая эффект поляризации, а  $f_1$  равно 1 или 1,5 (в зависимости от характера упаковки грани); приближенно можно принять

$$\lambda - \varepsilon_1 = \frac{\lambda}{2f_1},$$

где  $f > 1$  при адсорбции на грань с плотнейшей упаковкой атомов,  $f_1 > 1,5$  при адсорбции на тетрагонально упакованную грань.

Для мелких кристаллов величина  $\lambda$  понижена на  $\Delta\lambda$  [см. уравнение (12)]. Это понижение  $\lambda$  при уменьшении размера кристалла связано со все

ольшим влиянием слабее связанных реберных атомов мелких кристаллов [12] и может быть определено по изменению их упругости пара.

При образовании двухатомных ансамблей на пару атомов дополнительно выигрывается энергия  $\varphi$  или  $\lambda/6$ , а для трехатомных на три атома  $3\varphi$  или  $\lambda/2$ . Отсюда равновесные концентрации ансамблей на поверхности могут быть найдены из уравнений

$$\alpha_1 = B_1 \exp \left\{ -\frac{\lambda}{2f_1 RT} + \frac{4\sigma V}{l \cdot 4,2 \cdot 10^7 RT} \right\}, \quad (13)$$

где  $f_1 > 1$  для граней с плотнейшей упаковкой;  $f_1 > 1,5$  — для тетраэдрически упакованных граней;  $l = 2r$  — ребро кристалла, равносильно сосуществующего с атомной фазой;  $\sigma$  выражено в эрг/см<sup>2</sup>:

$$\alpha_2^{1,2} = B_2^{1,2} \exp \left\{ -\frac{\lambda}{2f_1 RT} + \frac{4\sigma V}{l \cdot 4,2 \cdot 10^7 RT} + \frac{\lambda}{12 RT} \right\}; \quad (14)$$

$$\alpha_3^{1,3} = B_3^{1,3} \exp \left\{ -\frac{\lambda}{2f_1 RT} + \frac{4\sigma V}{l \cdot 4,2 \cdot 10^7 RT} + \frac{\lambda}{6 RT} \right\}; \quad (15)$$

коэффициент  $4,2 \cdot 10^7$  соответствует переходу от эрг к калориям.

На «моль» двух- и трехатомных ансамблей

$$\alpha_2 = \frac{B_2}{B_1^2} \alpha_1^2 e^{\lambda/6 RT}; \quad (16)$$

$$\alpha_3 = \frac{B_3}{B_1^3} \alpha_1^3 e^{\lambda/2 RT}. \quad (17)$$

Для расчета величин  $\alpha_i$  по этим формулам необходимо оценить поверхностную энергию твердых тел. Величины теплот сублимации  $\lambda$ , молярные объемы  $V$  и поверхностное натяжение (для жидких) металлов, применяемых обычно в катализе, приведены в табл. 1.

Таблица 1

Поверхностные натяжения, удельные объемы, температуры плавления и теплоты испарения металлов, применяемых в катализе

	Ag	Au	Cu	Fe	Ni	Cr	Zn	Pt
жидк., эрг/см <sup>2</sup> . . . . .	800	1130	1120	940	1560*	—	740	1820
см <sup>3</sup> . . . . .	10,3	10,2	7,2	7,2	6,6	7,2	9,2	9,1
°C . . . . .	960	1063	1084	1535	1455	1800	420	1773
ккал/г-атом . . . . .	62,7	85,0	75,9	87,7	86,5	73,0	29,2	116,7

\* Для твердого  $\alpha$ -Ni.

Для твердых тел величины  $\sigma_i$  выше и могут быть различными для разных граней. Последнее для нас несущественно, так как для идеально граничных кристаллов по принципу Кюри-Вульфа

$$\frac{\sigma_i}{r_i} = \text{idem}, \quad (18)$$

то эквивалентно постоянству  $\Delta\lambda$  для различных граней [см. уравнение (12)], так как  $\Delta\lambda$  определяется тем же отношением  $\sigma_i/r_i$ . Данные по поверхностным энергиям твердых тел очень немногочисленны. Для зо-



лота при температуре плавления  $\sigma$  изменяется на  $\Delta\sigma = 10$  эрг/см<sup>2</sup> [14] а для твердого золота

$$\left(\frac{d\sigma}{dT}\right) \approx -0,3 \text{ эрг/см}^2 \text{ град.}$$

Так как металлы, применяемые в катализе (кроме Pt), довольно близки по своим поверхностным энергиям (табл. 1), то в порядке оценки, принимая для всех металлов то же значение температурного коэффициента, получим

$$\sigma_{\text{тв}} \approx \{\sigma_{\text{жидк}} + 0,3(T_{\text{пл}} - T)\} \text{ эрг/см}^2. \quad (19)$$

Число дефектов по Робозеву на мелких кристаллах больше, чем для крупных, в  $\phi$  раз, где

$$\phi = e^{\Delta\lambda/RT} = \exp\left\{\frac{4\sigma_{\text{тв}}V}{l \cdot 4,2 \cdot 10^7 RT}\right\}. \quad (20)$$

Для большинства металлов (кроме Pt), применяемых в катализе  $\sigma_{\text{тв}} \sim 1400-1200$  эрг/см<sup>2</sup>, молярный объем  $V \sim 9$  см<sup>3</sup>. Величины  $\lg \phi$

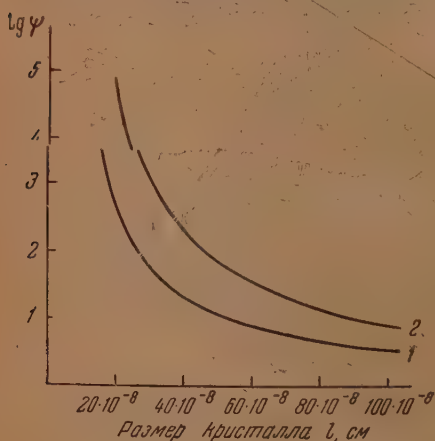


Рис. 3. Относительные концентрации атомной фазы ( $\phi$ ) на идеально ограниченных кристаллах различных размеров  $l$ , при  $T = 500^\circ \text{ К}$ . Кривая 1 — по уравнению

$\lg \phi = \frac{5,22}{10^7 l}$  для металлов обычного типа с  $\sigma_{\text{тв}} \approx 1400$  эрг/см<sup>2</sup>,  $V \sim 9$  см<sup>3</sup>; кривая 2 — по уравнению  $\lg \phi = \frac{9,0}{10^7 l}$  для платины

ТИПЫ

( $\phi$  — относительная концентрация атомной фазы, равная отношению концентрации атомной фазы в данном кристалле к концентрации атомной фазы на бесконечно большом кристалле), вычисленные по уравнению (20) для  $T = 500^\circ \text{ К}$  при указанных  $\sigma$  и  $V$ , приведены на рис. 3. Отдельно приводятся данные для платины, отличающиеся особенно высоким значением  $\sigma_{\text{тв}} \sim 2200$  эрг/см<sup>2</sup>. Из рассмотрения этих данных предельно малым видно, что для концентрации атомной фазы в тысячу и десятки тысяч раз выше, чем для крупных кристаллов, когда как при  $l \sim 10^{-5}$  см для Pt при  $l \sim 10^{-5}$  см. Такая же, как и на более крупных кристаллах.

Равновесная концентрация атомной фазы на крупных идеально ограниченных кристаллах, равная для отдельных ансамблей

$$\alpha_1 = B_1 e^{-\lambda_1/RT}, \quad (21)$$

очень мала и с учетом  $\phi$  может достигать каталитически важных значений только для металлов с относительно невысокими  $\lambda$  (типичный пример, Zn) при адсорбции на тетрагонально упакованных гранях ( $f_1 = 1,5$ ).

Для расчета величин  $\alpha_i$  нужно оценить  $B_i$ . Так как частоты каталитических колебаний и смещения атома на поверхности значительно ниже частот валентных колебаний, близких к  $\nu_{\text{макс}}$ , то, принимая в порядке оценки

$$\left(\frac{\nu_{\text{макс}}}{\nu_1}\right)^2 \sim \frac{\nu_{\text{макс}}}{\nu_{\text{кр}}} \sim 100,$$

получим  $B_1 \sim 10$ ,  $B_2 = B_3 \sim 10$ , в согласии с данными [15] для обобщенных дефектов решетки.

# РАВНОВЕСИЕ АТОМНОЙ ФАЗЫ С РЕАЛЬНЫМИ КРИСТАЛЛАМИ КАТАЛИЗАТОРОВ

Проведенный выше расчет показывает, что концентрация атомной фазы на поверхности сильно зависит от размера и поверхностной энергии кристаллов. Внешний облик реального макрокристалла, в отличие от идеального, еще не отображает истинного размера его граней ( $l$ ), определяющего изменение теплоты сублимации на  $\Delta\lambda$ . Поверхность реального кристалла покрыта микротрещинами, дающими мозаику с периодом  $10^{-3}$  до  $10^{-7}$  см [16], [17], что эквивалентно  $l$  от  $10^{-3}$  до  $10^{-7}$  для идеальных кристаллов. Это явление было открыто при изучении отражения монохроматических рентгеновских лучей от макроскопически гладких граней кристаллов и в настоящее время может считаться вполне достоверно установленным [17].

В отличие от идеального, реальный кристалл не характеризуется равновесностью внешней формы огранения, определяемой условием

$$\sum \sigma_i S_i = \text{миним.} \quad (22)$$

следующим отсюда принципом Кюри — Вульфа [уравнение (18)].

В неравновесном кристалле присутствуют грани с повышенными в смысле уравнения (22) значениями  $\sigma_i$ , так как на начальных ступенях генезиса кристаллов такие грани часто возникают и растут с наибольшей вероятностью.

По своему строению реальные кристаллы катализаторов достаточно близки к произвольно расколотым идеальным кристаллам. На поверхности агрегатов реальных кристаллов появляются всевозможные беспорядочно ориентированные кристаллографические грани с характерным для них расположением атомов и весьма различными геометрическими и тергетическими свойствами.

Для ионных кристаллов имеется довольно значительный теоретический и опытный материал по определению свойств различных как «равновесных», так и «неравновесных» граней. По теории ионных решеток Борна и Штерна [18] для кристаллов типа NaCl

$$\frac{\sigma_{110}}{\sigma_{100}} = 2,5, \quad \frac{\sigma_{111}}{\sigma_{100}} = 5,8.$$

в работе [16] приведена таблица значений  $\sigma_i$  для различных граней  $\text{CaF}_2$ ,  $\text{SrCl}_2$ , где  $\sigma_{\text{мин}}$  и  $\sigma_{\text{макс}}$  отличаются в 3,5 — 4,5 раза.

Эти данные в общих чертах подтверждены на опыте. По В. Д. Кузнецову [19] поверхностная энергия бугорчатых поверхностей в 1,5 — 2,5, для неправильно ступенчатых поверхностей в 2,5 — 3,5 раза выше, чем для зеркально гладких поверхностей кристалла NaCl (из опытов по каталированию). Там же приведены данные по теплотам растворения сильно измельченного NaCl, приводящие к значениям  $\sigma$  в 2,5 раза выше, чем по расчету Борна и Штерна, и в 4 раза выше, чем для жидкого NaCl. Подобные соотношения имеют место и для решеток металлов. В связи с этим при вычислении  $\Delta\lambda$  для реального кристалла необходимо учесть его повышенную поверхностную энергию

$$\sigma_{\text{реальн. кр}} = f_2 \sigma_{\text{жидк}}, \quad (23)$$

где  $f_2$  для идеального кристалла равно  $1 + 0,3 \Delta T$ , а для реального может доходить до 3 — 4. Величина  $f_2$  не является вполне определенной характеристикой вещества, а зависит от условий его получения и является термодинамическим критерием неравновесности огранения кристалла, характеризуя его «врожденные» макродефекты структуры.

Неопределенность величины  $f_2$  не является недостатком термодинамического метода анализа, а определяется тем, что реальные кристаллы, в отличие от идеальных, не имеют точных, наперед заданных свойств и меняют их в зависимости от условий получения: они могут обладать или не обладать каталитической активностью, могут иметь весьма различную электропроводность (для полупроводников) или люминесцентную активность (для кристаллофосфоров).

Таким образом для реального кристалла катализатора вместо (12) получим

$$\Delta\lambda_p = \frac{2f_2\sigma V}{l \cdot 4,2 \cdot 10^7}, \quad (24)$$

где  $f_2 \sim 3-4$ , а  $l$  соответствует периоду мозаичной структуры кристалла, что обычно меньше рентгенографически определяемого линейного размера кристаллика.

Для различных кристаллов изменяется не только теплота сублимации, но и теплота адсорбции, так как зародышевые микротрещины и неравновесные, неплотно упакованные грани обладают энергией адсорбции выше, чем для плотно упакованных граней.

При учете всех зародышевых микротрещин, неравновесных, неплотно упакованных граней, наличие которых для мелких кристалликов показано электронографически, можно считать, что вся атомная фаза (степень заполнения поверхности обычно не превосходит долей процента) располагается на местах с энергией адсорбции более высокой, чем на идеальных плотно упакованных гранях. В среднем для реальных кристаллов с достаточным основанием можно принять  $f_1 \sim 1,5$ , так как реальные кристаллы металлов содержат достаточное количество тетрагонально упакованных элементов граней.

Равновесная концентрация атомной фазы на поверхности реального кристалла может быть вычислена по уравнению

$$\alpha_1 = B_1 \exp \left\{ -\frac{\lambda}{2f_1 RT} + \frac{4f_2 \sigma_m V}{l \cdot 4,2 \cdot 10^7 RT} \right\} \quad (25)$$

и уравнениям (16) и (17), где в оптимальном для катализа случае  $f_2 \sim 4$ ,  $f_1 \sim 1,5$ .

Для реальных кристаллов, в соответствии с их повышенной свободной поверхностной энергией, концентрация атомной фазы намного выше, чем для крупных кристаллов.

Величины  $\psi_p$ , определяющие увеличение концентрации атомной фазы на мелких кристаллах, вычисленные по уравнению:

$$\psi_p = e^{\Delta\lambda_p/RT} = \exp \left\{ \frac{4f_2 \sigma V}{l \cdot 4,2 \cdot 10^7 RT} \right\}, \quad (26)$$

для  $T = 750^\circ\text{K}$ ,  $f_2 = 4$ ,  $\sigma = 1300$  эрг/см<sup>2</sup>,  $V = 9$  см<sup>3</sup> и  $l$  от 20 до 200 Å и для платины при  $\sigma = 2200$  эрг/см<sup>2</sup> приведены в логарифмическом масштабе на рис. 4, из которого видно, что для реальных кристаллов  $\psi_p$  может достигать огромных значений  $10^6-10^{10}$ .

В табл. 2 приведены  $\alpha_i$  для ряда металлов при  $f_1 = 1,5$ . Хотя эти данные имеют только оценочный характер и не могут быть прямо сопоставлены со свойствами обычно неравновесных катализаторов, из рассмотрения их видно, что равновесная при данной структуре кристаллов концентрация атомной фазы на поверхности, вычисленная по уравнениям (25) и (16), при температуре получения катализаторов 500—750 °K может достигать значений, способных объяснить весь каталитический эффект вещества, если считать, что каталитический эффект связан с атомными ансамблями на поверхности, так как число активных центров на

Таблица 2

Термодинамически равновесные концентрации одно- и двухатомных ансамблей на поверхности реальных кристаллов различного размера для Ni, Cu, Pt, Fe при 750°K и  $f_1 = 1,5$

Катализатор	$f_2$	Степень заполнения поверхности в %					
		Одноатомные ансамбли			Двухатомные ансамбли		
		20Å	30Å	40Å	20Å	30Å	40Å
Ni	3	$10^{-1,2}$	$10^{-2,6}$	$10^{-3,3}$	$10^{-1,2}$	$10^{-4}$	$10^{-5,4}$
	4	$10^{-0,2}$	$10^{-1,7}$	$10^{-2,6}$	Велика	$10^{-2,4}$	$10^{-4}$
Cu	3	$10^{-0,4}$	$10^{-1,7}$	$10^{-2,4}$	$10^{-0,1}$	$10^{-2,7}$	$10^{-4}$
	4	$10^{-0,8}$	$10^{-0,9}$	$10^{-1,7}$	Велика	$10^{-1,1}$	$10^{-2,7}$
Pt	3	1,0	$10^{-2,8}$	$10^{-4,1}$	Велика	$10^{-3}$	$10^{-4,6}$
	4	Велика	$10^{-0,9}$	$10^{-2,8}$	»	$10^{-0,2}$	$10^{-6}$
Fe	3	$10^{-1,9}$	$10^{-3,1}$	$10^{-3,7}$	$10^{-2,6}$	$10^{-5}$	$10^{-6,2}$
	4	$10^{-0,7}$	$10^{-2,3}$	$10^{-3,1}$	$10^{-0,2}$	$10^{-3,4}$	$10^{-5}$

поверхности также обычно не превосходит долей процента от полного числа атомов на поверхности. Интересно проследить зависимость от температуры числа каталитически активных центров.

При понижении температуры равновесная степень заполнения поверхности атомной фазой должна быстро падать, однако с понижением температуры очень быстро падает и скорость процессов перераспределения в твердых телах, которая пренебрежимо мала при  $T_{кр} < 0,3 T_{пл}$ , равной для металлов, применяемых в катализе 500—700°K, в связи с чем катализаторы оказываются практически устойчивыми системами с заторможенным высокотемпературным равновесием атомной фазы. При очень высоких температурах концентрация атомной фазы на поверхности может достигать столь высоких значений, что с достаточной скоростью пойдут процессы перестройки реальных кристаллов с «залечиванием» дефектов и застройкой граней с наиболее высокими значениями  $\sigma$ . В результате подобного генезиса кристаллической фазы равновесная концентрация атомной фазы также начнет понижаться. Благодаря этому может существовать оптимум по температуре приготовления катализатора. Подобные закономерности были констатированы в ряде работ [20] для порошков Cu и Ag, хотя наблюдаемые при этом эффекты несколько сложнее рассматриваемых нами равновесных соотношений.

Естественно, что подобные закономерности будут наблюдаться, только если при какой-либо температуре достигается равновесие атомной и кристаллической фаз. Во многих случаях, связанных с проведением

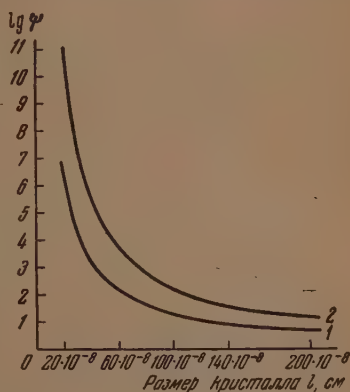


Рис. 4. Относительные концентрации атомной фазы  $\psi$  на реальных кристаллах различных размеров при  $T = 750^\circ K$  и  $f_2 = 4$ ; кривая 1 по уравнению

$$lg \psi = \frac{12,9}{l \cdot 10^7} \text{ для металлов; } \sigma_{ТВ} \approx 1300 \text{ эрг/см}^2, \text{ и } V = 9 \text{ см}^3 \text{ кривая 2 по уравнению } lg \psi = \frac{21,8}{l \cdot 10^7} \text{ для платины}$$

$$\sigma_{ТВ} \approx 2200 \text{ эрг/см}^2, V = 9 \text{ см}^3$$



операций типа восстановления или низкотемпературных разложений, равновесие атомной и кристаллической фаз не достигается. Концентрация атомной фазы может быть значительно выше рассчитанной, так как равновесие достигается со стороны атомной фазы, и повышение ее значений может быть полностью обусловлено низкой температурой приготовления, затрудняющей рост и перестройку кристаллов. Здесь всякое торможение процессов приближения к состоянию равновесия будет фактором, увеличивающим концентрацию атомной фазы.

### ОБСУЖДЕНИЕ РЕЗУЛЬТАТОВ

Проведенный выше расчет минимальной концентрации атомной фазы на поверхности твердых тел позволяет не только сопоставить число активных центров на поверхности кристаллических катализаторов с числом ансамблей, но и объяснить ряд закономерностей, давно известных в практике работы с кристаллическими катализаторами, но не имевших своего общего толкования.

С точки зрения теории активных ансамблей, связывающей каталитическую активность вещества с атомной фазой на поверхности, активность кристаллического катализатора в зависимости от строения центра (числа атомов в ансамбле) будет описываться одним из уравнений:

$$A_1 = Sr_1\alpha_1 = Sr_1B_1 \exp \left\{ -\frac{\lambda}{2f_1RT} + \frac{4f_2\sigma_m V}{1.4 \cdot 2 \cdot 10^3 RT} \right\}; \quad (27)$$

$$A_2 = Sr_2\alpha_2 = Sr_2 \frac{B_2}{B_1^2} \alpha_1^2 e^{\varphi/RT}; \quad (28)$$

$$A_3 = Sr_3\alpha_3 = Sr_3 \alpha_1^3 e^{3\varphi/RT} \frac{B_3}{B_1^3}; \quad (29)$$

$$A_n = Sr_n\alpha_n = Sr_n \frac{1}{B_1^n} \alpha_1^n e^{kn\varphi/RT}, \quad (30)$$

где  $S$  — поверхность катализатора, для металлов  $\varphi = \lambda/6$ ;  $r_i$  — активность определенного ансамбля;  $k_n$  — коэффициент, близкий к единице и возрастающий с  $n$ , частотный фактор  $B_n$  для «крупных» ансамблей опущен, так как он приближается к единице.

Как видно из уравнений (27)–(30), активность катализаторов сильно зависит от размера ( $l$ ) и структуры ( $f_1$  и  $f_2$ ) кристаллов.

В катализе известен ряд случаев очень большого различия в активности различных граней или различных модификаций вещества (например,  $\alpha$ - и  $\beta$ -никеля). Обычно это объясняется различиями геометрического строения активных центров на различных гранях. То же объяснение относится и к ансамблям, повторяющим межатомные расстояния и взаимное расположение атомов адсорбирующей грани (по принципу кристалдохимического соответствия П. Д. Данкова).

Однако возможна и другая причина, состоящая в том, что тетрагонально упакованные грани характеризуются коэффициентом  $f_1 = 1,5$ , а для гексагональных  $f_1 = 1$ , из-за чего концентрация одноатомной фазы на первых больше, чем на вторых (при  $T = 750^\circ$  и  $\lambda \sim 80\,000$ ) примерно в

$$e^{\varphi/RT} = 7500 \text{ раз,}$$

если грани обладают близкими поверхностными энергиями.

Для простейших одно- и двухатомных ансамблей геометрическое объяснение вообще ничего не дает, так как расстояние между парой атомов одинаково для плотной гексагональной и тетрагональной грани.

Согласно [21] при гидрировании этилена (двухатомный ансамбль) активна только кубическая ( $f_1 = 1,5$ ), но не гексагональная  $f_1 \sim 1$  моди-

Таблица 3

Минимальные размеры кристаллов катализаторов по данным обзорной статьи А. М. Рубинштейна [25]

Катализатор	Способ приготовления и носитель	Линейные размеры кристаллов в Å
Pd	Катодное распыление	20
Pd	Термическое разложение $\text{PdCl}_2$ на угле	30—40
Pt	Чернь, по Фейлгену, при 5 °C	25—30
Pt	Термическое разложение $\text{H}_2\text{PtCl}_6$ на угле	30
Pt	На активном угле восстановленная по Зелинскому	50
Pt	Катодное распыление	50
Ni	»	50
Fe	»	50
Fe	В катализаторе синтеза $\text{NH}_3$	100
Ni	На $\text{Al}_2\text{O}_3$ совместным осаждением	40
Ni	Скелетный из Al—Ni сплава	40—100
Ni	По Сабатье	400—1000
Co	На активном угле разложением нитрата	60—70
Co	Восстановлением окиси	120
Cu	Скелетный	100

фикация никеля. Аналогичная картина наблюдается при получении углеводородов из CO и  $\text{H}_2$ , гидрировании бензолацетона на кубической и гексагональной модификациях никеля [22]. Кубический кобальт в 400 раз активнее гексагонального для гидрирования аллоцимена [23]. С нашей точки зрения, понятна повышенная активность граней (111) по сравнению с (100), обусловленная повышенной поверхностной энергией, способствующей образованию атомной фазы, если это влияние фактора  $f_2$  не перекрывается различием величин  $f_1$ .

Все эти результаты вполне естественны в теории, принимающей каталитическую активность атомной фазы. Используя эти представления, можно показать (см. ниже), что для кристаллов с особенно высокой поверхностной энергией ( $f_2 \sim 3-4$ ) каталитическая активность, обусловленная наличием изолированных друг от друга ансамблей одного типа, может проходить через максимум (лежащий при 20—40 Å) при уменьшении размеров кристаллов. На опыте это явление впервые было замечено П. Д. Данковым и А. А. Кочетковым [24] в 1934 г. и с тех пор подтверждено на большом экспериментальном материале, собранном в обзорах А. М. Рубинштейна [10, 25]. В табл. 3, взятой из статьи А. М. Рубинштейна [25], приведены данные по минимальным размерам кристаллов катализаторов, а на рис. 5 и 6 типичные изотермы активности — дисперсность по П. Д. Данкову и А. М. Рубинштейну. Экспоненциальное падение активности (числа активных центров) при увеличении размера кристалла Ni— $\text{Al}_2\text{O}_3$  катализатора гидрирования бензола по А. М. Рубинштейну приведено на рис. 7. Такой закон падения активности следует из (27), но в ряде

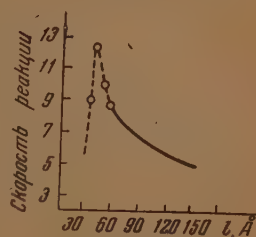


Рис. 5. Зависимость каталитической активности кристаллов платиновой черни от их размера при гидрировании этилена и разложении перекиси водорода по П. Д. Данкову и А. А. Кочеткову [24]

случаев активность падает медленнее, так как параметр  $l$  в (27) определяется не размером кристалла, а периодом мозаичной структуры решетки, который не всегда совпадают (наличие микротрещин). Однако в этих случаях всегда оказывается, что кристаллы катализаторов содержат значительное число дефектов [25], что вполне компенсирует увеличение внешних размеров кристалликов.

Для очень мелких и богатых структурными дефектами кристалликов общая концентрация атомной фазы может стать настолько значительной, что различные ансамбли не смогут быть изолированными, и активные центры «нейтрализуют» друг друга, так как всякое подсоединение атома к ансамблю уничтожает его каталитическую активность. Поверхность

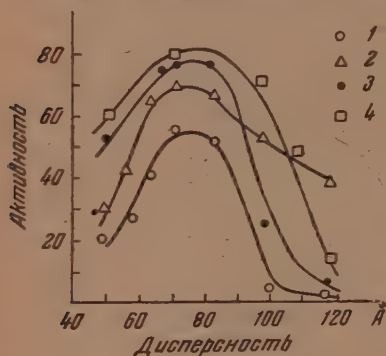


Рис. 6

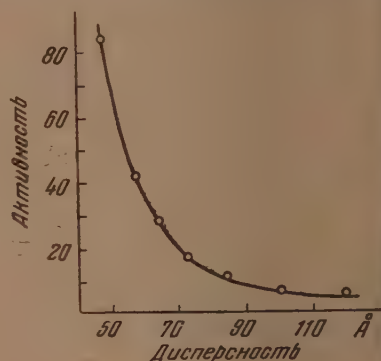


Рис. 7

Рис. 6. Зависимость активности Ni на  $\text{Al}_2\text{O}_3$  от размера кристалликов для дегидрогенизационных процессов по А. М. Рубинштейну [10]. 1 — циклогексан, 2 — муравьиная кислота, 3 — изоамиловый спирт,  $t = 240^\circ$ ; 4 — изоамиловый спирт,  $t = 26$

Рис. 7. Зависимость активности Ni на  $\text{Al}_2\text{O}_3$  от размера кристаллов для процесса каталитического гидрирования бензола по А. М. Рубинштейну [10]

кристалликов окажется покрытой ажурной сеткой (рис. 8) аморфной фазы, не содержащей изолированных ансамблей. Этим может быть объяснено падение числа центров катализа на очень мелких кристалликах.

Такое положение осуществляется при

$$\alpha_n \sim \alpha_1, \quad (3)$$

так как в этом случае общая степень заполнения атомной фазой

$$\alpha = \sum_{n=1}^k n \alpha_n$$

может стать достаточно большой для того, чтобы произвести смыкание отдельных ансамблей даже при не очень больших  $k$  и  $\alpha_1$  (суммирование высоких  $k$  не имеет физического смысла — большие плоские ансамбли являются уже новыми кристаллографическими сетками).

Условие (31), ограничивающее сверху область возможных равновесных концентраций изолированных ансамблей, позволяет оценить размер каталитически неактивного кристалла.

Для не очень крупных полиатомных ансамблей, для обычного значения  $f_1 = 1,5$

$$x_n \approx \frac{1}{B^n} \exp \left\{ \frac{-2n\varphi + n\Delta\lambda}{RT} \right\} \exp \left\{ \frac{n\varphi}{RT} \right\} = \exp \left\{ \frac{-n\varphi + n\Delta\lambda - nRT \ln B_1}{RT} \right\};$$

$$\alpha_1 = \exp \left\{ \frac{-2\varphi + \Delta\lambda + RT \ln B_1}{RT} \right\}.$$

Из условия (31) следует

$$-n\varphi + n\Delta\lambda^* - nRT \ln B_1 \approx -2\varphi + \Delta\lambda^* + RT \ln B_1$$

или

$$\Delta\lambda^* \approx \frac{n-2}{n-1} \varphi + \frac{n+1}{n-1} RT \ln B_1,$$

$\Delta\lambda^*$  слабо зависит от  $n$ . Для  $n=6$ ,  $B_1=10$ ,  $T=750^\circ$  и  $\lambda \sim 80\,000$  кал

$$\Delta\lambda^* \approx 15\,000 \text{ кал.}$$

Откуда критическое значение  $l_{кр}$  при обычных для реальных кристаллов катализаторов значениях  $f_2=4$ ,  $\sigma_{ж}=1000$  эрг/см<sup>2</sup>,  $V=10$  см<sup>3</sup>,

$$l_{кр} \sim 25 \text{ \AA},$$

что находится в хорошем согласии с опытом, особенно учитывая приближенность расчета. Для кристаллов с меньшей поверхностной энергией ( $f_2 < 2$ ) оптимума может и не наблюдаться, так как расчет не имеет смысла при  $l \sim 5 \cdot 10 \text{ \AA}$ .

Вместе с тем такой анализ позволяет разрешить дилемму, трудную для других случаев: какая фаза активна — атомная или кристаллическая?

Действительно, падение числа активных центров для мелких кристаллов вполне понятно, если за катализ ответственны изолированные друг от друга ансамбли; и наоборот, это явление остается непонятным курьезом, если считать, что катализ связан только с активностью кристаллической фазы. Разработанная теория применима не только к металлическим, но и к другим кристаллическим катализаторам, хотя рассмотрение сложных решеток должно быть связано с более точным рассмотрением геометрии поверхности кристаллов, а также с учетом изменения химических свойств мелких кристаллов, обусловленного повышением их химического потенциала.

Из всего приведенного следует, что теория активных ансамблей, сформулированная первоначально для разведенных адсорбционных катализаторов, справедлива и в других случаях гетерогенного катализа, а ее основное положение об активности определенной изолированной группировки, адсорбированной на поверхности кристалла, подтверждается как различными прямыми и косвенными экспериментами, так и приведенным выше теоретическим расчетом устойчивости атомной фазы на кристаллах.

В заключение выражаю глубокую признательность проф. Н. И. Кобозеву за интерес к работе и обсуждение полученных в ней результатов.

## ВЫВОДЫ

1. Атомная фаза на поверхности кристаллов, каталитические свойства которой были открыты в теории активных ансамблей Н. И. Кобозева для сплошных катализаторов, может рассматриваться как особый тип поверхностных дефектов решетки, однако, в отличие от идей Н. И. Кобозева, атомная фаза здесь рассматривается в равновесии с кристаллической. Аналогично термодинамической теории «дефектов по Френкелю» и «дефектов по Шоттки» в нашей статье разработана термодинамика каталитически активных «дефектов по Кобозеву».

2. В отличие от объемных микродефектов, концентрация поверхностных каталитически активных дефектов сильно зависит от размера и поверхностной энергии кристаллов. Выведены формулы, позволяющие рас-

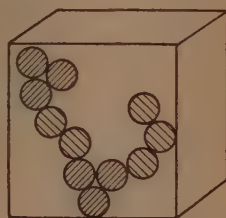


Рис. 8. Исчезновение изолированных ансамблей при значительном повышении концентрации атомной фазы на поверхности



считать концентрацию атомной фазы на идеальных и реальных кристаллах. На реальных катализаторах она может быть только выше рассчитанной, так как при обычных условиях получения катализаторов равно весно достигается со стороны атомной фазы.

3. Показано, что для реальных кристаллов равновесная концентрация атомной фазы на поверхности металлических катализаторов при температуре их приготовления 300—500° С может достигь долей процента, что способно объяснить весь каталитический эффект вещества, если считать что он связан с наличием атомных ансамблей. Вместе с тем найдено, что идеально ограниченные кристаллы не обладают такими свойствами.

4. С точки зрения рассмотренной концепции объяснена причина преимущественной активности тетрагональных граней кристаллов  $\alpha$ -Ni $\alpha$ -Co для гидрогенизационных процессов, прохождение каталитической активности через максимум при уменьшении размера кристалликов, а также наличие оптимума по температуре приготовления катализатора. Показано, что эти данные говорят в пользу представления об активности атомной, а не кристаллической фазы гетерогенных катализаторов.

5. Основной вывод из данной работы состоит в том, что если предположить активность определенного ансамбля атомов, то их присутствие на поверхности реальных кристаллов можно объяснить все каталитические свойства, дать общее теоретическое обоснование ряду опытных фактов, относящихся к активности кристаллических катализаторов, и теоретически обосновать методы получения активных катализаторов, ибо их синтез ведется так, что обеспечивает повышенную концентрацию атомной фазы на поверхности (мелкие кристаллы с большой поверхностной энергией, полученные при значительных пересыщениях и оптимальной температуре).

Московский государственный  
университет им. М. В. Ломоносова

Поступила  
24.II.1955

#### ЛИТЕРАТУРА

1. Н. И. Кобозев, Журн. физ. химии, 13, 1, 1939.
2. Н. И. Кобозев, Л. Л. Клячко-Гурвич, Журн. физ. химии, 13, 27, 1939; Н. И. Кобозев, Уч. зап. МГУ, вып. 86, книга I, 13, Изд-во МГУ, 1946.
3. В. И. Шехобалова, И. В. Крылова, Н. И. Кобозев, Журн. физ. химии, 26, 703, 1952.
4. В. И. Шехобалова, И. В. Крылова, Н. И. Кобозев, Журн. физ. химии, 26, 1666, 1952.
5. В. Б. Евдокимов, Н. Н. Озерепковский, Н. И. Кобозев, Журн. физ. химии, 26, 135, 1952; Н. И. Кобозев, В. Б. Евдокимов, И. А. Зубович, А. Н. Мальцев, Журн. физ. химии, 26, 1349, 1952.
6. Я. Н. Френкель, Zs. f. Phys., 35, 652, 1926. С. Wagner, W. Schottky, Zs. phys. Chem., 8, 11, 163, 1930. С. Wagner, Trans. Farad. Soc., 34, 851, 1938.
7. Ф. Ф. Волькенштейн, Сб. «Проблемы кинетики и катализа», т. 7, Изд-во АН СССР, 1950.
8. M. Volmer, Kinetik der Phasenbildung, Dresden u. Leipzig, 1939.
9. П. Д. Ланков, Сб. Проблемы кинетики и катализа, т. 5, стр. 45, Изд-во АН СССР, 1948.
10. А. М. Рубинштейн, Сб. Проблемы кинетики и катализа, т. 5, стр. 11, Изд-во АН СССР, 1948.
11. Дж. Майер и, М. Гепперт-Майер, Статистическая механика, ИИЛ, 1952.
12. И. Н. Странский, Р. Каишев, Усп. физ. наук, 21, 408, 1939.
13. W. Jost, Jour. Chem. Phys., 1, 466, 1933; N. Motta, M. Littleton, Trans. Farad. Soc., 34, 485, 1938.
14. Тамма и Беме, цитир. по М. Ю. Бальшину, Порошковое металлоределение, Металлургиздат, 1948.
15. Н. Мотт и Р. Герни, Электронные процессы в ионных кристаллах, ИИЛ, 1953.
16. В. Л. Кузнецов, Кристаллы и кристаллизация, Гостехтеоретиздат, 1954.
17. A. Smekal, Phys. Rev., 43, 579, 1933.

3. М. Борн, М. Гепперт-Майер. Теория твердого тела. ОНТИ, 1938.  
9. В. Д. Кузнецов. Поверхностная энергия твердых тел. Гостаттеоретиздат, 1954.  
0. G. Rienschäcker, H. Bremer u. S. Unger, Proceedings of the International Symposium on the Reactivity of Solids, Göttingen, 1952; A. Rienschäcker, H. Bremer, Zs. anorg. u. allg. Chem., 272, 123, 1953.  
1. G. Bredig, K. Allolio, Zs. phys. Chem., 126, 41, 1927.  
2. G. Le Clerc, H. Lefebvre, C. R., 208, 1651, 1939; цитир. по [10].  
3. G. Dupont, P. Piganiol, Bull. Soc. chim. (Fr.), 5-6, 322, 1939; цитир. по [10].  
4. П. Д. Данков, А. А. Кочетков, ДАН, 2, 359, 1934.  
5. А. М. Рубинштейн, Усп. химии, 21, 1287, 1952.
-

## ИССЛЕДОВАНИЕ КАТОДНОГО ПРОЦЕССА В АЛЮМИНИЕВОЙ ВАННЕ

Л. Н. Антипин

Большинство существующих в настоящее время теорий катодного процесса в алюминиевой ванне основано на предположении о непосредственном разряде катионов  $Al^{3+}$  и  $Na^+$  до металлического состояния. Хорошо известно, однако, что алюминий с фтором образует не только трифторид  $AlF_3$ , но и субфторид  $AlF$  [1]. В присутствии металлического алюминия последний всегда имеется в электролизной ванне в том или ином количестве. Натрий также кроме соединений  $NaF$  образует с фтором субфторид  $Na_2F$  [2], существование которого в электролите является весьма вероятным.

Естественно ожидать, что образование таких соединений должно отражаться на течении всех процессов в алюминиевой ванне. На это указывают в частности, работы В. А. Пазухина [3] и А. И. Беляева. Наличие в электролите катионов неполного окисления  $Al^+$  и  $Na_2^+$ , отвечающих соответствующим субсоединениям, не может не сказаться также и на характере катодного процесса.

Обычно принято считать [4], что образование субфторидов является чисто химическим процессом и происходит главным образом при взаимодействии металла с электролитом. По этой причине ряд авторов склонен предполагать, что при электролизе криолит-глиноземных расплавов с инертным катодом на нем сначала происходит выделение металлических алюминия и натрия, и только затем они взаимодействуют с электролитом образуя субсоединения.

Оба процесса (выделение и растворение) можно условно, не вдаваясь в подробности ионного строения расплава, записать следующими уравнениями:



Первый процесс происходит при потенциале, отвечающем выделению металлического алюминия. Второй процесс является деполяризующим вследствие чего электролиз протекает при более низком напряжении без выделения металла, до тех пор пока концентрация ионов  $Al^+$  не станет соответствовать равновесной. После достижения насыщения алюминий перестанет растворяться, и на катоде появится металл.

Выделение натрия, по этим представлениям, происходит аналогичным образом:



Можно, однако, представить себе и другой механизм выделения алюминия и натрия. При невысоком потенциале, в первую очередь происходит неполное восстановление катионов  $Al^{3+}$  и  $Na^+$  с образованием не металлов, а их субфторидов:



получение металлов при этом становится возможным только во второй стадии разряда, когда потенциал катода станет равным потенциалу разряда катионов  $Al^{+}$  и  $Na_2^{+}$ .



В соответствии с высказанными автором настоящей статьи предположениями о наличии в криолитном расплаве комплексных катионов  $AlF_2^{+}$ ,  $Na_2F^{+}$  [5], реакции (5) — (8) могут быть записаны следующим образом:



и натрия



Совершенно естественно ожидать, что электрохимические процессы разложения субсоединений должны найти свое отражение на катодной кривой, снятой при отсутствии в электролите металлического алюминия.

В настоящей работе сделана попытка выяснить вопрос о влиянии субсоединений алюминия и натрия на характер катодной поляризационной кривой.

Схема питания электролитической ячейки и присоединения к ней измерительной аппаратуры изображена на рис. 1. Опыты проводились при температуре  $50^{\circ}$ . Регулировка температуры осуществлялась при помощи контактного гальванометра. Печное пространство, куда помещался электролизер, было тщательно герметизировано. Это давало возможность проводить исследования в восстановительной атмосфере.

Сила тока в цепи (до 750 мА) регистрировалась миллиамперметром с ценой деления 5 мА. Сила тока, превышающая 10 мА, отсчитывалась по амперметру с ценой деления 0,1 А. Миллиамперметр при этом шунтировался. Измерение напряжения между катодом и электродом сравнения осуществлялось потенциометром, позволяющим отсчитывать 1 мВ.

Изучение изменений катодного потенциала до последнего времени проводилось главным образом по суммарной кривой ток — напряжение, являющейся разностью потенциалов катода и анода\*. Это обстоятельство объяснялось отсутствием надежно-электрода сравнения для расплавленного криолита. Цезиевый [7] и натриевый [8] электроды, предлагаемые в литературе для расплавленных солей, не могли быть реализованы из-за высокой температуры электролита. Наиболее подходящим оказался аффатовый (кислородный) электрод сравнения, предложенный С. В. Карпачевым,

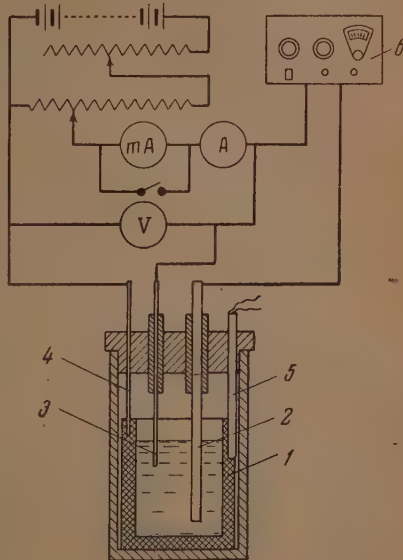


Рис. 1. Схема электролитической ячейки. 1 — графитовый стакан-анод, 2 — угольный электрод сравнения, 3 — молибденовый катод, 4 — нихромовый токоподвод к аноду, 5 — термомпара, б — потенциометр

\* Исключением является работа Дроссбаха [6], исследовавшего катодный потенциал в сравнительно узких пределах плотности тока. Однако примененный им алюминийсодержащий электрод сравнения нельзя признать удовлетворительным, так как его потенциал сильно изменяется с течением времени.



С. И. Ремпелем и Е. Ф. Норданом [9] для изучения анодного потенциала. С некоторыми изменениями этот электрод и был применен в настоящей работе. Изменения заключались в том, что электрод при измерении не нагружался током постоянной силы, как это практиковали указанные авторы. Незменность потенциала его достигалась предварительной анодной обработкой электрода током плотностью около  $1 \text{ A/cm}^2$  в течение нескольких минут. После этого, в продолжение всех опытов, изменения потенциала электрода не наблюдалось.

Исключение величины  $IR$  в цепи катод — электрод сравнения представляет известные трудности, так как силовые линии, обуславливающие эту величину, замыкаются внутри электролита, и сила тока, проходящая в этой цепи, не может быть измерена обычными способами. Для определения  $IR$  в этом случае был применен искусственный прием, заключающийся в следующем.

Из данных Катбертсона и Веддингтона [10], изучавших катодную поляризацию компенсационным методом по отношению к аноду, следует, что на последнем участке катодной кривой прирост поляризации практически отсутствует и что наклон этого участка отражает лишь омическое падение напряжения. В этом можно убедиться, вычитая экспериментальное значение  $IR$  из  $V$ .

Для того чтобы подтвердить это, были проделаны дополнительные опыты по измерению электрохимической разности потенциалов. Они проводились в ячейке, состоящей из графитового стакана-анода и молибденового катода (диаметр 1,5 мм). Вследствие малой анодной плотности тока (отношение поверхностей анода и катода составляло 800 : 1) полученная поляризационная кривая отражала главным образом изменения катодного потенциала. При помощи мостика Кольрауша были определены сопротивления электролита для двух составов, содержащих 40 и 53%  $\text{AlF}_3$ . Затем было проведено сравнение непосредственно полученных значений  $R$  с величинами, определенными по углу наклона последнего участка кривой (табл. 1).

Таблица 1

Состав электролита	Сопоставление электродита в омах		Примечание
	Определ.	Рассчит.	
Криолит +5% $\text{Al}_2\text{O}_3$	0,54	0,55	Данные автора
Криолит +5% $\text{Al}_2\text{O}_3$ + +13% $\text{AlF}_3$	0,64	0,62	Данные [10]
Криолит	0,50	0,47	
Криолит +16% $\text{Al}_2\text{O}_3$	0,58	0,55	

Проведенные опыты подтвердили практическое отсутствие поляризации на последнем участке кривой и дали уверенность в возможности внесения поправки на  $IR$  путем графического определения этой величины по наклону указанного участка.

Поляризационные кривые, полученные в криолитном расплаве при отсутствии в нем алюминия, являются весьма сложными. Они имеют больше перегибов, чем это было бы необходимо для восстановления ионов алюминия и натрия непосредственно до металлического состояния.

Из рис. 2 видно, что в этом случае на кривой прямого хода обнаруживается скачок потенциала  $bc$  и несколько перегибов  $d$ ,  $e$  и  $f$ . Обратный ход кривой, начиная с определенной точки, не совпадает с ее прямым ходом и отражает, в известной степени, эти же перегибы.

До настоящего времени на сложность поляризационной кривой не обращалось должного внимания. В литературе можно найти материал относящийся только к расплаву  $\text{NaCl} + \text{AlCl}_3$  [11]. Сложный вид поляризационной кривой (на которой при помощи экстраполяции отдельных участков были получены три потенциала) эти авторы объясняют наличием в расплаве комплексных катионов. Первый потенциал при этом связывают с разрядом ионов алюминия, второй — каких-то комплексных алюминиевых катионов и третий — ионов натрия.

Кроме снятия  $IE$ -кривой, проводились измерения потенциала электрода при  $I = 0$  после отключения тока различной плотности. Сила тока при этом последовательно повышалась сначала через 25, а затем через

50 мА. После некоторой выдержки при каждом значении ток отключался, и производилось измерение потенциала электрода.

При повышении силы тока от 0 до 175 мА обнаруживалось устойчивое значение потенциала при  $E = 630$  мВ (рис. 3, линия 1). В пределах от 175 до 275 мА наблюдалось второе значение потенциала. Потенциал электрода, отмеченный линией 2, сохранялся непродолжительное время, после чего падал до более устойчивого значения, соответствующего линии 1. При более высоких плотностях тока появлялось еще одно устойчивое значение потенциала (линия 3).

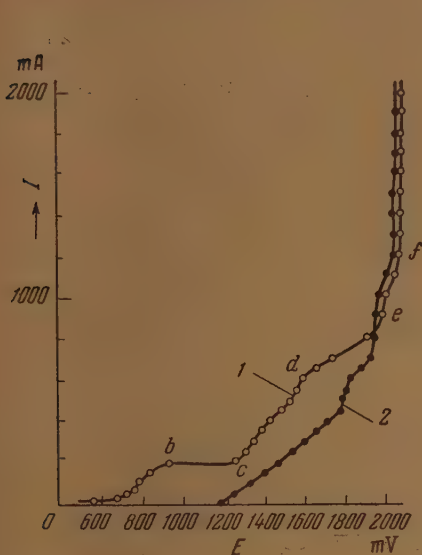


Рис. 2. Зависимость катодного потенциала от силы тока при отсутствии в электролите металлического алюминия. Электролит — криолит + 3%  $\text{Al}_2\text{O}_3$ . 1 — кривая прямого хода, 2 — кривая обратного хода

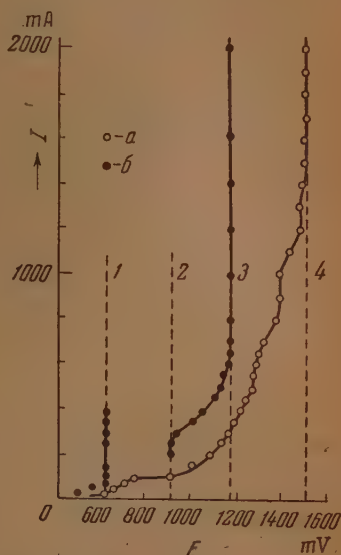


Рис. 3. Величины устойчивых катодных потенциалов после отключения тока различной плотности. а — значения потенциала при включенном токе, б — то же при выключенном токе

Сопоставление значений потенциала при  $I = 0$  с  $IE$ -зависимостью позволяет сделать заключение о наличии на катодной кривой потенциалов 1, 2, 3 и 4, соответствующих каким-то четырем электродным процессам.

Потенциалы 1, 2 и 3 были найдены также на кривой зависимости потенциала поляризованного катода от времени. Для снятия этой зависимости катод выдерживался при силе тока 1 А некоторое время, после чего ток выключался и производилось наблюдение за изменением потенциала электрода во времени (рис. 4).

Как известно, кривая, выражающая эту зависимость, после выключения тока имеет горизонтальную площадку, которая отвечает потенциалу, соответствующему обратному воссоединению продуктов электролиза. В случае, если на катоде могут протекать два или более токообразующих процесса, кривая будет иметь несколько площадок, соответствующих каждому процессу. В качестве примера можно привести измерения поляризации в расплавленном  $\text{NaOH}$ , где из двух площадок на кривой, первая соответствует э. д. с. цепи  $\text{Na}|\text{NaOH}|\text{O}_2$ , а вторая цепи  $\text{H}_2|\text{NaOH}|\text{O}_2$  [12].

Для криолитных расплавов, где имеются два катиона  $\text{Na}^+$  и  $\text{Al}^{3+}$ , можно было бы ожидать на такой кривой две площадки. Первая из них,

в соответствии с потенциалами разряда, отвечала бы окислению натрия а вторая — алюминия. Однако в действительности дело обстоит значительно сложнее.

Как видно из рис. 4, на кривой изменения потенциала катода во времени обнаруживаются три горизонтальные площадки 1, 2 и 3.

Сравнение 3 потенциала с потенциалом только что опущенного в электролит алюминиевого электрода показало, что они совпадают по величине. Последнее свидетельствует о выделении (рис. 3) или растворении (рис. 4) на этой линии металлического алюминия. Это для первого случая (рис. 3) подтвердилось и визуальным осмотром молибденового электрода: до потенциала, отвечающего линии 3, алюминия на нем не обнаруживалось.

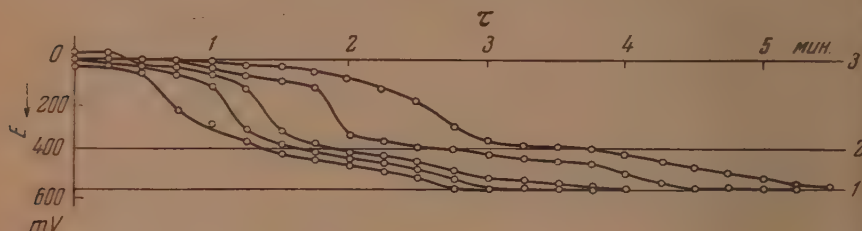


Рис. 4. Зависимость потенциала тренированного катода от времени при силе тока равной нулю

Нетрудно также установить природу 4 потенциала. Согласно исследованиям Г. А. Абрамова и Л. Н. Ложкина [13], линия 4 соответствует выделению газообразного натрия. Это утверждение находится в согласии с нашими наблюдениями. Электролиз при плотностях тока выше последнего перегиба на поляризационной кривой (рис. 3) сопровождается вспышками желтого пламени и слабыми хлопками. Образование желтых огоньков, вероятно, вызвано окислением выделяющегося натрия.

Отсутствие четвертого потенциала на кривой потенциал — время (рис. 4) объясняется несовершенством методики измерения, не позволившей зафиксировать площадку, соответствующую растворению натрия, так как последний, находясь в газообразном состоянии, удаляется с катода в весьма короткий промежуток времени.

Так как кроме натрия и алюминия в криолитном расплаве нет никаких других простых катионов, то наличие еще двух площадок на кривой, вероятнее всего, свидетельствует о ступенчатом окислении этих двух металлов с образованием в первую очередь каких-то промежуточных соединений (ионов). Образовавшиеся промежуточные соединения подвергаются дальнейшему окислению при потенциалах площадок 2 и 1 (рис. 4).

При пропускании тока образование промежуточных соединений происходит в первую очередь, т. е. при потенциалах более низких, чем выделение металлических алюминия и натрия.

Некоторые данные о характере разряжающихся при этом ионов может дать анализ поляризационной кривой. Из него следует, что отдельные участки кривой подчиняются закономерностям, являющимся следствиями концентрационной поляризации. Рис. 5 показывает, что экспериментальные точки, относящиеся к начальной части кривой, укладываются на прямую линию, которая выражается уравнением \*

$$E = E_0 - \frac{RT}{nF} \ln \frac{I_d - I}{I} \quad (13)$$

\*  $I_d$  — предельная плотность тока (рис. 6).

Соотношение  $2,3 \frac{RT}{nF} = \operatorname{tg} \alpha$  позволяет определить валентность разряжающегося на этом участке иона:

$$\frac{0,265}{n} = 0,130; \quad n = 2,04.$$

Она оказывается очень близкой к двум. Подобная величина  $n$  получается и из данных рис. 6, где закономерность  $E - \ln \frac{I_d - I}{I}$  выражена

большим числом экспериментальных точек. Такая величина  $n$  еще более подтверждает ступенчатый характер восстановления катионов, имеющих в криолите.

На участке от линии 2 до по-

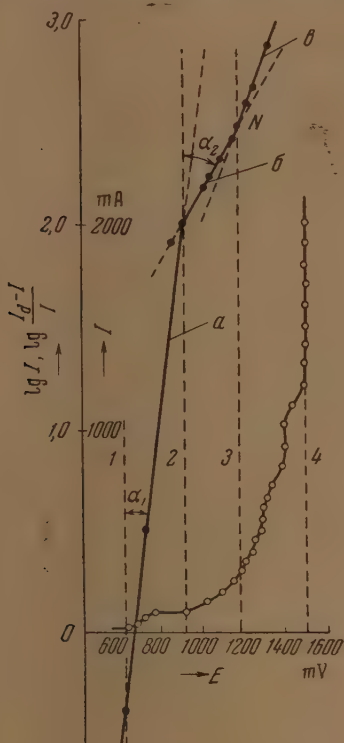


Рис. 5

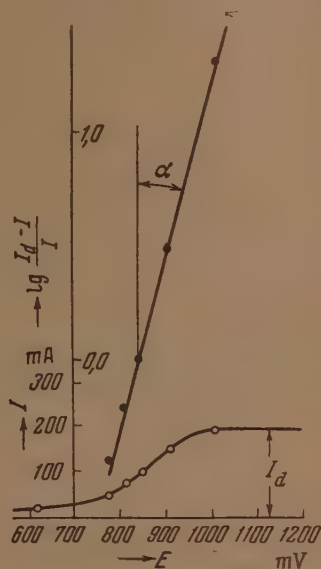


Рис. 6

Рис. 5. Зависимость потенциала от логарифма силы тока. Линия  $a$  — в координатах  $E - \lg \frac{I_d - I}{I}$ ; линии  $b$  и  $c$  — в координатах  $E - \lg I$ ;  
 $\operatorname{tg} \alpha_1 = 0,130, \operatorname{tg} \alpha_2 = 0,525$

Рис. 6. Изменение потенциала при малых плотностях тока;  $\operatorname{tg} \alpha = 0,125$

енциала алюминия (3, рис. 5) наблюдается другая закономерность, выражаемая уравнением:

$$E = E_0 + \frac{RT}{nF} \ln I. \quad (14)$$

Определение величины  $n$  для этого уравнения приводит к неожиданному значению ее. Она оказывается равной

$$\frac{0,265}{n} = 0,525; \quad n \approx 0,5.$$



Такая же закономерность имеет место и на участке *Oa* поляризационной кривой чистого фтористого натрия, изображенной на рис. 7. Из данных этого рисунка следует также, что  $n = 0,5$ .

Зависимость, выражаемая уравнением (14), сохраняется только начала выделения алюминия. Из рис. 5 видно, что прямая испытывает в этом месте перегиб (точка *N*).

Выявление аналитической зависимости изменения потенциала от силы тока между линиями выделения алюминия и натрия (3 и 4), рис. 5 является

затруднительным, так как осложняется наложением нескольких процессов друг на друга.

Сопоставление зависимости  $E - \ln I$ , имеющей место между потенциалами 2 и 3 (рис. 5), с такой же зависимостью на поляризационной кривой фтористого натрия (рис. 7) дает основания предполагать одинаковый характер процессов в том и другом случае, т. е. считать 2 (рис. 5) потенциалом, связанным с разрядом каких-то катионов, присущих фтористому натрию. В соответствии с работой В. А. Пазухина [3] в этом случае, по видимому, имеет место процесс неполного восстановления  $\text{Na}^+$  с образованием катионов субсоединения  $\text{Na}_2^+$ .

Величина  $n=2$  между потенциалами 1 и 2 (рис. 5) может говорить о нецелом разряде на этом участке катиона  $\text{Al}^{3+}$  с переходом их в одновалентную форму.

Таким образом, наличие четырех потенциалов на катодной поляризационной кривой может быть объяснено ступенчатым протеканием процессов выделения алюминия и натрия

образованием промежуточных катионов  $\text{Al}^+$  и  $\text{Na}_2^+$ , соответствующих соединениям  $\text{AlF}$  и  $\text{Na}_2\text{F}$ .

При этом первый потенциал соответствует началу следующей электрохимической реакции:



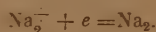
второй потенциал



третий потенциал



четвертый потенциал



Полученные при анализе поляризационной кривой уравнения (13) и (14) можно обосновать теоретически, исходя из некоторых кинетических закономерностей на потенциальной поляризации.

Логарифмическое уравнение (13) может быть получено следующим образом. Для реакции восстановления:



предполагаемой на первом участке поляризационной кривой, зависимость потенциала от концентрации для идеальных растворов выражается

$$E = \frac{RT}{2F} \ln \frac{[Al^{3+}]}{[Al^+]}. \quad (15)$$

В случае стационарной диффузии концентрация  $Al^{3+}$  будет определяться выражением [14]:

$$[Al^{3+}] = \frac{I}{nFD} (I_d - I). \quad (16)$$

Для одновалентного алюминия концентрация будет пропорциональна плотности тока

$$[Al^+] = \frac{e}{nFD} I, \quad (17)$$

так как по условиям опыта начальная концентрация его равна нулю\*.

Подставляя в уравнение (15) выражения (16) и (17), получим в соответствии с экспериментом

$$E = E_0 + \frac{RT}{2F} \ln \frac{I_d - I}{I}.$$

Что касается формулы, отвечающей второму участку, то ее выводу могут помочь следующие соображения.

В случае чистого NaF концентрация катионов натрия в приэлектродном слое при пропускании тока не может меняться заметным образом, так как они являются единственными простейшими положительными частицами в расплаве. По этой причине при непосредственном разряде этих катионов до металлического состояния заметной концентрационной поляризации не должно наблюдаться. Это можно видеть на кривой рис. 7 выше точки *a*, где этот процесс имеет место.

Иначе дело обстоит при неполном разряде этих катионов с образованием  $Na_2^+$ . Для того чтобы получить такой катион, необходимо иметь в зоне разряда два иона  $Na^+$ , находящихся в непосредственной близости друг от друга. Естественно ожидать, что такого рода спаривание заряженных катионов наиболее вероятно при наличии тока. При отсутствии его концентрацию таких пар ионов можно принять равной нулю.

Такое допущение делает возможным вывод формулы (14). Если приравнять активности концентрациям, то согласно реакции разряда



уравнение концентрационной поляризации запишется

$$E = \frac{RT}{F} \ln \frac{[Na^+]^2}{[Na_2^+]}$$

При этом  $[Na^+]^2 = (e/nFD)^2 I^2$ , так как согласно сделанному допущению  $c_0 = 0$ , а  $[Na_2^+] = \text{const}$  по условиям эксперимента (измерение потенциала происходило на «тренированном», т. е. насыщенном продуктами электролиза катоде). Отсюда

$$E = \frac{RT}{F} \ln \left( \frac{e}{nFD} \right)^2 \frac{I^2}{\text{const}}$$

$$E = E_0 + \frac{RT}{0,5 F} \ln I.$$

Следует иметь в виду, что последний вывод является не больше, чем попыткой объяснить экспериментальное уравнение (14) с позиций теории концентрационной поляризации.

\* Измерения проводились на «свежем» электроде. На «тренированном» при небольших плотностях тока катоде скачок потенциала отсутствовал.

Полученные экспериментальные результаты характерны для электролита, не насыщенного металлическим алюминием. Как показали опыты Г. А. Абрамова и Л. Н. Ложкина [13], в расплаве, предварительно насыщенном алюминием, поляризационные кривые имеют более простой вид. На полученных кривых эти авторы не обнаружили каких-либо перегибов, свидетельствующих о разряде более чем двух катионов. Они нашли на этой кривой только одну горизонтальную площадку, образование которой они объяснили как результат перехода от разряда только ионов алюминия к совместному разряду их с ионами натрия.

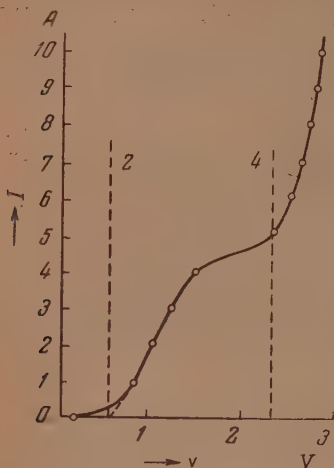
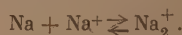
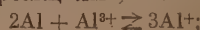


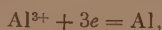
Рис. 8. Катодная поляризационная кривая при наличии в электролите металлического алюминия. 2 — начало выделения алюминия, 4 — начало выделения натрия

В настоящей работе опыт снятия поляризационной кривой в условиях насыщения электролита алюминием был повторен. Результаты этих измерений приведены на рис. 8. Как видно из рисунка, на кривой можно найти только два потенциала, отвечающих выделению металлических алюминия и натрия.

Это является вполне естественным, так как в присутствии алюминия имеет место установившееся равновесие металл — электролит по реакциям



Такое равновесие означает равенство потенциала разряда ионов  $\text{Al}^{3+}$  и  $\text{Al}^0$ , с одной стороны, и  $\text{Na}^+$  и  $\text{Na}_2^+$  — с другой, вследствие чего выделение обоих металлов должно протекать непосредственно по реакциям



Автор выражает глубокую благодарность О. А. Есину за постоянный интерес к данной работе.

### ВЫВОДЫ

1. На поляризационной кривой, полученной в криолитном расплаве, обнаружены четыре различных значения потенциала. Три из них найдены также в виде горизонтальных площадок на кривой изменения потенциала тренированного катода во времени.

2. На основании анализа полученных кривых сделано предположение о ступенчатом восстановлении алюминия и натрия с образованием промежуточных катионов  $\text{Al}^+$  и  $\text{Na}_2^+$ , соответствующих субсоединениям  $\text{Al}^+$  и  $\text{Na}_2\text{F}$ .

Уральский политехнический институт  
им. С. М. Кирова  
г. Свердловск

Поступила  
25. II. 1955

### ЛИТЕРАТУРА

1. Дж. П. Мак-Гир, Усп. химии, **17**, 499, 1953.
2. Н. А. Белозерский, Сборник работ по электрохимии расплавленных солей, ГИПХ, № 39, 76, 1940.
3. В. А. Пазухин, Усп. химии, **21**, 313, 1952.

- А. И. Беляев, М. Б. Рапопорт и Л. А. Фирсанова, Электрометаллургия алюминия, Metallurgizdat, 1953.
- Л. Н. Антипин, Автореферат, Свердловск, Уральский политехнический институт, 1953.
- P. Grossbach, Zs. f. Electrochem., 42, 65, 1936.
- В. А. Плесков, Усп. химии, 16, 25, 1947.
- Ю. К. Делимарский, Журн. физ. химии, 23, 875, 1950.
- С. В. Карпачев, С. И. Ремпель и Е. Ф. Иордан, Журн. физ. химии, 22, 422, 1949.
- J. Cutbertson, J. Waddington, Trans. Farad Soc., 32, 745, 1936.
- Ю. К. Делимарский и А. А. Колотий, Украинский химический журнал, 22, 877, 1951.
- П. Ф. Антипин и др., Электрохимия расплавленных солей, ОНТИ, 1937.
- Г. А. Абрамов и др., Теоретические основы электрометаллургии алюминия, Metallurgizdat, 1953.
- А. Н. Фрумкин, В. С. Багоцкий, Э. А. Иофа, Б. Н. Кабанов, Кинетика электродных процессов, Изд-во Московского университета, 1952.
-



## КИНЕТИКА ДЕГИДРАТАЦИИ ЭТИЛОВОГО СПИРТА И ДИЭТИЛОВОГО ЭФИРА НА ОКИСИ АЛЮМИНИЯ И АЛЮМОСИЛИКАТНЫХ КАТАЛИЗАТОРАХ

*К. В. Топчиева и К. Юн-Пин*

После сообщения В. Е. Тищенко и А. А. Григорьева [1], впервые осуществивших парофазную дегидратацию спиртов и простых эфиров в присутствии окиси алюминия, в литературе появилось большое число работ, посвященных этому вопросу. Однако механизм этой реакции до последнего времени нельзя считать установленным.

Рядом авторов [2—7] было показано, что реакция протекает последовательно через стадию образования простого эфира. Другие авторы [8—10], исходя из факта расхождения скоростей образования этилена из спирта и соответствующего эфира, заключили, что эфир не является промежуточным продуктом этой реакции и что этилен и простой эфир образуются в результате двух независимых параллельных реакций. Как последовательная, так и параллельная схемы не могут объяснить факта появления максимума на кривой выхода этилового спирта в зависимости от времени контакта при дегидратации диэтилового эфира, установленного в одной из наших работ \*.

Необходимо заметить, что большинство исследований, посвященных вопросам дегидратации спиртов, охватывали сравнительно узкий интервал температур и объемных скоростей, а применявшиеся методы анализа катализата в жидкой фазе в сложной трехкомпонентной системе были недостаточно точны. Поэтому схемы, предложенные различными авторами, в большинстве своем не имеют строго количественного подтверждения и не в состоянии объяснить наблюдаемые экспериментальные факты.

Ранее [11, 12] было установлено, что процесс дегидратации этилового спирта на окиси алюминия и на синтетических алюмосиликатах протекает через стадию образования диэтилового эфира. Нами были предложены уравнения, описывающие постадийное протекание процесса дегидратации.

Настоящее сообщение является продолжением работ по изучению кинетики дегидратации спирта и диэтилового эфира на алюмосиликатных катализаторах различного состава, предпринятых с целью выяснения механизма и природы активных центров реакции дегидратации.

В качестве катализаторов применялись: чистая окись алюминия и синтетические алюмосиликаты [13, 14]. Этиловый спирт и эфир имели следующие константы: спирт  $d_4^{20} = 0,8062$ ,  $n_D^{20} = 1,3650$ , весовой процент равен 94,7; абсолютный серный эфир, т. кип.  $34^\circ \text{C}$  ( $p = 758$  мм рт. ст.),  $d_4^{20} = 0,7140$ .

Исследование каталитической активности образцов проводилось в проточной установке. Подача исходных веществ (спирта или эфира) с заданной скоростью осуществлялась при помощи специального поршневого приспособления. Анализ жидких продуктов реакции проводился по объемному методу совместного окисления спирта и эфира бихроматом калия в присутствии серной кислоты различной концентрации [11, 15]. Опыты по дегидратации спирта и эфира велись при температурах  $225\text{--}475^\circ \text{C}$ . Молярные скорости подачи ( $n_0$ ) исходного вещества изменялись от 0,0016 до 0,326 моля этилового спирта на  $1 \text{ см}^3$  катализатора в час. Степень превращения спирта в эти-

\* Результаты исследований по кинетике дегидратации эфира будут опубликованы в одном из последующих сообщений.

( $x_{C_2H_4}$ ) определялась отношением числа молей образовавшегося этилена к числу молей пропущенного спирта. Степень превращения диэтилового эфира ( $y_{C_2H_4}$ ) определялась отношением числа молей эфира, превратившегося в этилен, к числу молей эфира, взятого в опыте (в дальнейшем называемого нами исходный эфир).

На рис. 1, 2 и 3 приведены данные по кинетике дегидратации этилового спирта на окиси алюминия. На оси ординат отложена степень превращения

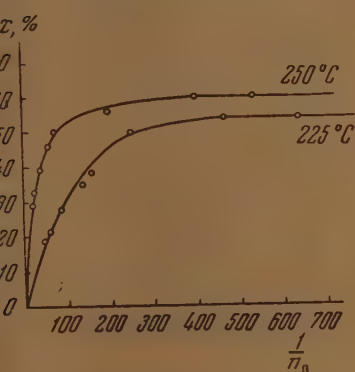


Рис. 1

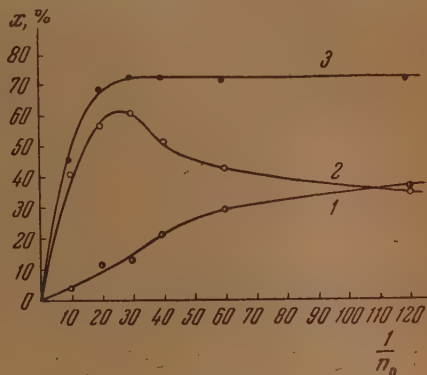


Рис. 2

Рис. 1. Кинетика превращения спирта в эфир на  $Al_2O_3$  при 225 и 250° С  
Рис. 2. Кинетика превращения спирта на  $Al_2O_3$  при 300°. 1 — выход этилена; 2 — выход эфира; 3 — общая степень превращения спирта

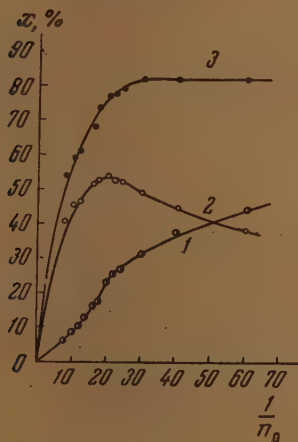


Рис. 3

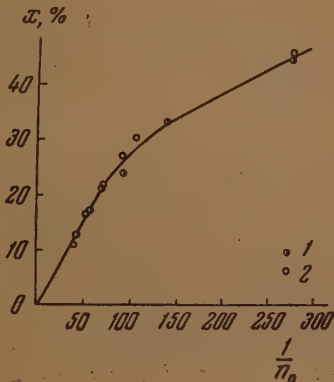


Рис. 4

Рис. 3. Кинетика превращения спирта на  $Al_2O_3$  при 300°. 1 — выход этилена; 2 — выход эфира; 3 — общая степень превращения спирта.

Рис. 4. Кинетика превращения эфира на  $Al_2O_3$  при 275°. Точки относятся: 1 — к опытным значениям превращения чистого эфира; 2 — к теоретически рассчитанным значениям превращения промежуточного эфира по последовательной схеме дегидратации спирта

я спирта, на оси абсцисс — величина  $1/n_0$ , пропорциональная времени контакта. Объем катализатора был равен 10 см<sup>3</sup>.

Из рис. 1 видно, что при 225 и 250° С степень превращения этилового спирта в диэтиловый эфир с увеличением времени контакта сначала растет, а затем достигает постоянного значения. Это связано, очевидно,

с достижением равновесия между этиловым спиртом и диэтиловым эфиром. Этилена при этих условиях образуется не более 2%. Следовательно, при низких температурах (до 250° С) этиловый спирт дегидратируется до этилового эфира без выделения этилена. Эти результаты согласуются с данными, полученными ранее [2, 3].

С повышением температуры помимо эфира образуется этилен, интенсивность выделения которого усиливается с увеличением температуры. При этом кривая выхода эфира (кривая 2 рис. 2 и 3) проходит через максимум с увеличением времени контакта, а кривая выхода этилена (кривая 1 рис. 2 и 3) имеет точку перегиба. Таким образом, при средних температурах (275—300° С) кинетические кривые дегидратации этилового спирта

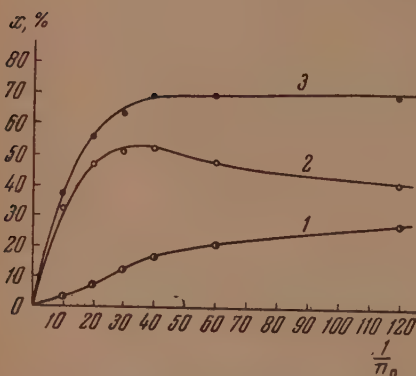


Рис. 5. Кинетика превращения спирта на катализаторе 50%  $\text{Al}_2\text{O}_3$  и 50%  $\text{SiO}_2$  при 275°. 1 — выход этилена; 2 — выход эфира; 3 — общая степень превращения спирта

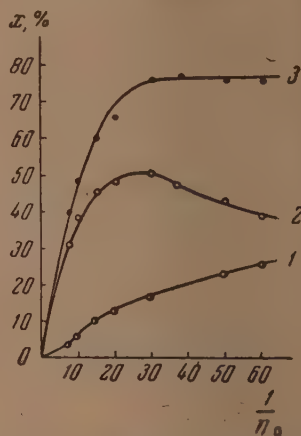


Рис. 6. Кинетика превращения спирта на катализаторе 50%  $\text{Al}_2\text{O}_3$  и 50%  $\text{SiO}_2$  при 300°. 1 — выход этилена; 2 — выход эфира; 3 — общая степень превращения спирта

имеют типичный последовательный характер. Подобный ход кинетических кривых для этилового и изопропилового спиртов был ранее получен в работах других авторов [3, 4, 7].

Интересно отметить, что общая степень превращения спирта (кривая 3 рис. 2 и 3) сначала растет с увеличением времени контакта, а затем остается практически постоянной, что, по видимому, связано с установлением равновесия первой стадии реакции — превращения спирта в эфир, являющегося промежуточным продуктом этой реакции. Эти кинетические данные позволяют нам сделать заключение о последовательности протекания реакции дегидратации этилового спирта. Такое заключение подтверждают и данные по кинетике дегидратации чистого диэтилового эфира. Из рис. 4 видно, что опытные значения степени превращения чистого диэтилового эфира хорошо совпадают с теоретически рассчитанными значениями степени превращения промежуточного эфира по последовательной схеме дегидратации этилового спирта. Однако если учитывать тот факт, что реакция превращения этилового спирта в диэтиловый эфир является обратимой, на что указывают многие работы по дегидратации этилового спирта [2, 3, 11], по гидратации диэтилового эфира [16—18], а также термодинамические исследования этой реакции [19, 20], то опытные значения степеней превращения диэтилового эфира в этилен должны быть ниже теоретически рассчитанных. Хорошее совпадение опытных и теоретически рассчитанных значений степеней дегидратации диэтилового эфира в этилен в нашем случае связано с тем, что при данных условиях проведения

пытов процент превращения диэтилового эфира в этиловый спирт незначителен (до 3%) и существенным образом не сказывается на результатах опытов.

На рис. 5, 6 и 7 приведены данные по кинетике дегидратации этилового спирта на алюмосиликатах состава 50%  $\text{Al}_2\text{O}_3$ , 50%  $\text{SiO}_2$  и 16%  $\text{Al}_2\text{O}_3$ , 4%  $\text{SiO}_2$ .

Из этих рисунков видно, что ход кинетических кривых и в этом случае имеет последовательный характер. Этот факт подтверждает выдвинутою ранее [21] положение об идентичности активных центров и одинаковом механизме действия окиси алюминия и алюмосиликатных катализаторов в реакции дегидратации спирта и эфира.

К подобному же выводу приводит и постоянство отношения степени превращения спирта в эфир к степени превращения спирта в этилен ( $x_{\text{эфир}}/x_{\text{C}_2\text{H}_4}$ ) при данном значении общей степени превращения спирта для катализаторов разного состава (см. таблицу)

На рис. 8 приведены кинетические кривые превращения спирта в эфир на окиси алюминия при разных температурах. Важно заметить, что при повышении температуры максимум выхода эфира смещается в сторону меньших значений времени контакта и имеет более крутой подъем. Из рисунка видно, что максимальное значение

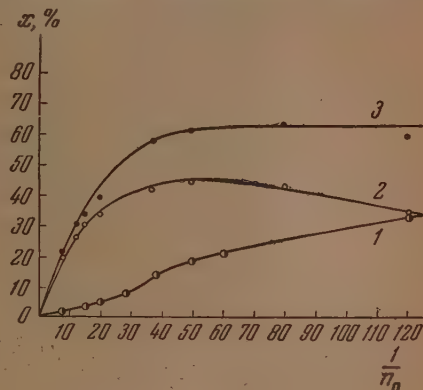


Рис. 7. Кинетика превращения спирта на катализаторе 16%  $\text{Al}_2\text{O}_3$  и 84%  $\text{SiO}_2$  при 300°. 1 — выход этилена; 2 — выход эфира; 3 — общая степень превращения спирта

выхода эфира сначала растет с повышением температуры, при 275° С достигает наибольшего значения, а при 300° С снова уменьшается.

Эти данные позволяют сделать важное заключение о том, что при высоких температурах (от 350° С и выше) скорость превращения спирта в эфир настолько велика, что определяющей стадией в реакции дегидратации спирта при этих условиях является превращение эфира в этилен. Отсюда становится ясным, что при высоких температурах можно пренебречь первой стадией процесса — превращением спирта в эфир

для кинетического расчета реакции дегидратации этилового спирта можно применять уравнения мономолекулярной гетерогенной реакции первого порядка в потоке, выведенные без учета факта образования промежуточного эфира [22, 23].

Естественно предположить, что при более высоких температурах максимум выхода эфира на кинетических кривых будет еще более сильно смещен к оси ординат и практически обнаружить его будет трудно. Наши опыты по дегидратации этилового спирта при 400° С показали, что количество эфира в катализате при этих условиях действительно мало и не превышает 10%.

Кроме того, эти данные делают вполне вероятным предположение, что реакция дегидратации высших спиртов, повидимому, также протекает по

$x_{\text{общ}}$ в %	Состав катализатора		
	16 : 84	50 : 50	$\text{Al}_2\text{O}_3$

При 300° С

50	5,42	5,43	5,41
30	9,40	9,30	9,20

При 275° С

50	—	7,5	7,7
30	—	10,7	10,5



последовательной схеме через стадию образования простых эфиров. Однако наличие максимума на кривой выхода эфира от времени контакта для них является трудно обнаруживаемым вследствие того, что он сильно смещен к оси ординат, т. е. в сторону очень больших значений молярной скорости подачи. Так, например, С. С. Хайн и А. В. Фрост [7] показали, что максимум выхода диизопропилового эфира при дегидратации изопропилового спирта над алюмосиликатными квасцами в зависимости от скорости подачи спирта наблюдается при температуре  $170^\circ\text{C}$  (почти на

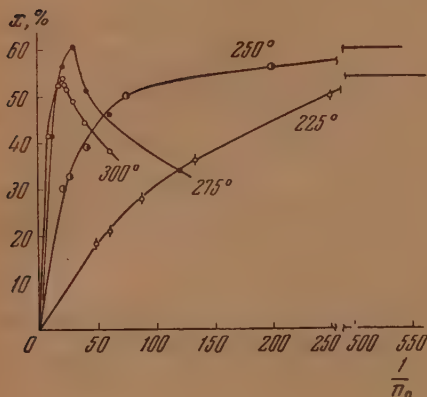


Рис. 8

Рис. 8. Кинетика превращения спирта в эфир на  $\text{Al}_2\text{O}_3$

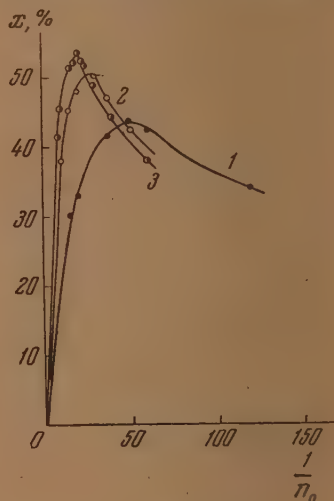


Рис. 9

Рис. 9. Кинетика превращения спирта в эфир при  $300^\circ\text{C}$  на катализаторах разного состава. 1 — на 16%  $\text{Al}_2\text{O}_3$  и 84%  $\text{SiO}_2$ ; 2 — на 50%  $\text{Al}_2\text{O}_3$  и 50%  $\text{SiO}_2$ ; 3 — на  $\text{Al}_2\text{O}_3$

$100^\circ$  ниже, чем при дегидратации этилового спирта) и при объемной скорости подачи спирта, равной 0,2 л в час, примерно соответствующей времени контакта 0,4 обратной единицы молярной скорости подачи. При дегидратации бутиловых и более высоких по молекулярному весу спиртов, как правило, в катализате не обнаруживается простых эфиров, однако этот факт не исключает возможности, что первой стадией дегидратации этих спиртов является превращение их в простые эфиры. В этом случае скорость образования эфира, повидимому, велика, максимум выхода его сильно смещен в сторону больших значений объемных скоростей и присутствие эфира в катализате обычно не обнаруживается.

На рис. 9 представлены кинетические кривые превращения этилового спирта в эфир на катализаторах разного состава при  $300^\circ\text{C}$ . Из этого рисунка видно, что с увеличением содержания окиси алюминия в катализаторе максимум смещается к оси ординат и имеет более острый пик, а численное значение максимума увеличивается с повышением содержания окиси алюминия в катализаторе. Эти данные еще раз подтверждают высказанное нами ранее [21] мнение о том, что окись алюминия является наиболее активным катализатором и основным дегидратирующим компонентом в алюмосиликатных катализаторах.

## ВЫВОДЫ

1. Исследована кинетика реакции дегидратации этилового спирта на окиси алюминия и на синтетических алюмосиликатах в широком интервале температур и объемных скоростей.

2. Показано, что при 225 и 250°C спирт дегидратируется только в эфир, при высоких температурах (выше 350°) в этилен и воду с незначительным разложением эфира (до 5%). При средних температурах (275 и 300°) кинетические кривые дегидратации спирта носят типичный последовательный характер. Последовательная схема подтверждена кинетическими данными для дегидратации чистого эфира, совпадающими с теоретически рассчитанными значениями.

3. Установлено, что реакция дегидратации этилового спирта на алюмосиликатных катализаторах имеет такой же последовательный характер, как и на окиси алюминия, а отношение  $x_{\text{эфир}}/x_{\text{C}_2\text{H}_4}$  при данном значении степени превращения спирта имеет практически постоянное значение на катализаторах разного состава.

4. Показано, что с повышением температуры и увеличением содержания окиси алюминия в катализаторах максимум выхода эфира на кинетической кривой смещается в сторону меньших значений времени контакта и имеет резко выраженный пик.

Московский государственный университет  
им. М. В. Ломоносова

Поступила  
4.III.1955

#### ЛИТЕРАТУРА

- В. Е. Тищенко и А. А. Григорьев, ЖРФ-ХО, 33, 173, 1901.  
В. Н. Ипатьев, Каталитические реакции при высоких температурах и давлениях, М.—Л., 1936.  
R. Pease, C. Young, Journ. Amer. Chem. Soc., 46, 390, 1924.  
A. Alvarado, Journ. Amer. Chem. Soc., 50, 790, 1928.  
Clark, Graham a. Winter, Journ. Amer. Chem. Soc., 47, 2748, 1925.  
J. Jatkava a. H. Watson, Journ. Eng. Chem. Soc., 45, 168, 1928.  
С. С. Хайн и А. В. Фрост, Журн. прикл. химии, 18, 301, 1945.  
J. Senderens, Ann. chim. phys., 25, 449, 1912.  
H. Adkins, Journ. Amer. Chem. Soc., 44, 2175, 1922.  
Л. Х. Фрейдлин и А. М. Левит, Изв. АН СССР ОХН, № 2, 163, 1952.  
К. В. Топчиева и К. Юн-Пин, Вестн. МГУ, № 12, 39, 1952.  
К. В. Топчиева и К. Юн-Пин, Вестн. МГУ, № 2, 89, 1953.  
К. В. Топчиева и Г. М. Панченков, Вестн. МГУ, № 2, 39, 1946.  
К. В. Топчиева, Докторская диссертация, МГУ, 1953.  
А. Н. Пудовик и Г. М. Синайский, Журн. прикл. химии, 21, 862, 1948.  
А. А. Ваншейдт и М. Лозовский, Журн. общ. химии, 3, 329, 1933.  
А. А. Баландин, Н. И. Шуйкин, Т. К. Козьминская и М. П. Несвижский, Журн. общ. химии, 2, 601, 1932.  
М. Я. Каган, И. М. Россинская, С. М. Чернцов, Журн. общ. химии, 3, 337, 1933.  
R. Pease a. C. Young, Journ. Amer. Chem. Soc., 46, 2397, 1924.  
F. Valetin, Journ. Chem. Soc., № 2, 489, 1950.  
К. В. Топчиева и К. Юн-Пин, ДАН, 101, 305, 1955.  
А. Х. Борк и А. А. Толстомятова, Журн. физ. химии, 12, 227, 1938.  
Т. В. Антипина, И. В. Смирнова и А. В. Фрост, Вестн. МГУ, № 2, 55, 1948.

## ЛЮМИНЕСЦЕНЦИЯ И КАТАЛИЗ

## 1. ПРИРОДА АКТИВНЫХ ЦЕНТРОВ КАТАЛИЗАТОРОВ-КРИСТАЛЛОФОСФОРОВ

*И. В. Крылова, М. Н. Данчевская и Н. И. Кобозев*

Современное состояние катализа характеризуется все большим расширением физических методов исследования. Если до недавнего времени изучение катализа ограничивалось главным образом исследованием активности катализаторов, и лишь рентгенография давала некоторые сведения об их физической структуре, то задача более глубокого проникновения в механизм катализа — решение вопроса о природе активного центра, об активирующем и отравляющем действии добавок, элементарном акте катализа — потребовала новых методов исследования. Поэтому в последнее десятилетие, наряду с изучением активности катализаторов, начали широко использоваться различные физические методы исследования (электронография, электронная микроскопия, измерение магнитной восприимчивости, электропроводности и др.).

Люминесцентный метод до настоящего времени почти не применялся к катализу. Между тем область люминесценции кристаллофосфоров — люминесцирующих кристаллов — в последнее время обогатилась новыми данными о природе центров свечения; поэтому применение люминесценции в каталитических исследованиях могло бы способствовать решению вопроса и о природе каталитически-активных центров. Однако произведшиеся до сих пор работы по изучению каталитических и люминесцентных свойств оксидноцинковых катализаторов не привели к определенным результатам, хотя здесь и были найдены отдельные закономерности.

Так, в работе [1] на основании изучения люминесцентных и каталитических свойств окиси цинка, полученной различными способами, была найдена обратная зависимость между люминесцентной способностью и каталитической активностью: образцы, обладавшие яркой люминесценцией, обладали слабой каталитической активностью и, наоборот, высокоактивные катализаторы не люминесцировали.

А. Б. Шехтер и Ю. Ш. Мошковский [2] сопоставили каталитическую активность окиси цинка со спектрами люминесценции и пришли к выводу, что активность окиси цинка не определяется цветом свечения: цвет свечения связан с изменением степени совершенства кристаллической решетки и рентгеновской дисперсностью, каталитическая же активность контактно определяется лишь качеством активной поверхности.

Настоящая серия работ по параллельному исследованию каталитических и люминесцентных свойств катализаторов-кристаллофосфоров основывается, с одной стороны, на существующих представлениях теории люминесценции о природе центров свечения, влиянии металлов-активаторов, действий тушителей и т. д., а с другой — на теории активных ансамблей.

К настоящему времени твердо установлена не кристаллическая, а атомарная (точнее, ионная) природа центров свечения, и это тесно сближает область люминесценции с гетерогенным катализом, где, согласно теории активных ансамблей, активность также связана не с кристаллической, а с атомной фазой.

При изготовлении кристаллофосфоров в качестве активаторов служат, как правило, тяжелые металлы, которые являются часто активаторами

для катализаторов, причем примерно в тех же соотношениях. Совместное изучение каталитических и люминесцентных свойств катализаторов-фосфоров с добавками различных металлов является новым методом изучения действия микропримесей, а также обычных промоторов.

Кроме того, люминесцентный метод позволяет также прощупать энергетические соотношения в катализе, так как известно, что эффект тушения люминесценции ядами всегда связан с энергетическим взаимодействием атомов тушителя с решеткой люминофора. В связи с этим явление тушения может быть использовано для выяснения роли носителя в адсорбционных металлических и других катализаторах, если носителем служит люминофор. Таким образом люминесцентный метод дает новый подход к изучению катализаторов и, как показали проведенные исследования, может быть успешно применен для изучения катализаторов различного типа.

Природа каталитически активных центров является одним из основных и в то же время наиболее спорных вопросов катализа. В существующих взглядах на этот предмет можно выделить две принципиально различные точки зрения.

Первая точка зрения отождествляет активный центр с каким-либо элементом кристаллической решетки и считает, что кристаллическая фаза есть необходимое условие катализа; наиболее последовательно этот взгляд выражен в мультиплетной теории А. А. Баландина.

Вторая точка зрения выражена в теории активных ансамблей Н. И. Козева. Теория ансамблей отождествляет активные центры с небольшими атомными группировками из нескольких (1—4) атомов, адсорбированных кристаллической решеткой катализатора или каким-либо инертным носителем. Кристаллическая фаза самого катализатора, по этой теории, не является необходимой для катализа и может быть заменена практически любой поверхностью, способной фиксировать атомные группировки и не давать им укрупняться.

В отношении металлических катализаторов обширный материал, полученный на основе теории ансамблей, дал твердые доказательства именно той, а не кристаллической природы активных центров (см. [3—6]). Однако выводы, полученные для металлических катализаторов, нельзя механически распространять на катализаторы иного типа — окислы, сульфиды, соли.

Целью настоящей работы является изучение природы активных центров некоторых таких катализаторов-люминофоров. В качестве объекта каталитического исследования были взяты типичные кристаллофосфоры ( $ZnO$ ,  $ZnS$ ), что дало возможность применить к изучению природы их активных центров люминесцентный метод. Поскольку атомная природа центров свечения установлена достаточно достоверно, нахождение какого-либо параллелизма между каталитическими и люминесцентными свойствами катализаторов-кристаллофосфоров позволило бы сделать определенные выводы также и о природе каталитически активных центров этих веществ. Так как свечение кристаллофосфоров всегда сопряжено с предвзвешенным перебросом электронов в зону проводимости, возможность его связана с кристаллическим состоянием вещества, то люминесцентное исследование катализаторов-кристаллофосфоров на носителях дает, дополнение к рентгеновскому и магнитному анализу, новую возможность обнаружить зарождение кристаллической фазы и изучить ее роль в активности катализаторов полупроводникового типа.

## ЭКСПЕРИМЕНТАЛЬНАЯ ЧАСТЬ

Объектами каталитического и люминесцентного исследования служили окись цинка и сернистый цинк. Окись цинка исследовалась в виде адсорбционных слоев на силикагеле, сернистый цинк — как в чистом виде, так и с добавлением активатора — меди.



Каталитическая активность образцов изучалась на реакции разложения метанола в проточной установке. Ход реакции измерялся газометрически. Схема установки дана на рис. 1.

Дважды перегнанный абсолютный метиловый спирт с показателем преломления  $n = 1,3330$  капал из капельной воронки *a* для испарения в стеклянную трубку *b*, обогреваемую печью до  $t = 180^\circ$ . Пары метилового спирта поступали затем в реактор из молибденового стекла *c*, снабженный футляром для термометра.

Основное направление процесса выражается уравнением



оно, однако, всегда в той или другой степени осложняется вторичной реакцией



Образующиеся при разложении метанола газы проходили для конденсации через холодильник с водяным охлаждением, приемник жидкого конденсата *г* и поступали

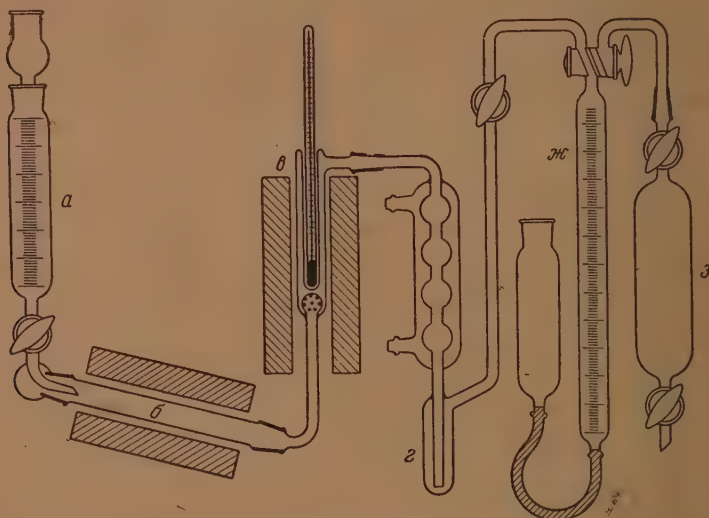


Рис. 1. Схема установки для каталитического разложения метанола

в газовую бюретку *ж*. Газ для анализа собирался в пипетку *з*. Температура опыта измерялась термометром на  $500^\circ$  и регулировалась при помощи реостатов с точностью  $\pm 1^\circ$ .

Скорость подачи метанола была всегда постоянной и составляла 0,10 мл/мин. Опыты проводились, как правило, при температурах 375, 360, 345,  $315^\circ$ , начиная с более высокой.

Для проверки неизменности активности образцов после проведения серии опытов измерялась активность катализаторов при первой температуре.

Интенсивность люминесценции образцов измерялась на люминесцентном фотометре малых яркостей типа ИФТ-51 при возбуждении ультрафиолетом от лампы ПРК-2 с фильтром Вуда.

Время затухания послесвечения определялось визуально при полной адаптации глаза на темноту до исчезновения видимого на-глаз свечения.

Катализатор — окись цинка на силикагеле. Катализаторы готовились адсорбцией  $\text{Zn}^{++}$  силикагелем из раствора азотнокислого цинка с последующим упариванием. Полученный катализатор прокаливался затем для разложения нитрата в течение 2 час. при  $t = 400^\circ$ .

В работе использовался крупнопористый силикагель Воскресенского завода с удельной поверхностью  $300 \text{ м}^2/\text{г}$ . Поверхность силикагеля определялась по теплоте смачивания метиловым спиртом. Для более равномерного распределения катализатора по поверхности носителя исходный силикагель растирался в тонкий порошок. Полученный порошкообразный катализатор прессовался в таблетки, которые раскалывались затем на кусочки одинаковой величины.

Катализаторы изучались в широком интервале заполнений силикагеля окисью цинка от 0,0002 до 0,1 мономатомного слоя.

Поскольку реакция разложения метанола на окиси цинка имеет нулевой порядок [2, 7], за общую активность катализатора принимался объем газа, выделяющегося в единицу времени.

Общая и удельная активность катализатора как функция степени заполнения для  $t = 360^\circ$  представлена на рис. 2. Как видно из рисунка, общая активность образцов до степени заполнения  $\alpha = 0,05$  прямо пропорциональна степени заполнения, а затем резко возрастает с ростом количества нанесенной  $ZnO$ . Удельная активность в этом же интервале заполнения слабо зависит от  $\alpha$ , после чего также растет с увеличением степени заполнения силикагеля окисью цинка.

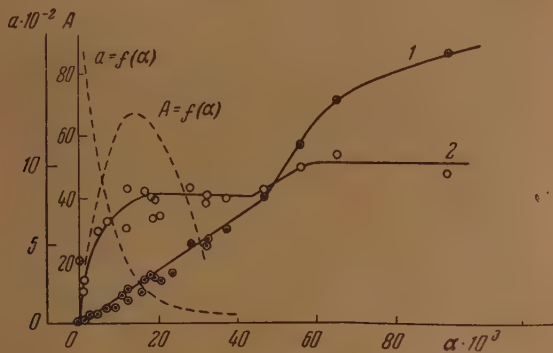


Рис. 2. Кривая 1— общая, кривая 2— удельная активности катализаторов  $ZnO/SiO_2$  в зависимости от степени заполнения

На рис. 2 для сравнения пунктиром проведены типичные кривые активности для металлических адсорбционных катализаторов\*.

Из приведенных рисунков видно, что в случае окиси цинка на силикагеле мы несомненно имеем особый вид кривых активности по заполнению, характеризующийся отсутствием максимумов активности, резко отличных от кривых для атомарно-активных металлических адсорбционных катализаторов.

Найденная аномалия, которая впервые встретилась именно при переходе к трудно восстанавливаемым окисным катализаторам, указывает на то, что в данном случае, в противоположность металлам, активность катализатора тесно связана с кристаллической фазой. Это подтверждается люминесцентным исследованием катализаторов. Оказалось, что при нанесении окиси цинка на силикагель начало заметной каталитической активности (при  $\alpha \approx 0,0005$ ) совпадает с появлением оранжево-желтой люминесценции, характерной для кристаллической окиси цинка.

Несомненно, однако, что эта активная кристаллическая фаза при малых заполнениях находится в особом состоянии, так как энергия активации для катализаторов с малыми степенями заполнения оказывается заметно пониженной.

На рис. 3 показана зависимость величины энергии активации от содержания в катализаторах окиси цинка. Как видно из приведенной кривой, энергия активации снижается от 42 ккал для концентрированных образцов ( $\alpha \approx 0,01$ ) до 20 ккал для весьма разбавленных катализаторов

\* В случае металлических катализаторов, зависимость общей активности от степени заполнения носителя активным веществом выражается, как правило, кривыми, проходящими через максимум, лежащий при малых  $\alpha$  (порядка  $10^{-3}$  монослоя). Удельная активность катализаторов или также проходит через максимум при степенях заполнения  $10^{-4} - 10^{-3}$  монослоя, или экспоненциально спадает, начиная с  $\alpha \sim 0$  до сотых-десятых долей монослоя.

( $\alpha \approx 0,0005$ ). В этом отношении катализаторы  $\text{ZnO}$ /силикагель также резко отличаются от нанесенных металлических катализаторов (например,  $\text{Pt}$ /носитель), у которых энергия активации не зависит от заполнения [5].

Если принять, как указывают полученные кривые  $[A(\alpha), a(\alpha)]$ , что в противоположность металлам в окисных катализаторах типа  $\text{ZnO}$  кристаллическая фаза играет столь существенную роль, что с ее исчезновением исчезает и активность, то возникает вопрос, какова же здесь роль кристаллической фазы; связана ли активность этих катализаторов с какими-либо элементами кристаллической структуры, например с мультиплетами,

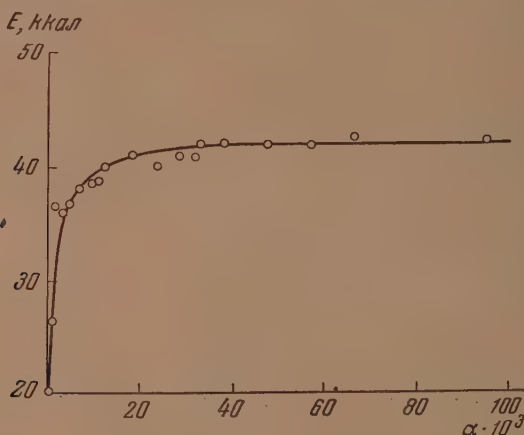


Рис. 3. Изменение энергии активации каталитического разложения метанола на образцах  $\text{ZnO}/\text{SiO}_2$  при различном заполнении силикагеля окисью цинка

или кристаллическая фаза является лишь производителем и посетителем активных центров также атомной природы, но которые не могут быть отделены от этой фазы.

Несмотря на существующее многообразие взглядов на природу центров свечения, из теории люминесценции известно, что высвечивание световой суммы, поглощенной кристаллофосфором, происходит всегда на отдельных атомах активатора, но не на элементах решетки. Активатором могут служить как атомы примеси, так и сверхстехиометрические атомы металла данного фосфора.

Сернистый цинк с добавками меди является одним из наиболее детально изученных кристаллофосфоров; при этом он является активным катализатором разложения метанола [8].

Для того чтобы выяснить тождество или различие центров катализа и свечения, нами было проведено параллельное исследование влияния микродобавок меди на люминесцентные и каталитические свойства сернистого цинка.

Катализаторы-фосфоры  $\text{ZnS}\cdot\text{Cu}$  готовились обработкой сернистого цинка раствором азотнокислой меди с последующим упариванием и прокалкой образцов в муфельной печи при  $t = 800^\circ$ . Исходными веществами служили «чистый для люминесценции» сернистый цинк и дважды перекристаллизованная из бидистиллата азотнокислая медь марки «чистая для анализа».

Содержание меди в исследуемых образцах менялось в широких пределах от  $10^{-2}$  до  $10^{-1}$  г меди/г сернистого цинка.

Результаты параллельного исследования люминесцентной способности  $\text{ZnS}\cdot\text{Cu}$  (яркости свечения и времени послесвечения) и каталитической активности приведены на рис. 4—6.

Кривая 1 рис. 4 представляет изменение интенсивности свечения в условных единицах в зависимости от содержания меди в сернистом цинке, кривая 2 — каталитическую активность образцов. Из рис. 4 видно, что интенсивность свечения имеет два максимума при содержании  $4-6 \cdot 10^{-7}$  г меди на 1 г сернистого цинка и  $\sim 5 \cdot 10^{-4}$  г/г.

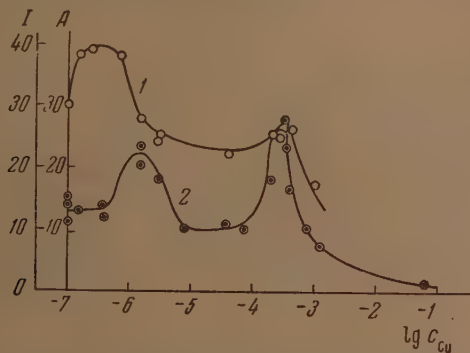


Рис. 4. Зависимость интенсивности свечения (кривая 1) катализаторов-люминофоров  $\text{ZnS} \cdot \text{Cu}$  и их каталитической активности (кривая 2) при разложении метанола от содержания меди  
1— $I=f(c_{\text{Cu}})$ , 2— $A=f(c_{\text{Cu}})$

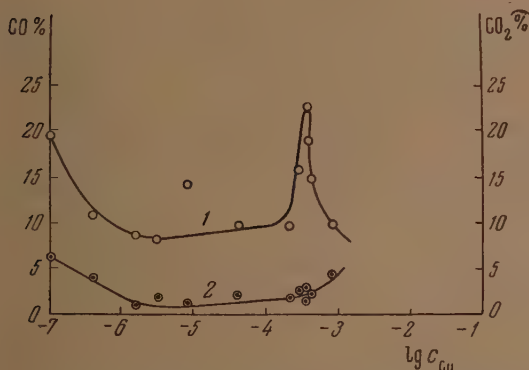


Рис. 5. Изменение состава газа, образующегося при разложении метанола на образцах  $\text{ZnS} \cdot \text{Cu}$ , в зависимости от содержания меди.  
1— $\% \text{CO}$ , 2— $\% \text{CO}_2$

Кривая активности\*  $\text{ZnS} \cdot \text{Cu}$  имеет аналогичный ход: на кривой также имеются два максимума, отвечающие содержанию меди  $2 \cdot 10^{-6}$  г/г сернистого цинка и  $5 \cdot 10^{-4}$  г/г, из которых первый максимум близок, а второй — точно совпадает с максимумом свечения.

Анализ выделяющегося газа показал, что наиболее близко к стехиометрическому уравнению:



метанол разлагается как раз на образцах с содержанием меди  $5 \cdot 10^{-4}$  г/г сернистого цинка, отвечающих максимуму активности и максимуму свечения, причем максимум содержания  $\text{CO}$  в газовой смеси выражен очень

\* Разложение метанола, как и в случае окиси цинка, протекает по нулевому порядку; активность образцов определялась числом миллилитров газа, выделившегося в единицу времени.



резко. Результаты анализа газа для катализаторов с различным содержанием меди приведены на рис. 5.

Изучение температурной зависимости активности образцов показывает, что величина энергии активации для чистого сернистого цинка (около 42 ккал) близка к значению  $E$  для окиси цинка (42 ккал). Добавление меди к сернистому цинку сильно меняет видимую энергию активации

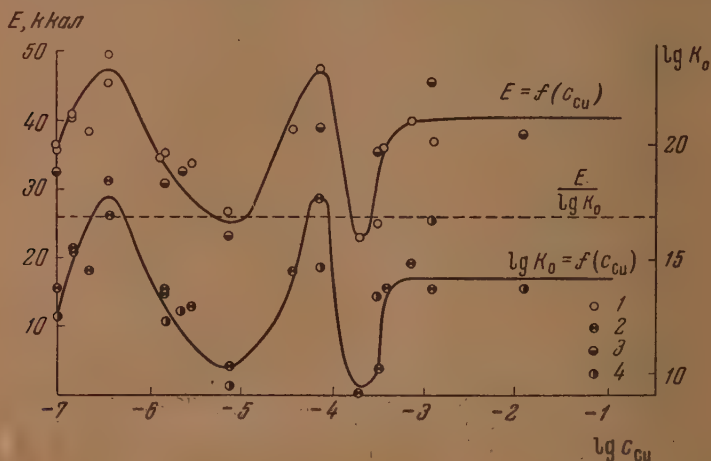


Рис. 6. Изменение энергии активации каталитического разложения метанола в зависимости от содержания меди в образцах ZnS-Cu (точки 1, 2, 3, 4 относятся к образцам катализаторов, полученным из двух разных порций исходного ZnS)

Изменение энергии активации катализаторов в зависимости от содержания меди представлено на рис. 6. На кривой видны два максимума и два резких минимума, причем второй минимум, отвечающий величине  $E = 24$  ккал, лежит при  $c_{Cu} = 5 \cdot 10^{-4}$  г/г, точно совпадающей с максима

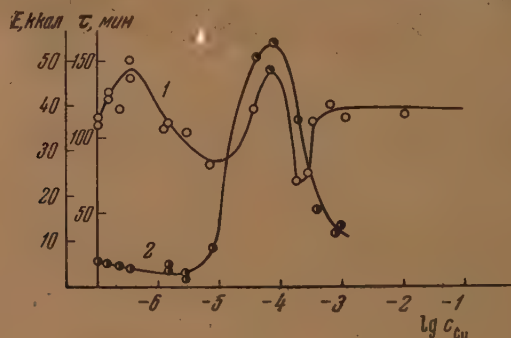


Рис. 7. Изменение: кривая 1 — энергии активации каталитического разложения метанола и кривая 2 — времени послесвечения для катализаторов-фосфоров ZnS-Cu при различном содержании меди

ной каталитической активностью образцов. Нижняя кривая рис. 6 показывает изменение предэкспоненциального множителя  $\lg K_0$  в зависимости концентрации меди. Как видно, предэкспоненциальный множитель

энергия активации изменяются симбатно, причем их отношение остается постоянным и равным 2,6 (см. пунктирную кривую рис. 6).

На рис. 7 приведены результаты измерений времени затухания послесвечения в минутах для тех же катализаторов (кривая 1) вместе с данными о энергии активации (кривая 2). Сопоставление этих кривых показывает, что наибольшим послесвечением обладают образцы с повышенной энергией активации (50 ккал).

### ОБСУЖДЕНИЕ РЕЗУЛЬТАТОВ

Таким образом, исследование окиси цинка, нанесенной на силикагель, привело к выводу, что ее активность тесно связана с кристаллической азой.

С другой стороны, Б. Н. Долгов с сотр. [8] пришли к заключению, что окись цинка и сернистый цинк очень сходны по своим каталитическим свойствам при разложении метанола. Результаты наших исследований подтверждают эти данные. Так, оказалось, что изученные нами чистые окись цинка и сернистый цинк имеют близкие значения энергии активации  $\approx 40$  ккал. Поэтому можно считать, что активные центры у  $\text{ZnO}$  и  $\text{ZnS}$  являются общими, и их природа может быть выявлена на основе сопоставления люминесцентных и каталитических свойств такой хорошо изученной системы, как  $\text{ZnS}\cdot\text{Cu}$ .

Исследование люминесцентных свойств чистой окиси [9—11] и сульфида цинка [12] привело к выводу, что в обоих случаях ответственным за люминесценцию является сверхстехиометрический цинк в виде отдельных атомов или ионов в узлах или междоузлиях решетки. А. М. Русанова [13], исследуя интенсивность свечения фосфоров  $\text{ZnS}\cdot\text{Cu}$ , получила кривую, аналогичную нашей кривой на рис. 4. На основании спектральных данных первый максимум (при  $c_{\text{Cu}} = 10^{-7}$  г/г), отвечающий образцам с голубым свечением, был приписан цинковым атомным центрам, второй максимум для фосфоров с  $c_{\text{Cu}} = 10^{-4}$  г/г с характерным зеленым свечением — медным центрам (единичным атомам меди).

Основываясь на этих данных и на установленном нами параллелизме между каталитическими и люминесцентными свойствами катализаторов-фосфоров  $\text{ZnS}\cdot\text{Cu}$ , можно сделать вывод, что центрами катализа и центрами люминесценции чистых окиси цинка и сернистого цинка являются сверхстехиометрические единичные атомы или ионы цинка. В случае же сернистого цинка, активированного медью, в качестве активных центров области второго максимума функционируют единичные атомы или ионы меди.

Характерно, что при концентрациях меди  $\sim 5 \cdot 10^{-4}$  г/г наблюдается резкое падение как каталитической активности, так и люминесцентной способности сернистого цинка (рис. 4), т. е. медь одновременно является каталитическим ядом и тушителем люминесценции.

Поскольку максимум содержания окиси углерода в газовой смеси точно совпадает с максимумом интенсивности свечения медных центров (рис. 4 и 5) и максимумом их каталитической активности, то, следовательно, наиболее близко к стехиометрическому соотношению метанол разлагается именно на атомах меди.

Изучение температурной зависимости активности образцов показало, что второй минимум на кривой энергии активации также совпадает с максимумом свечения, характерным для меди, и отвечает наибольшей активности медных центров.

Таким образом, медные центры обладают значительно меньшей энергией активации  $\approx 24$  против 38 ккал для чистого сернистого цинка.

Интересным экспериментальным фактом является также совпадение максимума времени послесвечения образцов с максимумом энергии активации (рис. 7).

Поскольку наибольшим послесвечением обладают кристаллофосфоры, у которых электроны располагаются на глубоких локальных уровнях, найденная закономерность говорит об определенной связи между величиной энергии активации каталитического процесса и глубиной электронных уровней в кристалле.

Общим результатом нашего исследования является вывод, что и в случае полупроводниковых катализаторов-люминофоров ( $\text{ZnO}$ ,  $\text{ZnS}$ ) активные центры имеют не кристаллический, а атомный характер, представляющие отдельные сверхстехиометрические атомы или атомы примеси ( $\text{Zn}$ ,  $\text{Cu}$ ), сидящие в особых местах решетки, например в междоузлиях. Таким образом, по самой природе активных центров окисные катализаторы не отличаются от металлических, и атомный характер этих центров является общим, вполне универсальным свойством.

Однако, в отличие от металлических катализаторов — платины, палладия, меди, серебра, железа, — у которых каталитически активная атомная фаза может быть получена вне материнской кристаллической фазы, у катализаторов типа  $\text{ZnO}$ ,  $\text{ZnS}$  и, вероятно, у других трудно восстанавливаемых окислов, эта атомная фаза (например,  $\text{Zn}$ -атомы) возникает только вместе с кристаллической фазой материнского вещества, например окисью цинка.

Однако дело здесь, по видимому, не в том, что кристаллическая фаза необходима для самого катализа, например, как поставщик электронов в зоны проводимости. Специально поставленные опыты показали, что атомы меди, посаженные вместо  $\text{ZnS}$  на поверхность силикагеля и сернистого окисляющего носителя, практически не обладающих полупроводниковыми свойствами, — не теряют способности интенсивно вести каталитический распад метанола, притом практически с той же энергией активации, и на решетке  $\text{ZnS}$  ( $\sim 24$  ккал).

Разложение метанола проводилось на катализаторах  $\text{Cu/SiO}_2$ ,  $\text{Cu/BaSO}_4$  и  $\text{Cu/ZnS}$  (последний катализатор представлял собой механическую смесь металлической меди и силикагеля). Все изученные образцы были крайне нестабильны: активность их быстро падала по мере реакции. Наиболее устойчивым оказался катализатор  $\text{Cu/SiO}_2$ , приготовленный адсорбционным способом, значительно быстрее спадавшая активность у катализаторов, приготовленных методом упаривания; катализатор, представляющий собой механическую смесь металлической меди с силикагелем, уже через несколько минут после начала реакции оказался практически неактивным.

Во всех случаях катализаторы готовились из аммиака меди с последующим восстановлением в токе электролитического водорода при  $t = 260^\circ$ , металлическая медь получалась восстановлением окиси меди, приготовленной из медного купороса. Были приготовлены несколько катализаторов, значительно отличающихся по степени запыленности (от десятых долей до десятых долей монослоя).

Полученные данные приведены в табл. 1. Как видно из таблицы, состав газа, разлагающегося при разложении метанола, и величина энергии активации не зависят от количества нанесенной меди и природы подложки ( $\text{SiO}_2$ ,  $\text{BaSO}_4$ ,  $\text{ZnS}$ ).

Разложение метанола на всех медных адсорбционных катализаторах протекает в основном, в направлении образования окиси углерода ( $\sim 20\%$  по объему) и с незначительной примесью двуокиси ( $\sim 2\%$  по объему). Среднее значение энергии активации для этих катализаторов  $\sim 22$  ккал.

Сопоставление этих данных с результатами, полученными для образцов  $\text{ZnS}\cdot\text{Cu}$  в максимуме люминесцентной и каталитической активности ионов меди в этих центрах, говорит о совпадении состава газа и энергии активации разложения метанола как на адсорбционных медных катализаторах, так и на катализаторе-люминофоре  $\text{ZnS}\cdot\text{Cu}$ .

Полученный результат ясно показывает тождество активных медных центров в этих обоих случаях ( $\text{Cu}$ -атомы) и о том, что природа носителя, на котором они не играет особой роли, как и для других металлических ансамблей [3—6]. Единственное существенное различие между катализаторами  $\text{Cu/SiO}_2$ ,  $\text{Cu/BaSO}_4$  и  $\text{ZnS}\cdot\text{Cu}$  заключается в большей устойчивости последней системы, вероятно, за счет большей закрепленности атомов меди на решетке  $\text{ZnS}$ .

Таблица 1

Катализатор	Степень заполнения	Состав газа в процентах				E, кал/моль	Способ приготовления
		CO <sub>2</sub>	CO	H <sub>2</sub>	остаток		
$\frac{\text{Cu}}{\text{SiO}_2}$	0,00516	—	—	—	—	20 000	Упаривание SiO <sub>2</sub> с раствором, восстановление
$\frac{\text{Cu}}{\text{SiO}_2}$	0,024	—	—	—	—	25 000	То же
$\frac{\text{Cu}}{\text{SiO}_2}$	0,036	2,8	18,4	77	1,8	—	» »
$\frac{\text{Cu}}{\text{SiO}_2}$	0,038	2,5	21,3	70,5	5,7	19 000	Адсорбция Cu <sup>++</sup> из раствора, восстановление
$\frac{\text{Cu}}{\text{SiO}_2}$	0,048	1,5	19,8	74	4,7	—	Упаривание SiO <sub>2</sub> с раствором, восстановление
$\frac{\text{Cu}}{\text{SiO}_2}$	0,0125	—	—	—	—	21 000	То же
$\frac{\text{Cu}}{\text{SiO}_2}$	0,125	2,2	17	—	—	24 500	» »
$\frac{\text{Cu}}{\text{BaSO}_4}$	0,225	—	—	—	—	19 000	Упаривание BaSO <sub>4</sub> с раствором, восстановление
$\frac{\text{Cu}}{\text{BaSO}_4}$	0,45	1,2	21,3	68	9,5	22 000	То же
ZnS·Cu	$3,3 \cdot 10^{-4}$ г/г	5,5	19,4	74,3	0,8	24 000	Упаривание ZnS с раствором, прокатка $t = 800^\circ$

Особая роль кристаллической фазы у катализаторов типа ZnO, т. е. у рудно восстанавливаемых окислов, может быть лучше понята, если учесть резкое термодинамическое отличие таких окислов от металлических катализаторов типа платины, меди, железа и т. д., заключающееся в крайне незначительной упругости диссоциации этих окислов. Это ведет к тому, что свободная энергия их восстановления



велика и положительна, и равновесие, даже при незначительном парциальном давлении водяного пара, смещено целиком в сторону окисленной фазы.

В табл. 2 сопоставлены для сравнения свободные энергии восстановления ряда окислов и равновесные упругости паров воды, выше которых невозможно существование металлической фазы, при общем давлении  $p=1$  атм и температуре восстановления  $400^\circ\text{C}$ .

Эта таблица ясно показывает, что ниже железа получение катализаторов в металлическом состоянии путем восстановления становится в реальных условиях катализа термодинамически невозможным из-за крайне незначительных равновесных упругостей водяного пара.

Например, в то время как для железа металлическое состояние возможно еще при  $p \approx 180$  мм водяного пара \*, для цинка получение и со-

\* Эта цифра относится к обычному металлическому железу. Каталитически активное томарное железо обладает большей энергией связи с кислородом [14], и поэтому равновесная упругость паров воды для него значительно ниже (около 0,1—0,5 мм). Аналогичное снижение равновесного давления паров воды наблюдается и для других активных металлов. Поэтому значение  $p_{\text{H}_2\text{O}}$ , приведенное в табл. 2, дает верхнюю границу этой величины, которую нужно уменьшить на один-полтора порядка.



хранение металлического состояния требует осушки газа ниже  $10^{-2}$  мм а для хрома ниже  $4 \cdot 10^{-5}$  мм водяного пара (или соответствующего осушки его от кислорода), что практически никогда не осуществляется реальных условиях катализа. Поэтому цинк, хром, ванадий и аналогичные металлы в этих условиях всегда будут функционировать в виде окисно-фазы. Кроме того, термодинамический расчет показывает, что восстановление водородом при атмосферном давлении цинк вообще не может быть получен в твердом состоянии, так как равновесное давление паров цинка оказывается ниже упругости его насыщенного пара при температуре восстановления [15].

Таблица 2

Окислы	Исходный окисел	Свободная энергия восстановления 4Z на 1-атом Me (в кал.)	$p_{H_2O}(T=700^\circ, p=1 \text{ атм})$
Легко восстанавливаемые	PdO	—	1 атм
	CuO	—28 100	1 атм
	Ag <sub>2</sub> O <sub>3</sub>	—26 700	1 атм
	NiO	—8 352	$9,95 \cdot 10^{-1}$
	FeO	+2 350	$1,8 \cdot 10^{-1}$
Трудно восстанавливаемые	ZnO	+16 470	$1,2 \cdot 10^{-5}$
	V <sub>2</sub> O <sub>5</sub>	+41 200	$6,9 \cdot 10^{-6}$
	Cr <sub>2</sub> O <sub>3</sub>	+35 160	$4,8 \cdot 10^{-8}$
	MnO	+33 500	$3 \cdot 10^{-11}$

Из вышеизложенного ясно, что

металлическая фаза для катализаторов типа ZnO сама по себе термодинамически не может реализоваться в условиях катализа. Наоборот, она становится возможной, когда металлические атомы остаются частично включенными в решетку исходного окисла. Такое «полувосстановленное» состояние требует значительно меньшей затраты свободной энергии и, как показывают многочисленные люминесцентные исследования, довольно легко реализуются при приговлении и тренировке люминофоров (образование плавней, прогрев, восстановление).

Таким образом, чисто атомное состояние (атом металла + носитель) для катализаторов типа ZnO, т. е. для всех трудно восстанавливаемых окислов термодинамически не осуществимо в обычных условиях катализа. Наоборот, кристалло-активное состояние этих атомов (атом металла + решетка исходного окисла) является легко достижимым и достаточно устойчивым.

На основании изложенного можно прийти к выводу, что кристаллическая фаза у окисных катализаторов полупроводникового типа является не каталитически деятельным фактором, а только производителем и фиксатором активной атомной фазы, без которой эта последняя (в противоположность металлам типа Pt, Pd, Ni, Fe, Cu, Ag) термодинамически не может возникнуть в условиях катализа.

Еще раз подчеркнем, что найденная идентичность медных центров в решетке ZnS и на поверхности силикагеля в данном случае не дает оснований приписывать кристаллической фазе полупроводника какую-либо большую роль, чем генератора и фиксатора атомной фазы. Можно ли отделить такие атомы цинка от решетки полупроводника с сохранением их каталитических свойств — покажет будущее исследование.

## ВЫВОДЫ

1. Методом теории ансамблей установлено, что каталитическая активность катализатора-люминофора ZnO возникает вместе с появлением люминесцирующей кристаллической фазы.

2. В то же время путем совместного изучения каталитических и люминесцентных свойств системы ZnS·Cu найдено, что активные центры катализа совпадают с центрами свечения и, следовательно, имеют не кристаллическую, а атомно-ионную природу, представляя сверхтехнометрические атомы цинка или атомы меди (примеси).

Установлено также, что каталитические свойства меди сохраняются.

существенных изменений, при замене полупроводникового носителя диэлектриками  $\text{SiO}_2$  и  $\text{BaSO}_4$ .

3. Термодинамическим расчетом показано, что в случае трудно восстанавливаемых окислов ( $\text{ZnO}$ ,  $\text{Cr}_2\text{O}_3$ ,  $\text{V}_2\text{O}_5$  и др.) получение металлической фазы в условиях катализа практически невозможно, и роль активных центров играют «полувосстановленные» атомы металла, внедренные в кристаллическую решетку окисла.

Таким образом, каталитическая активность в случае полупроводниковых катализаторов, как и в случае металлических, обусловлена наличием активной фазы. Кристаллическая же фаза сама по себе неактивная, играет роль производителя и закрепителя атомных центров, которые в этом случае термодинамически не способны образоваться вне кристаллической решетки исходного окисла.

Московский государственный университет  
им. М. В. Ломоносова

Поступила  
8.III.1955

#### ЛИТЕРАТУРА

- A. Schleede, M. Richter, W. Schmidt, Zs. anorg. Chem., 223, 49, 1935.  
А. Б. Шехтер, Ю. Ш. Мошковский, ДАН, 72, 339, 1950; Изв. АН СССР ОХН, № 4, 354, 1949.  
Н. И. Кобозев, Уч. зап. МГУ, 86, 29, 1946.  
Н. И. Кобозев, Н. А. Решетовская, Журн. физ. химии, 23, 388, 1949.  
В. И. Шехобалова, И. В. Крылова, Н. И. Кобозев, Журн. физ. химии, 26, 703, 1952.  
Н. И. Кобозев, В. Б. Евдокимов, И. А. Зубович, А. Н. Мальцев, Журн. физ. химии, 26, 1349, 1952.  
H. Dohse, Zs. phys. Chem., (B)8, 159, 1930.  
Б. Н. Долгов, М. И. Карпинский, Н. И. Силина, Химия тверд. тел, 5, 407, 1934.  
Ф. И. Вергунас, Ф. Ф. Гаврилов, ДАН, 57, 31, 1947.  
К. В. Шалимова, ДАН, 78, 1127, 1951.  
Ф. И. Вергунас, Г. А. Коновалов, ЖЭТФ, 23, 712, 1952.  
А. А. Черепнев, ЖЭТФ, 21, 332, 1951.  
А. М. Русанова, Изв. АН СССР, сер. физ., 15, 754, 1951.  
Almqvist, Black, Journ. Amer. Chem. Soc., 48, 2814, 2820, 1926.  
Я. И. Герасимов и А. Н. Крестовников. Химическая термодинамика в цветной металлургии, М., Металлургиздат, 1933.

## СМЕШАННЫЕ АДСОРБЦИОННЫЕ КАТАЛИЗАТОРЫ

II. АКТИВНОСТЬ СМЕШАННЫХ МЕТАЛЛИЧЕСКИХ КАТАЛИЗАТОРОВ  
НА СУЛЬФАТАХ ЩЕЛОЧНО-ЗЕМЕЛЬНЫХ МЕТАЛЛОВ ПРИ  
ВОССТАНОВЛЕНИИ м-НИТРОФЕНОЛА

И. А. Зубович

В предыдущем сообщении [1] было показано, что значения экстремум каталитической активности разведенных слоев смешанных металлических адсорбционных катализаторов приходится на простые стехиометрические отношения атомов металлов на поверхности носителя.

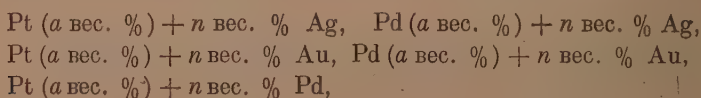
Простота и устойчивость наблюдаемых стехиометрических отношений указывает именно на атомарное взаимодействие компонентов в смешанных адсорбционных катализаторах. Характер такого взаимодействия и активность образующихся на поверхности носителя структур, как указывало в первом сообщении, должны в конечном итоге зависеть от их электронного строения и наличия неспаренных электронов в атомах взаимодействующих элементов. Для развития этого представления интересно проследить, будут ли найденные при разложении перекиси водорода закономерности по активности смешанных катализаторов выполняться при других каталитических процессах.

Для понимания природы процессов, протекающих при отравляющем действии одного металла на другой в разведенных слоях смешанных адсорбционных катализаторов, важное значение имеет анализ кривых активности на основе теории отравления [2].

Настоящая работа посвящена исследованию поставленных вопросов

## ЭКСПЕРИМЕНТАЛЬНАЯ ЧАСТЬ

На примере реакции восстановления м-нитрофенола изучена каталитическая активность следующих смешанных адсорбционных катализаторов на сульфатах щелочно-земельных металлов:



где  $a$  и  $n$  выражают соответственно концентрацию постоянного и переменного компонентов в весовых процентах по отношению к весу носителя

Препараты и метод. Сульфаты щелочно-земельных металлов были специально синтезированы и отличались высокой степенью чистоты [1].

Для получения катализаторов брались химически чистые платинохлористоводородная кислота  $\text{H}_2[\text{PtCl}_6] \cdot 6\text{H}_2\text{O}$  и хлористый палладий  $\text{PdCl}_2$ . Продажный препарат  $\text{AgNO}_3$  (чистый для анализа) специально очищался [1].

Препарат м-нитрофенола  $\text{HO} \cdot \text{C}_6\text{H}_4 \cdot \text{NO}_2$  очищался методом двукратного осаждения из спиртового раствора водой (применяемый этиловый спирт перегонялся). Температура плавления полученного препарата  $96,1^\circ$ .

Катализаторы готовились по методике, описанной в первом сообщении [1]. Электролитический водород, поступающий в «гуськи» для восстановления катализаторов, промывался тридестиллатом, проходил каталитическую печь с платинированным асбестом, накаливаемым до  $350^\circ$ , склянки с концентрированным щелочным раствором  $\text{KMnO}_4$ , плюмбитом натрия и тридестиллатом, осушался в колонке, заполненной плавленым  $\text{CaCl}_2$  и поступал в трубку со стеклянной ватой, предварительно

омытой при кипячении. В работе во всех случаях использовалась дистиллированная вода (трижды перегнанная в аппарате из стекла пирекс).

Для измерения скорости реакции применялся газометрический метод. Специальный механизм приводил кинетическую колбочку особой конструкции в движение со скоростью 400 поступательно-встряхивающих толчков в минуту, что вполне удовлетворяло требованиям протекания реакции в кинетической области и воспроизводимо-м опытов. О скорости восстановления м-нитрофенола мы судили по количеству по-тотившегося водорода (условия нормальные) в начальный период реакции. Наблюдае-м активность  $A$  выражалась в  $\text{см}^3 \text{H}_2$  в минуту. Опыты проводились в широком тервале температур (от 25 до  $80^\circ$ ).

Во всех опытах для одного определения бралось 0,2 г катализатора и 30 мл вод-го раствора м-нитрофенола концентрации 0,0111 моль/л. При обработке результа-в принимались значения, полученные по экспериментальным данным трех серий катализаторов, применявшихся для каталитических опытов в день приготовления (восстановления). Для каждого катализатора одной серии проводилось два определе-я.

Приготовление катализаторов и каталитические определения проводились в ат-мосфере, максимально обеспыленной и не содержащей газообразных токсических веществ. Вся посуда, в которой получались катализаторы и готовились растворы, была тщательно обрабатывалась и промывалась. Катализаторы после восстано-ния запаивались в ампулы.

Результаты исследования. Полученные экспериментальные данные иведены в табл. 1—2 и на рис. 1—7. В графиках активности сплошной линией изобра-на наблюдаемая активность  $A$  катализаторов как функция количества варьируе-го компонента  $v(\text{Pt} + \text{Ag})$ ;  $v(\text{Pt} + \text{Au})$ ;  $v(\text{Pd} + \text{Ag})$ ;  $v(\text{Pd} + \text{Au})$ ;  $v(\text{Pt} + \text{Pd})$ . Штрихованная кривая (рис. 2) дает сумму активности отдельно взятых компонентов (по-зону простой аддитивности). Штрихованными кружками, треугольниками и квад-татами на оси ординат дана активность катализаторов с содержанием одного посто-ного компонента в носителях.

Таблица 1

$\text{Pt}(0,1 \text{ вес. \%}) + n \text{ вес. \% Ag}$  на  $\text{CaSO}_4$ ,  $\text{SrSO}_4$ ,  $\text{BaSO}_4$ . Восстановление м-нитрофенола ( $t = 25^\circ \text{C}$ )

Содержание Pt и Ag в вес. %	Отношение числа атомов Pt к Ag		Наблюдаемая активность		
	Pt	Ag	на $\text{CaSO}_4$	на $\text{SrSO}_4$	на $\text{BaSO}_4$
Pt (0,1)	Pt	—	1,630	1,667	1,900
Pt (0,1) + 0,0005 Ag	111	1	1,430	1,364	1,818
Pt (0,1) + 0,005 Ag	11	1	1,053	1,071	1,200
Pt (0,1) + 0,011 Ag	5	1	0,435	0,517	0,516
Pt (0,1) + 0,0275 Ag	2	1	0,102	0,083	0,100
Pt (0,1) + 0,055 Ag	1	1	0,037	0,050	0,060
Pt (0,1) + 0,082 Ag	1	1,5	0,027	0,030	0,032
Pt (0,1) + 0,11 Ag	1	2	0,020	0,027	0,030
Pt (0,1) + 0,22 Ag	1	4	0,012	0,012	0,012
Pt (0,1) + 0,33 Ag	1	6	0,010	0,006	0,008
Pt (0,1) + 0,44 Ag	1	8	0,008	0,006	0,008
Pt (0,1) + 0,55 Ag	1	10	0,006	0,005	0,006
Pt (0,1) + 0,66 Ag	1	12	0,005	0,005	0,006

### ОБСУЖДЕНИЕ РЕЗУЛЬТАТОВ

Полученные данные позволяют сделать заключение, что специфика каталитической активности платино-серебряных, платино-золотых, пал-ладиево-серебряных, палладиево-золотых и платино-палладиевых адсорб-опных катализаторов на сульфатах щелочно-земельных металлов при-становлении м-нитрофенола, так же как и при разложении перекиси ро-рода [1], находится в зависимости от электронной структуры атомов речисленных элементов, т. е. от места их в периодической системе И. Менделеева.

В платино-серебряных ( $\text{Pt} + \text{Ag}$ ) и палладиево-серебряных ( $\text{Pd} + \text{Ag}$ ) катализаторах при восстановлении м-нитрофенола (табл. 1 и 2)



Таблица 2

Pd (0,0546 вес. %) + n вес. % Ag на BaSO<sub>4</sub>.  
Восстановление м-нитрофенола ( $t = 25^\circ \text{C}$ )

Содержание Pd и Ag в вес. %	Отношение числа атомов Pd к Ag		Наблюдаемая активность
	Pd	Ag	
Pd (0,0546)	Pd	—	1,578
Pd (0,0546) + 0,0005 Ag	111	1	1,250
Pd (0,0546) + 0,005 Ag	11	1	1,000
Pd (0,0546) + 0,011 Ag	5	1	0,500
Pd (0,0546) + 0,0275 Ag	2	1	0,167
Pd (0,0546) + 0,055 Ag	1	1	0,011
Pd (0,0546) + 0,082 Ag	1	1,5	0,009
Pd (0,0546) + 0,11 Ag	1	2	0,008
Pd (0,0546) + 0,22 Ag	1	4	0,008
Pd (0,0546) + 0,33 Ag	1	6	0,006
Pd (0,0546) + 0,44 Ag	1	8	0,005
Pd (0,0546) + 0,55 Ag	1	10	0,000
Pd (0,0546) + 0,66 Ag	1	12	0,003

первые малые концентрации серебра, при отношении числа атомов  $\frac{\text{Pt}}{\text{Ag}}$  и  $\frac{\text{Pd}}{\text{Ag}}$  и близких к единице, резко снижают активность платины и палладия, уменьшая скорость реакции на 97—99%. При дальнейшем увеличении концентрации серебра в носителях активность Pt + Ag и Pd + Ag катализаторов затухает и находится на грани чувствительности газометрической методики измерения.

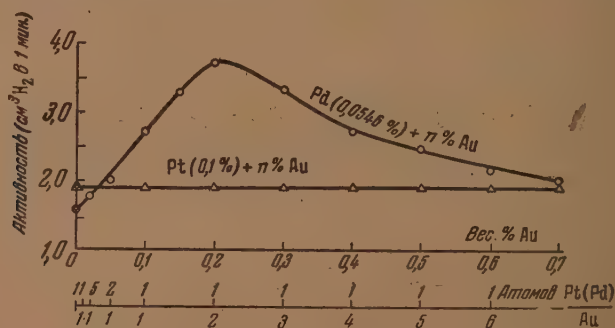


Рис. 1. Pt(Pd) + Au на BaSO<sub>4</sub>. Восстановление м-нитрофенола ( $t = 25^\circ \text{C}$ )

В катализных опытах [1], в отличие от восстановления м-нитрофенола, активность Pt + Ag и Pd + Ag катализаторов на сульфатах, начиная примерно с отношения  $\frac{\text{Pt(Pd)}}{\text{Ag}} = \frac{1 \text{ атом}}{1 \text{ атом}}$  и выше, возрастает.

Снижение активности платино-серебряных и палладиево-серебряных катализаторов при восстановлении м-нитрофенола в пределах всех изученных концентраций, в отличие от разложения перекиси водорода, можно объяснить неактивностью серебра при восстановлении м-нитрофенола и неактивностью образовавшихся платино-серебряных и палладиево-серебряных структур.

Восстановление м-нитрофенола при участии рассматриваемых катализаторов следует уравнению нулевого порядка. Температурный коэффициент в интервале между 25 и 80° мало изменяется и практически близок единице. Тип кривых активности катализаторов устойчиво сохраняется при всех изученных температурах. Интенсивность отравляющего действия серебра на платину и палладий также не обнаруживает каких-либо признаков снижения.

В платино-золотых катализаторах (0,1 вес. % Pt +  $n$  вес. % Au на BaSO<sub>4</sub>) в широком интервале концентраций золота от 0,000914 до 0,704 вес. % при восстановлении м-нитрофенола, в отличие от разложения перекиси водорода [1], не проявляется отравляющего действия золота на платину. Общая активность катализаторов сохраняется практически на одном уровне при всех концентрациях золота (рис. 1).

Наблюдаемая активность палладиево-золотых катализаторов на BaSO<sub>4</sub> при восстановлении м-нитрофенола с увеличением концентрации золота в носителе (рис. 1) проходит через максимум. Наибольшая активность катализаторов, как и при разложении перекиси водорода, проявляется при отношении  $\frac{\text{Pd}}{\text{Au}} = \frac{1 \text{ атом}}{2 \text{ атомам}}$ . Дальней-

шее увеличение содержания золота в носителе постепенно снижает активность Pd + Au катализаторов.

Чисто золотые катализаторы на BaSO<sub>4</sub> при восстановлении м-нитрофенола каталитической активности не проявляют.

Общая активность платино-палладиевых катализаторов (0,1 вес. % Pt +  $n$  вес. % Pd) на BaSO<sub>4</sub> при восстановлении м-нитрофенола значительно увеличивается с повышением концентрации палладия в носителе (рис. 2) и при 0,653 вес. % Pd превышает активность 0,1 вес. % Pt в 5,32 раза.

Наблюдаемая активность платино-палладиевых катализаторов с уменьшенными в 10 раз концентрациями Pt и Pd в носителе (0,01 вес. % Pt +  $1/10 n$  вес. % Pd) также возрастает с увеличением содержания палладия, но с относительно большей интенсивностью (учитывая концентрации Pt и Pd), чем в первом случае. Кривые активности в обоих случаях остаются совершенно аналогичными.

Из полученных результатов по восстановлению м-нитрофенола и разложению перекиси водорода [1] следует, что максимальное удельное отравляющее действие серебра на платину и палладий падает на его первые атомные концентрации в носителе.

Золото как переменный компонент в платино-золотых и в палладиево-золотых катализаторах обладает явно иным каталитическим действием, чем серебро. Эффект сравнительно небольшого отравляющего действия золота имеет место только в платино-золотых катализаторах при разложении перекиси водорода [1]. В палладиево-золотых катализаторах, при обоих рассматриваемых каталитических процессах, увеличение концентрации золота в носителях оказывает положительное влияние на общую активность.

Для сравнительной характеристики каталитического действия золота и серебра в Pt + Au, Pd + Au, Pt + Ag и Pd + Ag катализаторах ин-

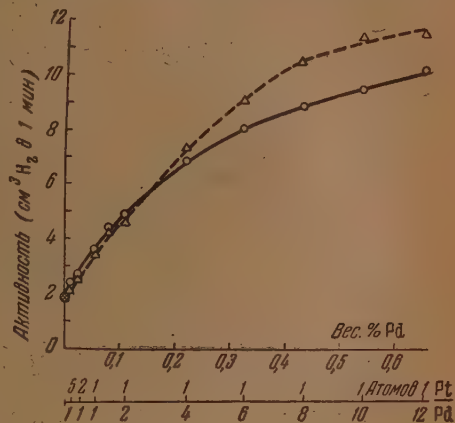


Рис. 2. Pt(0,1%) +  $n$ %Pd на BaSO<sub>4</sub>. Восстановление м-нитрофенола ( $t = 25^\circ \text{C}$ )

интересен тот факт, что золото и серебро при восстановлении м-нитрофенола оба являются практически неактивными, но в то же время серебро оказывает сильное отравляющее действие на активность платины и палладия, а золото обладает активирующим действием на палладий и не дезактивирует платину.

Приведенные данные по восстановлению м-нитрофенола и разложению перекиси водорода [1] позволяют наметить следующие случаи (или типы) взаимодействия составных компонентов в разведенных слоях смешанных металлических адсорбционных катализаторов:

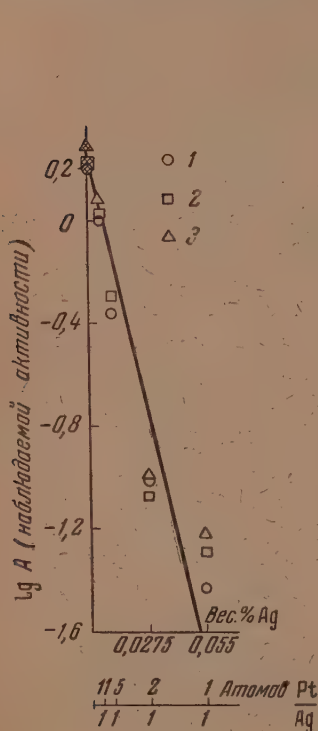


Рис. 3

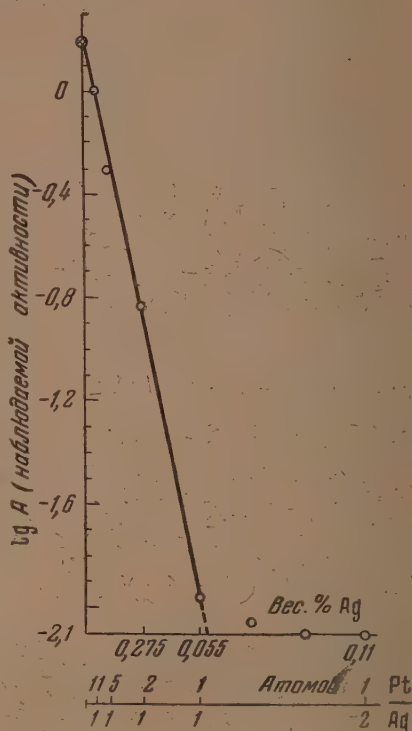


Рис. 4

Рис. 3. Pt(0,1% + n% Ag) на  $\text{CaSO}_4$ ,  $\text{SrSO}_4$ ,  $\text{BaSO}_4$ . Восстановление м-нитрофенола ( $t = 25^\circ \text{C}$ ). 1 — на  $\text{CaSO}_4$ ; 2 — на  $\text{SrSO}_4$ ; 3 — на  $\text{BaSO}_4$ .

Рис. 4. Pd(0,0546%) + n% Ag на  $\text{BaSO}_4$ . Восстановление м-нитрофенола ( $t = 25^\circ \text{C}$ ).

1. Переменный компонент каталитически неактивен и на постоянный компонент действует отравляюще (Pt + Au катализаторы при разложении перекиси водорода, Pt + Ag и Pd + Ag катализаторы при восстановлении м-нитрофенола).

2. Переменный компонент каталитически активен, но действует на постоянный компонент при малых концентрациях резко отравляюще (Pt + Ag и Pd + Ag катализаторы при разложении перекиси водорода).

3. Переменный компонент не обладает каталитической активностью, но оказывает на постоянный компонент или активирующее действие, или же не дезактивирует его (Pd + Au катализаторы при катализе перекиси водорода и восстановлении м-нитрофенола и Pt + Au катализаторы при восстановлении м-нитрофенола).

4. Каталитически активный переменный компонент оказывает положительное действие на постоянный компонент. Наблюдаемая активность

смешанных катализаторов с увеличением концентрации переменного компонента возрастает (Pt + Pd катализаторы при восстановлении м-нитрофенола и разложении перекиси водорода).

Наблюдаемое при восстановлении м-нитрофенола и разложении перекиси водорода [1] резкое снижение активности платино-серебряных и палладиево-серебряных адсорбционных катализаторов с изменением в определенном интервале концентраций содержания серебра в носителе находитесь в согласии с основными выводами теории, предложенной Н. И. Кобозевым [2], применительно к отравлению катализаторов.

Основные элементы теории применительно к анализу явлений отравления можно свести к следующим положениям: 1) поверхность катализаторов, в том числе адсорбционных катализаторов, состоит из собрания замкнутых «областей миграции», в которых все процессы, связанные с образованием активных структур, их отравлением, инактивацией, и прочие протекают независимо от подобных же процессов в соседних «областях»; 2) адсорбция молекул (атомов) яда (или отрицательно действующего компонента в смешанных адсорбционных катализаторах) рассматривается как флуктуационное заполнение миграционных областей, аналогичное заполнению этих областей каталитически активной аморфной фазой.

В основе теории лежит положение, что яд (или отрицательно действующий компонент в смешанных катализаторах) заполняет миграционные области не по законам термодинамического равновесия, а по законам случая, т. е. области находятся в состоянии равновесия «флуктуационного», а не термодинамического. Отравление определяется и измеряет не число активных центров, а полное число областей миграции ( $z^0$ ) на поверхности катализатора, а поэтому весьма важной величиной, характеризующей отравление, является отношение  $g/z^0$  (где  $g$  — число атомов, молекул яда). Для определения остаточной (наблюдаемой) активности  $A$  катализатора достаточно найти число ячеек с активными структурами (центрами), куда не попал ни один атом (молекула) яда, например атом серебра в платино-серебряных и палладиево-серебряных катализаторах. Экспериментальные данные, которыми мы располагаем, позволяют сделать заключение, что каждый атом отрицательно действующего компонента, попадая в область миграции, содержащую платиновые или палладиевые активные центры, дезактивирует их (вероятность этого можно считать равной единице,  $\beta = 1$ ). Следовательно, задача сводится к определению остаточной активности катализатора как функции количества адсорбированного яда (отравляюще действующего компонента в смешанном адсорбционном катализаторе). Развиваемые Н. И. Кобозевым представления во всех случаях

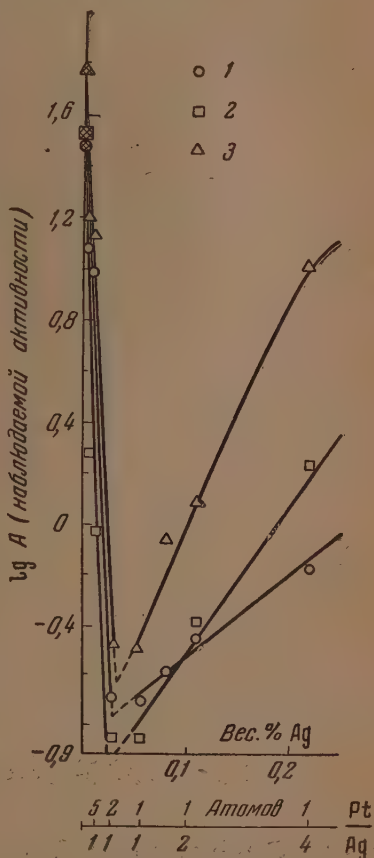


Рис. 5. Pt(0,1%) + n% Ag на CaSO<sub>4</sub>, SrSO<sub>4</sub>, BaSO<sub>4</sub>; каталитическая активность ( $t = 25^\circ \text{C}$ ). 1 — на CaSO<sub>4</sub>; 2 — SrSO<sub>4</sub>; 3 — на BaSO<sub>4</sub>



приводят к экспоненциальной зависимости активности от количества адсорбированного яда  $g$ .

Дается следующее математическое выражение для остаточной (наблюдаемой) активности:

$$A = A_0 e^{-g/z^0}, \quad (1)$$

где  $A_0$  — активность неотравленного катализатора.

Продифференцировав уравнение (1), мы получим очень интересный вывод относительно изменения наблюдаемой активности ( $A$ ) с возрастанием количества яда ( $g$ ):

$$\frac{1}{A} \frac{dA}{dg} = - \frac{e^{-g/z^0}}{z^0} = - \frac{1}{z^0 e^{g/z^0}}. \quad (2)$$

Из уравнения (2) следует, что удельное действие яда должно падать с увеличением его количества. Наши результаты исследования активности катализаторов при разложении перекиси водорода [1] и восстановлении м-нитрофенола (табл. 1—2) отчетливо подтверждают этот вывод. Степень отравления катализаторов  $1 - \frac{A}{A_0}$  и удельная степень отравления  $\frac{1 - (A/A_0)}{\alpha}$  (где  $A$  — остаточная активность катализаторов,  $A_0$  — активность 0,1 вес. % Pt или Pd,  $\alpha$  — вес. % Ag или Au в носителе) закономерно уменьшаются с увеличением концентрации действующего отравляюще переменного компонента.

Из уравнения (1) мы также имеем

$$\lg A = \lg A_0 - \frac{g}{z^0} 0,4343,$$

отсюда

$$\lg A = \lg A_0 - \frac{g}{2,3 \cdot z^0} \quad \text{или} \quad \frac{\lg A}{\lg A_0} = \frac{g}{2,3 \cdot z^0}. \quad (3)$$

Уравнение (3) позволяет нам рассчитать  $z^0$  (полное число миграционных областей на поверхности катализатора). Если  $g$  выражено в граммах (или грамм-атомах), а  $z^0$  необходимо получить в абсолютных единицах, то правую часть уравнения (3) следует умножить на число Авогадро:

$$z^0 = 2,62 \cdot 10^{23} \frac{g}{\lg(A/A_0)}. \quad (4)$$

Вычисление  $z^0$  удобнее проводить графически. Например, по нашим данным отравляюще действуют на активность платины первые малые концентрации серебра, выраженные в вес. %. Тогда для вычисления  $z^0$  можно воспользоваться формулой:

$$z^0 = \frac{2,62 \cdot 10^{23}}{100 \cdot 107,88 \cdot \lg \varphi}. \quad (5)$$

На рис. 3—7 дано графическое выражение  $\lg A = f(g)$  наблюдаемой активности ( $\lg A$ ) от концентрации серебра как яда ( $g$ ). Как видно из графиков, функция  $\lg A = f(g)$  по нашим данным имеет практически линейный вид до больших глубин отравления. Излом прямой наблюдается при тех концентрациях переменного компонента, при которых скорость реакции резко замедляется или, наоборот, начинает вновь возрастать. Весьма показательным примером в этом отношении может служить изменение каталитической активности платино-серебряных катализаторов с изменением концентрации серебра при восстановлении м-нитрофенола и катализе перекиси водорода [1]. Четко выраженная здесь, как и в других

случаях, линейная зависимость  $\lg A = f(g)$  является убедительным подтверждением того положения, что подвижность атомов серебра на поверхности носителя в пределах границ миграционных ячеек велика, и каждый атом серебра, находящийся в миграционной ячейке, может оказывать дезактивирующее влияние на активные структуры платины.

Расчет полного числа областей миграции  $z^0$ , проведенный по формуле 5), для катализаторов на сульфатах щелочно-земельных металлов, показывает табл. 3, что, в соответствии с требованием теории, и при разложении перекиси водорода [1], и при восстановлении м-нитрофенола значения  $z^0$  оказываются близкими. Так, например, при разложении  $H_2O_2$  для  $Pt + Ag$  катализаторов на всех сульфатах и на трех марках препарата  $BaSO_4$ , приготовленного при разных условиях и различной методике [1], значения  $z^0$  лежат в пределах  $2,4 \cdot 10^{17} - 1,1 \cdot 10^{17}$ . Такое постоянство не является случайным. Оно дает объяснение тому факту, что на сульфатах щелочно-земельных металлов и всех марках одного и того же препарата  $BaSO_4$  сохраняется характер и даже интенсивность отравляющего действия серебра на платину [1]. Все это указывает, что наряду с химической природой носителя важное значение имеет структура его поверхности (порядок величин  $z^0$ ). Адсорбционные катализаторы при равных условиях должны тем меньше отравляться, чем на более мелкие ячейки разбита поверхность носителя, чем больше  $z^0$ . Рационально подобранный носитель может не только значительно повысить общую активность катализатора, но и сделать его менее чувствительным к отрицательному действию примесей. Поэтому установление закономерностей влияния носителя на катализатор приобретает важное значение для каталитической практики.

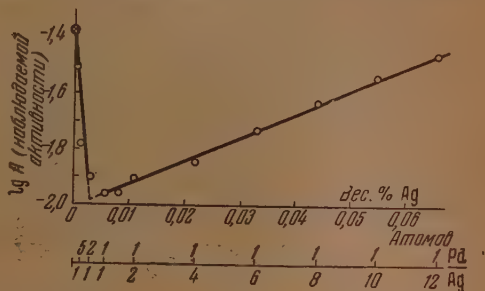


Рис. 6.  $Pd(0,00546\%) + n\% Ag$  на  $BaSO_4$ ; каталитическая активность ( $t = 25^\circ C$ )

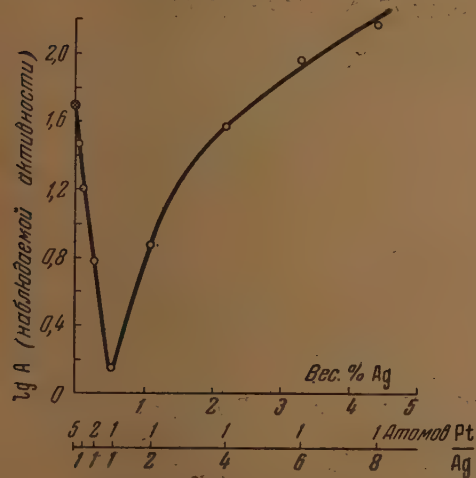


Рис. 7.  $Pt(1\%) + n\% Ag$  на  $SrSO_4$ ; каталитическая активность ( $t = 25^\circ C$ )

наблюдается для платино-серебряных катализаторов на  $SrSO_4$ , когда концентрация активных компонентов ( $Pt + Ag$ ) увеличена в 10 раз (рис. 7). При таком увеличении содержания  $Pt$  и  $Ag$  на носителе возможно образование кристаллической фазы и увеличение  $z^0$  за счет ее формирования.

По значению  $z^0$  выпадает также платино-золотой катализатор на  $BaSO_4$ , где эффект отравляющего действия золота на платину выражен при разложении  $H_2O_2$  сравнительно слабо.

Таблица 3

Восстановитель	Катализатор	Активн.
Восстановитель: $\text{H}_2\text{O}_2$	Pt 0,01 вес. % — " вес. % Ag на $\text{BaSO}_4$	2,4
	Pt 0,01 вес. % — " вес. % Ag на $\text{BaSO}_4$ № 4	2,9
	" " " " " " " " № 4	3,0
	" " " " " " " " № 6	3,4
	" " " " " " " " № 6	3,6
	Pt (0,01 вес. %) + $\frac{1}{10}$ вес. % Ag на $\text{BaSO}_4$ № 4	2,2
Восстановитель: м-нитрофенол	Pt 0,0046 вес. % + $\frac{1}{10}$ вес. % Ag на $\text{BaSO}_4$ № 4	2,8
	Pt 0,1 вес. % + 0,1 вес. % Ag на $\text{BaSO}_4$ № 4	34,3
	Pt (0,1 вес. %) + 0,1 вес. % Ag на $\text{BaSO}_4$ № 4	40,5
	Pt 0,1 вес. % — " вес. % Ag на $\text{BaSO}_4$	3,5
Восстановитель: м-нитрофенол	Pt 0,01 вес. % — " вес. % Ag на $\text{BaSO}_4$	3,4
	" " " " " " " " № 4	3,2
	Pt (0,0546 вес. %) + 0,1 вес. % Ag на $\text{BaSO}_4$ № 4	6,6
	" " " " " " " " № 4	6,6

Результаты можно считать, что остраивающее действие серебра на платиновый и палладиевый катализаторы, при восстановлении м-нитрофенола, как и при распаде  $\text{H}_2\text{O}_2$ , носит стехиометрический характер максимум действия при  $\frac{\text{Pt}}{\text{Ag}} = \frac{1 \text{ атом}}{1 \text{ атом}}$ , что свидетельствует об атомарном состоянии этих компонентов на поверхности носителя. С другой стороны, газодиффузионный закон остраивания указывает на то, что размещение атомов серебра на поверхности носителя имеет тот же структуральный характер, что и размещение основного компонента. Это позволяет считать тот общий факт, что усиленное остраивающее действие катализаторных ядов (в нашем случае серебра) падает с ростом их содержания в катализаторе. Причем для объяснения этой правильности совершенно не требуется допустить существование катализаторных центров разной активности, как это часто принимается при объяснении эффекта остраивания.

Автор выражает благодарность проф. Н. И. Кобозову за интерес к выполненной работе.

### ВЫВОДЫ

1. Изучены каталитическая активность платино-серебряных, палладиево-серебряных, платино-золотых, палладиево-золотых и платино-палладиевых аморфизованных катализаторов на сульфатах щелочно-земельных металлов при восстановлении м-нитрофенола.

2. Установлено, что активность смешанных металлических катализаторов связана с электронным строением атомов металлов, т. е. с местом соответствующих элементов в периодической системе Д. И. Менделеева.

3. Серебро оказывает интенсивное остраивающее действие на активность платины и палладия в платино-серебряных и палладиево-серебряных катализаторах.

4. Взаимность активности платино-серебряных и палладиево-серебряных катализаторов от содержания содержания серебра в носителях описывается эмпирическими выводами теории каталитически активных ансамблей применительно к остраиванию катализаторов. Во всех рассматриваемых случаях остраивания применим эмпирический закон для зависимости активности катализаторов от количества атома  $g$  (в нашем случае серебра):  $A = A_0 \cdot g^{-1}$ , где  $A_0$  — начальная активность катализатора (активность основного компонента),  $g$  — число атомов миграции на поверхности катализатора.

При графическом выражении  $K_1A = f(g)$  получается линейная зависимость по большим глубинам отражения.

5. Определение  $g^*$  в платино-серебряных и палладиево-серебряных катализаторах при восстановлении м-нитрофенола и разложении перекиси водорода, в согласии с теорией, дает близкие величины.

6. Палладий, в отличие от серебра, оказывает положительное действие на активность платины в платино-палладиевых катализаторах.

7. Золото как переменный компонент в платино-золотых и палладиево-золотых катализаторах при восстановлении м-нитрофенола производит активирующее действие на палладий и не дезактивирует платину. Наибольшее активирующее действие золота на палладий аналогично с разложением перекиси водорода падает на отношение  $\frac{P^*}{Au} = \frac{1 \text{ атом}}{10 \text{ атомов}}$ .

Ярославский технологический  
институт

Получено  
30.11.1955

#### ЛИТЕРАТУРА

1. И. А. Зубович, Журн. физ. химии, 29, 917, 1955.
2. Н. И. Кобзев, Журн. физ. химии, 14, 356, 1940.



## МЕТОДЫ И ТЕХНИКА ФИЗИКО-ХИМИЧЕСКОГО ИССЛЕДОВАНИЯ

### ИЗМЕРЕНИЕ АКТИВНОСТИ ЖИДКОСТЕЙ, МЕЧЕННЫХ РАДИОИЗОТОПАМИ С МЯГКИМ ИЗЛУЧЕНИЕМ

*Я. Д. Зельвенский и В. А. Шалыгин*

Среди многих изотопов, используемых в качестве меченых атомов, видное место занимают радиоактивные изотопы углерода  $C^{14}$  и серы  $S^{35}$ .

$S^{35}$  имеет период полураспада 87,1 дня и излучает электроны с максимальной энергией 0,1691 MeV, для  $C^{14}$  соответствующие величины равны 5720 лет и 0,155 MeV [1]. Измерение активности таких слабых излучателей требует применения специальной аппаратуры и соблюдения определенных условий.

Описанная в литературе [2—12] техника счета  $\beta$ -частиц малой энергии рассчитана либо на введение образца в газообразном состоянии внутрь счетчика, либо на проведение измерений с твердыми образцами: сера подвергается измерению в виде осадка сульфата бария или сульфата бевзидина, углерод — в виде углекислого бария. Это требует выполнения ряда трудоемких операций — окисления пробы, осаждения сульфата или карбоната, подготовки образца для измерения. Поэтому во многих случаях более желательной является возможность непосредственного измерения активности растворов, что дало бы весьма значительную экономию времени и труда по сравнению с измерением активности осадков. Кроме того, при работе с жидкостями исключается ошибка за счет неоднородности препарата и достигается лучшая воспроизводимость геометрических условий.

Однако описанные в руководствах способы измерения активности жидкостей [2—5] не пригодны для работы с такими слабыми излучателями, как  $S^{35}$  и  $C^{14}$ . Кроме того, эти способы требуют значительных количеств исследуемой жидкости, тогда как во многих случаях желательно отбирать на анализ пробы небольшого объема.

Целью настоящего сообщения является описание техники непосредственного измерения активности растворов, содержащих изотопы с мягким  $\beta$ -излучением, при объеме анализируемой пробы всего 1—3 мл. Для решения этой задачи была применена кювета с тонким дном, располагаемая непосредственно на торцевом счетчике [13]. Измерение активности производилось при помощи торцевых счетчиков типа ТМ-20, Т-25-БФЛ или ТМ-40 со слюдяными окошками диаметром соответственно 20, 25 и 40 мм. Счетчик присоединялся к стандартной установке типа Б, включающей блок питания ВСЭ-2500, пересчетный прибор ПС-64 и блок БГС.

Кювета, в которую заливается проба исследуемой жидкости, представляет собой невысокий стеклянный цилиндрический сосуд с пришлифованной крышкой, напоминающий так называемый химический бюкс, но без дна. Нижний край стенок сосуда отбортован и снизу отшлифован. Диаметр кюветы в нижней части должен быть немного больше диаметра окошка торцевого счетчика, что исключает ошибки вследствие невоспроизводимости геометрических условий. Дном кюветы служит кружок из тонкой слюды или целлофана, приклеиваемый к отшлифованному борту жидким стеклом, клеем БФ-2 или плиценом. Применялись слюда и целлофан толщиной 2—4 мг/см<sup>2</sup>. Слюда более долговечна и дает лучшую воспроизводимость результатов, чем целлофан, который к тому же не пригоден при работе с водными растворами.

Для снижения естественного фона счетчик помещался в свинцовый домик со стенками толщиной 40 мм, прикрытыми изнутри листовым алюминием в целях уменьшения влияния отраженного излучения.

Кювета с пробой жидкости помещалась в домик непосредственно на торцевом счетчике, расположенном вертикально окошком кверху. При этом надо проследить, чтобы оси счетчика и кюветы примерно совпадали. Описанное устройство и расположение кюветы обеспечивают минимальное поглощение излучения и исключают воздействие жидкости и ее паров на счетчик.

Продолжительность измерения активности выбиралась с таким расчетом, чтобы относительная ошибка счета не превышала 1%.

При работе со счетчиком ТМ-20 или Т-25-БФЛ минимальный объем пробы жидкости для заполнения кюветы составляет 0,8 мл. Эта величина определена с учетом необходимости обеспечить полную смачивания дна кюветы и превышает количество, необхо-

мое для получения «слоя насыщения» (или «толстого слоя»). Увеличение объема пробы в кювете сверх 0,8 мл не оказывает влияния на результаты измерения активности.

При работе со счетчиком ТМ-40, вследствие того что кювета имеет большой диаметр, минимальный объем пробы жидкости составляет 3 мл. Зато число регистрируемых импульсов для одной и той же пробы радиоактивного раствора при использовании счетчика ТМ-40 (в соответствии с отношением площадей слюдяных окошек) должно быть при одинаковой толщине окошек в четыре раза больше, чем со счетчиком ТМ-20.

Таблица 1

Сравнение результатов измерения активности при помощи счетчиков ТМ-20 и ТМ-40

Объект измерения	Число регистрируемых импульсов в минуту	
	ТМ-20	ТМ-40
Кювета с чистым растворителем (фон) . .	37	105
Раствор . . . . .	255	973
Активность с учетом фона . . . . .	218	868

действительно, как видно из табл. 1, отношение значений активности, найденных при помощи счетчиков ТМ-40 и ТМ-20, равно  $868/218 = 3,98$ , т. е. достаточно близко совпадает с ожидаемой величиной.

Указанные выше объемы жидкости (0,8 мл при работе со счетчиком ТМ-20 и 3 мл при работе со счетчиком ТМ-40) обеспечивают хорошую воспроизводимость результатов измерения активности. По окончании измерения проба сливается, кювета несколько промывается растворителем и высушивается, после чего становится пригодной для повторного использования; увеличения фона при этом не наблюдается.

В большинстве случаев исследователю важно знать не абсолютное значение, а отношение активностей различных проб жидкости. Описанная выше техника измерения активности жидкостей при скорости счета не более 1000—1500 имп./мин. дает отношения активностей без внесения каких-либо поправок и вычислений, кроме поправки на фон. Фон измеряется с кюветой, содержащей чистый растворитель.

В целях проверки описанной методики проведены измерения активности ряда растворов, меченных  $S^{35}$  или  $C^{14}$ , приготовленных путем разбавления (чистым растворителем) исходного раствора в известное число раз. Серия таких измерений выполнена как с водными растворами, так и с органическими жидкостями. В качестве активной органической жидкости был использован раствор радиоактивного тиофена в бензоле. Полученные результаты приведены в табл. 2 и на рисунке.

Таблица 2

Измерение активности растворов тиофена в бензоле различной концентрации

Концентрация анализируемого раствора, вес. % тиофена	Коэффициент разбавления исходного раствора (в число раз)	Время счета, минуты	Число импульсов	Фон, имп./мин.	Активность раствора, имп./мин.	
					измеренная	рассчитанная по коэффициенту разбавления
1	1	27	31135	29	1123	1123
0,5	2	37	21914	26	566	562
0,25	4	44	13417	28	277	281
0,1	10	39	5375	28	108	112
0,05	20	17	1360	27	53	56

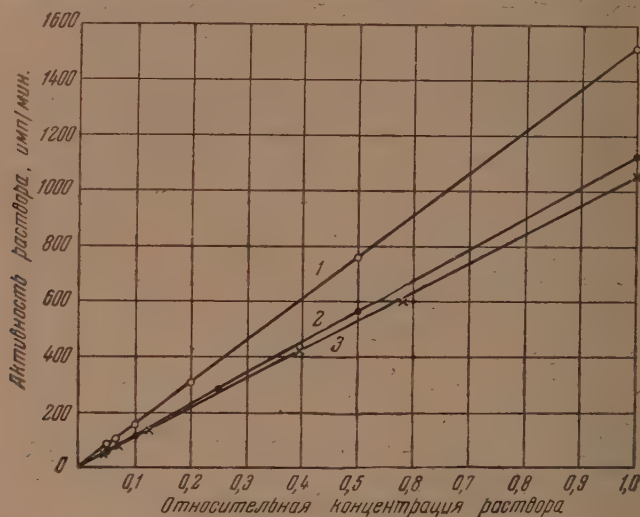
Результаты измерений удовлетворительно согласуются с активностью, рассчитанной по коэффициенту разбавления; абсолютная ошибка составляет 3—4 имп./мин. Как видно из рисунка, измеренная активность связана линейной зависимостью

с концентрацией меченого тиофена в растворе (выраженной по отношению к концентрации наиболее активного раствора, принятой за единицу).

Аналогичная опытная проверка зависимости измеряемой активности от разбавления была проведена с водными растворами, содержащими активную серу в виде сульфата натрия.

Результаты измерений активности этих растворов приведены в табл. 3 и на рисунке.

Как и в случае растворов органических жидкостей, измерение активности водных растворов дает линейную зависимость активности от концентрации. Относительная



Зависимость измеряемой активности раствора от концентрации активного компонента. 1 — Водный раствор  $\text{Na}_2\text{S}^*\text{O}_4$ ; 2 — бензольный раствор  $\text{C}_4\text{H}_4\text{S}^*$ ; 3 — водный раствор  $\text{Na}_2\text{C}^*\text{O}_3$ .

ошибка при измерении активностей выше 100 имп./мин. составляет немногим более 1%, при малой активности ошибка увеличивается до 4%.

В целях испытания описанного способа при работе с радиоактивным углеродом была проведена серия подобных измерений с водным раствором  $\text{Na}_2\text{C}^{14}\text{O}_3$ .

Таблица 3

Измерение активности водных растворов сульфата натрия различной концентрации

Концентрация по отношению к исходному раствору	Коэффициент разбавления исходного раствора	Время счета, минуты	Число импульсов	Фон, имп./мин.	Активность раствора, имп./мин.	
					измеренная	рассчитанная
1	1	30	46830	43,3	1518	1518
0,5	2	25	19913	42,5	754	759
0,2	5	31	10882	42,9	308	304
0,1	10	55	10786	43,6	152,4	152
0,067	15	71	10117	43,9	98	101
0,05	20	91	11144	43,2	79	78

Как видно из табл. 4 и рисунка, измерения активности углерода дают такие же результаты, какие были получены с серой.

На основании проведенной проверки, описанная техника непосредственного измерения активности жидкостей может быть рекомендована для измерения активности как органических веществ, так и водных растворов.

Таблица 4

## Измерение активности водных растворов карбоната натрия различной концентрации

Концентрация отношению исходному раствору	Коэффициент разбавления исходного раствора	Время счета, минуты	Число импульсов	Фон, имп./мин.	Активность раствора имп./мин.	
					измеренная	рассчитанная
1	1	32	36602	96,1	1048	1048
0,578	1,730	29	20152	96,7	598	606
0,3967	2,521	41	21022	95,5	417	416
0,1223	8,137	96	21840	96,7	131	129
0,0698	14,328	111	18550	97,0	70	73
0,0466	21,445	122	17327	95,5	46,5	49

Представляло интерес оценить эффективность счета при рекомендуемом методе измерения активности жидкостей по сравнению с обычным способом определения активности твердых образцов. Для этого проба разбавленного раствора фенола в бензоле в количестве 3 мл, которая при непосредственном измерении активности со счетчиком ТМ-40 давала 766 имп./мин., была подвергнута окислению, что позволило осадить серу в виде сульфата бария. Измерение активности осадка в «толстом слое» с тем же счетчиком дало 1436 имп./мин. При пересчете на общее количество сульфата, полученного при сжигании пробы раствора, активность осадка составляет 100 имп./мин.

Таким образом практическая эффективность счета при измерении активности жидкостей, с учетом необходимого объема пробы, в  $13500/766 = 17,7$  раза меньше, чем при измерении активности осадка. Повторение опыта с другой пробой раствора тиона давало отношение эффективности счета осадка и жидкости, равное 18,3, т. е. достаточно близкую величину.

Аналогичное сравнение эффективности счета было проведено и с водными растворами активных сульфата и карбоната натрия. Осажденное из пробы раствора количество сульфата бария показало активность, в среднем из двух опытов, в 18,6 раза большую по сравнению с измеренной активностью раствора. С радиоактивным углеродом же соотношение оказалось равно 100 (при толщине слюдяного дна кюветы  $3,1 \text{ мг/см}^2$ ).

Эффективность счета, конечно, тем выше, чем меньше толщина донышка кюветы. Следует отметить, что указанные величины отражают не физическую особенность метода, а практическую необходимость применения значительно больших количеств твердой пробы по сравнению с количеством твердого препарата.

Если измеряемую активность раствора отнести к той же величине «толстого слоя» или «слоя насыщения», что и в случае твердого образца, то эффективность счета активности жидкости окажется примерно одинаковой и даже немного большей, чем для осадка (за счет лучшего геометрического расположения излучателя).

Пониженная эффективность счета при рекомендуемом методе измерения активности практически означает известное увеличение расхода изотопа. Это обстоятельство, на наш взгляд, не является серьезным недостатком, ибо расход изотопов по абсолютной величине в большинстве случаев весьма невелик. Кроме того, пробы жидкости после измерения могут быть вновь использованы, тогда как использование осадков практически невозможно.

В качестве примера использования и для дополнительной проверки описанного способа измерения активности жидкостей были проведены определения растворимости сульфатов некоторых металлов в воде при помощи радиоактивной серы. Полученные результаты отличаются от литературных данных [14] не более чем на 1%.

Описанный способ измерения активности жидкостей с успехом применен авторами также при изучении равновесия жидкость — пар и ректификации в области разбавленных растворов [15].

## ВЫВОДЫ

Разработан простой способ непосредственного измерения активности жидкостей, меченных изотопами с низкой энергией излучения, требующий небольшого объема исследуемой пробы (0,8—3 мл). Измерение проводится при помощи стандартной аппаратуры. Способ проверен на растворах, содержащих радиоактивный углерод и др.



Рекомендуемый способ во многих случаях позволит значительно упростить и ускорить процедуру измерения активности и может найти широкое применение в практике исследований с мечеными атомами.

Химико-технологический институт  
им. Д. И. Менделеева  
— — — Москва

Поступила  
10.11.1955

### ЛИТЕРАТУРА

1. А. В. Лапицкий, Ан. Н. Несмеянов, Таблица изотопов, Сборник «Радиохимия», Изд-во МГУ, 1952, стр. 250.
2. В. Н. Баранов, К. П. Заборенко и Ан. Н. Несмеянов, Методы работы с радиоактивными элементами, Сборник «Радиохимия», Изд-во МГУ, 1952, стр. 27.
3. Г. Швайцер, И. Уитни, Техника применения радиоактивных индикаторов, ИИЛ, 1951.
4. М. Камен, Радиоактивные индикаторы в биологии, ИИЛ, 1948.
5. А. И. Бродский, Химия изотопов, Изд-во АН СССР, 1952.
6. А. Рейд, Обнаружение и измерение радиоактивных индикаторов, Сборник «Получение и определение меченых атомов», ИИЛ, 1948, стр. 103.
7. В. Даубен, Д. Рейд, П. Янквич, Техника применения изотопа  $C^{14}$ , Сборник «Получение и определение меченых атомов», ИИЛ, 1943, стр. 132.
8. F. Henriques, G. Kistiakowsky и др., Ind. Eng. Chem., Anal. Edit., 18, 349, 1948.
9. F. Henriques и C. Magnetti, Ind. Eng. Chem., Anal. Edit., 18, 417, 1946.
10. W. Beamer и G. Atchison, Analyt. Chem., 22, 303, 1950.
11. H. Götte, Angew. Chem., 63, 89, 1951.
12. E. Evans и G. Huston, Analyt. Chem., 24, 1482, 1952.
13. H. McKay, Rev. Sci., Instr., 12, 103, 1941.
14. Справочник химика, т. 3, стр. 74, Госхимиздат, 1952.
15. Я. Д. Зельвенский и В. А. Шалыгин, Нефтяное хозяйство, № 8, 65, 1955.

## ДИСКУССИЯ

## МАГНИТНЫЙ КРИТЕРИЙ ТИПА СВЯЗИ В КОВАЛЕНТНЫХ КОМПЛЕКСНЫХ СОЕДИНЕНИЯХ

Б. П. Медведев

В «теории резонанса» широко использовались данные измерений магнитных дипольных моментов ковалентных комплексов. Эти данные являлись основным экспериментальным материалом, на базе которого измышлялись многочисленные «резонансные структуры», которые должны были «объяснить» наличие или отсутствие парамагнетизма в той или иной молекуле комплексного соединения.

С падением этой идеалистической, антинаучной теории вопрос о валентных состояниях атомов, о характере связей в молекулах ковалентных комплексных соединений остался открытым. Поэтому не случайно И. И. Черняев [1] в одной из своих работ писал, что в настоящее время «настоятельно требуется найти безупречные методы определения состояния атомов в молекуле комплексного соединения для определения характера связей, образующих комплексную молекулу. При современном состоянии вопроса вообще нельзя ставить каких-либо опытов (с надеждой на успех), исходя из представления об определенном типе связи, между тем как вопрос об избирательном характере связей в комплексном соединении нуждается в каком-то разрешении».

Нам представляется, что вопрос о характере связей в ковалентных комплексных соединениях в настоящее время близок к своему разрешению. В одной из наших работ [2] было показано, что природа сил комплекссообразования, повидимому, сводится к возникновению одноэлектронных связей между центральным атомом и аддендами. В другой работе [3] был высказан принцип, согласно которому пара электронов двух противоположащих аддендов, образующих одноэлектронные связи, занимает в центральном атоме одну электронную орбиту, что согласуется с принципом Паули. На основе этих положений в указанной работе были высказаны соображения о природе закономерности трансвращения.

В настоящей работе использованы данные измерений магнитной восприимчивости ковалентных комплексов, которые, как это будет показано ниже, подтверждают развиваемые нами взгляды на природу химической связи в ковалентных комплексных соединениях. Кроме того, в работе показано, что представления об одвоэлектронной связи позволяют подойти к решению вопроса о валентных состояниях как центральных атомов, так и атомов в присоединенных молекулах и ионах. ■

## МАГНИТНЫЙ КРИТЕРИЙ ТИПА СВЯЗИ И ВАЛЕНТНЫЕ СОСТОЯНИЯ АТОМОВ В КОВАЛЕНТНЫХ КОМПЛЕКСНЫХ СОЕДИНЕНИЯХ

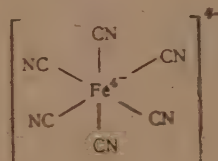
Известно, что образование прочных ковалентных комплексов становится характерным для атомов с  $d$ -электронами в предпоследней оболочке.

В настоящее время имеется ограниченное количество спектроскопических данных по энергиям возбуждения атомов с  $d$ -электронами в состоянии с повышенным числом холостых электронов. Все же рассмотрение этих данных показывает, что  $d-s$ ,  $s-p$  или  $d-s-p$  переходы требуют значительной затраты энергии. Так, у скандия переход одного из  $s$ -электронов в  $p$ -ячейку требует затраты энергии в 45 ккал, у Fe — 54 ккал, Co — 67 ккал, Ni — 73 ккал. Перевод одного из  $d$ -электронов на  $p$ -орбиту требует еще большей затраты энергии. Например, для хрома переход  $d^5s \rightarrow d^4 sp$  требует 71 ккал, для Cu — 111 ккал, для Au — 129 ккал.

Несмотря на то, что перевод одного из  $d$ - или  $s$ -электронов в  $p$ -ячейку требует такой значительной затраты энергии, в «теории резонанса» все же был сделан вывод о возможности таких переходов и способности характерных элементов комплексообразователей к образованию большого числа одинарных и двойных связей [4]. Например, предполагалось, что атом железа в комплексном ионе  $[\text{Fe}(\text{CN})_6]^{4-}$  может образовать девять одинарных и двойных связей. То, что при этом подрывались основы «теории направленной валентности», теоретиков резонанса не смущало, так как здесь же без всяких оснований выдвигалось ничем не обоснованное положение о том, что образование кратных связей не влияет на направленность валентностей.

Однако рассмотрение известных данных об энергиях переходов электронов в атомах  $s$  и  $d$ -электронов также показывает, что перевод одного из  $s$ -электронов в  $d$ -ячейку сопоставляемому уже имеющемуся там  $d$ -электроном требует затраты несомненной энергии. Так, для магнитного перехода  $4s^2 \rightarrow 4d^2$  требуется затраты 48 ккал, но с увеличением числа  $s$ -электронов в атоме эта энергия быстро падает и у Ni, например, она составляет всего 6,9 ккал.

Что же касается энергии перехода электронов в пределах одной и той же оболочки, вычисленной в пределах  $d$ -оболочки со спариванием электронов в одной из  $d$ -ячеек, то очевидно, что энергия этих переходов должна быть очень незначительной. На основании этого П. Селлуд [5] введенные измерения магнитной восприимчивости ковалентных комплексов соединений интерпретировал с той точки зрения, что между центральными атомами и аддендами образуются только обычные связи, а холостые электроны в центральном атоме спариваются в  $d$ -ячейках. Например, при образовании комплексов иона  $[\text{Fe}(\text{CN})_6]^{4-}$  происходит спаривание всех шести внешних электронов в  $\text{Fe}^{2+}$  в трех  $d$ -ячейках. При этом у центрального атома оказываются свободными две  $s$ -, одна  $p$ - и три  $d$ -орбиты, которые используются для образования доворотных связей с CN-ионами за счет электронов последних. Тогда строение указанного иона должно быть выражено следующей формулой:



Как видно, центральный атом Fe в этом случае находится в виде отрицательного иона с четырьмя зарядами, все электроны спарены, и соединены в целом диамагнитно.

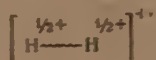
Однако подобная интерпретация данных измерений магнитной восприимчивости также является несостоятельной. Приведенная выше структура иона маловероятна из-за накопления большого числа отрицательных зарядов у атома железа, на что уже указывали некоторые авторы [4, 6].

Металлы, как известно, проявляют способность к отдаче электронов и переходу в положительно заряженные ионы, но не к приобретению электронов и переходу в отрицательно заряженные ионы.

Удовлетворительное объяснение имеющихся экспериментальных данных по измерению магнитных моментов комплексных соединений может быть дано только в том случае, если принять, что между центральными атомами и аддендами образуются одноэлектронные связи, причем пара электронов двух аддендов, лежащих на концах квадрата или оси октаэдра, занимает в центральном атоме одну орбиту (ячейку). При наличии четырех аддендов в центральном атоме будет занято две орбиты, а не четыре, как в случае двухэлектронных связей, при наличии шести — три и восемь — четыре орбиты. При этом следует также принять, что оставшиеся в центральном атоме холостые электроны спариваются внутри атома в имеющихся  $d$ -орбитах, на что затрачивается незначительная энергия.

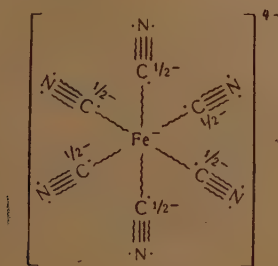
На основе этих положений отсутствие парамагнетизма в ионе  $[\text{Fe}(\text{CN})_6]^{4-}$  объясняется следующим образом. В исходном ионе  $\text{Fe}^{2+}$  имеются два спаренных  $d$ -электрона и четыре холостых, всего шесть электронов, занимающих пять  $d$ -ячеек. При образовании иона  $\text{Fe}^{2+}$  шесть одноэлектронных связей с шестью CN-ионами за счет электронов последних четыре холостых электрона  $\text{Fe}^{2+}$  спариваются в двух  $d$ -ячейках, освобождая две  $d$ -ячейки. Тогда очевидно, что шесть электронов, образующих одноэлектронные связи, займут парно освободившиеся две  $3d$ -ячейки и одну  $4s$ -ячейку.

В связи с тем что каждый электрон, образующий одноэлектронную связь, поделен между двумя атомами, он приносит в центральный атом заряд, равный не 1е, а лишь 1/2е. Следовательно, как делится один положительный заряд между двумя атомами водорода в молекулярном ионе водорода



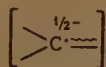
Тогда общая электронная плотность, приходящаяся на долю центрального атома, будет равна не 12е, а лишь 9е. В нейтральном атоме железа, как известно, содержится всего шесть валентных электронов, откуда следует, что центральный атом железа в  $[\text{Fe}(\text{CN})_6]^{4-}$  имеет лишь один отрицательный заряд. Шесть электронов, принимающих участие в образовании шести одноэлектронных связей, остаются спаренными с ше-

электронами атомов углерода CN-ионов, что приводит к взаимной компенсации их магнитных моментов на орбитах атомов C. Вследствие этого комплексный ион в целом оказывается диамагнитным, что и подтверждается экспериментальными данными. Валентные состояния атомов углерода и азота в группах CN понятны из приведенной ниже электронно-структурной формулы иона  $[\text{Fe}(\text{CN})_6]^{4-}$ , где волнистыми линиями изображены одноэлектронные связи:

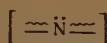


Из приведенной формулы следует, что общий заряд всего иона складывается из шести половинных отрицательных зарядов атомов углерода CN-ионов и одного отрицательного заряда атома железа.

Очевидно, что атом углерода в данном случае находится в состоянии полукарбониевого иона,



Атом азота трехвалентен с двумя одноэлектронными связями:



Рассматривая аналогичным образом комплексные цианиды некоторых других элементов, мы получаем валентные состояния центральных атомов, приведенные в таблице

Комплексный ион	Число холостых электронов центрального атома		Измеренный магнитный момент, $\mu$	Валентное состояние центрального атома	
	в случае одноэлектронной связи	в случае двухэлектронной связи		в случае одноэлектронной связи	в случае двухэлектронной связи
$[\text{Cr}(\text{CN})_6]^{4-}$	2	2	2,83	$\text{Cr}^+$	$\text{Cr}^{4+}$
$[\text{Cr}(\text{CN})_6]^{3-}$	3	3	3,87	$\text{Cr}^0$	$\text{Cr}^{3+}$
$[\text{Fe}(\text{CN})_6]^{4-}$	0	0	0,0	$\text{Fe}^+$	$\text{Fe}^{4+}$
$[\text{Fe}(\text{CN})_6]^{3-}$	1	1	2,33	$\text{Fe}^0$	$\text{Fe}^{3+}$
$[\text{Co}(\text{CN})_6]^{3-}$	0	0	0,0	$\text{Co}^0$	$\text{Co}^{3+}$
$[\text{Co}(\text{CN})_6]^{4-}$	1	1	1,70	$\text{Co}^+$	$\text{Co}^{4+}$
$[\text{Ni}(\text{CN})_6]^{2-}$	0	0	0,00	$\text{Ni}^0$	$\text{Ni}^{2+}$
$[\text{Mo}(\text{CN})_6]^{4-}$	0	0	0,00	$\text{Mo}^0$	$\text{Mo}^{4+}$
$[\text{Mo}(\text{CN})_6]^{3-}$	1	1	1,66	$\text{Mo}^+$	$\text{Mo}^{3+}$

Приведенные данные показывают, что валентные состояния центральных атомов при образовании ими одноэлектронных связей с аддендами значительно отличаются от валентных состояний этих атомов, когда они образуют обычные двухэлектронные связи. Только при образовании центральным атомом одноэлектронных связей происходит заполнение его электронных уровней таким образом, что он приближается или становится подобным газообразному атому металла, что подтверждается экспериментальными данными.



Приведенные в таблице валентные состояния центральных атомов хорошо согласуются также с имеющимися экспериментальными данными по измерению магнитных дипольных моментов комплексных ионов. Так, известно, что ион  $\text{Cr}^{2+}$  имеет четыре неспаренных  $d$ -электрона, которым соответствует момент в  $4,9 \mu_B$ . Для хромоцианидного иона  $[\text{Cr}(\text{CN})_6]^{4-}$  эффективный магнитный момент оказался равным  $2,83 \mu_B$  [7]. Следовательно, при образовании хромоцианидного комплексного иона, в котором центральный атом связан с CN-группами одноэлектронными связями, произошло спаривание двух  $3d$ -электронов, а два электрона, обуславливающие магнитный момент комплекса, остались неспаренными. Учитывая то обстоятельство, что шесть электронов одноэлектронных связей привносят в центральный атом общую электронную плотность в  $3e$ , получим, что общая электронная плотность, приходящаяся на долю центрального атома, составит  $7e$ . В нейтральном атоме Cr содержится шесть электронов; следовательно, атом хрома в  $[\text{Cr}(\text{CN})_6]^{4-}$  находится в виде  $\text{Cr}^+$ . Общий заряд всего комплексного иона, равный 4 отрицательным, будет складываться из одного отрицательного заряда атома хрома и шести половинных отрицательных зарядов CN-групп.

Парамагнитными должны быть также комплексные ионы:



Величины измеренных магнитных моментов согласуются с числом холостых электронов, оставшихся неспаренными после образования одноэлектронных связей, поэтому мы детально не будем останавливаться на этом вопросе. Отметим лишь весьма интересную особенность комплексного иона  $[\text{Co}(\text{CN})_6]^{4-}$ . Эта особенность состоит в следующем. Исходный ион  $\text{Co}^{2+}$  имеет три холостых электрона. Магнитный момент  $[\text{Co}(\text{CN})_6]^{4-}$  соответствует одному неспаренному электрону, откуда следует, что при образовании шести одноэлектронных связей с ионами CN произошло спаривание двух внутренних  $d$ -электронов, а один электрон остался неспаренным. Шесть электронов одноэлектронных связей должны занять в этом случае две  $3d$ -орбиты и 4s-орбиту. Для холостого электрона не остается места на  $d$ - или  $s$ -орбите, и он вынужден занять место в одной из ячеек  $p$ -орбиты. Наличие одного холостого электрона на нестабильной  $p$ -орбите делает комплекс мало устойчивым, подобным свободному радикалу или атому, что проявляется в способности ковалентных комплексных соединений кобальта разлагать воду с выделением водорода.

Рассматривая образование комплексных цианидов, приведенных в таблице, с точки зрения возникновения одноэлектронных связей между центральными атомами и аддендами, можно заметить, что центральные атомы стремятся заполнить прежде всего все ячейки  $d$ - и  $s$ -оболочки и приобрести при этом устойчивую электронную конфигурацию. В ряду от хрома до никеля эта конфигурация центральных атомов подобна в некотором смысле электронной конфигурации свободного атома цинка. Весьма характерным является то, что даже у атома молибдена при координации восьми групп CN заполняются только  $d$ -орбиты, тогда как  $p$ -орбиты остаются незанятыми. Из этого можно заключить, что комплексообразование обусловлено возможностью спаривания  $d$ -электронов в имеющихся  $d$ -ячейках и заполнением освободившихся  $d$ - и  $s$ -ячеек электронами, образующими одноэлектронные связи. Действительно если рассмотреть ряд элементов от ванадия до цинка, то можно заметить, что в этом ряду происходит заполнение  $d$ - и  $s$ -оболочек электронами вплоть до атома цинка. После атома цинка в атомах Ga, Ge, As, Se, Br и Kr начинается заполнение шести мест в состоянии  $4p$ , и период заканчивается инертным газом криптоном. Атомы с  $d$ -электронами от ванадия до цинка являющиеся характерными комплексообразователями, однако указанные выше атомы с  $p$ -электронами, как известно, характерными комплексообразователями не являются.

Что же касается таких ионов, как ион  $\text{Cu}^{2+}$ , в которых все ячейки  $d$ -оболочки заняты электронами, то, учитывая то обстоятельство, что этот ион обладает очень высокой энергией образования (сумма энергии субимизации и энергии ионизации очень велика), можно полагать, что он также способен образовывать прочные ковалентные комплексы с соответствующими аддендами с образованием одноэлектронных связей. При этом пара электронов двух одноэлектронных связей должна занять  $s$ -ячейку, а вторая пара —  $p$ -ячейку.

Сказанное выше о двухвалентном ионе меди следует отнести также к двухвалентным ионам второй группы периодической системы Д. И. Менделеева.

Однако в этом случае нет убедительных доказательств того, что обе пары одноэлектронных связей имеют одинаковую энергию связи, а также одинаковую длину связи. На основании того, что  $s$ - и  $p$ -уровни значительно отличаются по энергии, более вероятным следует считать обратное предположение о том, что пара электронов, занимающих  $s$ -орбиту, образует более прочные одноэлектронные связи, чем пара электронов, занимающих  $p$ -орбиту. В химии комплексных соединений можно найти ряд примеров, указывающих на отличие в энергии связи двух пар аддендов [8].

Можно также предположить, что в случае упомянутых выше ионов электроны, образующие одноэлектронные связи, занимают квантовую ячейку не попарно, а по одному. Тогда, например, в двухвалентном ионе меди будут заняты все  $d$ -,  $s$ - и  $p$ -ячейки, причем электроны, образующие одноэлектронные связи, займут все три ячейки.

и  $p$ -уровня. Непарным в данном случае будет лишь один электрон, занимающий одну из  $d$ -орбит. Что же касается электронов, образующих одноэлектронные связи типа  $A \cdots B$ , то они не привносят в молекулу парамагнитной составляющей. Действительно, магнитный дипольный момент  $[\text{Cu}(\text{CN})_4]^{2-}$  равен  $1\mu_B$ . Высказанное выше предположение позволяет объяснить тетраэдрическое строение комплексов двухвалентных металлов, которые являются для них наиболее характерными.

В заключение этого раздела мы должны заметить, что представление об одноэлектронной связи, твердо установленной и доказанной лишь для случая молекулярного кислорода, распространено нами на другие молекулы и ионы несколько формально, без строгого квантово-механического обоснования. Однако необходимо указать, что представление о ковалентной двухэлектронной связи, также доказанное лишь для молекулы водорода, впоследствии чисто формально было распространено на все другие молекулы и ионы, в которых содержатся ковалентные связи. Строгого квантово-механического обоснования оба указанных типа связи до настоящего времени не имеют. Распространенная в химии теория химической связи Гейтлера — Лондона, как показал М. И. Батуев [9], является полностью несостоятельной.

Поэтому в основу представлений об одноэлектронной связи, о валентных состояниях атомов и пр. мы положили не квантово-механические расчеты, которые не свободны от недостатков, а многочисленные экспериментальные факты. Эти факты настоятельно требуют введения новых представлений о типах связей, механизме их возникновения и свойствах. Представление об одноэлектронной связи, как о связи нового типа, качественно отличной от всех других известных типов связей, как это показано в следующем разделе, позволяет объяснить ряд фактов из химии комплексных соединений, которые не были объяснены до настоящего времени ни одной из известных теорий химической связи, распространенных в химии комплексных соединений.

## РЕШЕНИЕ НЕКОТОРЫХ СЛОЖНЫХ ПРОБЛЕМ СТРОЕНИЯ КОВАЛЕНТНЫХ КОМПЛЕКСНЫХ СОЕДИНЕНИЙ НА ОСНОВЕ ТЕОРИИ ОДНОЭЛЕКТРОННОЙ СВЯЗИ

В предыдущем разделе были рассмотрены сравнительно простые случаи использования данных магнитных измерений для определения типа связи и валентных состояний атомов в ковалентных комплексных соединениях, причем эти данные могли быть истолкованы не только с точки зрения одно-, но и двухэлектронной связи между центральным атомом и аддендами. Однако в химии комплексных соединений имеется ряд фактов, которые невозможно объяснить на основе теории двухэлектронной связи. Известно, например, что  $[\text{Co}(\text{NH}_3)_5\text{NO}]\text{Cl}_2$  имеет магнитный момент, соответствующий двум непарным электронам ( $\mu_B = 2,81$ ). Напротив, соединения  $\text{Na}_2[\text{Fe}(\text{CN})_5\text{NO}]$ ,  $\text{Ru}(\text{NH}_3)_4\text{NO} \cdot \text{H}_2\text{O} \cdot \text{Cl}_3$  и  $[\text{Ru}(\text{NH}_3)_4\text{NOCl}]\text{Br}_2$  имеют моменты, равные нулю. Паунинг [10] высказал предположение, что нитрозогруппа в  $[\text{Co}(\text{NH}_3)_5\text{NO}]\text{Cl}_2$  может иметь структуру с двумя трехэлектронными связями, аналогичную структуре молекулы кислорода, однако после он заявил, что причины этого не известны [11]. О. К. Райс [12] также попытался объяснить появление магнитного момента у соединения кобальта, допустив, что кобальт в нем трехвалентен, а группа  $\text{NO}$  находится в виде отрицательного иона  $\text{NO}^-$  со строением и магнитным моментом, подобным кислороду.

Если же в приведенных выше комплексных соединениях железа и рутения эти металлы двухвалентны, а группа  $\text{NO}$  находится в виде положительного иона  $\text{NO}^+$  со структурой, подобной молекуле азота, то при наличии ковалентных двухэлектронных связей между центральными атомами и окружающими их группами соединения железа и рутения будут диамагнитны.

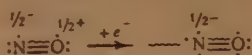
Приведенное объяснение Райса нельзя считать удовлетворительным. Прежде всего в этом объяснении не указываются причины, обуславливающие возникновение ионов  $\text{NO}^+$  и  $\text{NO}^-$ . Далее, если и допустить появление каким-либо путем указанных ионов, то возникает вопрос, каким образом эти ионы, находясь в ковалентной связи с центральными атомами, продолжают оставаться в виде ионов?

Наличие парамагнитных свойств у нитрозокомплекса кобальта и отсутствие их в комплексах железа и рутения можно объяснить только в том случае, если исходить из предположения о возникновении одноэлектронных связей между центральными атомами и аддендами. При этом наблюдаемый парамагнетизм  $[\text{Co}(\text{NH}_3)_5\text{NO}]^{2+}$  объясняется, если принять, что  $\text{Co}^{2+}$  образует пять одноэлектронных связей молекулами аммиака за счет свободных электронов атомов азота, а один из холостых электронов  $\text{Co}^{2+}$  затрачивается на образование шестой одноэлектронной связи с молекулой окиси азота. Пара холостых электронов в атоме кобальта должна в таком случае находиться в одной из  $d$ -ячеек.

Тогда на долю центрального атома будет приходится общая электронная плотность, равная  $9e$ , т. е. как и в свободном атоме, откуда следует, что центральный атом должен быть не заряжен. Очевидно также, что центральный атом не вызывает в данном случае появления парамагнетизма молекулы, так как все электроны в нем спарены.

Что касается окиси азота, то она, образуя одноэлектронную связь за счет центрального атома, перестраивает внешнюю электронную оболочку составляющих ее ато-

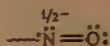
мов таким образом, что в ней вместо одной одноэлектронной связи типа  $A \cdot \sim \cdot B$  ввозникают две такие связи, которые, как известно, парамагнитны:



Строение окиси азота действительно становится аналогичным строению молекулы  $O_2$ .

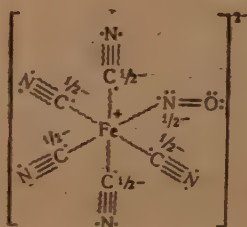
Этим и объясняется появление магнитного момента у иона  $[Co(NH_3)_5NO]^{2+}$ , равного  $2.81 \mu_B$ .

Отсутствие парамагнетизма у комплексного иона  $[Fe(CN)_5NO]^{2-}$  не может быть объяснено на основе предположения о том, что исходное валентное состояние железа — двухвалентный ион  $Fe^{2+}$ , как это делал Райс. В ионе  $Fe^{2+}$  содержится четное число электронов, в присоединенной молекуле окиси азота — нечетное, поэтому как бы ни комбинировались электроны  $Fe^{2+}$  и  $NO$ , всегда останется один непарный электрон, вызывающий появление парамагнетизма. Очевидно, что комплексный ион является производным трехвалентного иона железа, который имеет пять холостых электронов. При образовании пяти одноэлектронных связей с  $CN$ -ионами происходит спаривание четырех  $d$ -электронов в двух  $3d$ -ячейках. Пятый электрон иона  $Fe^{2+}$  затрачивается на образование одноэлектронной связи с молекулой  $NO$ , которая в данном случае приобретает следующее строение:



Из приведенной формулы видно, что во внешней валентной электронной оболочке атомов азота и кислорода содержится 12 электронов, которые попарно компенсируют свои магнитные моменты. Следовательно, группа  $NO$  в данном случае не обладает парамагнитными свойствами. В центральном атоме также все электроны спарены.

Все это приводит к тому, что комплексный ион  $[Fe(CN)_5NO]^{2-}$  в целом не должен проявлять парамагнетизма, что и подтверждается опытными данными. Строение этого иона должно изображаться следующей электронно-структурной формулой:



Рассматривая подобным образом комплексные ионы



мы приходим к выводу, что они также являются производными трехвалентного, а не двухвалентного иона рутения. Электронная конфигурация центрального атома в указанных ионах точно такая же, как и в атоме железа в рассмотренном выше комплексном ионе  $[Fe(CN)_5NO]^{2-}$ , поэтому комплексные ионы рутения диамагнитны.

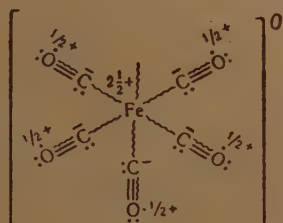
Одним из весьма важных вопросов химии комплексных соединений является вопрос о природе химической связи и строении карбониллов металлов. В этих соединениях, в отличие от типичных комплексов, нет внешней сферы. Все карбониллы металлов диамагнитны, что указывает на отсутствие в них холостых электронов. Даже пентакарбонил железа, в котором центральный атом присоединяет нечетное число молекул окиси углерода, не обнаруживает парамагнитных свойств.

Возникает вопрос, каким образом из парамагнитного атома железа, имеющего четыре холостых электрона, и пяти молекул окиси углерода, не содержащих холостых электронов, получается диамагнитное соединение?

Очевидно, что при образовании пяти двухэлектронных связей должны использоваться три холостых  $d$ -электрона и, кроме того, два из спаренных  $s$ -электронов. В этом случае один из  $d$ -электронов должен остаться непарным и вызвать парамагнетизм молекулы. Между тем, как указано выше, пентакарбонил железа диамагнитен.



Диамагнетизм молекулы пентакарбонила железа можно объяснить только в том случае, если принять, что атомы металлов в карбонилах не присоединяют электроны, а отдают их молекулам окиси углерода. При этом возникают одноэлектронные связи, и электроны, образующие эти связи, попарно занимают в центральном атоме одну электронную орбиту. С этой точки зрения, строение  $\text{Fe}(\text{CO})_5$  выразится следующей электронно-структурной формулой:



Как видно из приведенной формулы, один из электронов центрального атома занимает место шестого заместителя. Чтобы объяснить отсутствие парамагнитных свойств, необходимо допустить, что пять электронов, образующих одноэлектронные связи, и шестой электрон атома железа попарно компенсируют свои спины, спариваясь в  $d$ -орбиталях центрального атома. Тогда на долю центрального атома будет приходиться электронная плотность, равная  $5,5 e$ . Так как нейтральный атом железа имеет восемь электронов, то очевидно, что атом железа в  $\text{Fe}(\text{CO})_5$  должен обладать положительным зарядом, равным  $2,5 e$ . Этот заряд компенсируется отрицательными зарядами на атомах углерода групп  $\text{CO}$ . Кроме того, отрицательные заряды на атомах  $\text{C}$  компенсируются положительными половинными зарядами, возникающими на атомах кислорода. Результирующий заряд всего комплексного соединения будет равен нулю, что и определяет отсутствие внешней сферы у этого соединения.

Следует также остановиться на вопросе о строении карбонила железа состава  $\text{Fe}_2(\text{CO})_9$ . Конфигурация атомов в этой молекуле установлена на основании рентгенографических данных [3], которые указывают на отличие шести внешних и трех внутренних групп  $\text{CO}$ , соединяющих два атома железа. Это проявляется прежде всего в том, что расстояние  $\text{C} - \text{O}$  внутренних карбонильных групп составляет  $1,30 \text{ \AA}$ , расстояние во внешних группах такое же, как и во всех других карбонилах, и составляет  $1,15 \text{ \AA}$ . Длина связи  $\text{Fe} - \text{C}_{\text{внутр}}$  составляет  $1,90 \text{ \AA}$ ,  $\text{Fe} - \text{C}_{\text{внешн}} - 1,80 \text{ \AA}$ . Эти отличия «теории резонанса» объяснила наличием «резонанса» многочисленных структур, причем в «резонансе» участвуют только внешние карбонильные группы, а внутренние карбонильные группы почему-то исключены из «резонанса» с атомом железа. Объяснение, даваемое «теорией резонанса», явно несостоятельно, однако с падением этой лженаучной теории ни одна из существующих теорий не в состоянии объяснить факт отличия внешних и внутренних групп  $\text{CO}$  в  $\text{Fe}_2(\text{CO})_9$ .

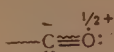
С точки зрения теории одноэлектронной связи, отличие в характере связей во внешних и внутренних карбонильных группах объясняется очень просто. Строение нонакарбонила железа, с этой точки зрения, должно быть представлено следующей электронно-структурной формулой:



Из приведенной формулы видно, что каждый атом железа образует с молекулами окиси углерода шесть одноэлектронных связей. Очевидно, что электроны для образования этих связей предоставляются атомами железа.



При этом внешние карбонильные группы принимают следующее строение:



Приведенная формула показывает, что между атомами углерода и кислорода существует двойная связь и одноэлектронная связь типа  $\frac{1}{2}+ \frac{1}{2}-$ . Энергия двойной связи и одноэлектронной связи указанного типа, по видимому, весьма близка к энергии тройной связи в молекуле CO, поэтому расстояние C—O во внешних карбонильных группах, равное 1,15 Å, очень близко к расстоянию C—O в молекуле окиси углерода, которое равняется 1,13 Å.

Атомы углерода внутренних карбонильных групп образуют с атомами железа по две одноэлектронные связи. Вследствие этого между атомами углерода и кислорода может образоваться только двойная связь и расстояние C—O должно приближаться к расстоянию в обычной карбонильной группе, равному 1,24—1,30 Å. Действительно, расстояние C—O во внутренних карбонильных группах, как указано выше, равно 1,30 Å.

Иного распределения электронов между атомами, составляющими молекулу  $\text{Fe}_2(\text{CO})_9$ , а следовательно, и распределения связей между этими атомами, быть не может. Это распределение диктуется выигрышем энергии при образовании двенадцати одноэлектронных связей между двумя атомами железа и группами CO, а также возникновением значительного электростатического взаимодействия между положительно заряженными атомами железа и атомами углерода CO-групп. При этом шесть электронов атома железа, образующих одноэлектронные связи, спариваются в трех *d*-ячейках, вследствие чего происходит компенсация их магнитных моментов. Десять электронов как внутренних, так и внешних карбонильных групп также парно компенсируют свои магнитные моменты. Все это приводит к тому, что молекула новакарбонила железа диамагнитна.

Все изложенное выше о строении карбониллов металлов показывает, что свойства этих соединений могут быть поняты и удовлетворительно объяснены только на основе теории одноэлектронной связи. Точно так же только представления теории одноэлектронной связи позволяют понять и объяснить существование нитрозидов, смешанных нитрозилкарбониллов, дианилов металлов, а также многих других соединений, строение которых и природа связи в них до настоящего времени считались не установленными.

## ВЫВОДЫ

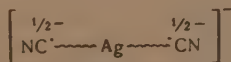
1. Данные измерений магнитных дипольных моментов ковалентных комплексов находят удовлетворительное объяснение с точки зрения теории одноэлектронной связи, что является подтверждением этой теории. Следовательно, природа сил комплексобразования (если речь идет о типичных ковалентных комплексах) сводится к возникновению одноэлектронных связей между центральным атомом и аддендами.

Исходными атомами-комплексобразователями могут служить как положительно заряженные ионы металлов, так и нейтральные атомы.

2. Ионы-комплексобразователи большей частью образуют одноэлектронные связи за счет электронов атомов аддендов, атомы-комплексобразователи преимущественно отдают электроны аддендам для образования с ними одноэлектронных связей. Возможны также случаи, когда центральный атом одновременно образует одноэлектронные связи как за счет электронов атомов аддендов, так и за счет собственных электронов.

3. Типичные атомы и ионы-комплексобразователи характеризуются наличием *d*-электронов и незаполненной *d*- или *s*-оболочки. При наличии в центральном атоме незаполненной *d*-оболочки пара электронов, образующих одноэлектронные связи, занимает в центральном атоме одну электронную орбиту. Холостые электроны при этом спариваются в *d*-ячейках, освобождая тем самым орбиты для электронов, образующих одноэлектронные связи.

4. В ионах с заполненной *d*-оболочкой, но со свободной *s*-оболочкой пара электронов, образующих одноэлектронные связи, может занимать одну *s*-орбиту, образуя комплексы с координационным числом, равным двум, как, например, в комплексном ионе



Если же число одноэлектронных связей больше двух, и электроны, образующие

эти связи, вынуждены занять  $p$ -орбиты, то эти электроны, повидимому, занимают в центральном атоме только одну орбиту.

5. В том случае, когда электроны, образующие одноэлектронные связи, занимают в центральном атоме попарно одну электронную орбиту, возникает линейная, квадратная или октаэдрическая конфигурация комплекса. Если же электроны занимают  $s$ - и  $p$ -орбиты центрального атома по одному, то в этом случае, повидимому, возникает тетраэдрическая конфигурация комплекса.

6. В том случае, когда электроны, образующие одноэлектронные связи, занимают в центральном атоме попарно одну орбиту, возможно проявление эффекта трансвлияния, механизм возникновения которого подробно рассмотрен в нашей предыдущей работе [3].

Украинский научно-исследовательский  
углехимический институт  
Харьков

Поступила  
28.XII.1953

#### ЛИТЕРАТУРА

1. И. И. Черняев, Изв. АН СССР, ОХН, № 2, 197, 1953.
2. К. П. Медведев, Журн. физ. химии, 27, 451, 1953.
3. К. П. Медведев, Журн. физ. химии, 28, 1353, 1954.
4. Я. К. Сыркин и М. Е. Дяткина, Химическая связь и строение молекул, Госхимиздат, 1946, стр. 443 и след.
5. П. Селвуд, Магнетохимия, ИИЛ, 1949.
6. L. Pauling, The nature of the chemical bond, N. Y., 1939, стр. 235.
7. D. H. Nume, H. W. Stone, Journ. Amer. Chem. Soc., 63, 1200, 1941.
8. А. А. Гринберг, Введение в химию комплексных соединений, Госхимиздат, 1951, стр. 358—363.
9. М. И. Батуев, Журн. физ. химии, 26, 1694, 1952.
10. L. Pauling, Journ. Amer. Chem. Soc., 53, 3225, 1931.
11. Л. Паулинг, Природа химической связи, Госхимиздат, 1947, стр. 265.
12. О. К. Райс, Электронное строение и химическая связь в неорганической химии, ИИЛ, М.—Л., 1949, стр. 342.
13. H. M. Powele, G. Ewen's, Journ. Chem. Soc., 286, 1939.

## К ОТВЕТУ НА «ЗАМЕЧАНИЯ» [1] ПО ПОВОДУ СТАТЕЙ М. Х. КАРАПЕТЬЯНЦА [2, 3]

*А. Ф. Капустинский*

Хотя в начале «Замечаний» точно ограничен их предмет ( $\Delta H$  и  $U$ ), М. Х. Карапетьянц затрагивает в «Ответе» [4] линейность связей между разнообразными свойствами, заслуживающую особой критики и здесь не рассматриваемую. Он пишет также, что его статьи — предварительные сообщения; они якобы не эмпиричны, так как «возможность теоретического толкования» «будет рассмотрена дополнительно». Вслед за этим обещанием, видимо, не считая желательным для себя рассмотрение поднятого вопроса в строгих рамках, очерченных выше, как слишком «частных», он соглашается в этом отношении признать отсутствие с его стороны «каких-либо претензий на авторство».

Поскольку выясняется, что подобных «претензий» нет, допустимо было бы принять к сведению его заявление и считать вопрос исчерпанным.

К сожалению, это невозможно, так как далее следует ряд запутанных дополнений и пояснений, которые тем более нельзя оставлять без внимания, потому что они заканчиваются неожиданным выводом, противоречащим сделанному им самим вначале признанию. Дадим их последовательный разбор.

1. Ложность приписываемого мне (дважды) М. Х. Карапетьянцем утверждения о совпадении (2) с законом постоянных разностей легко установить, прочитав § 1 моих «Замечаний» [1]. Ни слова не говорится об этом, высказывается лишь сомнение в известности ему предпосылок разностных расчетов в термодинамике. Сомнение обоснованное, так как никакой истории вопроса в статьях М. Х. Карапетьянца нет. Кроме того, легко убедиться в неверном понимании им таких, говоря его же языком, «общеизвестных» обобщений, как закон постоянных разностей, обратившись к его же сноске [5], что подтверждается и текстом его «Ответа», где этот закон, безукоризненно выводимый из теории электролитической диссоциации строго теоретическим путем, «скромно» объявляется М. Х. Карапетьянцем «частным» случаем его эмпирической формулы (2) [4].

2. В любой функциональной связи величин важна каждая из величин. Легко убедиться, к каким казуистическим результатам приходит М. Х. Карапетьянц в своих рассуждениях о «выпадении аргументов» и произвольности обращения с математическими выражениями.

Так, например, в термодинамическом уравнении:

$$\Delta H = \Delta VT \frac{dp}{dT},$$

«аргументом» является разность объемов  $\Delta V$ . В результате «аргумент» уравнения в процессе вывода выпадает и получается

$$\frac{d \ln p}{dT} = \frac{\Delta H}{RT^2}.$$

Почему же здесь это не удивляет М. Х. Карапетьянца? Подобных же примеров в физической химии сколько угодно.

Далее, по его мнению, можно с успехом дать проводившийся мною в «Замечаниях» [1] вывод «взяв вместо  $\lg z$ , например,  $1/z$ ,  $e^z$  и т. д.» Разумеется да... если бы только мы имели право произвольно писать любое уравнение. Обратим внимание М. Х. Карапетьянца на вывод уравнения Гиббса — Гельмгольца:

$$Z = H - TS \text{ и } S = - \left( \frac{\partial Z}{\partial T} \right)_p,$$

а потому:

$$Z = H + T \left( \frac{\partial Z}{\partial T} \right)_p.$$

Казалось бы можно было, написав, например,  $Z = H - TS^2$  или  $Z = H - TV\bar{S}$  и т. д., также  $e^Z = \left(\frac{\partial Z}{\partial p}\right)_T$  или же  $V\bar{S} = -\left(\frac{\partial Z}{\partial T}\right)_p$  и т. д. и взяв подобные фантастические выражения, например,  $Z = H - TV\bar{S}$  и  $V\bar{S} = -\left(\frac{\partial Z}{\partial T}\right)_p$ , «вывести» методом М. Х. Карапетьянца тот же самый правильный результат, хотя и исходивший из сомнительных оснований:

$$Z = H + T \left( \frac{\partial Z}{\partial T} \right)_p.$$

Но, к сведению М. Х. Карапетьянца, так не поступают по той простой причине, что закономерности природы отвечают объективной реальности, почему и нельзя исходить из выводов из почерпнутых из глубины собственного духа зависимостей, а только из тех, которые отвечают действительности, чем и ограничивается кажущийся произвол. Поэтому-то в нашем выводе и фигурируют не  $1/z$  и не  $e^z$  или же еще что-либо придуманное М. Х. Карапетьянцем, а отвечающий нашей закономерности  $\lg z$ .

Зачем же понадобились ему эти путанные пояснения? Трудно приписать их чему-либо иному, чем стремлению отвлечь внимание читателей от проявленного им явного пренебрежения элементарной математической истиной, кстати, единственной, на которую опирается приводимый в наших «Замечаниях» [1] вывод: две величины, порознь равные третьей, равны между собой.

3. Такие же физико-математического характера ошибки продолжаютсся им и далее в претензиях на общность его эмпирической формулы (2).

Казалось бы, вряд ли можно возражать против истины: если из положения  $A$  можно вывести  $B$ , а из  $B$  нельзя вывести  $A$ , то  $A$  является общим, в то время как  $B$  — частным (следствием). Между тем и эта истина, как видно, не нравится М. Х. Карапетьянцу.

Формула (2), как было показано выше, выводится из правила логарифмики, обратное же невозможно, да М. Х. Карапетьянц и не пытается этого сделать. Значит, она действительно есть частное следствие из правила логарифмики, а не наоборот.

4. Но даже и здесь предельно ясное положение дела затемняется неверными пояснениями и рассуждениями.

В них, по существу, обходится вопрос о ясной всем физико-химикам зависимости точности интерполяций и экстраполяций от числа «экспериментальных» точек, введенных в вычисление, игнорируется и анализ точности самих опорных данных (экспериментальных констант), чего нельзя делать в сравнительных оценках точности сопоставляемых расчетов, что и приводит его к ложному мнению о мнимой «повышенной точности» формулы (2).

Мало того, М. Х. Карапетьянц делает ложное же утверждение о применимости правила термохимической логарифмики, якобы только к кристаллическим неорганическим соединениям, явно ничего не зная о работах различных исследователей по успешному применению его к разным соединениям и к разным агрегатным состояниям, например к теплотам гидратации в жидком состоянии (1953 г.) и к теплотам ионизации в газообразном состоянии (1951 г.), опубликованным в нашей печати.

Все это вместе взятое создает ту путаницу, в результате которой М. Х. Карапетьянц приходит в конце своего «Ответа» [4] к несогласию с тем, с чем он сам же фактически согласился в первых абзацах письма. Обстоятельный разбор его «Ответа» лишний раз доказывает справедливость очевидного по своей убедительности положения, что выражение (2), описываемое им в его статьях как нечто новое для науки, действительно является простым математическим следствием (частным случаем) правила термохимической логарифмики.

В заключение заметим, что, ограничиваясь здесь областью термохимии, мы, разумеется, оставляем за собой право вернуться к критике излагаемой М. Х. Карапетьянцем в других его статьях линейной зависимости между какими угодно другими свойствами тел природы.

Поступила  
11.IV.1955

## ЛИТЕРАТУРА

1. А. Ф. Капустинский, Журн. физ. химии, 29, 1125, 1955.
2. М. Х. Карапетьянц, Журн. физ. химии, 27, 934, 1953.
3. М. Х. Карапетьянц, Журн. физ. химии, 28, 1136, 1954.
4. М. Х. Карапетьянц, Журн. физ. химии, 29, 1326, 1955.
5. М. Х. Карапетьянц, Примеры и задачи по химической термодинамике, Госхимиздат, 1953, стр. 413.



## ПИСЬМА В РЕДАКЦИЮ

ЗАВИСИМОСТЬ СКОРОСТИ  
РАСПРОСТРАНЕНИЯ УЛЬТРАЗВУКОВЫХ ВОЛН  
ОТ ТЕМПЕРАТУРЫ И КОНЦЕНТРАЦИИ В СМЕСЯХ  
НОРМАЛЬНЫХ ОРГАНИЧЕСКИХ ЖИДКОСТЕЙ

Н. А. Дмитриева

Акустическое исследование смесей и растворов относится к одному из существенных звеньев решения проблемы жидкого состояния. Систематические исследования смесей в широком интервале температур [1—3] показали, что оптический метод исследования может быть успешно применен для этих целей.

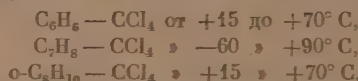
Цель данной работы — исследование распространения ультразвуковых волн в смесях нормальных органических жидкостей в широком интервале температур и концентраций. Данными по изучению распространения ультразвуковых волн в смесях при низких температурах нами в литературе не обнаружено. Имеющиеся же данные по изучению скорости ультразвука и адиабатической сжимаемости в зависимости от температуры и концентрации в области высоких температур носят, за исключением некоторых работ, весьма разрозненный и отрывочный характер, относятся к разным объектам исследования и не дают возможности сделать какие-либо определенные, общие выводы о характере зависимости скорости и сжимаемости от температуры и концентрации, как это сделано для смесей с ассоциированными компонентами.

Исследования проводились оптическим методом, основанным на явлении дифракции света на ультразвуковой решетке в жидкости. Используемая нами для исследований установка позволяла производить исследование скорости звука в смесях, сохраняя неизменной их концентрацию, в широком интервале температур (от  $-70^\circ$  до  $+100^\circ$  C) с точностью до 1—1,2%.

Тщательные сопоставления полученных экспериментальных данных по температурной зависимости скорости звука в чистых компонентах с данными других исследователей дали удовлетворительное согласие, что свидетельствует о надежности использованной методики для исследований.

Для каждой смеси проводились две серии измерений на основных частотах  $3 \cdot 10^6$  и  $6 \cdot 10^6$  гц: в исследованных нами смесях дисперсии скорости ультразвука не наблюдались.

Смеси  $C_2H_6-CCl_4$ ,  $C_7H_8-CCl_4$  и  $o-C_8H_{10}-CCl_4$  исследованы нами систематически в пределах концентраций от 0 до 100%, через каждые 10%, в следующих температурных интервалах:



Нами установлено, что во всех исследованных смесях, в указанном интервале температур скорость распространения ультразвука возрастает с понижением температуры по линейному закону и может быть аналитически выражена уравнением\*:

$$v = v_0(1 - \alpha \Delta t) \quad (1)$$

где  $v$  и  $v_0$  — скорости распространения ультразвука при  $t$  и при  $20^\circ$  C, соответственно,  $\alpha$  — температурный коэффициент скорости распространения ультразвука,  $\Delta t$  — разность между температурами  $t$  и  $20^\circ$  C).

Результаты экспериментального исследования приведены в таблице.

Характер зависимости скорости распространения ультразвука от концентрации для всех изученных систем почти не меняется с температурой, и в первом приближении можно считать, что для данной температуры закон аддитивности для скоростей звука выполнен, т. е.

$$v_{1,2} = v_1c_1 + v_2c_2, \quad (2)$$

\* Применимость данного уравнения к чистым органическим жидкостям была показана в [4].

Вес. % $C_1H_6$	$v_0$ м/сек	$\alpha \cdot 10^{-5}$ град. $^{-1}$	Вес. % $C_2H_6$	$v_0$ м/сек.	$\alpha \cdot 10^{-5}$ град. $^{-1}$	Вес. % $C_3H_8$	$v_0$ м/сек.	$\alpha \cdot 10^{-1}$ град. $^{-1}$
0	935	322	0	935	322	0	935	322
10	980	322	10	980	329	10	977	318
20	1025	321	20	1022	335	20	1020	317
30	1068	319	30	1065	337	30	1059	314
40	1107	321	40	1105	342	40	1105	313
50	1144	320	50	1142	345	50	1145	313
60	1184	320	60	1180	348	60	1187	311
70	1220	319	70	1214	349	70	1230	309
80	1257	318	80	1250	353	80	1270	308
90	1291	317	90	1285	354	90	1315	306
100	1330	314	100	1324	361	100	1355	305

где  $v_1$  и  $v_2$  — скорости ультразвука в чистых компонентах,  $c_1$ ,  $c_2$  — концентрации, выраженные в весовых процентах, и  $v_{1,2}$  — скорость ультразвука в смеси.

Нами установлено, что отклонение  $v_{1,2}$ , вычисленных по формуле (2), от экспериментально найденных не превышает 1,37% для всех изученных систем. Это дает возможность использовать формулу (2) для расчетов зависимости скорости ультразвука от концентрации при данной температуре для изученных смесей нормальных органических жидкостей по данным для чистых жидкостей.

На основании полученных нами экспериментальных данных по измерению скорости распространения ультразвука в смесях нормальных органических жидкостей и плотности их в широком интервале температур и концентраций произведены расчеты коэффициентов адиабатической сжимаемости для всех изученных систем [5].

Экспериментальные исследования производятся не только для того, чтобы выяснить свойства испытываемых объектов, их задача значительно шире: перенести полученные результаты на другие объекты, подобные исследованным. Поэтому для обработки экспериментальных данных был применен частный случай принципа подобия — закон соответственных состояний.

Обнаружение подчиняемости закону соответственных состояний тех или иных физических свойств жидкостей имеет большую научную и практическую ценность, а именно: если известны значения некоторой величины в определенном интервале температур для одних жидкостей, то можно произвести расчет значений для неисследованных интервалов температур других жидкостей, когда известны соответствующие необходимые исходные данные.

Впервые физически обоснованно закон о соответственных состояниях к вопросу о скорости распространения звука был применен В. Ф. Ноздревым [6].

В исследованиях В. Ф. Ноздрева [6] и З. И. Авдусь [7] было установлено, что закон соответственных состояний применим к скоростям звука и к адиабатической сжимаемости для нормальных органических жидкостей в широком интервале температур — от температур затвердевания до критических.

В свою очередь, мы, опираясь на исследования В. Ф. Ноздрева и З. И. Авдусь, установили, что закон соответственных состояний применим к скоростям распространения ультразвука, адиабатической сжимаемости и плотностям изученных смесей нормальных органических жидкостей во всем исследованном интервале температур и концентраций с той же степенью точности, что и для чистых нормальных органических жидкостей.

Поскольку работ по исследованию скорости распространения ультразвука, адиабатической сжимаемости и плотности в смесях нормальных органических жидкостей от температур затвердевания до критических не производилось, проведение ориентировочных расчетов по закону соответственных состояний, исходя из данных только по чистым жидкостям, нам представляется весьма ценным.

В. Ф. Ноздревым показано [6], что если скорости ультразвука и адиабатические сжимаемости жидкостей и их насыщенных паров подчиняются закону соответственных состояний, то отношение теплоемкостей  $C_p/C_V$  и разности теплоемкостей  $C_p - C_V$  также подчиняются этому закону. Этот факт должен иметь немаловажное значение для проведения расчетов  $C_p/C_V$  и  $C_p - C_V$  в широком интервале температур для смесей нормальных органических жидкостей (поскольку они подчиняются закону соответственных состояний) по данным чистых жидкостей.

Нами проведена проверка наиболее существенных закономерностей и правил, вытекающих из подчиняемости скорости звука и адиабатической сжимаемости закону соответственных состояний.

Установлено, что соотношение

$$\frac{Mc^2}{T_c} = f(\theta)$$

(где  $M$  — молекулярный вес,  $c$  — скорость ультразвука,  $T_c$  — критическая температура и  $\theta$  — приведенная температура), вытекающее из подчиняемости скорости звука закону соответственных состояний [8], хорошо выполняется для смесей нормальных органических жидкостей.

Соотношение (3) может быть использовано для проведения расчетов скорости звука в смесях нормальных органических жидкостей в широком интервале температур, от близких к затвердеванию до критических только не данным для чистых жидкостей.

Нами также проведена проверка правила Рао [8]:

$$c^2 : \frac{M}{\rho} = R$$

применительно к смесям нормальных органических жидкостей.

Установлено, что для смесей нормальных органических жидкостей  $R$  почти не меняется с температурой для различных концентраций смесей. Имеющие место отклонения незначительны (до 1% для  $CCl_4$  и смесей, содержащих большой процент  $CCl_4$ ). В области низких температур для смесей  $C_2H_6-CCl_4$  имеет место незначительная тенденция уменьшения  $R$  с понижением температуры до 1%. Для смесей  $C_2H_6-CCl_4$  и  $o-C_2H_5-CCl_4$  зависимость  $R$  от состава и молекулярного веса линейная. Для  $C_6H_6-CCl_4$  имеет место небольшое (до 1%, отклонение от линейности).

Анализ экспериментальных данных, имеющихся в литературе [5], показывает, что смеси, составленные из ассоциированных и неассоциированных жидкостей, и водно-спиртовые смеси не подчиняются закону соответственных состояний. Для них не имеют силы и указанные выше правила и закономерности, вытекающие из подчиняемости скорости ультразвука закону соответственных состояний.

Все рассмотренное выше позволяет сделать вывод, что если составляющие смеси чистые компоненты подчиняются закону соответственных состояний одновременно, то и смеси их также подчиняются этому закону. Во всех остальных случаях, когда одна из составляющих смесь компонент или обе не подчиняются закону соответственных состояний одновременно, закон соответственных состояний для смесей не выполняется. Именно в таких смесях и наблюдаются аномалии в зависимости скорости звука и адiabатической сжимаемости от состава.

Московский областной  
педагогический институт

Поступила  
4. I. 1955

## ЛИТЕРАТУРА

1. Н. И. Ларионов, Журн. физ. химии, 27, 1902, 1950, 1953.
2. Б. А. Смирнов, Диссертация, НИИФ, МГУ, 1952.
3. В. Ф. Ноздрев, Н. А. Дмитриева, Уч. зап. МОПИ, 15, 59, 1950.
4. П. П. Прохоров, В. Ф. Ноздрев, ЖЭТФ, 9, 823, 1959.
5. Н. А. Дмитриева, Диссертация, МОПИ, 1953.
6. В. Ф. Ноздрев, Уч. зап. МОПИ, 18, вып. 2, 46, 1951.
7. З. И. Авдусь, Диссертация, МОПИ, 1950.
8. В. Ф. Ноздрев, Л. Ф. Лепентин, Журн. физ. химии, 28, 1256, 1953.



## МЕХАНИЗМ АНОМАЛЬНОЙ ИОННОЙ ЭЛЕКТРОПРОВОДНОСТИ

А. В. Нахилос

Высокая величина электропроводности воды электролита и воды гидроксида в гидроксидоорганических растворах, в частности в воде, давно привлекала внимание исследователей. Для нас особенно важно, что вода была предложена механизмом проводимости, исключительный случай (Проткина [1]).

Эта точка зрения была развитая более подробно в последнюю форму на основе представления Проткиной [2] о структуре воды и структуре гидроксидов воды в растворе [3, 4].

Там, Борнел и Фукнер [5] объясняют повышенную величину проводимости воды электролита и гидроксида в водных растворах тем, что на обычных электр. ионизационных единицах воды добавляется структурное перемещение протонов воды при помощи водных молекул в направлении электрохимического поля.

Вследствие большой подвижности молекулы воды приоткрываются молекулы свободная структура гидратации протоны приблизительно равна 1,9 ккал. в водных растворах иониз. проводимости образованы водой гидроксида  $H_2O$ . Ввиду того, что равный вод. ион. ионизация на всех сторонах молекулы воды, вод. гидроксида может быть перемещен в воде другой молекулы воды. На основании известных данных о структуре молекулы воды были предложено, что от воды  $H_2O$  и молекулы воды протоны необходимо иметь расстояние  $0,86 \cdot 10^{-8}$  см. причем в результате положительный заряд перемещается на  $1,1 \cdot 10^{-8}$  см [6].

Эта картина протонного перемещения в водном направлении образования и разложения гидратации протон, перемещенных от одной молекулы воды к другой. Это может повлиять следующей схемой:



То же можно иметь место и в случае водных растворов оснований: той лишь разницей, что здесь протонные ионизация и молекулы воды образуются за счет основного протонного молекулы воды, который, естественно, является протонной, чем протон в воде гидроксида. Благодаря этому подвижность ионов  $OH^-$  значительно меньше, чем у  $H_3O^+$ . Этот процесс можно пояснить следующей схемой:



В первом случае протон перемещается от иона  $OH^-$  к молекуле воды, а во втором — к молекуле воды к иону  $OH^-$ .

Таким образом, положительный заряд будет перемещаться в водной промежуточной форме на гидратации растворов. При образовании равности потенциалов водных растворов иониз. в основном, наружу с обычными перемещениями вод. гидратации иониз. водной водной ионизации и протонированной молекулы проводимости, в. в. подвижность падает: механическая электропроводности на обычной электропроводности.

Для объяснения такого механизма аномальной ионной электропроводности были рассмотрены водные водные растворы молекулы электропроводности от электролита. Так как электропроводность воды зависит от скорости ион. движения, то на образование молекулы электропроводности от температуры естественно возмущаются уравнением Аррениуса в виде следующей зависимости:

$$\lg \kappa = B - \frac{E}{2,3RT}$$

где  $\kappa$  — удельная электропроводность,  $B$  — константа, которая в зависимости от удельной электропроводности зависит от температуры;  $E$  — энергия активации иониз. гидратации водной водной ионизации.

Представленные предположения водных водных электропроводности для водных растворов иониз. в основном, проводимости, в. в. водной.



Наименование водных растворов	Концентрация	Температур- ный интервал в °С	E по электро- проводности в калориях	Литературные источники
$\text{HNO}_3$	0,05 моль/л	0 ÷ 50	2610	[7]
	0,1	0 ÷ 50	2500	
	0,2	0 ÷ 35	2610	
$\text{HCl}$	0,1 моль/л	0 ÷ 35	2830	[7]
	0,05	0 ÷ 35	2650	
	0,2	18 ÷ 35	2560	
	0,5	18 ÷ 35	2042	
	1	18 ÷ 35	2310	
$\text{H}_2\text{SO}_4$	100 г/л	40 ÷ 50		[8]
		55 ÷ 70	1165	
	150	55 ÷ 70	1435	
	200	55 ÷ 70	1555	
	250	55 ÷ 70	1660	
$\text{H}_3\text{PO}_4$	0,1558 моль/л	25 ÷ 75	765	[9]
	1,068	25 ÷ 75	820	
	3,208	25 ÷ 75	915	
	5,139	25 ÷ 75	1320	
	7,695	25 ÷ 75	1780	
	10,41	25 ÷ 75	2480	
$\text{NaOH}$	0,02 моль/л	18 ÷ 100	2330	[7]
	0,05	18 ÷ 100	2380	
	1	0 ÷ 100	2720	
$\text{KOH}$	0,1 моль/л	18 ÷ 50	2495	[7]
	0,5	18 ÷ 50	1910	
	0,7	18 ÷ 50	2480	
$\text{LiOH}$	1 моль/л	18 ÷ 50	2480	[7]

Энергия активации вязкостного процесса для воды, согласно данным [10], характеризуется величиной 3800 кал при 25°.

Из приведенной таблицы следует, что энергия активации электропроводности водных растворов значительно ниже 3800 кал. Низкая величина энергии активации процесса электропроводности показывает, что аномальная электропроводность ионов  $\text{H}^+$  и  $\text{OH}^-$  обуславливается наличием двух механизмов проводимости: ионного и прототропного.

Ионный механизм — это перенос электричества за счет передвижения самих ионов к электроду, где главную роль играет вязкость раствора. Энергия активации такого процесса составляет 3800 кал и выше.

Прототропный механизм — это цепной процесс передачи протона от одной молекулы к другой, требующий значительно меньшей энергии активации. Низкое значение энергии активации этого процесса объясняется тем, что нет энергетического выигрыша при закреплении протона у определенной молекулы воды, вследствие равенства энергии связи протона с  $\text{H}_2\text{O}$  и статистического равенства энергетического уровня окружающих молекул  $\text{H}_2\text{O}$ .

Оба механизма примерно равновероятны.

Преобладание каждого из указанных выше механизмов в процессе электропроводности будет определяться не только величиной энергии активации каждого из них. Помимо энергии активации вероятность прототропного механизма будет определяться и наличием ионов, способных к нему. Например, в растворах кислот  $\text{HCl}$ ,  $\text{H}_2\text{SO}_4$ ,  $\text{H}_3\text{PO}_4$  доля участия прототропного механизма различна в соответствии с количеством  $\text{H}^+$  ионов в каждой из них (см. таблицу).

В заключение считаю своим приятным долгом выразить благодарность проф. С. В. Горбачеву за ценные советы и дискуссию по этому вопросу.

## ЛИТЕРАТУРА

- М. Дол, Основы теоретической и экспериментальной электрохимии, ОНТИ, 1937.
- Е. Hückel, Zs. Elektrochem., 34, 546, 1928.
- Н. Bernal, R. H. Fowler, Journ. Chem. Phys., 1, 515, 1933.
- Н. Wannier, Ann. Phys., 24, 545, 569, 1935.
- А. Е. Stearn, Н. Eyring, Journ. Chem. Phys., 5, 113, 1937.
- С. Глестон, К. Лейдлер, Г. Эйринг, Теория абсолютных скоростей реакций, ГИИЛ, М., 1948.
- Техническая энциклопедия, Справочник физических, химических и технологических величин, т. 4, 1930.
- S. Skowronski, Eu. Reinoso, Trans. Amer. Electrochem. Soc., 52, 205, 1927.
- И. В. Смирнов, Диссертация, М., 1948.
- С. Глестон, Введение в электрохимию, ГИИЛ, М., 1951.

# ОПРЕДЕЛЕНИЕ СОСТАВА И КОНСТАНТЫ УСТОЙЧИВОСТИ КОМПЛЕКСНЫХ ИОНОВ ПО КРИВОЙ РАСТВОРИМОСТИ

В. В. Фоллин

Н. Э. Ермаковскому было предложено метод определения последовательных констант устойчивости комплексных ионов одним элементом из кривых, выражающих зависимость ионизации комплексных полиэлектролитических соединений от концентрации анионов  $X_{n-1}$  и из кривых растворимости (1,2). Метод основан на том, что, при условии равновесия в растворе только двух комплексных ионов в некоторой области концентрации ионизация комплексных соединений через точку, в которой концентрации этих ионов равны, имеет универсальный вид.

В работе определены из кривых растворимости, выражающей реакции, происходящие в растворе, уравнения

$$AX_{n-1} = (x - m) X_{\text{раств}} \pm AX_n (\text{раств}), \quad (1)$$

константы равновесия которых

$$K_x = \frac{[AX_n]}{[X]^{n-m}}, \quad (2)$$

получают, что константы устойчивости комплексных ионов равны

$$K_x^1 = \frac{[AX_n]}{[A][X]^n} = \frac{[AX_n]}{[X]^{n-m}[A][X]^m} = \frac{K_x}{L_p}, \quad (3)$$

где  $L_p$  — произведение растворимости для соли  $AX_m$ .

Предполагая, что в растворе существуют только две комплексные ионы  $AX_n$  и  $AX_{n-1}$ , которыми определяется растворимость, а концентрацией катионов  $A$  можно пренебречь, получим, что

$$S = [AX_n] + [AX_{n-1}],$$

$$\frac{\lg S}{\lg [X]} = n - m - \frac{K_{n-1}[X]}{K_n - K_{n-1}[X]}. \quad (4)$$

Наиболее вероятно существование в растворе только двух комплексных ионов при такой концентрации анионов  $X$ , когда  $[AX_n] = [AX_{n-1}]$ , а следовательно,

$$K_n = K_{n-1}[X]. \quad (5)$$

Из уравнения (4) получаем, что в этом случае

$$\frac{\lg S}{\lg [X]} = n - m - \frac{1}{2}. \quad (6)$$

Таким образом, проводя касательные к кривой  $\lg S - \lg [X]$  под углом  $\alpha - \pi - \frac{\pi}{2}$ , где  $\alpha$  в простейшем случае, принимает последовательные целые значения

0, 1, 2 и т. д., можно найти концентрации  $[X]$ , при которых  $[AX_n] = [AX_{n-1}] = \frac{S}{2}$ , а отсюда и соответствующие константы.

$$\text{Так как } n - m - \frac{1}{2} \text{ и } [AX_n] = [AX_{n-1}] \text{ и } K_n = \frac{[AX_n]}{[X]^{n-m}} = \frac{[AX_n]}{[X]^{n-m}} = L_p$$

то  $[AX_n] = \frac{S}{2} = K_n [X]^{n-m}$  и т. д. можно найти последовательные растворимости.

Из этой же точки находится  $K_1 = \frac{[AX]}{[X]^{1-m}}$ , так как  $[AX_0] = [AX]$ . Из данных для точки касания при  $n=1$  можно найти  $K_1$  и  $K_2$  и т. д. Все константы, кроме произведения растворимости и константы устойчивости наиболее точно и легко находятся (табл. 1).

Экспериментальная проверка предложенного метода была осуществлена только на одном примере [3], поэтому представляет интерес применить его к другим веществам.

Для проверки предложенного метода нами были взяты данные работы [4] по растворимости хлористого серебра в смеси  $\text{NaCl} - \text{NaClO}_4$  (перхлорат прибавлялся для сохранения постоянной ионной силы, равной единице). Результаты этой работы приведены на рисунке, где дана зависимость логарифма растворимости от логарифма активности хлор-ионов, рассчитанной в [4]. Коэффициенты активности комплексных ионов принимались равными единице.

На этом же рисунке приведены касательные для  $n=0$  и  $n=1$ , показывающие, что в растворе существуют только молекулы  $\text{AgCl}$  и ионы  $\text{AgCl}_2^-$ . Построение касательных осуществлялось путем проведения прямых с заданным наклоном, а затем — параллельных им касательных.

Из рисунка найдено, что для первой точки  $\lg [X] = -3.36 \pm 0.04$ ,  $\lg S = -6.38 \pm 0.04$ ,  $\lg \frac{S}{\gamma} = -6.38 \pm 0.04$ , поэтому  $\lg K^0 = -6.38 \pm 0.04$ ,  $\lg K_1 = -3.36 \pm 0.04 = -9.74 \pm 0.08$ ,  $\lg K_2 = 6.38 \pm 0.04$ .

Для второй точки  $\lg [X] = -1.90 \pm 0.04$ ,  $\lg S = -6.44 \pm 0.04$ ,  $\lg \frac{S}{\gamma} = -6.44 \pm 0.04$ ; следовательно,  $\lg K_2 = 6.44 \pm 0.04$ ,  $\lg K_1 = -6.44 \pm 0.04$ ,  $\lg K^0 = -1.90 \pm 0.04 = -4.34 \pm 0.08$ .

Значения  $\lg K_1$ , найденные из двух разных точек, равны в пределах погрешности определения, поэтому можно принять, что  $\lg K_1 = -6.44 \pm 0.04$ .

По уравнению (4)  $\lg K_1^0 = 3.36 \pm 0.12$ ,  $\lg K_2^0 = 5.20 \pm 0.12$ . Логарифм произведения растворимости хлористого серебра [5] равен  $-9.75$ , что хорошо совпадает с величиной, найденной нами:  $\lg K^0$  и  $\lg K_2^0$  по данным работы [4], рассчитанные из уравнений для растворимости, равны, соответственно,  $3.42$  и  $5.15$ , что удовлетворительно соответствует величинам, полученным выше.

Можно полагать, что одна константа, найденная из разных точек, будет иметь различные значения, если полная сила раствора будет меняться.

### ВЫВОДЫ

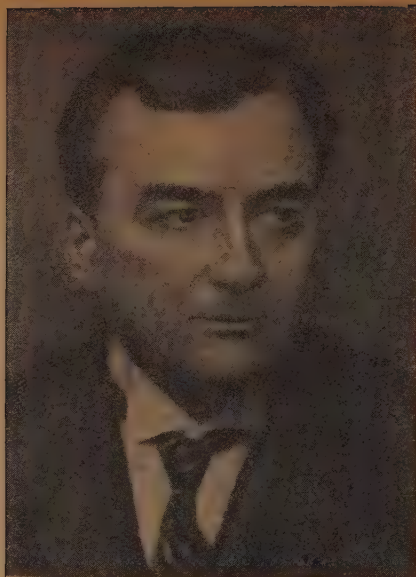
При помощи касательных к кривой логарифм растворимости — логарифм концентрации адденда, под углом  $n-m-\frac{1}{2}$ , где  $n$  — число координированных групп,  $m$  — число анионов в простой соли  $\text{AX}_m$ , определены природа ионов, образующихся при растворении  $\text{AgCl}$ , и константы их устойчивости. Установлено, что образуются молекулы  $\text{AgCl}$  и ионы  $\text{AgCl}_2^-$ . Логарифмы произведения растворимости и констант устойчивости ионов  $\text{AgCl}^0$  и  $\text{AgCl}_2^-$  равны, соответственно,  $-9.74 \pm 0.08$ ;  $3.36 \pm 0.12$ ,  $5.20 \pm 0.12$ .

Поступило  
25. II. 1953

### ЛИТЕРАТУРА

1. К. Б. Яцимирский. «Сборник статей по общей химии». Изд-во АН СССР, т. 1, стр. 193, 1953.
2. К. Б. Яцимирский, Усп. химии, 22, 405, 1953.
3. К. Б. Яцимирский. «Сборник статей по общей химии». Изд-во АН СССР, т. 1, стр. 97, 1953.
4. J. H. Jøntte, Don S. Martin. Journ. Amer. Chem. Soc., 74, 2052, 1952.
5. B. B. Owen. Journ. Amer. Chem. Soc., 60, 2229, 1938.





## НИКОЛАЙ АЛЕКСАНДРОВИЧ ШИЛОВ

(К 25-летию со дня смерти)

Скончавшийся 25 лет назад 17 августа 1930 г. профессор Московского высшего технического училища Николай Александрович Шилов был несомненно одним из самых даровитых и ярких представителей химической науки нашей страны.

Н. А. Шилов родился в 1872 г. По окончании гимназии он поступил на естественное отделение физико-математического факультета Московского университета. Его первым научным увлечением была ботаника, которой он заинтересовался под влиянием знаменитого уже в то время К. А. Тимирязева.

Однако после первой же лекции молодого профессора химии Н. Д. Зелинского на тему о роли Пастера в развитии химических теорий Н. А. Шилов заинтересовался химией, которая и определила дальнейший научный путь даровитого юноши.

Н. Д. Зелинский был естествоиспытателем с широким химическим кругозором. Будучи специалистом по органической химии, он проявлял немалый интерес к физической химии и сумел увлечь этой наукой Н. А. Шилова. Когда по окончании университета Н. А. Шилов был оставлен для подготовки к профессорскому званию, Н. Д. Зелинский оказал ему содействие в получении заграничной командировки в Лейпциг, где раньше работал он сам и где в те годы особенно успешно развивалась научная деятельность крупнейших физико-химиков Вильгельма Оствальда, его ученика Р. Лютера и других.

Н. А. Шилов был командирован в Лейпциг дважды: в 1896—1897 гг. и в 1901—1904 гг. После возвращения из своей второй командировки Н. А. Шилов защитил в 1904 г. в Москве свою магистерскую диссертацию на тему «О сопряженных реакциях окисления», после чего в 1906 г. был утвержден в звании приват-доцента Московского университета.

Эта диссертация сразу выдвинула Н. А. Шилова в первые ряды русских физико-химиков и оказала весьма значительное влияние на развитие химической кинетики.

В дальнейшем Н. А. Шилов в сотрудничестве с целым рядом своих учеников принимал результаты своих выводов к исследованию многих процессов, играющих существенную роль в фотографическом проявлении.

В 1911 г. Н. А. Шилов вместе с лучшей частью профессуры оставил преподавание в Московском университете в знак протеста против действий царского министра Кассо, направленных против Правления автономного университета и против студенчества.

После этого Н. А. Шилов продолжал свою научно-педагогическую деятельность в Московском высшем техническом училище в качестве заведующего кафедрой неорганической химии; на эту должность он был избран в 1910 г. Заведывание кафедрой он совмещал с должностью профессора Коммерческого института.

В 1915—1917 гг., во время первой мировой войны, Н. А. Шилов принял горячее участие в деле противогазовой защиты русской армии. Уже в начале применения влаж-

противогаза весьма большое значение имело обнаружение Н. А. Шиловым и А. Изгарышевым того факта, что раствор, предназначавшийся для пропитки влажных противогазов, был составлен по неправильному рецепту и содержал недостаточное количество соды. Применение влажного противогаза, пропитанного такой жидкостью, только не могло спасти защищенного им человека от отравления боевым газом — бром, но, наоборот, угрожало ему тяжелым отравлением вследствие действия сертого газа, выделяемого при реакции пропитывающей противогаз жидкости с хлором за счет содержащегося в ней в избытке тиосульфата.

Когда в 1915 г. появился универсальный угольный противогаз Н. Д. Зелинского, А. Шилов продолжил и развил дело своего учителя. Выполняя свои исследования организованной им фронтовой подвижной химической лаборатории, Н. А. Шилов привлеченными им сотрудниками создал современную методику исследования, а также основные теории действия угольного противогаза. Из этих фронтовых исследований следствием развились обширные работы Н. А. Шилова и его школы по динамической активности угля, а также дальнейшие работы его и его многочисленных учеников в области изучения сорбционных процессов.

Во время войны Н. А. Шилов не ограничился экспериментальными научно-исследовательскими работами в области теории и практики действия противогазов, но принял и непосредственно горячее участие в организации так называемого «газового прививания», т. е. противогазовой подготовки войск, и в других мероприятиях, относящихся к противогазовой защите, например в организации ремонта неисправных противогазов и т. д.

Н. А. Шилов был непревзойденным лектором и популяризатором химической науки вдохновенные яркие и в то же время строго научные лекции пользовались неизменным успехом у слушателей и проходили при переполненных аудиториях. Нередко лекции посещали также профессора, доценты и преподаватели. Слушатели даже уходили после лекций Н. А. Шилова возбужденными его яркими идеями, пылкими увлекательными обобщениями, и им невольно передавался его собственный энтузиазм по отношению к любимой науке.

Перу Н. А. Шилова принадлежит оригинальный учебник по объемному анализу, учивший большое распространение в высших учебных заведениях и много способствовавший поднятию на высокий научный уровень преподавания количественного анализа в высшей школе.

Н. А. Шилов обладал природным даром привлекать к себе учеников и последователей; в отношениях с ними он проявлял научную щедрость, делился своими научными знаниями и помогая им всем, чем только мог.

Н. А. Шилов оставил после себя обширную школу учеников, среди которых можно назвать имена акад. М. М. Дубинина, членов-корреспондентов АН СССР Н. А. Изгарышева, Б. В. Некрасова, К. В. Чмутова, действительного члена АН Латвийской ССР К. Лепинь, заслуженных деятелей науки и техники Я. М. Катушева и Б. М. Берггейма, профессоров и доцентов С. А. Вознесенского, М. Л. Чепелевского, И. Назарова, К. В. Астахова, А. В. Киселева, Н. М. Ронжиной, Л. М. Орловой, Г. Шатуновской и других. Кроме названных лиц, учениками Н. А. Шилова считают также и многие другие исследователи, участвовавшие в совместных с ним, работавших слушавшие его лекции.

Н. А. Шилов скоропостижно скончался в расцвете своих сил во время туристского похода в Гаграх 17 августа 1930 г.

Среди разнообразных работ Н. А. Шилова особенно выделяются работы двух направлений: 1) по исследованию сопряженных реакций окисления и 2) по исследованию окисления на угле. Первое из этих направлений охватывает цикл работ, непосредственно связанных с вопросами химической кинетики.

Для того чтобы понять и оценить значение работ Н. А. Шилова по химической кинетике, необходимо представить себе пути становления химической кинетики как области химии. В восьмидесятых годах прошлого столетия Вант-Гофф, Сванте Аррениус, частично В. Оствальд на основе физических представлений сформулировали важные законы химической кинетики (молекулярность реакций, энергия активации, катализ ионами водорода и т. п.), заложив тем самым основы нового раздела химии. Это был, несомненно, крупный успех. Однако в этом триумфе физических представлений была заключена опасность пренебрежения химизмом реакций. Действительно, такие вопросы, как действие среды на химические реакции, роль химического строения реагирующих молекул и, что особенно важно, значение лабильных промежуточных продуктов в химических превращениях, оставались в тени. На необходимость учета особенностей химической реакции уже в то время указывал Н. А. Меншуткин, лишь немногие ученые и притом случайно занимались изучением влияния промежуточных соединений, образующихся в ходе реакции, на процесс химического превращения. Больше всего этими вопросами интересовались исследователи, изучавшие сложные реакции, в которых возникновение одной, легко идущей реакции, вызывает ускорение другой, трудно протекающей в отсутствие первой в изолированной системе. Систематическое изучение сопряженного окисления различных соединений горючим воздухом привело А. Энглера и А. Н. Баха к заключению, что образование реактивных промежуточных соединений имеет фундаментальное значение для

протекания процессов окисления. В 1897 г. А. Н. Бах опубликовал свою знаменитую теорию окисления кислородом воздуха, в которой основная роль в кинетике процесса принадлежит образующимся в его ходе лабильным промежуточным перекисям. Это было первое крупное обобщение, знаменующее переход к новым представлениям в химической кинетике.

Через несколько лет начинают появляться работы Николая Александровича Шилова, из которых главная — его замечательная диссертация «О сопряженных реакций окисления». Тогда еще совсем молодой автор проводит огромную экспериментальную работу по изучению гомогенных сопряженных реакций окисления в растворах, анализирует весь имевшийся ранее разрозненный материал и интерпретирует его с единой точки зрения. Он расширяет область вопросов сопряженных реакций и делает дальнейшие выводы, направленные на обоснование одной общей идеи об основной роли лабильных промежуточных продуктов в химической кинетике. Вот какими словами Н. А. Шилов заканчивает свою диссертацию:

«Заканчивая свое изложение, я позволю себе еще раз формулировать тот общий вывод, который намечается моим исследованием.

Существует много данных, указывающих на то, что реакции окисления протекают очень сложно и что эмпирические уравнения процессов стоят приблизительно в таких же отношениях к истинному течению реакций, как эмпирические формулы органических соединений к их конституционным формулам. К этому выводу приводят кинетические исследования, но они не дают возможности поставить вопрос на экспериментальную почву и сделать окончательный выбор между различными промежуточными реакциями, возможными для данной кинетической системы.

Изучение сопряженных реакций заполняет этот пробел.

Явления химической индукции представляют не что иное, как вовлечение в реакцию тех промежуточных продуктов, которые по своей неустойчивости или малой концентрации в большинстве случаев не могут быть выделены в свободном состоянии. Заставляя эти продукты входить во взаимодействие с посторонними веществами, мы получаем представление о их составе и свойствах и об истинном ходе химической реакции. Поэтому, исследование сопряженных реакций можно применить как метод изучения природы и состояния веществ в интимный момент химических превращений.

В этом, мне кажется, заключается главный интерес вопроса о сопряженных реакциях и отсюда вытекает его связь с другими вопросами и общими задачами химической динамики».

Никто в те времена с такой предельной ясностью не формулировал общего значения промежуточных веществ в химической кинетике.

В начале XX в. появляется серия работ немецкого ученого Боденштейна, который, изучая газовые реакции (в частности, образование бромистого водорода), приходит к выводу, что простые моно- и бимолекулярные законы часто не отвечают истинному, гораздо более сложному течению газовых реакций. Боденштейн и его ученики в дальнейшем в ряде фундаментальных работ широко развили и обосновали экспериментально значение промежуточных веществ в гомогенной газовой кинетике.

В результате работ указанных трех ученых (к которым можно было бы прибавить еще несколько имен) на рубеже двух веков начало происходить постепенное изменение направления развития химической кинетики. Законы Вант-Гоффа и Аррениуса остаются основой кинетики, но в большинстве случаев лишь в приложении к единичному элементарному акту. Химическое превращение в целом оказалось, как правило, сложным явлением, определяющимся теми промежуточными лабильными веществами, которые возникают по ходу процесса. Развитие химической кинетики в XX в. в значительной мере определяется указанными представлениями.

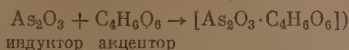
Таким образом, Николай Александрович Шилов был одним из тех ученых, которые заложили основы современного направления развития химической кинетики.

Рассмотрим кратко главные результаты работы Н. А. Шилова «О сопряженных реакциях окисления».

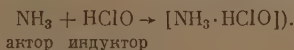
При изучении явлений химической индукции Н. А. Шилов ставит себе задачу определения природы промежуточного образования, ответственного за явление индукции. С этой целью им было экспериментально исследовано большое число сопряженных систем (сопряженное окисление оксикислот хромовой кислотой при одновременном окислении мышьяковистой кислоты, окисление иодоводорода персульфатом в присутствии закиси железа, окисление мышьяковистой кислоты бромноватой кислотой в присутствии закиси железа, окисление мышьяковистой кислоты персульфатом в присутствии закиси меди и т. п.). Н. А. Шилов применяет новые, более строгие методы количественного определения фактора индукции, указывая при этом, что сам по себе фактор индукции определяет лишь стехиометрический состав промежуточного вещества, но не его природу и происхождение. Постепенно и систематически меняя природу веществ, участвующих в данной сопряженной реакции, Н. А. Шилову удается достаточно подойти к решению вопроса о строении промежуточного соединения. Применяя кинетические методы исследования дает возможность Н. А. Шилову изучать механизм образования активного промежуточного соединения. В результате своих исследований Н. А. Шилов приходит к выводу, что в одних случаях промежуточный продукт сопряженной реакции представляет собой неустойчивую степень окисления



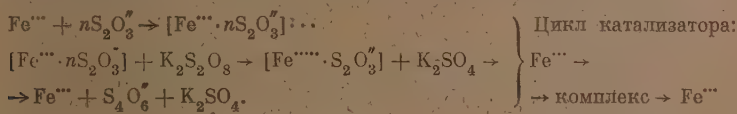
индуктора (например, случай индукции при окислении закиси железа  $\text{Fe}^{II} \rightarrow \text{Fe}^{III}$ ) или актора (например, окисление бромоватой кислоты  $\text{HBrO}_3 \rightarrow \text{HBrO}_2$ ). В других случаях промежуточный продукт есть комплексное образование индуктора с акцептором (например, сопряженное окисление оксикислот с мышьяковистой кислотой и окисью сурьмы:



или индуктора с актором (окисление хлорноватистокислого аммония перманганатом:



При изучении явлений гомогенного катализа в растворах Н. А. Шилов высказывает идею о тесной связи катализа с химической индукцией. По его представлению, катализатор играет роль индуктора по отношению к химической системе, реагирующей под его воздействием. Однако катализатором может быть лишь такой индуктор, который способен регенерироваться в последующей стадии реакции. Возможность такой регенерации обоснована Н. А. Шиловым, исходя из теории электрохимических потенциалов. Механизм действия такого катализатора-индуктора заключается в том, что он образует с одним из исходных веществ неустойчивое соединение. Это промежуточное соединение реагирует с другим компонентом системы, приводя к образованию конечного вещества и восстановлению катализатора в его первоначальном виде. Так как каждая молекула катализатора, восстанавливаясь в каждом цикле, может ввести в реакцию неограниченное число исходных молекул, то фактор индукции в этом случае равен бесконечности. Таким образом, Н. А. Шилов рассматривает катализ как частный случай индукции. Изучая кинетическим методом переход от индукции к катализу, Н. А. Шилов нашел экспериментальное указание на химический характер цикла превращений, претерпеваемого катализатором. В качестве примера приведем механизм процесса каталитического действия окислов железа, предложенный Н. А. Шиловым:



Н. А. Шилов подробно экспериментально изучил два случая ускорения реакции конечным продуктом ( $\text{HBrO}_3 + \text{As}_2\text{O}_3$  и  $\text{KMnO}_4 + \text{C}_2\text{H}_2\text{O}_4$ ). Им было показано, что, по крайней мере, в этих двух случаях автоускорение связано с действием конечного продукта в качестве индуктора, образующего с одним из исходных веществ активное промежуточное соединение. Последнее, взаимодействуя с другим компонентом системы, приводит к образованию конечных продуктов реакции. Так как индуктор (конечный продукт для первой из упомянутых реакций —  $\text{HBr}$ ) не только не исчезает, но, наоборот, накапливается с ходом реакции, то последние автоускоряются со временем. Такого рода процессы Н. А. Шилов назвал самоиндуктивными. Не отрицая существования собственно автокаталитических процессов в понимании Оствальда, Н. А. Шилов настаивал на наличии аналогичных по внешнему характеру явлений самоиндукции.

Н. А. Шилов работал в области реакций в растворах, где широко распространено явление электролитической диссоциации и где в большинстве случаев основную роль в ходе процесса играют ионы. Дальнейшее развитие учения о такого рода ионных реакциях в растворах в основном пошло по тому направлению, которое развивал Н. А. Шилов в своих работах.

Явления гомогенного катализа в растворах электролитов в свете современных данных протекают в соответствии с взглядами Н. А. Шилова как сложные реакции, связанные с образованием ионных комплексов. Иное представление о прямом действии катализатора на константу скорости реакции исходных веществ, казалось, потеряло всякое значение. Только недавно, в результате наблюдения тримолекулярности некоторых реакций в растворах, Евгений Алексеевич Шилов пришел к заключению, что в некоторых случаях возможно непосредственное превращение исходных молекул в конечные при тройном соударении этих двух молекул с молекулой катализатора. Такой механизм наводит на мысль о механизме Оствальда. Следует еще раз отметить, что Н. А. Шилов признавал возможность существования обоих типов катализа.

Нет сомнения, что большая часть реакций в растворах и значительная часть газовых реакций протекают не как непосредственные моно-, би- или тримолекулярные реакции, но как сложный процесс с образованием малоустойчивых промежуточных образований (ионные комплексы, свободные радикалы). Среди сложных реакций, идущих при помощи свободных радикалов, большое значение имеют цепные реакции.

Цепная теория появилась в результате открытия уже в конце 1905 г. новых фундаментальных фактов (большой квантовой выход некоторых фотохимических реакций, явления пределов, получение и изучение свойств свободных радикалов).



Хотя работы Н. А. Шилова не имели прямого отношения к открытию и развитию теории цепных реакций, однако развитие этой теории так же, как и развитие теории ионных реакций в растворах, связано с именем Н. А. Шилова. Н. А. Шилов был одним из тех ученых, которые на рубеже XX в. своими работами показали общее значение для химической кинетики малоустойчивых промежуточных соединений, а также недостаточность простейших классических представлений в этой науке. Эти работы и направили мысль исследователей, изучавших динамику химического процесса, по новому, химическому пути.

Вторым большим циклом работ Н. А. Шилова были работы, связанные с проблемами адсорбции газов и растворенных веществ, а также с вопросами химии поверхностных соединений. Эти работы поглотили научные интересы Н. А. Шилова, начиная с 1915 г. и вплоть до последних дней его жизни.

Весьма характерен для Н. А. Шилова как ученого и как человека и гражданина тот путь, которым он пришел к широкому и всестороннему исследованию адсорбционных явлений.

Н. А. Шилов был одним из тех представителей русской химии, которые немедленно после применения в 1915 г. химического оружия самоотверженно и творчески включились в дело разработки эффективных способов противохимической защиты. Как уже указывалось выше, со свойственным ему размахом и широтой постановки задач он развил бурную научную и организационную деятельность. Нет никакого сомнения в том, что Н. А. Шилов, которому был глубоко чужд узкопрактический подход к разрешению стоящих перед ним вопросов, без глубокого научного проникновения в них, именно при изучении процессов, протекающих в противогасах, почувствовал живой интерес к природе поверхностных явлений, а вскоре и оказался полностью захваченным увлекательной областью этой науки.

Если вначале (1915—1916 гг.) в центре внимания Н. А. Шилова были только «текущие» задачи, задачи «сегодняшнего дня» по организации противохимической защиты, то во второй период (1916—1917 гг.) он проводит уже планомерное научное исследование процессов адсорбции в динамических условиях из тока воздуха на слое адсорбента. Результатом этих исследований явилась стройная система взглядов, позволявшая не только описывать явления, но и давать рекомендации по усовершенствованию противогаса.

Эти работы Н. А. Шилова не утратили своего значения и в наше время, а область их применения значительно возросла, так как выяснилась глубокая аналогия между процессами, протекающими в противогазе, и многими другими процессами, играющими большую роль в промышленности и лабораторной практике. (В широком смысле этого слова такими процессами являются все сорбционные процессы, протекающие в динамических условиях в слое адсорбента, например в хроматографической колонке.)

Из работ Н. А. Шилова этого периода следует прежде всего остановиться на представляющемся в наше время почти тривиальным, но имевшем огромное значение в свое время, понятии не только о различии между статической и динамической активностями адсорбента, но и об отсутствии параллелизма между этими характеристиками адсорбента.

Четкое установление этого различия на основании анализа огромного экспериментального материала, установление таких понятий, как «время защитного действия», «проскок», роль длины слоя, представление о параллельном переносе фронта газа вдоль слоя адсорбента после того, как форма кривой, выражающей фронт газа, станет стационарной, — все эти понятия и представления привели к ясной картине явления в слое адсорбента. Методы, разработанные Н. А. Шилковым в этой области, сохранили свое значение до настоящего времени, а многие из его мыслей по этому поводу были в дальнейшем продолжены и развиты его последователями и учениками.

Вполне естественно и весьма типично для Н. А. Шилова, что в дальнейшем, когда отпала необходимость работы в полевых условиях, когда проблема испытания и усовершенствования противогаса перестала быть центральной проблемой, Н. А. Шилов не только не оставил области поверхностных явлений, а, наоборот, с большим размахом развернул их изучение, перенеся центр тяжести на общетеоретические вопросы, дающие в его представлении ключ к наиболее глубокому пониманию этих явлений.

В качестве общей характеристики этого этапа исследований Н. А. Шилова можно отметить ту же особенность, которая выше уже была отмечена при характеристике его работ по химической кинетике. Эта особенность такова: развитие учения об адсорбционных явлениях в значительной степени проходило под знаком применения к ним общих физических представлений. Успехи этого направления порождали (и продолжают порождать в наше время!) опасность игнорирования чисто химических особенностей при взаимодействии поверхности адсорбента с молекулами адсорбируемых веществ. Особенностью научного творчества Н. А. Шилова и было привнесение в проблемы физической химии чисто химических взглядов и концепций.

Без преувеличения можно сказать, что взгляды Н. А. Шилова об образовании окислов различного типа на поверхности «классического» адсорбента — активного угля — ли в малейшей степени не устарели почти за 30 лет, протекающие со времени их опубликования. Наоборот, именно теперь больше, чем когда-либо раньше, становится общепринятой идея, что без глубокого проникновения в понимание химической природы поверхности адсорбента, без изучения тех более или менее устойчивых соединений, которые

образуются при взаимодействии газов и паров (например, кислорода, водяных паров) с поверхностью адсорбента, нельзя понять многих адсорбционных явлений. Повидимому, можно считать твердо установленным, что поверхность, например, силикагеля нельзя представлять себе как поверхность, состоящую из  $\text{SiO}_2$ , поверхность угля — как поверхность углерода и т. д. Следует также отметить, что если Н. А. Шилов описывал различные типы окислов, образующихся на поверхности угля лишь на основании более или менее косвенных соображений, то в наше время существуют более непосредственные методы исследования структуры и состава поверхностных слоев адсорбентов. Эти методы позволяют утверждать, что основные идеи, высказанные Н. А. Шиловым по этому поводу, правильны, хотя одновременно, повидимому, следует учитывать электрохимические особенности угля как электрода.

Говоря о заслугах Н. А. Шилова в исследовании адсорбционных явлений, нельзя не упомянуть о том, что им создана большая школа, представители которой продолжают плодотворно изучать и углублять проблемы, вытекающие из его работ. Достаточно здесь упомянуть о множестве работ советских исследователей по вопросам изучения газовой адсорбции в статических условиях в связи со структурой и природой поверхности адсорбентов, работ по изучению адсорбции растворенных веществ, исследований термических эффектов, сопровождающих сорбцию, работ по динамике сорбции, по изучению сорбции газовых смесей и много других.

Таким образом, идеи Н. А. Шилова, давшие возможность обобщить опытный материал по химической кинетике и сорбции современной Шилову эпохи и наметившие главные направления в развитии этих областей, и в наше время продолжают оказывать плодотворное влияние на работы крупнейших научных школ Советского Союза.

Русская наука вправе гордиться трудами Н. А. Шилова, выдающегося ученого, блестящего лектора и педагога, воспитавшего поколение русских химиков и проложившего в науке новые и оригинальные пути.

*В. М. Беркенгейм, Н. Н. Семенов, В. В. Серпинский*

## СЕССИЯ АКАДЕМИИ НАУК СССР, ПОСВЯЩЕННАЯ МИРНОМУ ИСПОЛЬЗОВАНИЮ АТОМНОЙ ЭНЕРГИИ

В период с 1 по 5 июля 1955 г. в Москве состоялась сессия Академии наук СССР, посвященная мирному использованию атомной энергии. Работа сессии проходила в форме пленарных заседаний и заседаний Отделений физико-математических, химических, биологических и технических наук. Тематика и содержание как пленарных заседаний, так и заседаний сессий отделений лучше всего видны из названий докладов, сделанных на этих заседаниях. На обоих пленарных заседаниях были заслушаны доклады:

1. Работы Академии наук СССР по уран-графитовым реакторам (В. С. Фурсов).
2. Исследование ядерных процессов при высоких энергиях на ускорителях (М. Г. Мешеряков).
3. Радиохимические исследования продуктов ядерных превращений при бомбардировке частицами высоких энергий (А. П. Виноградов).
4. Итоги и перспективы применения радиоактивных изотопов в биохимии (В. А. Энгельгардт).

На пяти заседаниях сессии Отделения физико-математических наук были обсуждены доклады:

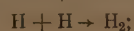
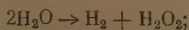
1. Размножение нейтронов в уран-графитовых системах.
  2. Измерение параметров уран-графитовых систем методом призмы.
  3. Измерение резонансного поглощения нейтронов в уран-графитовых решетках.
  4. Резонансное поглощение нейтронов в гетерогенных системах.
  5. Зависимость эффективного числа вторичных нейтронов от энергии захваченных первичных нейтронов.
  6. Измерения эффективного числа нейтронов, испускаемых изотопами урана-235, урана-233 и плутония-239 при захвате нейтронов с энергиями в интервале от 30 keV до 1 MeV.
  7. Средние скорости медленных нейтронов в различных средах.
  8. Измерение температурных эффектов в уран-графитовых подкритических системах.
  9. Относительные измерения среднего числа нейтронов, испускаемых при делении различных изотопов урана и плутония.
  10. Работы Академии наук СССР по реакторам с ураном-235, плутонием-239 и водородным замедлителем.
  11. Некоторые вопросы теории уран-водной решетки.
  12. Методика измерения коэффициента размножения на быстрых нейтронах в уран-водной решетке.
  13. Альфа-спектры тяжелых элементов.
  14. Энергетические уровни ядра нептуния-237 и распад америция-242.
  15. Спектры гамма-лучей при захвате тепловых нейтронов в некоторых тяжелых ядрах.
  16. Кристаллический нейтронный спектрометр.
  17. Выход нейтронов при фоторасщеплении урана и тория.
  18. Изменения свойств графита под действием облучения нейтронами.
  19. Дозиметрия ионизирующих излучений при помощи вельшечных фосфоров.
- На заседаниях сессии Отделения технических наук были заслушаны доклады:
1. Влияние огнеупорных материалов сталеразливочных устройств на загрязнение стали неметаллическими включениями.
  2. Изучение процессов перемешивания в ваннах мартеновских печей при помощи радиоактивных изотопов.
  3. Кинетика десульфурации чугуна.
  4. Исследование неметаллических включений методом радиографии.
  5. Метод изотопного обмена для измерения скорости испарения и коэффициента диффузии в твердых металлах.
  6. Методы исследования диффузии при помощи радиоактивных изотопов.
  7. Исследование износных свойств масел и топлив при помощи изотопов.
  8. Изучение износа режущего инструмента.
  9. Ионизационные методы в гамма-дефектоскопии металлов больших толщин.
  10. Применение радиоактивных излучений для контроля толщины стального проката и металлических покрытий.
  11. Опыт промышленного применения изотопов для маркировки стального проката.

12. Исследование уноса солей с паром и гидродинамики двухфазной жидкости методом радиоактивных изотопов.
13. Применение радиоактивных изотопов и излучений в разведке полезных ископаемых.
14. Использование радиометрии для поисков нефтяных месторождений с поверхности Земли.
15. Разделение нефтеносных пластов от водоносных нейтронными методами исследования скважин.
16. Выделение нефтеносных и водоносных пластов и определение водо-нефтяного контакта в условиях обсаженных стальной колонной скважин.
17. Опыт практического применения нейтронных методов исследования скважин для контроля процесса разработки нефтяных месторождений.
18. Использование сцинтилляционных счетчиков в радиометрической аппаратуре. На сессии Отделения биологических наук были заслушаны и обсуждены доклады:
  1. Действие ионизирующих излучений на животный организм.
  2. Влияние ионизирующих излучений на плодовитость мышей и жизнеспособность их потомства.
  3. Защита животного организма от повреждающего действия ионизирующих излучений.
  4. Локальное действие ионизирующих излучений на различные отделы центральной нервной системы.
  5. Биохимические основы биологического действия ионизирующих радиаций.
  6. Действие ионизирующей радиации на растворы белков и белковых комплексов.
  7. Чувствительность различных органов растительной клетки к действию ионизирующих излучений.
  8. Применение  $C^{14}$  и  $P^{32}$  в исследовании синтетических функций изолированных поропластов.
  9. Применение  $C^{14}$  в изучении первичных продуктов фотосинтеза.
  10. О дневных и сезонных изменениях в составе органических веществ, образующихся в процессе фотосинтеза.
  11. Применение радиоактивных изотопов в исследовании оплодотворения растений.
  12. Изучение азотного питания и азотного обмена в растениях с применением  $N^{15}$ .
  13. Использование меченой радиоактивным углеродом углекислоты в изучении азотного режима плодов.
  14.  $C^{14}$  в изучении скорости обмена веществ у дрожжей и молочнокислых бактерий.
  15. Лучевая стерилизация.
  16. Применение гамма-лучей  $Co^{60}$  при хранении овощей.
  17. Действие ионизирующих излучений на рост и развитие растений.
  18. Влияние естественно-радиоактивных элементов, внесенных в почву, на урожайность сельскохозяйственных растений.
  19. Ионизирующие излучения как стимулятор биосинтеза эргостерина.

Работа сессии Отделения химических наук проходила в течение трех дней: на трех утренних и трех вечерних заседаниях. Первый день был посвящен вопросам радиационной химии, второй — радиохимическим исследованиям осколков, образующихся при расщеплении различных ядер частицами с большой энергией, протонами, дейтронами и медленными  $\pi$ -мезонами, наконец, в третий день были заслушаны доклады по применению меченых атомов.

В докладе В. Л. Карпова «Действие ядерных излучений на высокополимерные вещества» были изложены результаты исследований, выполненных под руководством докладчика и академика В. А. Каргина. Изучение изменений механических свойств, вязкости и молекулярного веса полимеров при облучении гамма-лучами кобальт-60 показало, что в зависимости от молекулярного строения полимера преобладает один из двух типов процессов — сшивание или деструкция. Первый из них преобладает в полиэтилене, поливинилхлориде, натуральном каучуке и др., второй — в полиизобутилене, полиметилметакрилате, поливинилацетате и др. Газы, выделяющиеся при облучении, содержат главным образом водород и в значительно меньшем количестве вещества состава от  $C_1$  до  $C_4$ , образующиеся при разрывах связей на концах цепей или в боковых группах.

В докладе Н. А. Бах «Действие излучений на водные растворы неорганических солей» были изложены результаты исследований по облучению растворов солей железа. Цикл исследований состоял в определении окислительно-восстановительного потенциала  $Fe^{2+}/Fe^{3+}$  в момент облучения. Реакции, протекающие в изученной системе, могут быть представлены схемой.







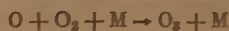
Кроме того, в этом докладе были освещены результаты исследования облученных растворов иодистого калия; было обнаружено появление в жидкой фазе  $\text{I}_2$  и  $\text{H}_2$ , которые достигают некоторых постоянных концентраций при суммарных дозах, зависящих от концентрации иодистого калия. В противоположность иоду выход и стабильная концентрация перекиси водорода тем ниже, чем выше концентрация К.И. В докладе был освещен вопрос о действии облучения на водный раствор нитрата натрия. В данном случае обнаружено образование ионов  $\text{NO}_2^-$  и перекиси водорода, выход которых является с изменением pH и концентрации раствора и достигает четырех молекул  $100\text{eV}$  в  $1\text{ M}$  растворе щелочи.

В докладе М.А. Проскурина (совместно с В. Д. Ореховым и Е. Б. Барелько) «Сенсибилизация и подавление окислительно-восстановительных реакций при радиолизе» подчеркивается особая роль возбужденных молекул растворителя при реакции радиолиза в растворе; рассматриваются причины кажущегося недостаточного восстановительного действия атомного водорода при восстановлении нитратов в растворах; описаны случаи значительного увеличения выхода восстановления нитрата при повышении температуры выше  $35^\circ\text{C}$ .

В докладе рассмотрена реакция связывания молекулярного азота при радиолизе щелочных растворов, сенсибилизация реакции окисления ионов  $\text{Fe}^{2+}$  с участием кислорода при увеличении кислотности раствора. В докладе рассмотрен вопрос о радиационно-химическом обеспечивании растворов метиленового голубого.

Выходы описанных в докладе реакций, в которых предполагается вовлечение возбужденных молекул, близки к 15 молекулам воды или 20 молекулам спирта на  $100\text{eV}$ .

В докладе С. Я. Пшежецкого «Некоторые закономерности механизма и кинетики простейших радиационно-химических реакций (образование озона и окисление азота)» были изложены экспериментальные исследования, посвященные выяснению механизма образования озона при облучении жидкого кислорода и жидкой азотно-кислородной смеси (1 : 1) гамма-лучами от кобальта-60 и электронами с энергией  $240\text{keV}$ ; было установлено, что на каждые  $100\text{eV}$  поглощенной энергии образуется около 15 молекул озона; выход окислов азота значительно ниже и составляет 1,5 молекулы на  $100\text{eV}$ . В докладе обсуждается возможный механизм образования озона, существенную роль в котором играет диссоциация молекул кислорода при электронном ударе



или возбуждение молекул



или возникающие при облучении ионы кислорода



Реакция окисления азота изучалась методом электронного облучения. Было установлено, что при энергии электронов от 16 до  $24\text{eV}$  протекает реакция



При энергии электронов выше  $24\text{eV}$  преобладающим является процесс



Возможны также реакции



Таким образом, на примере реакций образования озона и окислов азота докладчик подчеркнул особую роль в образовании молекул продуктов реакции как возбужденных молекул, так и ионов, образующихся при облучении реакционной системы.

В докладе Н. А. Перфилова (совместно с Н. С. Ивановым, О. В. Ложкиным, И. Остроумовым и В. П. Шамовым) «Делительные ядерные реакции на  $\pi$ -мезонах быстрых протонов» изложены результаты экспериментальных исследований методом многослойных фотопластинок взаимодействия медленных  $\pi$ -мезонов с ядрами атомов урана, висмута и вольфрама и протонов с энергиями 460 и 660 MeV с теми же ядрами. В докладе было показано, что при захвате медленных  $\pi$ -мезонов указанными выше ядрами происходит их деление с вероятностями соответственно 0,3—0,4; 0,02; 0,002. Остальные случаи захвата заканчиваются испарением частиц, преимущественно нейтронов.

Распределение продуктов деления урана по пробегаем при делении медленными  $\pi$ -мезонами имеет хорошо выраженный максимум.

При изучении взаимодействия протонов с энергиями 460 и 660 MeV с ядрами атомов Bi и W получены сведения о распределении делящихся ядер по начальным энергиям возбуждения, а также определены средние энергии возбуждения для делящихся ядер Bi и W протонами с энергией 460 и 660 MeV. При возрастании начальной энергии возбуждения делящихся ядер урана и висмута от 100 MeV и выше растет доля несимметричных по пробегаем делений, что соответствует также росту числа делений на осколки неравных масс.

Анализ показывает, что деление ядер при больших энергиях возбуждения является спонтанным результатом, наступающим после того, как ядро в значительной мере охладилось в результате предшествующего процесса испарения нейтронов и заряженных частиц. На основании всех экспериментов по делению тяжелых атомных ядер медленными и быстрыми частицами можно заключить, что энергия возбуждения не переходит в кинетическую энергию осколков делящегося ядра, и можно предположить, что либо энергия возбуждения снимается путем предварительной эмиссии частиц (эмиссионное деление), либо ядро делится в сильно возбужденном состоянии, причем получают сильно возбужденные осколки, которые охлаждаются путем эмиссии частиц (барьерное деление), либо ядро делится с промежуточного уровня возбуждения (эмиссионно-барьерное деление).

В докладе В. И. Баранова (от своего имени и имени А. П. Виноградова, И. П. Алимарина, А. К. Лаврухиной, Т. В. Барановой, Ф. И. Павлоцкой, А. А. Брагиной и О. В. Яковлева) «Радиохимическое исследование продуктов деления Bi, Th, U при бомбардировке протонами с энергией 480 MeV» были изложены экспериментальные исследования по установлению продуктов деления, образовавшихся в результате бомбардировки висмута, тория и урана протонами с энергией 480 MeV. Было установлено, что кривая распределения продуктов деления по массовым числам имеет вид симметричной кривой с одним максимумом, 2) не образуются радиоактивные осколки с длинными периодами распада, 3) образуется большое число осколков с недостатком нейтронов, осколки, соответствующие левой от максимума части кривой,  $\beta$ -активные, — правой —  $\beta$ -активные или испытывают  $K$ -захват. Суммарные поперечные сечения деления ядер урана, тория и висмута соответственно равны  $2 \cdot 10^{-24}$ ;  $1,5 \cdot 10^{-24}$  и  $7 \cdot 10^{-26}$  см<sup>2</sup>. Максимум выходов в случае висмута соответствует предварительному вылету примерно 16 нейтронов и 2 протонов, что свидетельствует об эмиссионном характере деления висмута.

В докладе В. Н. Мехедова (совместно с Б. В. Кургатовым, М. Я. Кузнецовой, Л. Н. Курчатовой) «Исследование радиохимическими методами деления вольфрама нейтронами с энергией 280 MeV» были изложены результаты экспериментального радиохимического исследования продуктов деления вольфрама, взятого в форме WO<sub>3</sub>, известного бомбардировкой дейтронами с энергией 280 MeV. Было установлено, что распределение продуктов по массе и атомному номеру соответствует симметричному делению вольфрама при наличии асимметричных актов деления.

Образование осколков в области максимума выхода сопровождается вылетом 10—15 нейтронов. Полученные факты позволяют считать, что при бомбардировке имеет место наложение эмиссионного деления и деления с возбужденного уровня. Среди продуктов деления были также обнаружены осколки с большим недостатком нейтронов.

В докладе А. К. Лаврухиной (от имени А. П. Виноградова, И. П. Алимарина, В. И. Баранова, Т. В. Барановой, Ф. И. Павлоцкой) «Радиохимическое изучение продуктов расщепления ядер меди и висмута частицами высокой энергии» были изложены экспериментальные радиохимические исследования продуктов расщепления ядер атомов меди, образовавшихся при бомбардировке дейтронами с энергией 280 MeV и протонами с энергией 480 MeV и ядер атомов висмута — протонами с энергией 480 MeV. Исследование показало большое разнообразие ядерных процессов: вылет легких ядер, деление и расщепление ядер, вторичные реакции, приводящие к увеличению порядкового номера. Среди продуктов расщепления атомных ядер меди под действием протонов с энергией 480 MeV преобладают ядра с недостатком нейтронов; однако для радиоизотопов с  $Z \leq 20$  обнаружены только  $\beta$ -активные ядра. Бомбардировка атомных ядер висмута протонами с энергией 480 MeV приводит к образованию продуктов с большим недостатком нейтронов. Наличие ядер Ga<sup>66</sup> среди продуктов расщепления меди протонами с энергией 480 MeV свидетельствует о протекании вторичных процессов, связанных с увеличением порядкового номера; было установлено, что образование ядер Ga<sup>66</sup> происходит по реакции ядер меди со вторичными альфа-частицами. Таким образом из всех возможных процессов образования Ga<sup>66</sup>, Cu<sup>66</sup> ( $p$ ,  $\pi^-$ ) Ga<sup>66</sup>; Cu<sup>68</sup> ( $\alpha$ ,  $n$ ) Ga<sup>66</sup> найдено подтверждение последнего процесса.

В докладе А. Н. Мурина (совместно с Б. К. Преображенским, А. Ю. Ютландовым и М. А. Акимовым) «Реакции глубокого отщепления и деления на сложных ядрах (Cu, La, Bi)» были изложены результаты экспериментального радиохимического исследования продуктов взаимодействия протонов с энергией 660 MeV с атомными ядрами разделенных изотопов меди ( $\text{Cu}^{63}$  и  $\text{Cu}^{65}$ ), природной меди, протонов с энергией 480 MeV с атомными ядрами лантана, протонов с энергией 480 и 660 MeV с атомными ядрами висмута. Среди продуктов были обнаружены преимущественно атомные ядра с недостатком нейтронов. Во всех изученных случаях (Cu, La, Bi) основная масса продуктов реакции образуется за счет реакции глубокого отщепления, т. е. процесса каскадного выбивания нуклонов из ядер мишени и последующего испарения протонов нейтронов и альфа-частиц. В процессе испарения из возбужденных ядер нейтроны доминируют над заряженными частицами.

В случае реакции глубокого отщепления с висмутом из его атомных ядер вылетает в среднем 2 протона и 6,5 нейтронов при энергии бомбардирующих протонов 480 MeV и 2 протона и 7 нейтронов при энергии 660 MeV. Каскадно-ядерный процесс и следующий за ним процесс испарения нуклонов не являются единственным механизмом образования продуктов реакции взаимодействия быстрых протонов со сложными ядрами в случае тяжелых ядер сечение реакции деления составляет значительную часть общего сечения неупругого взаимодействия.

В докладе Л. Н. Курчатова (совместно с В. Н. Мехсодовым, Н. И. Борисовой, М. Я. Кузнецовой, Л. Н. Курчатовой и Л. В. Чистяковым) «Радиохимические исследования продуктов расщепления серебра частицами высоких энергий» изложены результаты экспериментальных радиохимических исследований ядерных реакций, протекающих при облучении серебра альфа-частицами с энергией 550 MeV, дейтронами с энергией 280 MeV и протонами с энергией 480 MeV. В докладе подробно описаны химические и физические методы исследования продуктов ядерных реакций. При исследовании было обнаружено около 70 продуктов расщепления серебра. Подавляющее большинство из них, образующееся с большим выходом, характеризуется недостатком нейтронов.

Все эти продукты расщепления серебра (кроме легких ядер) можно рассматривать как результаты последовательного развития двух основных процессов в сложном ядре внутриядерного каскада и испарения нуклонов из возбужденного ядра.

Начиная с марганца, выход элементов с уменьшением  $Z$  возрастает, что указывает на иной механизм образования ядер, отличный от механизма испарения. Наибольший выход легких ядер приходится на продукты  $\text{Cu}^{11}$ ,  $\text{Na}^{24}$ ,  $\text{P}^{32}$ . Вылет наиболее легких ядер Li, Be из ядер атомов серебра обусловлен, возможно, их испарением из сильно возбужденного ядра; возможно также их выбивание бомбардирующей частицей без предварительной стадии возбуждения всего ядра. Механизм выбивания, повидимому, играет существенную роль и для вылета более тяжелых ядер вплоть до  $Z=10$ . Образование ядер типа  $\text{Na}^{34}$ ,  $\text{P}^{32}$ ,  $\text{K}^{41}$ , вероятно, преимущественно идет по механизму деления с возбужденного уровня.

В докладе Б. В. Эршлера (совместно с Г. М. Кукавадзе, М. П. Аникиной, Л. Л. Гольдиным) «Выход изотопов церия и неодима в осколках деления урана-238» были изложены результаты масс-спектрометрического исследования осколков в образце  $^{238}\text{U}$ , длительное время облученного в ядерном реакторе. Из 60,75 мг урана выделилось 11,9 мг. После облучения и полугодовой выдержки образец вместе с платиновой оболочкой растворялся в царской водке на холоду. Редкие земли, выделенные на итриевом носителе, были подвергнуты масс-спектрометрическому анализу. Для определения выхода осколков был применен метод изотопного разбавления. Измерялся изотопный состав естественного неодима и церия, изотопный состав тех же элементов в продуктах деления и изотопный состав смеси естественных и осколочных элементов. Установлено, что кривая выходов осколков деления у урана-233 в изученной области тяжелых масс (140—150) подобна соответствующему участку кривой для урана-235 и сдвинута относительно нее в сторону легких масс на одну единицу массы.

В докладе А. И. Бродского «Исследование строения и реакционной способности химических соединений при помощи изотопов» были освещены экспериментальные исследования изотопов обмена для изучения строения и реакционной способности различных веществ. Так было установлено, что обмен водорода в связях X—H определяется строением электронной оболочки атома X. Если она содержит неподеленные пары, то обмен всегда идет очень быстро в молекулярном комплексе и не связан с электролитической диссоциацией. Если неподеленных пар нет, то возможность обмена и его скорость зависят от строения молекул, заместителей и кислотно-основных свойств среды. Обмен этого типа (например, в связях C—H органических соединений) протекает посредством электролитической диссоциации или в электрофильном комплексе Нюльда. Эти представления были подтверждены изучением обмена в солях аммония, трисиланах, кислородных кислотах фосфора.

В кетонах найдена сильная зависимость подвижности водорода от  $\sigma$ — $\pi$  сопряжения. В ацетатах и кетонах влияние  $\sigma$ — $\pi$  сопряжения ослабляется присутствием другой, конкурирующей с ней цепью  $\sigma$ — $\pi$  или  $\pi$ — $\pi$  сопряжения. В насыщенных углеводородах легко идет обмен всех атомов водорода на атомы дейтерия (с  $\text{D}_2\text{SO}_4$ ); если молекула имеет третичный углерод, то обмен идет по цепному механизму с участием карбонильных ионов. В сильно кислых или сильно основных донорах быстро идет обмен углеводоро-



дов при наличии электронно-акцепторных и, соответственно, донорных заместителей. В фенолах Н обменивается между гидроксильной группой и ядром; в толуоле нет таутомерии и нет ни обмена Н между метильной группой и ядром, ни миграции Н в ядре. В водородной связи бензингидрона водород локализован, но при нагревании медленно переходит от одного ядра к другому с потенциальным барьером 32 ккал/моль. В реакциях восстановления спиртов, diaзониевых солей и в ряде других реакций восстановления-окисления, водород переходит к связи С—Н от связи С—Н (а не О—Н). При помощи  $N^{15}$  выяснен механизм нескольких реакций образования вторичных аминов из первичных. Обмен свободных и связанных радикалов в некоторых алифатических соединениях в растворе связан с легкостью алкилирования ими. Изучение кинетики обмена кислородных атомов в ряде анионов неорганических кислот и солей подтвердило механизм обмена при образовании ортоформ с повышением координации центрального иона.

Обмен галогенов в галогеналкилах существенно зависит от строения радикала. При помощи  $S^{35}$  выяснен механизм ряда реакций образования, взаимных превращений и разложения политионатов. Они идут путем переноса сульфитных и тиосульфитных групп. Установлено строение политионатов из неразветвленных полисульфидных цепочек с группами  $SO_3$  на обоих концах.

В докладе А. А. Гринберга «Исследования строения и превращений комплексных соединений методом меченых атомов» был сформулирован ряд заключений; процессы обмена и замещения аддендов во внутренней сфере могут осуществляться при посредстве различных механизмов. В протекании процессов обмена и замещения могут играть роль все виды равновесных превращений: ионные, сольватационные, кислотно-основные, окислительно-восстановительные и миграционные, свойственные данному соединению в данном растворе.

Установление некоторых подобных равновесий сопровождается образованием промежуточных продуктов типа молекулярных соединений и свободных радикалов, которые также могут принимать существенное участие в обмене; процесс изотопного обмена у иона  $[Pt Br_4]^-$  в изученном интервале концентраций протекает в основном через промежуточно образующиеся аква-ионы; в изотопном обмене в ионе  $[Pt Br_6]^-$  и вообще в ионах  $[PtX]^{2+}$  существенную роль играют окислительно-восстановительные явления; прочность соединения в смысле распада на ионы, измеремая константой нестойкости, не обязательно определяет скорость обмена аддендов, координированных при центральном атоме; в ряде случаев установлено, что чем прочнее комплекс (в смысле распада на ионы), тем быстрее обмен; факты обмена в применении к отдельным системам могут быть объяснены либо образованием неустойчивых промежуточных продуктов присоединения типа  $NiX_5^{2-}$  или  $PtX_5^{2-}$ , либо тем, что обмен идет не через ионы, а посредством окислительно-восстановительных равновесий типа  $PtX_6^{2-} \rightleftharpoons PtX_4^{2-} + X_2$ , либо, наконец, неодинаковой скоростью установления сольватационных равновесий; существенную роль может играть эффект трансвизия; не подтверждаются опытом попытки установления однозначного соответствия между скоростью обмена и «степенью ковалентности» или «степенью ионности связи»; попытка связать скорость обмена с наличием плоскостной или октаэдрической конфигурации комплексного иона не является обоснованной.

В докладе В. И. Кузнецова «Органические соосадители в аналитической химии» были освещены методы выделения микроэлементов при помощи органических соединений или, как их называют, «органических соосадителей». Эти последние способны осаждать микроколичества элементов из чрезвычайно разбавленных их растворов, количественно выделяя, например,  $10^{-6}$  г элемента из объема в несколько кубических метров. Особенности органических соосадителей следующие: из осадков органические соосадители могут быть удалены сжиганием; по сравнению с неорганическими осадками органических соединений почти не адсорбируют неорганические ионы. Это позволяет простыми и немногочисленными приемами производить извлечение соосадительных микроэлементов из смесей очень сложного состава; некоторые органические соосадители обладают высокой избирательностью действия. Механизм действия органических соосадителей большей частью основан на образовании твердых растворов. В отдельных случаях соосаждение напоминает экстрагирование, представляя собою как бы «экстрагирование твердых экстрагентами».

Соосаждаемый элемент должен присутствовать в растворе в виде таких ионов, которые с применяемым для соосаждения органическим реагентом могут образовывать малорастворимые соединения. Соосадителями служат малорастворимые галогенидные или иные соли тяжелых, объемистых, органических катионов: метилвиолета, кристалл-виолета, метилевогидрофобной, родамина В и других основных красителей, аминокислот, азосоединений и т. д. Применяя малорастворимые соли органических катионов с тяжелыми неорганическими анионами, можно осаждать и катионы элементов, особенно комплексные, если такие катионы дают малорастворимые соли с применяемыми органическими анионами.

Соосадителями могут быть и несолеобразные органические соединения (фенол-фталейн, β-нафтол), применяемые в виде спиртовых растворов и особенно пригодные для соосаждения элементов в виде комплексных и внутрикомплексных соединений. Органические соосадители полезны для улучшения существующих и разработки новых методов выделения радиоактивных изотопов без носителя.



В докладе Е. Н. Гурьяновой, В. Н. Васильевой и Л. С. Кузиной «Обмен серы в полисульфидах и некоторых ускорителях вулканизации» были изложены результаты экспериментальных исследований по обмену атомов серы при взаимодействии трисульфитов  $R-S-S-S-R$ , дисульфидов  $R-S-S-R$  соединений, в молекулах которых есть связи  $C-S$ , либо связи  $C=S$  (т. е. тионовую серу), с радиоактивной элементарной серой и, в ряде случаев, с соединениями, содержащими радиоактивную серу (дисульфиды и др.). Было установлено, что средние атомы серы в органических полисульфидах (например, в  $R-S-S-S-R$ ) сравнительно легко вступают в реакцию обмена с элементарной серой; существенное влияние на обменоспособность средних атомов серы в органических трисульфидов  $R-S-S-S-R$  оказывают радикалы. Средние атомы серы полисульфидов способны обмениваться также со средними атомами серы других полисульфидов.

Изучение механизма обмена серы между полисульфидами позволило установить, что эти соединения обмениваются группами  $R-S$ , и сделать вывод о радикальном механизме обмена группами  $R-S$  между дисульфидами и соответствующими тиолами и что скорость обмена в основном определяется прочностью связи  $S-S$  в дисульфиде.

Обменоспособность серы в соединениях, содержащих связи, в значительной степени зависит от строения молекул и определяется в основном прочностью этих связей; обмен серы в соединениях, содержащих  $C=S$  связи, т. е. тионовую серу, происходит значительно труднее, чем в аналогичных соединениях с  $C-S$  связями и по иному механизму.

В докладе Г. П. Миклухина «Подвижность серы в связях с углеродом и механизм действия ускорителей вулканизации каучука» изложены результаты исследования подвижности двухвалентной серы органических соединений в связях  $C-SH$ ,

$C-SC$ ,  $CS-SC$ ,  $C=S$ ,  $C \begin{array}{c} S \\ \parallel \\ SH \end{array}$ , полученные при изучении реакций обмена соответствующих соединений с радиоактивной серой. Особое внимание уделено изотопному обмену серы и сероводорода с органическими серосодержащими соединениями, являющимися ускорителями вулканизации каучука.

Установлено, что сера, входящая в состав органических соединений в связях  $C-SH$ ,  $C-SC$  и  $CS-SC$ , мало подвижна и не обменивается со свободной серой или серой в  $H_2S$ . Напротив, сера тионовой группы  $C=S$  и центральный атом серы трисульфидов обладают большой подвижностью. Еще более подвижна сера в дитиокарбоксильной группе. Найденные закономерности могут быть объяснены, если принять, что подвижность серы в исследованных соединениях зависит от полярных факторов и для  $C=S$  связей увеличивается с увеличением полярности последних.

В большинстве случаев соединения, обладающие более подвижными атомами серы, являются в то же время и более перспективными ускорителями вулканизации каучука; однако полного параллелизма нет. Можно предположить, что активирование серы ускорителями связано с образованием промежуточного соединения, способного ступенчатого отщеплять атомы (или группы атомов) серы, переходящие в реакционную среду и производящие вулканизацию. Образование таких активных осколков может происходить за счет разрыва только  $S-S$ , но не  $C-S$  связей, тогда как для осуществления обмена необходим разрыв более прочной связи между серой и углеродом. Этим можно объяснить данные о значительно меньшей скорости изотопного обмена серы в каптаксе по сравнению со скоростью вулканизации в присутствии этого ускорителя.

В докладе С. Т. Конобеевского приведены результаты экспериментального исследования физических свойств чистого плутония, причем установлено существование  $\alpha$ ,  $\beta$ ,  $\gamma$ ,  $\delta$ ,  $\eta$ , и  $\epsilon$  фаз, с точками перехода соответственно 119, 218, 310, 450, 472° и точкой плавления 640°. Кроме того, в докладе изложены описания диаграмм состояния  $Pu-Be$ ,  $Pu-Pb$ ,  $Pu-V$ ,  $Pu-Cr$ ,  $Pu-Mn$ ,  $Pu-Fe$ ,  $Pu-Ni$ ,  $Pu-Os$  и тройной системы  $Pu-Fe-U$ .

К. А.



# СОДЕРЖАНИЕ

В. Риль. О связи между электропроводностью и миграцией энергии белковых и других органических молекулах . . . . .	1537
Горбачев и П. А. Загорец. Влияние температуры на спектры поглощения растворов электролитов . . . . .	1549
Г. Вартамян. Спектры поглощения лейко-оснований красителей в кислых растворах и в твердом состоянии. III. Лейко-основания трифенилметановых красителей . . . . .	1555
А. Маринин. Коэффициент диффузии некоторых веществ в смеси глицерин—вода . . . . .	1564
Блюмберг, В. Л. Пикаева и Н. М. Эмануэль. Кинетика химизм взаимодействия эфира с двуокисью азота в газовой фазе . . . . .	1569
А. Самойлов. Самодиффузия и гидратация ионов в водных растворах электролитов . . . . .	1582
И. Тодес и В. В. Рачинский. Теория динамики ионного обмена. I. Динамика и кинетика ионного обмена при режиме параллельного перемещения . . . . .	1591
И. Покровский и М. Саидов. Свойства металлических растворов. V. О влиянии цинка, алюминия, кадмия, марганца и висмута на свойства жидкого и твердого олова . . . . .	1601
И. Темкин. Вычисление величины поверхности по данным адсорбции паров . . . . .	1610
А. Измайлов и Е. Ф. Иванова. Термодинамические свойства электролитов в неводных растворах. II. Исследование растворов NaBr, NaJ и KBr в этаноле и NaJ в нормальном бутаноле и изменение энергии ионов при перемене растворителей . . . . .	1614
И. Карякин, В. А. Никитин и А. Н. Сидоров. Фотохимическое разложение органических гидроперекисей . . . . .	1624
И. Скрипов. К вопросу о теплоемкости растворов . . . . .	1634
И. Удовенко и Л. А. Введенская. К вопросу о гидролизе солей. Н. Вольнов. Изучение взаимодействия тетраэтоксисилана с хлорным, бромным и иодным оловом . . . . .	1640
И. Полтораки. Активность гетерогенных катализаторов с точки зрения теории активных ансамблей. I. Металлические кристаллы . . . . .	1650
И. Антипин. Исследование катодного процесса в алюминиевой ванне . . . . .	1668
И. Толчьева и К. Юн-Пин. Кинетика дегидратации этилового спирта и дитилового эфира на окиси алюминия и алюмосиликатных катализаторах . . . . .	1678
И. Крылова, М. Н. Данчевская, и Н. И. Кобозев. Люминесценция и катализ. IV. Природа активных центров катализаторов-кристаллофосфоров . . . . .	1684
А. Зубович. Смешанные адсорбционные катализаторы. II. Активность смешанных металлических катализаторов на сульфатах щелочно-земельных металлов при восстановлении м-нитрофенола . . . . .	1696

## Методы и техника физико-химического исследования

Д. Зельвенский и В. А. Шалыгин. Измерение активности жидкостей, меченных радиоизотопами с мягким излучением . . . . .	1706
---	------

## Дискуссия

Медведев. Магнитный критерий типа связи в ковалентных комплексных соединениях . . . . .	1741
Р. Капустинский. К «Ответу на «Замечания» [1] по поводу статей М. Х. Карапетянца [2, 3] . . . . .	1720

## Письма в редакцию

Д. Дмитриева. Зависимость скорости распространения ультразвуковых волн от температуры и концентрации в смесях нормальных органических жидкостей . . . . .	1722
В. Измайлов. Механизм аномальной ионной электропроводности . . . . .	1725
В. Фомин. Определение состава и константы устойчивости комплексных ионов по кривой растворимости . . . . .	1728

## Хроника

И. Беркенгейм, Н. Н. Семенов, В. В. Серпинский. Николай Александрович Шиллов. (К 25-летию со дня смерти) . . . . .	1730
Академии наук СССР, посвященная мирному использованию атомной энергии . . . . .	1736

# ИСПРАВЛЕНИЕ К СТАТЬЕ

*Г. В. Самсонова и В. С. Немпора*

## «ИССЛЕДОВАНИЕ НЕКОТОРЫХ ЗАКОНОМЕРНОСТЕЙ ОБРАЗОВАНИЯ СПЛАВОВ ИЗОМОРФНЫХ БОРИДОВ»

Журнал физической химии, 29, вып. 5, 1955 г.

Страница	Строка	Напечатано	Должно быть
844	17 снизу	Вследствие этого является непонятым смещение минимума на кривой	Вследствие этого является понятным смещение минимума на кривой

# ИСПРАВЛЕНИЕ К СТАТЬЕ

*Л. А. Николаева*

## «КОНФЕРЕНЦИЯ ПО ВОПРОСАМ КАТАЛИЗА В ПАРИЖЕ».

Журнал физической химии, 29, вып. 7, 1955.

Страница	Строка	Напечатано	Должно быть
1347	21 сверху	Г. М. Жаброва исследовала каталитическую активность гетерогенных катализаторов с точки зрения теоретических экспозиций школы С. З. Рогинского.	Г. М. Жаброва исследовала каталитическую активность гетерогенных катализаторов с точки зрения теоретических позиций школы С. З. Рогинского